

การวิเคราะห์ท่อนำคลื่นแบบไม่ต่อเนื่องโดยวิธี ไฟไนต์-ดิฟเฟอเรนซ์ไทม์-โดเมน  
Discontinuous Waveguide Analysis by the Finite-Difference Time-Domain Method



โดย  
นายคุณิ์                      แต่้มคุณ  
นายชาย                      ไพร์แก่น

ปริญญานิพนธ์นี้เป็นส่วนหนึ่งของการศึกษาตามหลักสูตรปริญญาอุตสาหกรรมศาสตรบัณฑิต  
สาขาวิชาเทคโนโลยีโทรคมนาคม ภาควิชาเทคนิคอุตสาหกรรม  
คณะวิศวกรรมศาสตร์

สถาบันเทคโนโลยีพระจอมเกล้าเจ้าคุณทหารลาดกระบัง

ปีการศึกษา 2542

เลขหมู่.....  
เลขทะเบียน... 37097  
วัน, เดือน, ปี... 4 ก.ย. 2543

เอกสารนี้เป็นเอกสารที่สงวนไว้สำหรับการใช้งานเพื่อการศึกษาเท่านั้น ไม่อนุญาตให้นำไปใช้ประโยชน์ด้านการค้า  
ไม่ว่ากรณีใดๆ ทั้งสิ้น อีกทั้งห้ามมิให้ดัดแปลงเนื้อหาและต้องอ้างอิงถึงเจ้าของเอกสารทุกครั้งที่มีการนำไปใช้





## Analysis of Discontinuous Waveguide Using the Finite Difference Time-Domain Method

**BY** MR. DUSADEE TAMKUN CODE 40013329  
MR. CHAI PRIGAN CODE 40013354

### ADVISER

MR. SATHAPORN PROMWONG  
MR. PICHAYA SUPANAKOON

**LEVEL OF STUDY** Bachelor Degree Industrial Telecommunication

**ACADEMIC YEAR** 1999

### ABSTRACT

This thesis tends to analysis Discontinuous Waveguide by the Finite-Difference Time-Domain Method (FD-TD) that used Cross-Junction Waveguide, T-Junction Waveguide and Bend-Junction Waveguide to setup the channel to TM Mode and analysis 2 dimension, Matlab is need to analyze a program that can be chosen to work with waveguide. This method can decide the suitable frequency size of another type of waveguide and time step. Then the method will show a graph of propagation by selecting the propagation of scatter field of  $E_z$ ,  $H_x$  and  $H_y$ . The graph will demonstrate animation of 3 dimension which each frame contains 10-time step.

## กิตติกรรมประกาศ

ปริญญาานิพนธ์ฉบับนี้ สำเร็จลุล่วงไปได้ด้วยดีเกิดจากความร่วมมือร่วมใจของคณะผู้จัดทำ โดยได้รับความช่วยเหลือทางด้านข้อมูลต่างๆและคำแนะนำต่างๆ จากอาจารย์ที่ปรึกษาปริญญาานิพนธ์ คือ อาจารย์สถาพร พรหมวงศ์, อาจารย์พิชญ สุพรรณกุล, อาจารย์มนต์ชัย แซ่มซ้อย รุ่นที่ปริญญาโท ซึ่งได้ให้คำแนะนำ, ข้อมูล, สถานที่ในการทำโครงการและสนับสนุนอุปกรณ์ในการทำโครงการนี้ ขอขอบคุณไว้ ณ ที่นี้ด้วย

สุดท้ายนี้ต้องขอขอบคุณภาควิชาเทคนิคอุตสาหกรรม สถาบันเทคโนโลยีพระจอมเกล้าเจ้าคุณทหารลาดกระบัง และคณะอาจารย์ทุกท่านที่ช่วยประสิทธิ์ประสาทวิชาให้ความต่างความรู้ต่างๆ จนสามารถทำโครงการนี้สำเร็จลุล่วงไปได้ด้วยดี

คณะผู้จัดทำ

# สารบัญ

	หน้า
<b>บทคัดย่อ</b>	
<b>บทที่ 1 บทนำ</b>	1
1.1 กล่าวนำที่มาและความสำคัญของการวิเคราะห์ที่นำคลื่นแบบไม่ต่อเนื่อง	2
1.2 วัตถุประสงค์ในการทำปริภูมยานิพนธ์	2
1.3 ขอบเขตของปริภูมยานิพนธ์	2
1.4 ประโยชน์ที่ได้รับ	3
1.5 รายละเอียดและขั้นตอนการทำปริภูมยานิพนธ์	3
<b>บทที่ 2 ทฤษฎีที่นำคลื่น</b>	5
2.1 กล่าวนำที่มาและความสำคัญของการวิเคราะห์ที่นำคลื่นแบบไม่ต่อเนื่อง	5
2.1.1 กฎของฟาราเดย์	5
2.1.2 กระแสกระจัด	8
2.1.3 สมการของแมกซ์เวลล์	10
2.2 คลื่นระนาบในตัวกลางไดอิเล็กตริก	11
2.2.1 คลื่นระนาบและสมการคลื่น	11
2.2.2 โขลุ่ยชั้นของสมการคลื่น	16
2.2.3 ตารางโขลุ่ยชั้นของสมการคลื่น	22
2.2.4 ความเร็วเฟส	21
2.2.5 ดัชนีของการหักเห	24
2.2.6 ความเร็วกรุป	25
2.3 ท่อนำคลื่นวิเคราะห์โดยสมการของแมกซ์เวลล์	28
2.3.1 ท่อนำคลื่นทรงสี่เหลี่ยมกลวง	29
<b>บทที่ 3 ทฤษฎีของ FD-TD</b>	47
3.1 ทฤษฎีของยี่ (Yee)	47
3.2 สมการไฟไนท์-ดิฟเฟอเรนซ์	48
3.3 ความเสถียรภาพเชิงตัวเลข	51
3.3.1 การวิเคราะห์ความเสถียรภาพเชิงตัวเลขพื้นฐานของคลื่น โหมด TM	51
3.3.2 ค่าเจาะจงของเวลา	52
3.3.3 การแก้ปัญหาค่าเจาะจงในอวกาศ	54
3.3.4 กฎของความเป็นเสถียรภาพ	56

เอกสารนี้เป็นเอกสารที่สงวนไว้สำหรับการใช้งานเพื่อการศึกษาเท่านั้น ไม่อนุญาตให้นำไปใช้ประโยชน์ด้านการค้า  
ไม่ว่ากรณีใดๆ ทั้งสิ้น อีกทั้งห้ามมิให้ดัดแปลงเนื้อหาและต้องอ้างอิงถึงเจ้าของเอกสารทุกครั้งที่มีการนำไปใช้

3.4	แบบจำลองของแหล่งกำเนิดที่มีความต้านทาน	57
3.5	การวิเคราะห์สนามด้วยวิธี PML ABC	58
3.5.1	การวิเคราะห์กรณีของคลื่นโหมด TM ใน 2 มิติ	58
3.5.2	เงื่อนไขของการสะท้อนและการเมทซิ่ง	60
3.5.3	ชั้นเวลาเอ็กโพเนนเชียล	62
<b>บทที่ 4</b>	<b>การวิเคราะห์และการออกแบบ</b>	<b>64</b>
4.1	เมนูหลัก	64
4.1.1	การอ่านข้อมูลในส่วนรายชื่อของการวิเคราะห์	64
4.1.2	การอ่านในส่วนของคุณสมบัติ	65
4.1.3	ส่วนของข้อมูล	66
4.2	ส่วนของการวิเคราะห์และป้อนค่า	66
4.2.1	แบบ Bends Waveguide	67
4.2.2	แบบ T-Junction Waveguide	68
4.2.3	แบบ Cross-Junction Waveguide	69
4.3	ส่วนของการวิเคราะห์ป้อนค่าและแสดงผล	70
4.3.1	แบบ Bends-Junction Waveguide	70
4.3.2	แบบ T-Junction Waveguide	71
4.3.3	แบบ Cross-Junction Waveguide	72
<b>บทที่ 5</b>	<b>ผลที่ได้จากการออกแบบและการวิเคราะห์</b>	<b>73</b>
5.1	ผลที่ได้จากการป้อนค่าของ Bends Waveguide	73
5.2	ผลที่ได้จากการป้อนค่าของ T-Junction Waveguide	75
5.3	ผลที่ได้จากการป้อนค่าของ Cross-Junction Waveguide	77
<b>บทที่ 6</b>	<b>สรุปผลที่ได้จากการออกแบบและการวิเคราะห์</b>	<b>79</b>
6.1	สรุปผลที่ได้จากการทดลองทั้ง 3 ข้อ	79
6.2	สรุปผลการวิเคราะห์ที่ท่อนำคลื่นแบบไม่ต่อเนื่องด้วยวิธี FD-TD	79
<b>ภาคผนวก</b>		
<b>หนังสืออ้างอิง</b>		

เอกสารนี้เป็นเอกสารที่สงวนไว้สำหรับการใช้งานเพื่อการศึกษาเท่านั้น ไม่อนุญาตให้นำไปใช้ประโยชน์ด้านการค้า  
ไม่ว่ากรณีใดๆ ทั้งสิ้น อีกทั้งห้ามมิให้ดัดแปลงเนื้อหาและต้องอ้างอิงถึงเจ้าของเอกสารทุกครั้งที่มีการนำไปใช้

## สารบัญรูป

	หน้า
รูปที่ 1.1 ขั้นตอนการทำปริญญานิพนธ์	3
รูปที่ 2.1 คลื่นระนาบที่เดินทางออกจากหน้ากระดาษ	12
รูปที่ 2.2 องค์ประกอบของสนามต่างๆ ของคลื่นระนาบที่สัมพันธ์กับระบบพิกัด	13
รูปที่ 2.3 เส้นกราฟสำหรับ $E_y = \sin(\beta x + \omega t)$ ที่เวลาต่างๆ กัน 3 ค่าคือ $t = 0, t = T/4$ และ $t = T/2$ จุดเฟสคงที่ $\rho$ จะเคลื่อนที่ไปทางซ้ายมือในขณะที่เวลาเพิ่มมากขึ้น	17
รูปที่ 2.4 เส้นกราฟสำหรับ $E_y = \sin(\beta x - \omega t)$ ที่เวลาต่างๆ กัน 3 ค่าคือ $t = 0, t = T/4$ และ $t = T/2$ จุดเฟสคงที่ $\rho$ จะเคลื่อนที่ไปทางขวามือในขณะที่เวลาเพิ่มมากขึ้น	18
รูปที่ 2.5 รูปแบบต่างๆของนิพจน์ของคลื่นที่เวลา $t=0$	20
รูปที่ 2.6 จุดเฟสคงที่ $p$ ของคลื่นจะเคลื่อนที่ด้วยความเร็วเฟส $v$ ในขณะที่จุด $p'$ ของ Envelop จะเคลื่อนที่ไปด้วยความเร็วกรุปจะเป็นครึ่งหนึ่งของความเร็วเฟส	27
รูปที่ 2.7 องค์ประกอบของสนามต่างๆ ของคลื่น TEM โหมดที่สัมพันธ์กับระบบพิกัด	28
รูปที่ 2.8 ท่อนำคลื่นทรงสี่เหลี่ยมกลวงและระบบพิกัดที่สัมพันธ์กัน	29
รูปที่ 2.9 ตัวอย่างของสายส่งและท่อนำคลื่นแบบต่างๆ	30
รูปที่ 2.10 การเปลี่ยนแปลงขององค์ประกอบของสนามต่างๆ สำหรับคลื่น $TE_{10}$ และ $TE_{20}$ โหมด	40
รูปที่ 2.11 ลักษณะการกระจายของสนามต่างๆ สำหรับคลื่น $TE_{10}$ โหมด	40
รูปที่ 2.12 อัตราส่วนของความเร็วเฟส $\frac{v}{v_0}$ หรืออัตราส่วนของอิมพีแดนซ์ตามขวาง $\frac{Z_{yc}}{Z_0}$ ในรูปของฟังก์ชันของความยาวคลื่น $\lambda_0$	43
รูปที่ 2.13 คลื่น TE และ TM โหมดต่างๆ ที่มีได้ในท่อนำคลื่นทรงสี่เหลี่ยมกลวง ในรูปฟังก์ชันของความถี่ ที่ความถี่	45
รูปที่ 3.1 รูปแสดงสนามไฟฟ้าและสนามแม่เหล็กตามทฤษฎีของ ยี	47
รูปที่ 3.2 รูปแสดงการเปลี่ยนแปลงของสนามแม่เหล็กและสนามไฟฟ้าตามเวลา	48
รูปที่ 3.3 แหล่งกำเนิดของ FD-TD กับแหล่งกำเนิดที่มีความต้านทาน $R_s$	57
รูปที่ 3.4 รูปโครงสร้างของ FD-TD กริด ใน 2 มิติ ที่มีค่าความสูญเสียของ PML ABC	61
รูปที่ 4.1 แสดงโครงสร้างของโปรแกรมที่ใช้ในการสร้างและออกแบบ	64
รูปที่ 4.2 แสดงหน้าต่างของส่วนเมนูหลัก	65
รูปที่ 4.3 แสดงหน้าต่างส่วนของข้อมูล	66
รูปที่ 4.4 แสดงหน้าต่างในส่วนของการวิเคราะห์และป้อนค่าของ Bends Waveguide	67

เอกสารนี้เป็นเอกสารที่สงวนไว้สำหรับการใช้งานเพื่อการศึกษาเท่านั้น ไม่อนุญาตให้นำไปใช้ประโยชน์ด้านการค้า  
ไม่ว่ากรณีใดๆ ทั้งสิ้น อีกทั้งห้ามมิให้ดัดแปลงเนื้อหาและต้องอ้างอิงถึงเจ้าของเอกสารทุกครั้งที่มีการนำไปใช้

รูปที่ 4.5 แสดงหน้าตัดในส่วนของการวิเคราะห์และป้อนค่าของ T-Junction Waveguide	68
รูปที่ 4.6 แสดงหน้าตัดในส่วนของการวิเคราะห์และป้อนค่าของ Cross-Junction Waveguide	69
รูปที่ 4.7 แสดงหน้าตัดในส่วนของการวิเคราะห์และป้อนค่าของ Bends-Junction Waveguide	70
รูปที่ 4.8 แสดงหน้าตัดในส่วนของการวิเคราะห์ ป้อนค่าและแสดงผลของ T-Junction Waveguide	71
รูปที่ 4.9 แสดงหน้าตัดในส่วนของการวิเคราะห์ ป้อนค่าและแสดงผลของ Cross-Junction Waveguide	72
รูปที่ 5.1 แสดงสนาม $E_z$ ที่ความถี่ 10 GHz Bends Waveguide	73
รูปที่ 5.2 แสดงสนาม $H_x$ ที่ความถี่ 10 GHz Bends Waveguide	74
รูปที่ 5.3 แสดงสนาม $H_y$ ที่ความถี่ 10 GHz Bends Waveguide	74
รูปที่ 5.4 แสดงสนาม $E_z$ ที่ความถี่ 10 GHz T-Junction Waveguide	75
รูปที่ 5.5 แสดงสนาม $H_x$ ที่ความถี่ 10 GHz T-Junction Waveguide	76
รูปที่ 5.6 แสดงสนาม $H_y$ ที่ความถี่ 10 GHz T-Junction Waveguide	76
รูปที่ 5.7 แสดงสนาม $E_z$ ที่ความถี่ 10 GHz Cross-Junction Waveguide	77
รูปที่ 5.8 แสดงสนาม $H_x$ ที่ความถี่ 10 GHz Cross-Junction Waveguide	78
รูปที่ 5.9 แสดงสนาม $H_y$ ที่ความถี่ 10 GHz Cross-Junction Waveguide	78

# บทที่ 1

## บทนำ

### 1.1 กล่าวนำที่มาและความสำคัญของการวิเคราะห์ที่ท่อนำคลื่นแบบไม่ต่อเนื่องด้วยวิธี

#### FD-TD

ปัจจุบันตัวกลางที่ใช้ในการส่งข้อมูลข่าวสารมีคุณสมบัติความจุสูง เพื่อที่จะให้สามารถส่งข้อมูลข่าวสารได้มากขึ้น โดยตัวกลางได้ถูกพัฒนาจากสาย Coaxial Cable ท่อนำคลื่นและเส้นใยแก้วนำแสง ท่อนำคลื่นแบบสี่เหลี่ยมกลวงจะใช้วิธีของแมกซ์เวลล์วิเคราะห์ได้โดยตรง แต่ในปัจจุบันมีความก้าวหน้ามากขึ้น ทำให้ท่อนำคลื่นมีหลายลักษณะ ดังนั้นหากใช้วิธีของแมกซ์เวลล์วิเคราะห์ได้โดยตรง แต่ในปัจจุบันมีความก้าวหน้ามากขึ้น ทำให้ท่อนำคลื่นมีหลายลักษณะ ดังนั้นหากใช้วิธีของแมกซ์เวลล์มาวิเคราะห์จะทำให้ยุ่งยากและเสียเวลามาก ดังนั้นในปริญญาณิพนธ์นี้จึงใช้วิธีการของ FD-TD ช่วยในการวิเคราะห์ เป็นวิธีเชิงตัวเลขที่นิยมใช้วิเคราะห์คลื่นแม่เหล็กไฟฟ้า โดยทำการวิเคราะห์ในโดเมนของเวลา สามารถวิเคราะห์ได้ง่าย รวดเร็ว มีความเที่ยงตรงสูง

ตัวอย่างของการใช้งานของวิธี FD-TD คือนำไปใช้ในทางทหารจะใช้วิเคราะห์การแพร่กระจายของสนามที่พื้นผิวของเครื่องบินสอดแนม ช่วยในการดูดกลืน (Absorb) ว่าจะมากน้อยเท่าใด เพื่อช่วยในการออกแบบวัสดุให้มีความเหมาะสมและมีประสิทธิภาพเพื่อช่วยในการออกแบบวัสดุให้มีความเหมาะสมและมีประสิทธิภาพ เพื่อช่วยใช้ในการหลบหลีกการตรวจจับของเรดาร์

การนำไปใช้ประโยชน์ในทางการแพทย์เพื่อทำแบบจำลองของร่างกายตรงส่วนที่มีเนื้อของมะเร็ง ซึ่งจะช่วยบอกได้ว่า การรักษาด้วยรังสีนั้นจะต้องใช้ความเข้มขนาดเท่าใด เพื่อทำลายเนื้อมะเร็ง แต่ทำลายเนื้อในส่วนที่ดีให้น้อยที่สุด

การนำไปใช้ในการคำนวณคลื่นนิ่งสนามไฟฟ้าของสายตาที่เยื่อภายในลูกตา (Retina rod) สำหรับคลื่นตามขวาง TM ให้แสงสว่างการตกของแสงบนกระจกตา มีความยาวคลื่น 475 nm เป็นสีน้ำเงิน ความยาวคลื่น 505 nm เป็นสีเขียว และความยาวคลื่น 714 nm เป็นสีแดง ค่าของสีแดงสูงสุด สีเหลืองเท่ากับระดับสายตาที่สูงกว่าการตกของแสงบนกระจก สีเขียวใกล้เคียงกับการตกของแสงบนกระจกตา สีน้ำเงินต่ำกว่าและสีขาวน้อยที่สุด

และการนำไปใช้ที่พื้นผิวของ Gysel microwave power divider จุดศูนย์กลางความถี่คือ 34 GHz การกระตุ้นสัญญาณเป็นแบบ Gaussian Voltage pulse การคำนวณจะใช้วิธีการของ ยี เป็นต้น

## 1.2 วัตถุประสงค์ในการทำปริญญานิพนธ์

1. เพื่อศึกษาลักษณะการแพร่กระจายของสนามแม่เหล็กไฟฟ้าในท่อนำคลื่นแบบไม่ต่อเนื่องโดยใช้วิธี FD-TD
2. เพื่อศึกษาลักษณะการสะท้อน และการลดทอนของคลื่นแม่เหล็กไฟฟ้าในท่อนำคลื่น
3. เพื่อศึกษาลักษณะของคลื่นแม่เหล็กไฟฟ้าที่แพร่กระจายที่ความถี่แตกต่างกันตามชั้นเวลาที่กำหนดต่างกัน

## 1.3 ขอบเขตของปริญญานิพนธ์

1. ทำการวิเคราะห์การแพร่กระจายของสนามแม่เหล็กและสนามไฟฟ้าในท่อนำคลื่นแบบทำมุมตั้งฉาก, แบบข้อต่อ T และแบบข้อต่อตัดขวาง การวิเคราะห์สามารถที่จะกำหนดขนาดของความถี่ ลักษณะและขนาดของท่อนำคลื่น ชั้นเวลาในการแสดงผล สนามแม่เหล็กหรือสนามไฟฟ้าที่ต้องการแสดงผล โดยผลที่ได้จะเป็นภาพเคลื่อนไหวแบบ 3 มิติ
2. ทำการวิเคราะห์การแพร่กระจายของสนามแม่เหล็กและสนามไฟฟ้าในท่อนำคลื่นโดยใช้โปรแกรม Matlab ช่วยในการวิเคราะห์

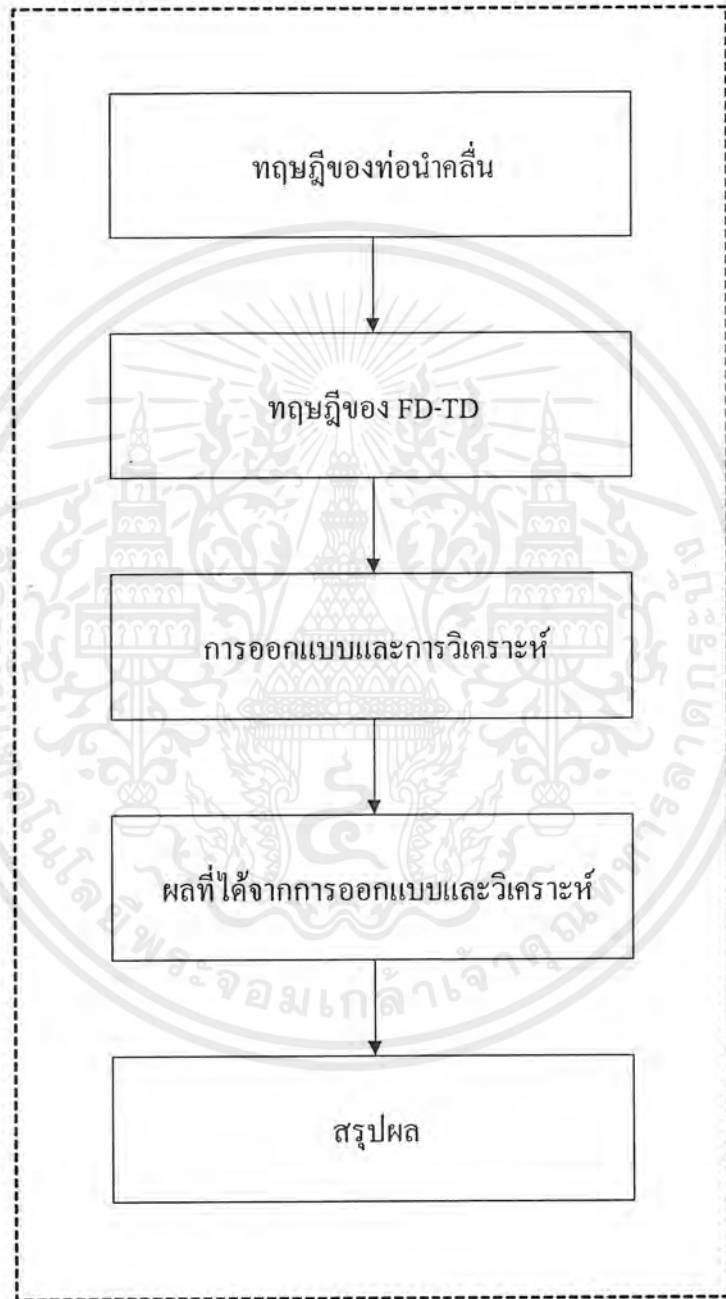
## 1.4 ประโยชน์ที่ได้รับ

1. ได้รับความรู้จากการวิเคราะห์การแพร่กระจายของสนามแม่เหล็กและสนามไฟฟ้าในท่อนำคลื่นแบบทำมุมตั้งฉาก, แบบข้อต่อ T และแบบข้อต่อตัดขวาง
2. ได้เข้าใจลักษณะการแพร่กระจายโดยเห็นเป็นนามธรรมเนื่องจากแสดงผลเป็นภาพเคลื่อนไหว 3 มิติ
3. ได้รับความรู้จากการแพร่กระจายของสนามแม่เหล็กและสนามไฟฟ้าที่ความถี่ต่างๆ
4. ใช้เป็นแบบจำลองในการศึกษาเรื่องของคลื่นแม่เหล็กไฟฟ้า
5. ได้รับความรู้ในการใช้งานของโปรแกรม Matlab
6. เพื่อใช้ในการพัฒนาให้ออกแบบสร้างท่อนำคลื่นเพื่อใช้ในงานจริงได้ ถ้ามีการวิเคราะห์ในแบบ 3 มิติ

เอกสารนี้เป็นเอกสารที่สงวนไว้สำหรับการใช้งานเพื่อการศึกษาเท่านั้น ไม่อนุญาตให้นำไปใช้ประโยชน์ด้านการค้าไม่ว่ากรณีใดๆ ทั้งสิ้น อีกทั้งห้ามมิให้ดัดแปลงเนื้อหาและต้องอ้างอิงถึงเจ้าของเอกสารทุกครั้งที่มีการนำไปใช้

## 1.5 รายละเอียดและขั้นตอนการทำปริิณญาานิพนธ์

ในการทำปริิณญาานิพนธ์นี้ ได้มีการศึกษา วางแผน และมีการทำงานตามขั้นตอนการทำงาน ดังรูปที่ 1.1



รูปที่ 1.1 ขั้นตอนการทำปริิณญาานิพนธ์

เอกสารนี้เป็นเอกสารที่สงวนไว้สำหรับการใช้งานเพื่อการศึกษาเท่านั้น ไม่อนุญาตให้นำไปใช้ประโยชน์ด้านการค้า ไม่ว่ากรณีใดๆ ทั้งสิ้น อีกทั้งห้ามมิให้ดัดแปลงเนื้อหาและต้องอ้างอิงถึงเจ้าของเอกสารทุกครั้งที่มีการนำไปใช้

การศึกษาทฤษฎีจะมีสองส่วนคือส่วนแรกจะอยู่ในบทที่ 2 เป็นการกล่าวถึงทฤษฎีของ  
 ท่อนำคลื่นพื้นฐาน สมการของแมกซ์เวลล์ การใช้สมการของแมกซ์เวลล์ เพื่อหาโหมดของคลื่น  
 สมการของคลื่นที่เคลื่อนที่ ส่วนที่สองจะอยู่ในบทที่ 3 เป็นการกล่าวถึงทฤษฎีของการวิเคราะห์  
 ท่อนำคลื่นด้วยวิธีของ FD-TD ทฤษฎีของอี สมการ Finite และสมการ Difference ความเสถียร  
 เชิงตัวเลข แบบจำลองแหล่งกำเนิดที่มีความต้านทาน และการวิเคราะห์โดยวิธี ABC PML

การออกแบบและการวิเคราะห์ จะอยู่ในบทที่ 4 จะกล่าวถึงการใช้โปรแกรม Matlab  
 ช่วยในการวิเคราะห์โดยจะทำการเป็นลักษณะของการเลือกเป็นเมนู จะมีท่อนำคลื่นให้เลือกป้อนขนาด  
 ของท่อนำคลื่น ความถี่ใช้งาน ชั้นเวลาที่ใช้ สนามแม่เหล็กหรือสนามไฟฟ้าที่ต้องการให้แสดงผล

ผลที่ได้จากการออกแบบและการวิเคราะห์จะอยู่ในบทที่ 5 จะแสดงผลของสนามแม่เหล็ก  
 หรือสนามไฟฟ้าที่ได้ตามที่ได้เลือกไว้ และวิเคราะห์ผลที่ได้

สรุปผลที่ได้จากการออกแบบ และการวิเคราะห์ จะอยู่ในบทที่ 6 จะสรุปผลของสนาม  
 แม่เหล็กหรือสนามไฟฟ้าที่ได้



## บทที่ 2

# ทฤษฎีของท่อนำคลื่น

### 2.1 สนามที่เปลี่ยนแปลงกับเวลาและสมการของแมกซ์เวลล์

คลื่นแม่เหล็กไฟฟ้าประกอบด้วยองค์ประกอบของสนามไฟฟ้าและสนามแม่เหล็กที่มีการเปลี่ยนแปลงค่าไปตามเวลา การเปลี่ยนแปลงของสนามไฟฟ้าต่อเวลาจะทำให้เกิดสนามแม่เหล็ก และการเปลี่ยนแปลงของสนามแม่เหล็กต่อเวลาจะทำให้เกิดสนามไฟฟ้าขึ้น และจะเป็นเช่นนี้ต่อเนื่องไปตลอดเวลาที่คลื่นเดินทางไป แบบแรกค้นพบจากการทดลองของไมเคิล ฟาราเดย์ (Michael Faraday) ส่วนแบบหลังเป็นผลการศึกษาทางทฤษฎีของ เจมส์ คลาร์ก แมกซ์เวลล์ (James Clerk Maxwell) และเป็นผู้รวมความสัมพันธ์เข้าด้วยกัน เป็นสมการพื้นฐานสำหรับทฤษฎีแม่เหล็กไฟฟ้า 4 สมการ เรียกสมการของแมกซ์เวลล์ (Maxwell's equation)

#### 2.1.1 กฎของฟาราเดย์

กฎของฟาราเดย์ (Faraday's Law) กล่าวว่า “สนามแม่เหล็กที่เปลี่ยนแปลงกับเวลาจะทำให้เกิดแรงเคลื่อนไฟฟ้า (electromotive force : emf) ซึ่งทำให้เกิดกระแสไหลในวงปิดที่เหมาะสมแรงเคลื่อนไฟฟ้านี้จะเป็นศักดาไฟฟ้าที่เกิดจากการที่ตัวนำเคลื่อนที่ในสนามแม่เหล็กหรือเกิดการเปลี่ยนแปลงของสนามแม่เหล็กต่อเวลาก็ได้”

กฎของฟาราเดย์เขียนเป็นสมการทางคณิตศาสตร์ได้ดังนี้

$$emf = -\frac{d\Phi}{dt} \quad (v) \quad (2.1)$$

สมการ (2.1) จะใช้ได้กับวงจรปิดเท่านั้น ส่วน  $\frac{d\Phi}{dt}$  เป็นอัตราการเปลี่ยนแปลงต่อเวลาของฟลักซ์ (flux) หรือเส้นแรงแม่เหล็กที่ตัดผ่านพื้นที่ผิวซึ่งเส้นรอบรูปจะต้องเป็นวงปิด เครื่องหมายลบ (-) สำหรับ emf ที่ทำให้เกิดกระแสซึ่งทำให้เกิดฟลักซ์ขึ้น ฟลักซ์นี้เมื่อรวมกับฟลักซ์เดิมแล้วจะทำให้ขนาดของ emf ลดลง ฟลักซ์ ที่มีทิศทางตรงข้ามนี้เป็นไปตามกฎของเลนส์ (Lenz's Law)

ถ้าเส้นวงปิดเป็นขดลวดตัวนำที่มีจำนวนรอบ N รอบ ถือว่าทุกรอบทับกันพอดีและให้

$$emf = -N \frac{d\Phi}{dt} \quad (2.2)$$

โดยที่  $\Phi$  จะเป็นฟลักซ์ที่ตัดผ่านขดลวดแต่ละขด  $emf$  เป็นศักดาไฟฟ้าซึ่งเป็นค่าสเกลาร์มีหน่วยเป็นโวลท์

นิยามของ  $emf$  ได้จากการอินทิกรัลเชิงเส้นของสนามไฟฟ้าดังนี้

$$emf = \oint \vec{E} \cdot d\vec{L} \quad (2.3)$$

เมื่อ  $\vec{E}$  เป็นความเข้มสนามไฟฟ้า  $emf$  ในสมการ (2.3) จะต้องเป็นศักดาไฟฟ้าในวงจรมอดแทนค่า  $\Phi$  ในสมการ (2.1) ด้วยอินทิกรัลเชิงผิวของ  $\vec{B}$  คือ  $emf = \oint \vec{B} \cdot d\vec{S}$  เมื่อ  $\vec{B}$  เป็นความหนาแน่นฟลักซ์แม่เหล็กจะได้คือ

$$\oint \vec{E} \cdot d\vec{L} = -\frac{d}{dt} \int \vec{B} \cdot d\vec{S} \quad (2.4)$$

เราจะแบ่งการพิจารณา  $emf$  ออกเป็น 2 กรณีคือ

- 1) กรณีของ  $emf$  ที่เกิดจากการเปลี่ยนแปลงของสนามแม่เหล็กภายในวงจรมอดที่อยู่กับที่เรียกว่า ทรานส์ฟอร์มเมอร์ (transformer  $emf$ )
  - 2) กรณีของ  $emf$  ที่เกิดจากการเคลื่อนที่ของวงจรมอดในสนามแม่เหล็กที่คงที่เรียกว่า โมชันแนล หรือเจเนอเรเตอร์  $emf$  (motional or generator  $emf$ )
- ในกรณีแรกตัวที่เปลี่ยนแปลงกับเวลาคือฟลักซ์เท่านั้น สามารถหาสมการได้ดังนี้คือ

$$emf = \oint \vec{E} \cdot d\vec{L} = -\int \frac{\partial \vec{B}}{\partial t} \cdot d\vec{S} \quad (2.5)$$

เมื่อใช้ทฤษฎีของสโตกส์ (Stoke's theorem) จะได้

$$\oint \vec{E} \cdot d\vec{L} = \int (\nabla \times \vec{E}) \cdot d\vec{S} = -\int \frac{\partial \vec{B}}{\partial t} \cdot d\vec{S}$$

นั่นคือจะได้

$$\nabla \times \vec{E} = -\frac{\partial \vec{B}}{\partial t} \quad (2.6)$$

สมการที่ (2.6) หมายถึงการเปลี่ยนแปลงของสนามแม่เหล็กต่อเวลาจะทำให้เกิดสนามไฟฟ้าขึ้น ถ้า  $\vec{B}$  ไม่เป็นฟังก์ชันของเวลา จะได้สมการ (2.5) และ (2.6) คือ

เอกสารนี้เป็นเอกสารที่สงวนไว้สำหรับการใช้งานเพื่อการศึกษาเท่านั้น ไม่อนุญาตให้นำไปใช้ประโยชน์ด้านการค้าไม่ว่ากรณีใดๆ ทั้งสิ้น อีกทั้งห้ามมิให้ตัดแปลงเนื้อหาและต้องอ้างอิงถึงเจ้าของเอกสารทุกครั้งที่มีการนำไปใช้

$$\oint \vec{E} \cdot d\vec{L} = 0 \quad \text{และ} \quad \nabla \times \vec{E} = 0$$

ซึ่งจะตรงกับกรณีของไฟฟ้าสถิต

พิจารณากรณีของวงจรรปิดเคลื่อนที่ในฟลักซ์ที่คงที่ด้วยความเร็ว  $\vec{v}$  แนวคิดเกี่ยวกับโมชันเนล *emf* โดยพิจารณาแรงที่กระทำบนประจุที่เคลื่อนที่ด้วยความเร็ว  $\vec{v}$  ในสนามแม่เหล็ก  $\vec{B}$  จะได้ว่า

$$\vec{F} = Q\vec{v} \times \vec{B}$$

หรือเขียนได้ใหม่เป็น

$$\frac{\vec{F}}{Q} = \vec{v} \times \vec{B} \quad (2.7)$$

แรงกระทำต่อหนึ่งหน่วยประจุในสมการ (2.7) เรียกว่าความเข้มสนามไฟฟ้าโมชันเนล (motional field intensity) ใช้ตัวย่อว่า  $\vec{E}_m$  จะได้

$$\vec{E}_m = \vec{v} \times \vec{B} \quad (2.8)$$

และโมชันเนล *emf* ที่ถูกสร้างโดยตัวนำที่เคลื่อนที่จะเท่ากับ

$$emf = \oint \vec{E}_m \cdot d\vec{L} = \oint (\vec{v} \times \vec{B}) \cdot d\vec{L} \quad (2.9)$$

หาค่าจากสมการทางขวามือของสมการ (2.9) โดยการอินทิเกรตจะได้

$$\oint (\vec{v} \times \vec{B}) \cdot d\vec{L} = \int v B dx = -Bvd$$

ซึ่งจะเท่ากับ *emf* ทั้งหมดที่เกิดขึ้นสำหรับกรณีที่  $\vec{B}$  ไม่เป็นฟังก์ชันของเวลา

ถ้าความหนาแน่นของฟลักซ์เปลี่ยนแปลงกับเวลา เราสามารถสรุปจากทั้งสองกรณี คือ ทรานส์ฟอร์มเมอร์ *emf* จากสมการ (2.5) และโมชันเนล *emf* จากสมการ (2.9) ได้ *emf* รวมคือ

$$emf = \oint \vec{E} \cdot d\vec{L} = - \int \frac{\partial \vec{B}}{\partial t} \cdot d\vec{S} + \oint (\vec{v} \times \vec{B}) \cdot d\vec{L} \quad (2.10)$$

ซึ่งมีค่าสมมูลกับสมการ (2.1)

เอกสารนี้เป็นเอกสารที่สงวนไว้สำหรับการใช้งานเพื่อการศึกษาเท่านั้น ไม่อนุญาตให้นำไปใช้ประโยชน์ด้านการค้า ไม่ว่ากรณีใดๆ ทั้งสิ้น อีกทั้งห้ามมิให้ตัดแปลงเนื้อหาและต้องอ้างอิงถึงเจ้าของเอกสารทุกครั้งที่มีการนำไปใช้

## 2.1.2 กระแสการกระจัด

พิจารณาสนามไฟฟ้าที่เปลี่ยนแปลงกับเวลา จากกฎของแอมแปร์ในสนามแม่เหล็ก สถิตจะได้ว่า

$$\nabla \times \vec{H} = \vec{J} \quad (2.11)$$

เมื่อ  $\vec{H}$  เป็นความเข้มสนามแม่เหล็ก และ  $\vec{J}$  เป็นความหนาแน่นกระแส ถ้าหาไดเวอร์เจนซ์ (divergence) ของค่าทั้งสองข้างของสมการ (2.11) จะได้

$$\nabla \cdot \nabla \times \vec{H} = 0 = \nabla \cdot \vec{J}$$

จากสมการของความต่อเนื่อง (equation of continuity) คือ

$$\nabla \cdot \vec{J} = -\frac{\partial \rho}{\partial t}$$

เมื่อ  $\rho$  เป็นความหนาแน่นประจุเชิงปริมาตร สำหรับสนามที่เปลี่ยนแปลงกับเวลาต้องเพิ่มตัวแปลที่ไม่รู้ค่า (Unknown) ตัวหนึ่งคือ  $\vec{G}$  เข้าไปในสมการ (2.11) คือ

$$\nabla \times \vec{H} = \vec{J} + \vec{G}$$

หาไดเวอร์เจนซ์จะได้

$$\nabla \cdot \nabla \times \vec{H} = 0 = \nabla \cdot \vec{J} + \nabla \cdot \vec{G}$$

$$\nabla \cdot \vec{G} = -\nabla \cdot \vec{J}$$

แทนค่า  $\rho$  ด้วย  $\nabla \cdot \vec{D}$  เมื่อ  $\vec{D}$  เป็นความหนาแน่นฟลักซ์ไฟฟ้า จะได้

$$\nabla \cdot \vec{G} = \frac{\partial}{\partial t} (\nabla \cdot \vec{D}) = \nabla \cdot \frac{\partial \vec{D}}{\partial t}$$

$$\vec{G} = \frac{\partial \vec{D}}{\partial t}$$

ดังนั้นสมการสำหรับสนามที่เปลี่ยนแปลงกับเวลา กฎวงจรของแอมแปร์จะได้เป็น

เอกสารนี้เป็นเอกสารที่สงวนไว้สำหรับการใช้งานเพื่อการศึกษาเท่านั้น ไม่อนุญาตให้นำไปใช้ประโยชน์ด้านการค้า ไม่ว่ากรณีใดๆ ทั้งสิ้น อีกทั้งห้ามมิให้ดัดแปลงเนื้อหาและต้องอ้างอิงถึงเจ้าของเอกสารทุกครั้งที่มีการนำไปใช้

$$\nabla \times \vec{H} = \vec{J} + \frac{\partial \vec{D}}{\partial t} \quad (2.12)$$

สมการนี้หมายความว่า สนามไฟฟ้าที่เปลี่ยนแปลงกับเวลา จะทำให้เกิดสนามแม่เหล็กขึ้นได้  $\frac{\partial \vec{D}}{\partial t}$  มีหน่วยของความหนาแน่นกระแส คือ  $A m^{-2}$  และจะเกิดขึ้นเนื่องจากการเปลี่ยนแปลงของความหนาแน่นฟลักซ์ไฟฟ้ากับเวลา แมกซ์เวลล์จึงเรียกเทอมนี้ว่าเป็นความหนาแน่นกระแสกระจัด (Displacement current density) และใช้สัญลักษณ์ว่า  $\vec{J}_d$  ดังนั้น

$$\nabla \times \vec{H} = \vec{J} + \vec{J}_d \quad \text{เมื่อ} \quad \vec{J}_d = \frac{\partial \vec{D}}{\partial t}$$

$\vec{J}_d$  เป็นความหนาแน่นกระแสดชนิดที่ 3 โดยที่ชนิดแรกคือความหนาแน่นกระแสคอนดัคชัน (Conduction Current Density) มีค่าเป็น

$$\vec{J}_d = \sigma \vec{E}$$

เมื่อ  $\sigma$  เป็นค่าความนำไฟฟ้าและชนิดที่สองคือความหนาแน่นกระแสคอนเวกชัน (Convection Current Density) ซึ่งมีค่าเป็น

$$\vec{J} = \rho \vec{v}$$

กระแสทั้งสองเกิดจากการเคลื่อนที่ประจุเชิงปริมาตร และจะแทนด้วย  $\vec{J}$  ในสมการที่ (2.12) ในตัวกลางที่ไม่ใช่ตัวนำ ความหนาแน่นประจุเชิงปริมาตรจะเป็นศูนย์ นั่นคือ  $\vec{J} = 0$  ดังนั้นในกรณีนี้

$$\nabla \times \vec{H} = \frac{\partial \vec{D}}{\partial t}$$

ซึ่งจะเห็นว่ามียุโรปคล้ายสมการที่ (2.6) คือ

$$\nabla \times \vec{E} = -\frac{\partial \vec{B}}{\partial t}$$

โดยการอินทิเกรตสมการ (2.12) บนพื้นที่  $S$  ดังนี้

$$\int (\nabla \times \vec{H}) \cdot d\vec{S} = \int \vec{J} \cdot d\vec{S} + \int \frac{\partial \vec{D}}{\partial t} \cdot d\vec{S}$$

เอกสารนี้เป็นเอกสารที่สงวนไว้สำหรับการใช้งานเพื่อการศึกษาเท่านั้น ไม่อนุญาตให้นำไปใช้ประโยชน์ด้านการค้าไม่ว่ากรณีใดๆ ทั้งสิ้น อีกทั้งห้ามมิให้ดัดแปลงเนื้อหาและต้องอ้างอิงถึงเจ้าของเอกสารทุกครั้งที่มีการนำไปใช้

และใช้ทฤษฎีของสโตกส์ จะได้กฎวงจรของแอมแปร์ในรูปสมการอินทิกรัลเป็น

$$\oint \vec{H} \cdot d\vec{L} = I + I_d \quad \left( \text{เนื่องจาก } \vec{J}_d = \frac{\partial \vec{D}}{\partial t} \right) \quad (2.13)$$

ในสมการ (2.13)  $I_d$  จะเป็นกระแสกระจัด (Displacement Current)

### 2.1.3 สมการของแมกซ์เวลล์

สมการของแมกซ์เวลล์สำหรับสนามที่เปลี่ยนแปลงกับเวลาคือ

$$\nabla \times \vec{E} = -\frac{\partial \vec{B}}{\partial t} \quad (2.14)$$

$$\nabla \times \vec{H} = \frac{\partial \vec{D}}{\partial t} \quad (2.15)$$

อีก 2 สมการจะเหมือนกับในกรณีของสนามสถิต นั่นคือ

$$\nabla \cdot \vec{D} = \rho \quad (2.16)$$

$$\nabla \cdot \vec{B} = 0 \quad (2.17)$$

สมการทั้ง 4 เป็นสมการพื้นฐานสำหรับทฤษฎีแม่เหล็กไฟฟ้าทั้งหมด อยู่ในรูปของสมการเชิงอนุพันธ์ย่อย (Partial differential equation) ซึ่งแสดงความสัมพันธ์ของสนามไฟฟ้ากับสนามแม่เหล็ก และกับแหล่งกำเนิดความหนาแน่นประจุและกับค่าความหนาแน่นกระแส

นอกจากนี้ยังมีความสัมพันธ์ระหว่าง  $\vec{D}$  กับ  $\vec{E}$  และ  $\vec{B}$  กับ  $\vec{H}$  อีกสองสมการคือ

$$\vec{D} = \epsilon \vec{E} \quad (2.18)$$

$$\vec{B} = \mu \vec{H} \quad (2.19)$$

เมื่อ  $\epsilon$  และ  $\mu$  เป็นค่าคงที่ไดอิเล็กตริก (dielectric constant) และค่าเพอร์มิบิลิตี (Permeability) ของตัวกลาง ตามลำดับ สมการ (2.18) และ (2.19) เมื่อแทนค่าลงในสมการทั้งสี่ของแมกซ์เวลล์ จะช่วยให้สามารถคำนวณหาค่าสนามใดๆ ได้ตามต้องการ

เอกสารนี้เป็นเอกสารที่สงวนไว้สำหรับการใช้งานเพื่อการศึกษาเท่านั้น ไม่อนุญาตให้นำไปใช้ประโยชน์ด้านการค้าไม่ว่ากรณีใดๆ ทั้งสิ้น อีกทั้งห้ามมิให้ตัดแปลงเนื้อหาและต้องอ้างอิงถึงเจ้าของเอกสารทุกครั้งที่มีการนำไปใช้

สมการของแมกซ์เวลล์ข้างบนอยู่ในรูปสมการแบบจุด นอกจากนี้สมการของแมกซ์เวลล์สามารถเขียนในรูปของอินทิกรัล ดังนี้คือ

$$\oint \vec{E} \cdot d\vec{L} = - \int \frac{\partial \vec{B}}{\partial t} \cdot d\vec{S} \quad (2.20)$$

$$\oint \vec{H} \cdot d\vec{L} = I + \int \frac{\partial \vec{D}}{\partial t} \cdot d\vec{S} \quad (2.21)$$

$$\oint \vec{D} \cdot d\vec{S} = \int \rho dv \quad (2.22)$$

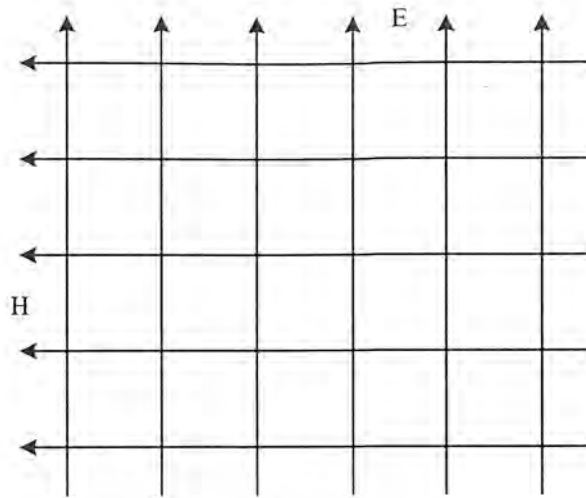
$$\oint \vec{B} \cdot d\vec{S} = 0 \quad (2.23)$$

## 2.2 คลื่นระนาบในตัวกลางไดอิเล็กทริก

ในส่วนนี้จะกล่าวถึงความสัมพันธ์ของสนามไฟฟ้า และสนามแม่เหล็กโดยอาศัยกรณีของการเดินทางหรือการแพร่ (Propagate) ของคลื่นแม่เหล็กไฟฟ้าในตัวกลางซึ่งเป็นสุญญากาศเป็นตัวอย่างในคลื่นชนิดนี้ การเปลี่ยนแปลงของสนามแม่เหล็กต่อเวลาจะทำให้เกิดสนามไฟฟ้าซึ่งเปลี่ยนแปลงตามเวลาขึ้นและการเปลี่ยนแปลงของสนามไฟฟ้าต่อเวลานี้ก็จะทำให้เกิดสนามแม่เหล็กขึ้นอีกเป็นเช่นนี้ต่อเนื่องกันไปเรื่อยๆ ดังนั้นพลังงานจึงสามารถแพร่ไปในสุญญากาศได้ด้วยความเร็วเท่ากับความเร็วแสง

### 2.2.1 คลื่นระนาบและสมการคลื่น

คลื่นระนาบประกอบด้วยสนามไฟฟ้า  $\vec{E}$  และสนามแม่เหล็ก  $\vec{H}$  ซึ่งตั้งฉากกันและตั้งฉากกับทิศทางการแพร่กระจายของคลื่น เสิ่นแรงของสนามจะแสดงได้ดังรูปที่ (2.2) ทิศทางของสนามไฟฟ้า  $\vec{E}$  และสนามแม่เหล็ก  $\vec{H}$  จะตั้งฉากซึ่งกันและกันทุกหนทุกแห่ง ในคลื่นระนาบที่เป็นแบบเอกรูป (uniform) สนาม  $\vec{E}$  และ  $\vec{H}$  จะวางตัวอยู่ในระนาบเดียวกัน และมีค่าเท่ากันที่ทุกตำแหน่งในระนาบนั้น คลื่นที่มีระนาบ  $\vec{E}$  และ  $\vec{H}$  ตั้งฉากกับทิศทางการแพร่ของคลื่นเรียกว่าเป็นคลื่นแม่เหล็กไฟฟ้าตามขวาง (Transverse Electromagnetic Wave) หรือคลื่น TEM สมการคลื่น (Wave equation) สำหรับคลื่นระนาบสามารถหาได้จากสมการของแมกซ์เวลล์ดังต่อไปนี้



รูปที่ 2.1 คลื่นระนาบที่เดินทางออกจากหน้ากระดาษ

พิจารณาจากรูปที่ (2.2) สมมติว่าระนาบคลื่นหนึ่งกำลังเดินทางไปในทิศทางของแกน  $x$  สนามไฟฟ้า  $\vec{E}$  มีเพียงองค์ประกอบเดียวคือ  $E_y$  อยู่ในทิศ  $y$  และสนามแม่เหล็ก  $\vec{H}$  มีองค์ประกอบเดียวคือ  $H_z$  อยู่ในทิศ  $z$  กล่าวได้ว่าคลื่นนี้ถูกโพลาไรซ์ในทิศ  $y$

เนื่องจากพิจารณาคลื่นในตัวกลางที่ไม่เป็นตัวนำ ค่าของความหนาแน่นของกระแสคอนดักชัน  $\vec{J}$  จะมีค่าเป็นศูนย์ ดังนั้นสมการของแมกซ์เวลล์ที่ได้จากกฎของแอมแปร์จะลดรูปลงเหลือเป็น

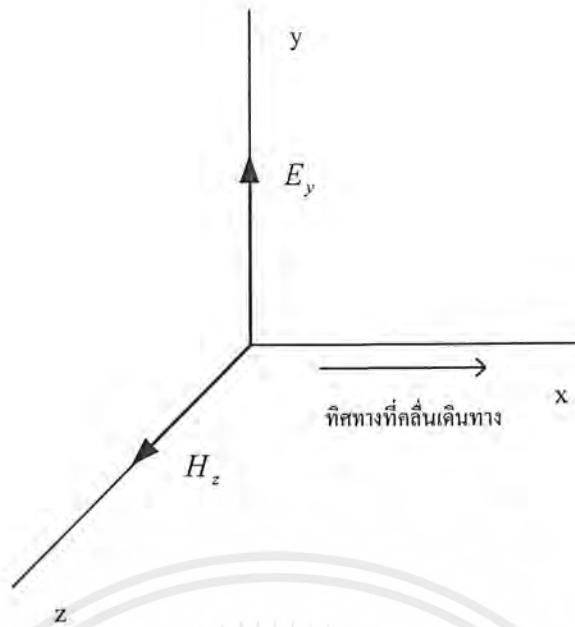
$$\nabla \times \vec{H} = \frac{\partial \vec{D}}{\partial t}$$

หรือในระบบพิกัดคาร์ทีเซียน จะได้เป็น

$$\left( \frac{\partial H_z}{\partial y} - \frac{\partial H_y}{\partial z} \right) \vec{a}_x + \left( \frac{\partial H_x}{\partial z} - \frac{\partial H_z}{\partial x} \right) \vec{a}_y + \left( \frac{\partial H_y}{\partial x} - \frac{\partial H_x}{\partial y} \right) \vec{a}_z = \frac{\partial}{\partial t} (D_x \vec{a}_x + D_y \vec{a}_y + D_z \vec{a}_z)$$

(2.24)

เอกสารนี้เป็นเอกสารที่สงวนไว้สำหรับการใช้งานเพื่อการศึกษาเท่านั้น ไม่อนุญาตให้นำไปใช้ประโยชน์ด้านการค้า ไม่ว่ากรณีใดๆ ทั้งสิ้น อีกทั้งห้ามมิให้ตัดแปลงเนื้อหาและต้องอ้างอิงถึงเจ้าของเอกสารทุกครั้งที่มีการนำไปใช้



รูปที่ 2.2 องค์ประกอบของสนามต่างๆ ของคลื่นระนาบที่สัมพันธ์กับระบบพิกัด

สำหรับคลื่นระนาบที่เดินทางในทิศ  $x$  และไม่มีการเปลี่ยนแปลงของคลื่นในทิศ  $y$  และ  $z$  (ค่าของอนุพันธ์เทียบกับ  $y$  และ  $z$  จะเป็นศูนย์คือ  $\partial/\partial y = \partial/\partial z = 0$ ) เราจะพบองค์ของสนามในสมการ (2.25) ที่ประกอบเป็นคลื่นคือ

$$-\frac{\partial H_z}{\partial x} \bar{a}_y = \frac{\partial D_y}{\partial t} \bar{a}_y$$

ดังนั้น

$$\frac{\partial H_z}{\partial x} = -\epsilon \frac{\partial E_y}{\partial t} \quad (\because D_y = \epsilon E_y) \quad (2.25)$$

สมการของแมกซ์เวลล์ที่ได้จากกฎของฟาราเดย์ คือ

$$\nabla \times \vec{E} = -\frac{\partial \vec{B}}{\partial t}$$

หรือในระบบพิกัดคาร์ทีเซียนจะได้เป็น

$$\left( \frac{\partial E_z}{\partial y} - \frac{\partial E_y}{\partial z} \right) \bar{a}_x + \left( \frac{\partial E_x}{\partial z} - \frac{\partial E_z}{\partial x} \right) \bar{a}_y + \left( \frac{\partial E_y}{\partial x} - \frac{\partial E_x}{\partial y} \right) \bar{a}_z = -\frac{\partial}{\partial t} (B_x \bar{a}_x + B_y \bar{a}_y + B_z \bar{a}_z) \quad (2.26)$$

เอกสารนี้เป็นเอกสารที่สงวนไว้สำหรับการใช้งานเพื่อการศึกษาเท่านั้น ไม่อนุญาตให้นำไปใช้ประโยชน์ด้านการค้า ไม่ว่ากรณีใดๆ ทั้งสิ้น อีกทั้งห้ามมิให้ดัดแปลงเนื้อหาและต้องอ้างอิงถึงเจ้าของเอกสารทุกครั้งที่มีการนำไปใช้

สำหรับคลื่นระนาบที่เดินทางในทิศ  $x$  เมื่อแทนค่า  $\partial/\partial y = \partial/\partial z = 0$  จะมืองค์ประกอบของสนามในสมการ (2.26) ที่ประกอบเป็นคลื่นนี้ คือ

$$\frac{\partial E_y}{\partial x} \bar{a}_z = -\frac{\partial B_z}{\partial t} \bar{a}_z$$

ดังนั้น

$$\frac{\partial E_y}{\partial x} = -\mu \frac{\partial H_z}{\partial t} \quad (\because B_z = \mu H_z) \quad (2.27)$$

สมการที่ (2.25) จะแสดงความสัมพันธ์ของค่าอนุพันธ์ของ  $H_z$  ต่อระยะทางกับค่าอนุพันธ์ของ  $E_y$  ต่อเวลา ในขณะที่เดียวกันสมการที่ (2.27) ก็แสดงความสัมพันธ์ของค่าอนุพันธ์ของ  $E_y$  ต่อระยะทางกับค่าอนุพันธ์ของ  $H_z$  ต่อเวลา ถ้าเราหาอนุพันธ์ของสมการที่ (2.25) เทียบกับเวลา  $t$  และอนุพันธ์ของสมการที่ (2.27) เทียบกับระยะทาง  $x$  เราสามารถกำจัดเทอมของ  $H_z$  ให้หมดไปได้ และจะได้สมการสำหรับ  $E_y$  ในเทอมของ  $t$  และ  $x$  ตามขั้นตอนข้างบน เราจะได้สมการที่ (2.25) ดังนี้

$$\frac{\partial}{\partial t} \left( \frac{\partial H_z}{\partial x} \right) = -\epsilon \frac{\partial^2 E_y}{\partial t^2} \quad (2.28)$$

และจากสมการที่ (2.27) ดังนี้

$$\frac{\partial^2 E_y}{\partial x^2} = -\mu \frac{\partial}{\partial x} \left( \frac{\partial H_z}{\partial t} \right) \quad (2.29)$$

หารตลอดสมการที่ (2.29) ด้วย  $-\mu$  จะได้

$$-\frac{1}{\mu} \frac{\partial^2 E_y}{\partial x^2} = \frac{\partial}{\partial x} \left( \frac{\partial H_z}{\partial t} \right) \quad (2.30)$$

จะได้นิพจน์ทางซ้ายมือของสมการ (2.28) จะเท่ากับนิพจน์ทางขวามือของสมการ (2.30) และจะได้ต่อไปคือ

$$\frac{\partial^2 E_y}{\partial t^2} = \frac{1}{\mu \epsilon} \frac{\partial^2 E_y}{\partial x^2} \quad (2.31)$$

เอกสารนี้เป็นเอกสารที่สงวนไว้สำหรับการใช้งานเพื่อการศึกษาเท่านั้น ไม่อนุญาตให้นำไปใช้ประโยชน์ด้านการค้าไม่ว่ากรณีใดๆ ทั้งสิ้น อีกทั้งห้ามมิให้ดัดแปลงเนื้อหาและต้องอ้างอิงถึงเจ้าของเอกสารทุกครั้งที่มีการนำไปใช้

สมการที่ (2.31) แสดงความสัมพันธ์ของการเปลี่ยนแปลงต่อระยะทางและเวลาของขนาดสเกลาร์  $E_y$  ของความเข้มสนามไฟฟ้า และจะเรียกว่าเป็น “ สมการคลื่น ” ในเทอมของ  $E_y$  ซึ่งคือรูปแบบที่ง่ายที่สุดของสมการคลื่นแบบสเกลาร์

ถ้าหาอนุพันธ์ของสมการ (2.25) เทียบกับ  $x$  และสมการที่ (2.27) เทียบกับ  $t$  เราสามารถจะกำจัดเทอมของ  $E_y$  ให้หมดไปได้ และจะได้สมการคลื่นในรูปเทอมของ  $H_z$  ดังนี้

$$\frac{\partial^2 H_z}{\partial t^2} = \frac{1}{\mu\epsilon} \frac{\partial^2 H_z}{\partial x^2} \quad (2.32)$$

ทั้งสมการที่ (2.31) และ (2.32) จะอยู่ในรูปแบบเดียวกัน เรียกสมการของ D'Alembert ถ้า  $E_y$  ในสมการ (2.31) เป็นทิศทางการเปลี่ยนตำแหน่งในทิศทางตามขวาง สมการนั้นสามารถแทนสมการของการเคลื่อนที่ของการกระเพื่อมบนเส้นเชือกที่ขึงตึงได้ และถ้า  $E_y$  เป็นการบีบอัดทางกล (Mechanical Compression) สมการนั้นจะสามารถใช้เป็นสมการซึ่งอธิบายการเคลื่อนที่ของการอสซิลเลตน้อยๆ ของอากาศภายในท่อแคบๆ ได้ จากที่ได้กล่าวมาแล้วนั้น  $E_y$  จะแทนขนาดของสเกลาร์ของความเข้มสนามไฟฟ้าของคลื่นแม่เหล็กไฟฟ้าระนาบที่เดินทางไปในทิศทาง  $x$  และสมการนี้จะเป็นสมการทั่วไปที่สุดใช้ในการอธิบายการเคลื่อนที่ของสนามไฟฟ้าในรูปของฟังก์ชันของเวลาและระยะทาง

อีกปริมาณคือ  $v$  ในสมการที่ (2.31) โดยที่

$$v^2 = \frac{1}{\mu\epsilon} \quad (2.33)$$

สมการที่ (2.31) จะเขียนได้เป็น

$$\frac{\partial^2 E_y}{\partial t^2} = v^2 \frac{\partial^2 E_y}{\partial x^2} \quad (2.34)$$

$v$  เป็นหน่วยของความเร็ว ความเร็วนี้เป็นคุณสมบัติของตัวกลางขึ้นอยู่กับค่าคงที่  $\mu$  และ  $\epsilon$  ของตัวกลาง สำหรับตัวกลางอิสระ (สุญญากาศ)  $v$  มีค่าประมาณ  $300 \text{ Mms}^{-1}$

## 2.2.2 โขลุขัณฑ์ของสมการคลื่น

สมการคลื่นในรูปของสมการ (2.34) เป็นสมการเชิงอนุพันธ์ย่อยเชิงเส้นอันดับ 2 การที่จะประยุกต์ใช้สมการนี้ได้จะต้องโขลุขัณฑ์สำหรับ  $E_y$  ก่อน เนื่องจากคลื่นโดยทั่วไปมีลักษณะการเปลี่ยนแปลงเป็นคลื่นไซน์ (Sinusoidal) จะเลือกโขลุขัณฑ์ของสมการเป็นในรูปดังต่อไปนี้ คือ

$$E_y = \sin \beta(x + mt) \quad (2.35)$$

เมื่อ  $\beta = 2\pi/\lambda =$  ค่าคงที่ของการแพร่ (Propagation constant)

$\lambda =$  ค่าความยาวคลื่น

$m =$  ค่าคงที่ที่ต้องหา

$t =$  เวลา

เมื่อแทนค่าสมการที่ (2.35) ในสมการที่ (2.34) แล้ว สมการที่ (2.35) จะเป็นโขลุขัณฑ์ได้ก็ต่อเมื่อ

$$m = \pm v \quad (2.36)$$

เมื่อ  $v$  คือความเร็ว ดังนั้น โขลุขัณฑ์ทั่วไปของสมการที่ (2.34) คือ

$$E_y = \sin \beta(x + vt) + \sin \beta(x - vt) \quad (2.37)$$

แต่เนื่องจาก  $v = f\lambda$  จะได้ว่า

$$\beta v = \frac{2\pi}{\lambda} f\lambda = 2\pi f = \omega \quad (2.38)$$

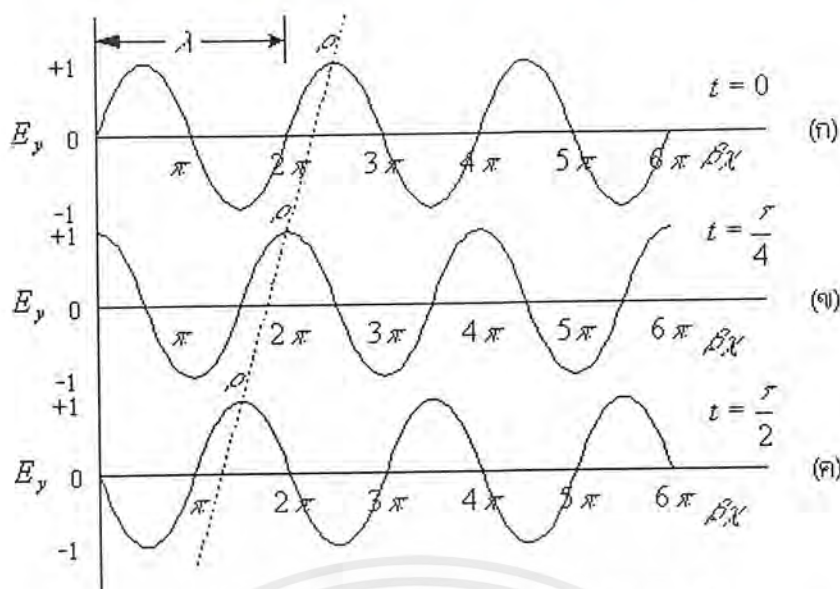
เมื่อ  $\omega$  คือความเร็วเชิงมุม (Angular velocity) ดังสมการที่ (2.37) จะสามารถเขียนได้เป็น

$$E_y = \sin(\beta x + vt) + \sin(\beta x - vt) \quad (2.39)$$

ถ้าเราสมมติว่านิพจน์แรกทางขวามือของสมการที่ (2.37) เพียงพจน์เดียวเป็นโขลุขัณฑ์ นั่นคือ

$$E_y = \sin(\beta x + vt) \quad (2.40)$$

เอกสารนี้เป็นเอกสารที่สงวนไว้สำหรับการใช้งานเพื่อการศึกษาเท่านั้น ไม่อนุญาตให้นำไปใช้ประโยชน์ด้านการค้าไม่ว่ากรณีใดๆ ทั้งสิ้น อีกทั้งห้ามมิให้ดัดแปลงเนื้อหาและต้องอ้างอิงถึงเจ้าของเอกสารทุกครั้งที่มีการนำไปใช้



รูปที่ 2.3 เส้นกราฟสำหรับ  $E_y = \sin(\beta x + \omega t)$  ที่เวลาต่างๆ กัน 3 ค่าคือ  $t = 0, t = T/4$  และ  $t = T/2$  จุดเฟสคงที่  $\rho$  จะเคลื่อนที่ไปทางซ้ายมือในขณะที่เวลาเพิ่มมากขึ้น

ความหมายของสมการที่ (2.40) จะสามารถแสดงให้เห็นได้โดยการคำนวณหาค่าของ  $E_y$  ในรูปของฟังก์ชันของ  $x$  สำหรับค่าต่างๆ ของเวลา  $t$  แรกสุดจะให้  $t = 0$  ดังนั้น  $E_y = \sin \beta x$  เส้นกราฟแสดงได้ดังรูปที่ 2.3 (ก) ต่อไปพิจารณาที่เวลาผ่านไปเศษหนึ่งส่วนสี่ของคาบเวลา (period) นั่นคือเมื่อ  $t = T/4$  เมื่อ  $T$  คือเวลาของหนึ่งคาบเวลาดังนั้น

$$\beta vt = \omega t = (2\pi f)t = \frac{2\pi}{T}t = \frac{2\pi}{T} \frac{T}{4} = \frac{\pi}{2}$$

เส้นกราฟสำหรับ  $t = T/4$  หรือ  $\omega t = \pi/2$  เรเดียน จะแสดงไว้ในรูปที่ 2.3 (ข) ที่เวลาเศษหนึ่งส่วนสองของคาบเวลาต่อมาคือที่  $t = T/2$  และ  $\omega t = \pi$  เรเดียน จะได้เส้นกราฟตามรูป 2.3 (ค) ส่วนยอดสุดของคลื่นลูกหนึ่งกำหนดด้วยจุด P เมื่อเวลาเพิ่มขึ้น จุด P จะเคลื่อนที่ไปทางซ้ายมือ ดังนั้นจากรูปที่ 2.3 ความหมายของสมการที่ (2.40) คลื่นที่เดินทางไปทางซ้ายมือหรือในทิศทาง  $-x$  ค่าสูงสุดของ  $E_y$  สำหรับคลื่นนี้จะเท่ากับหนึ่ง

จุด P เป็นจุดเฟสคงที่ (Constant - Phasepoint) จะกำหนดลักษณะได้โดยเงื่อนไขดังนี้

$$x + vt = \text{const} \tan t \tag{2.41}$$

หาอนุพันธ์ของสมการที่ (2.41) เทียบกับเวลาจะได้

เอกสารนี้เป็นเอกสารที่สงวนไว้สำหรับการใช้งานเพื่อการศึกษาเท่านั้น ไม่อนุญาตให้นำไปใช้ประโยชน์ด้านการค้า ไม่ว่ากรณีใดๆ ทั้งสิ้น อีกทั้งห้ามมิให้ดัดแปลงเนื้อหาและต้องอ้างอิงถึงเจ้าของเอกสารทุกครั้งที่มีการนำไปใช้

$$\frac{dx}{dt} + v = 0$$

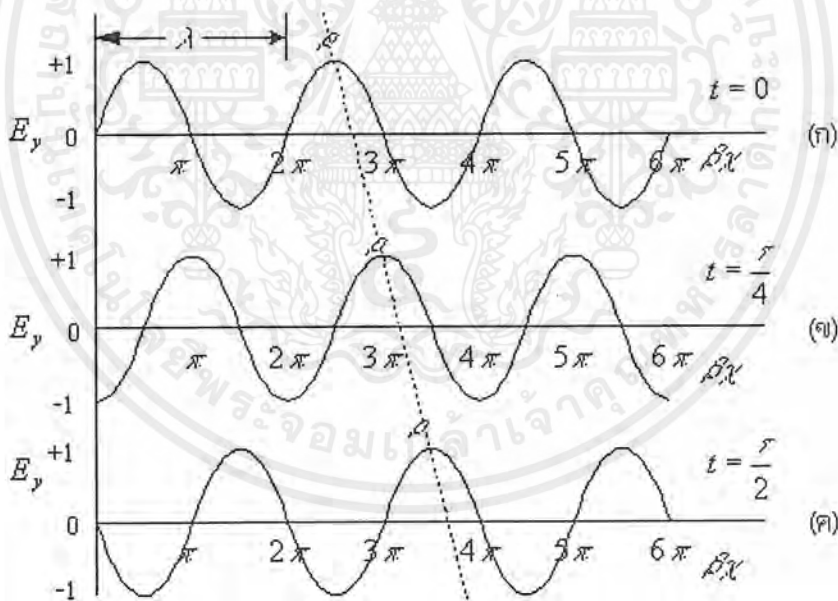
และ 
$$\frac{dx}{dt} = -v \quad (2.42)$$

สมการที่ (2.42),  $dx/dt$  เป็นอัตราการเปลี่ยนแปลงของระยะทางเทียบกับเวลาหรือจุดที่มีเฟสคงที่นั่นเอง ดังนั้น  $v$  จึงเป็นความเร็วของจุดเฟสคงที่ และจะเรียกว่าเป็นความเร็วเฟส (phase velocity) จากสมการข้างบน  $v$  มีค่าเป็นลบ นั่นคือคลื่นที่กำลังพิจารณาเดินทางไปในทิศทาง  $-x$  นั่นเอง

ต่อไปพิจารณานิพจน์สุดท้ายของสมการที่ (2.37) เป็นโซลูชันเพียงพจน์เดียวข้าง

$$E_y = \sin(\beta x - vt) = \sin(\beta x - \omega t) \quad (2.43)$$

แทนค่าที่เวลาต่างๆสำหรับ  $t = 0$ ,  $t = T/4$  และ  $t = T/2$  ในสมการที่ (2.43) จะได้เส้นกราฟดังในรูปที่ 2.4 โดยที่จุดเฟสคงที่  $P$  จะเคลื่อนไปทางขวามือ ในขณะที่เวลาเพิ่มขึ้น ดังนั้นสมการที่ (2.43) จึงแทนคลื่นที่เดินทางในทิศทาง  $+x$



รูปที่ 2.4 เส้นกราฟสำหรับ  $E_y = \sin(\beta x - \omega t)$  ที่เวลาต่างๆ กัน 3 ค่าคือ  $t = 0$ ,  $t = T/4$  และ  $t = T/2$  จุดเฟสคงที่  $P$  จะเคลื่อนที่ไปทางขวามือในขณะที่เวลาเพิ่มมากขึ้น

ถ้าให้  $x - vt$  เท่ากับค่าคงที่และทำต่อไปในลักษณะเดียวกับที่ทำในสมการที่ (2.42) จะได้สำหรับกรณีนี้

เอกสารนี้เป็นเอกสารที่สงวนไว้สำหรับการใช้งานเพื่อการศึกษาเท่านั้น ไม่อนุญาตให้นำไปใช้ประโยชน์ด้านการค้าไม่ว่ากรณีใดๆ ทั้งสิ้น อีกทั้งห้ามมิให้ดัดแปลงเนื้อหาและต้องอ้างอิงถึงเจ้าของเอกสารทุกครั้งที่มีการนำไปใช้

$$\frac{dx}{dt} = +v \quad (2.44)$$

นั่นคือคลื่นที่ด้วยความเร็ว  $v$  ไปในทิศทาง  $+x$

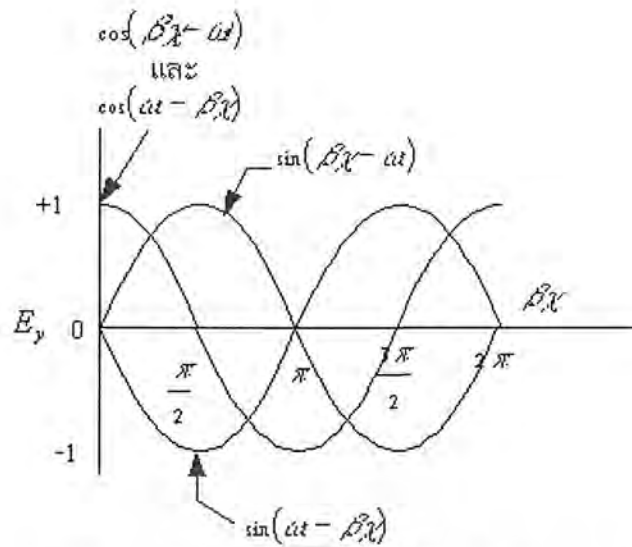
สรุปได้ว่าเครื่องหมายในนิพจน์  $x \pm vt$  หรือในนิพจน์  $\beta x \pm \omega t$  จะใช้กับคลื่นที่เดินทางไปทางขวามือ เครื่องหมายบวกจะใช้กับคลื่นที่เดินทางไปทางซ้ายมือ ดังนั้นสมการที่ (2.37) หมายถึงคลื่นสองคลื่น คลื่นหนึ่งเดินทางไปทางซ้ายมือ อีกคลื่นหนึ่งเดินทางไปทางขวามือ และโซลูชันที่สมบูรณ์ที่สุดจะต้องประกอบด้วยผลรวมของคลื่นทั้งสองนี้

สมการของคลื่นที่เดินทางในทิศทาง  $+x$  สามารถเขียนได้หลายรูปแบบ ซึ่งแต่ละแบบจะเป็นแบบที่สมมูล (Equivalent) กัน นอกจากนี้มีการเลื่อนทางเฟส (Phase displacement) เท่านั้นที่ต่างกัน แบบต่างๆ ที่เขียนได้คือ

$$\begin{aligned} E_y &= \sin(\beta x - \omega t) \\ E_y &= \sin(\omega t - \beta x) \\ E_y &= \cos(\beta x - \omega t) \\ E_y &= \cos(\omega t - \beta x) \end{aligned} \quad (2.45)$$

รูปแบบเหล่านี้สามารถเขียนให้ง่ายขึ้นโดยใช้ความสัมพันธ์คือ  $\sin(-u) = -\sin(u) = \sin(u + \pi)$  และ  $\cos(-u) = \cos u$  จะได้

$$\begin{aligned} E_y &= \sin(\omega t - \beta x) = \sin(\beta x - \omega t + \pi) \\ E_y &= \cos(\beta x - \omega t) = \sin(\beta x - \omega t + \frac{\pi}{2}) \\ E_y &= \cos(\omega t - \beta x) = \sin(\beta x - \omega t + \frac{\pi}{2}) \end{aligned} \quad (2.46)$$



รูปที่ 2.5 รูปแบบต่างๆของนิพจน์ของคลื่นที่เวลา  $t=0$

ความสัมพันธ์ของรูปแบบต่างๆทั้งสี่ในสมการที่ (2.45) จะแสดงให้เห็นได้ด้วยเส้นกราฟรูปที่ 2.5 ซึ่งได้เปรียบเทียบกันในกรณีที่  $t=0$  โดยการแทนค่า  $t$  ค่าต่างๆ ลงในสมการทั้งสี่ จะเห็นได้ว่าแต่ละกรณีสมการจะแทนคลื่นที่เดินทางไปทางขวามือเหมือนกัน สิ่งที่แตกต่างกันคือการเลื่อนทางเฟสเท่านั้น ในแต่ละแบบในจำนวนสี่แบบในสมการที่ (2.45) จะสามารถแทนคลื่นในทิศทาง  $+x$  ได้ด้วยกันทั้งสิ้น ดังนั้นถ้าเลือกรูปแบบเป็น

$$E_y = \sin(\omega t - \beta x) \quad (2.47)$$

นิพจน์ของเวลาจะเป็นบวกเสมอสำหรับคลื่นที่เดินทางไปไม่ว่าจะเป็นทิศ  $+x$  หรือ  $-x$  กำหนดความสูงสุดของ  $E_y$  เป็น  $E_0$  จะได้

$$E_y = E_0 \sin(\omega t - \beta x) \quad (2.48)$$

เนื่องจาก  $f = 1/T$  และ  $\beta = 2\pi/\lambda$  จะได้

$$E_y = E_0 \sin\left(2\pi \frac{t}{T} - 2\pi \frac{x}{\lambda}\right) \quad (2.49)$$

พจน์ที่แสดงในสมการ (2.48) และ (2.49) จะแทนคลื่นที่เดินทางในทิศ  $+x$  ทั้งคู่ สำหรับคลื่นที่เดินทางในทิศ  $-x$  จะมีนิพจน์ดังนี้คือ

เอกสารนี้เป็นเอกสารที่สงวนไว้สำหรับการใช้งานเพื่อการศึกษาเท่านั้น ไม่อนุญาตให้นำไปใช้ประโยชน์ด้านการค้า ไม่ว่ากรณีใดๆ ทั้งสิ้น อีกทั้งห้ามมิให้ดัดแปลงเนื้อหาและต้องอ้างอิงถึงเจ้าของเอกสารทุกครั้งที่มีการนำไปใช้

$$E_y = E_0 \sin(\omega t + \beta x) \quad (2.50)$$

และ 
$$E_y = E_0 \sin\left(2\pi \frac{t}{T} + 2\pi \frac{x}{\lambda}\right) \quad (2.51)$$

โซลูชันของสมการคลื่นในสมการ (2.48) และ (2.50) สามารถเขียนในรูปของ  
เอ็กซ์โพเนนเชียลได้คือ

$$E_y = E_0 \cdot e^{j(\omega t - \beta x)} \quad (2.52)$$

โดยสนามที่ขณะหนึ่งขณะใดของเวลาจะหาได้จากเทอม ซึ่งเป็นส่วนจินตภาพ (Imaginary part)  
หรือส่วนจริง (real part) ของฟังก์ชันเอ็กซ์โพเนนเชียลนี้ ถ้าเลือกเอาเฉพาะส่วนจินตภาพ (Im)  
จะได้

$$E_y = E_0 \operatorname{Im} \cdot e^{j(\omega t - \beta x)} = E_0 \sin(\omega t - \beta x) \quad (2.53)$$

ถ้าเอาส่วนจริง (Re) จะได้

$$E_y = E_0 \operatorname{Re} \cdot e^{j(\omega t - \beta x)} = E_0 \cos(\omega t - \beta x) \quad (2.54)$$

โดยการหาอนุพันธ์ที่สองของสมการที่ (2.52) เทียบกับ  $t$  และ  $x$  สามารถพิสูจน์ได้ว่าสมการที่  
(2.52) เป็นโซลูชันของสมการคลื่นจริง

### 2.2.3 ตารางแสดงโซลูชันของสมการคลื่น

ในตารางที่ 1 ได้แสดงโซลูชันตรีโกณและโซลูชันเอ็กซ์โพเนนเชียลสำหรับคลื่นระนาบ  
ในตัวกลางที่ไม่มีการสูญเสีย ประกอบด้วยโซลูชันของคลื่นที่เดินทางในทางซ้ายมือ (ทิศทาง  $-x$ )  
และที่เดินทางไปทางขวามือ (ทิศทาง  $+x$ ) โซลูชันเขียนในรูปผลรวมของโซลูชันของคลื่นทั้งสอง  
ก็ได้แสดงไว้ด้วย

### ตารางที่ 1 โขลู่ชั้นของสมการคลื่น

	ในฟอร์มตรีโกณ	ในฟอร์มเอ็กซ์โพเนนเชียล
คลื่นไปทางขวา	$E_y = E_1 \sin(\omega t - \beta x)$	$E_y = E_1 \cdot e^{j(\omega t - \beta x)}$
คลื่นไปทางซ้าย	$E_y = E_0 \sin(\omega t + \beta x)$	$E_y = E_0 \cdot e^{j(\omega t + \beta x)}$
ผลรวมของคลื่นทั้งสอง	$E_y = E_0 \sin(\omega t + \beta x)$ $+ E_1 \sin(\omega t - \beta x)$	$E_y = E_0 \cdot e^{j(\omega t + \beta x)}$ $+ E_1 \cdot e^{j(\omega t - \beta x)}$

#### 2.2.4 ความเร็วเฟส

$x - vt$  เป็นค่าคงที่สำหรับจุดที่มีค่าเฟสคงที่ในคลื่นที่เดินทาง เมื่อเป็นดังนี้  $\omega t - \beta x$  ก็ต้องเป็นค่าคงที่ด้วย นั่นคือค่าของ  $t$  และ  $x$  จะต้องเปลี่ยนไปพร้อมกันในลักษณะที่ทำให้

$$\omega t - \beta x = \text{ค่าคงที่} \quad (2.55)$$

หาอนุพันธ์ของสมการที่ (2.55) เทียบกับเวลาและหาความเร็วของจุดที่มีเฟสคงที่ ดังเช่นที่ทำแล้วในสมการที่ (2.42) จะได้

$$\omega - \beta \frac{dx}{dt} = 0$$

หรือ

$$\frac{dx}{dt} = \frac{\omega}{\beta} \quad (2.56)$$

ดังนั้นความเร็วเฟสหรือความเร็วของจุดเฟสคงที่มีค่าเท่ากับ  $\omega/\beta$  ซึ่งจะมีหน่วยเป็นของความเร็ว

$$\frac{\omega}{\beta} = \frac{2\pi f}{2\pi/\lambda} = \lambda f = \text{ความเร็ว} \quad (2.57)$$

เมื่อ  $\lambda$  = ความยาวคลื่น

$f$  = ความถี่, Hz

ผลคูณของ  $\lambda f$  มีหน่วยเป็นระยะทางต่อเวลาหรือหน่วยของความเร็

จากสมการที่ (2.33) จะได้ว่าความเร็วเฟสมีค่าเป็น

เอกสารนี้เป็นเอกสารที่สงวนไว้สำหรับการใช้งานเพื่อการศึกษาเท่านั้น ไม่อนุญาตให้นำไปใช้ประโยชน์ด้านการค้าไม่ว่ากรณีใดๆ ทั้งสิ้น อีกทั้งห้ามมิให้ตัดแปลงเนื้อหาและต้องอ้างอิงถึงเจ้าของเอกสารทุกครั้งที่มีการนำไปใช้

$$\frac{\omega}{\beta} = v = \frac{1}{\sqrt{\mu\epsilon}} \quad (2.57)$$

สมการที่ (2.58) จะเป็นความเร็วเฟสของคลื่นในตัวกลางเนื้อเดียวกันที่มีค่าเพอร์มิบิลิตี  $\mu$  และค่าคงที่ไดอิเล็กทริก  $\epsilon$  สำหรับตัวกลางอิสระ (สูญญากาศ) ความเร็วนี้จะมีค่าเท่ากับความเร็วแสง เขียนด้วยตัวอักษร  $c$  แทน

$$c = \frac{1}{\sqrt{\mu_0\epsilon_0}} = 299.79 \text{ Mms}^{-1} \text{ (จากการวัด)} \quad (2.59)$$

ในหน่วย SI ค่าเพอร์มิบิลิตีของสูญญากาศเท่ากับ

$$\mu_0 = 400\pi \text{ nHm}^{-1} \quad (\text{ค่าที่ขงตรงจากนิยาม})$$

ดังนั้นค่าคงที่ไดอิเล็กทริกของสูญญากาศ จะเป็น

$$\epsilon_0 = \frac{1}{\mu_0 c^2} = 8.85 \text{ pFm}^{-1}$$

สำหรับตัวกลางชนิดอื่นๆ ค่าความเร็วเฟสเปรียบเทียบกับความเร็วแสงหรือเรียกว่าเป็นความเร็วสัมพัทธ์ (relative velocity) จะเป็น

$$p = \frac{v}{c} = \frac{\sqrt{\mu_0\epsilon_0}}{\sqrt{\mu\epsilon}} = \frac{1}{\sqrt{\mu_r\epsilon_r}} \quad (\text{ไม่มีหน่วย}) \quad (2.60)$$

เมื่อ  $\mu_r$  = ค่าเพอร์มิบิลิตีของของตัวกลาง

$\epsilon_r$  = ค่าคงที่ไดอิเล็กทริกสัมพัทธ์ของตัวกลาง

ความเร็วเฟสของคลื่นระนาบในตัวกลางเนื้อเดียวกันที่ไม่มี การสูญเสียจะเท่ากับหรือน้อยกว่าความเร็วของแสง ( $p \leq 1$ ) แต่โดยทั่วไปแล้วความเร็วเฟสอาจจะมีค่ามากกว่าหรือน้อยกว่าความเร็วแสงก็ได้ เช่นในท่อนำคลื่นโลหะแบบกลวง (Hollow metal waveguide)  $v$  จะมีค่าเท่ากับหรือมากกว่า  $c$  เสมอ

เอกสารนี้เป็นเอกสารที่สงวนไว้สำหรับการใช้งานเพื่อการศึกษาเท่านั้น ไม่อนุญาตให้นำไปใช้ประโยชน์ด้านการค้าไม่ว่ากรณีใดๆ ทั้งสิ้น อีกทั้งห้ามมิให้ดัดแปลงเนื้อหาและต้องอ้างอิงถึงเจ้าของเอกสารทุกครั้งที่มีการนำไปใช้

ถ้าคลื่นสองคลื่นที่มีความถี่เท่ากัน เดินทางด้วยความเร็วเท่ากันในทิศทางตรงข้ามกันหรือเดินทางด้วยความเร็วต่างกันในทิศทางเดียวกัน ค่าความเร็วเฟสของผลลัพธ์ของคลื่นทั้งสองจะไม่เป็นค่าคงที่อีกต่อไป แต่จะเปลี่ยนแปลงเป็นฟังก์ชันของตำแหน่งแทน การหาค่าการเลื่อนเฟส (phase shift) ทางไฟฟ้า โดยวิธีการเปรียบเทียบเฟส ระหว่างจุดสองจุดอ้างอิง

สำหรับคลื่นที่เดินทางในทิศทาง  $+x$  จะเกิดเฟสล้าหลัง (Phase lag) จำนวนน้อยๆ นั่นคือ  $d\phi$  หรือเฟสแอดวานซ์เมนต์ (Phase advancement)  $-d\phi$  ขึ้นในระยะทาง  $+dx$  เวลาที่ต้องการสำหรับจุดเฟสคงที่จะเคลื่อนผ่านระยะนี้จะมีค่าเป็น

$$dt = -\frac{T}{2\pi} d\phi \quad s$$

เมื่อ  $T$  เป็นเวลาสำหรับหนึ่งคาบเวลา ดังนั้นค่าความเร็วเฟสในรูปฟังก์ชันของตำแหน่งจะเป็น

$$v = \frac{dx}{dt} = \frac{-dx}{(T/2\pi)d\phi} = \frac{-\omega}{d\phi/dx} \quad (2.62)$$

สำหรับคลื่นที่เดินทางในทิศทาง  $+x$ ,  $d\phi/dx$  จะเป็นลบ และทำให้  $v$  เป็นบวกเมื่อเปรียบเทียบกับสมการที่ (2.62) จะเห็นว่าค่าความเร็วเฟสคือ  $\omega/\beta$  ในสมการที่ (2.58) จะเป็นค่าความเร็วเฟสเฉลี่ยด้วยจำนวนเต็มของความยาวคลื่น ดังนั้นหารสมการที่ (2.62) ด้วย  $\omega/\beta$  จะได้ค่าความเร็วเฟสสัมพัทธ์  $p$  ซึ่งเป็นฟังก์ชันของตำแหน่งดังนี้

$$p = \frac{-\omega}{d\phi/dx} \quad (2.63)$$

เมื่อ  $\beta = 2\pi/\lambda \quad (m^{-1})$

$\lambda =$  ความยาวคลื่นในตัวกลางอิสระ ( $m$ )

ทั้ง  $v$  ในสมการที่ (2.62) และ  $p$  ในสมการ (2.63) จะมีประโยชน์เมื่อความเร็วเฟสเป็นฟังก์ชันของตำแหน่ง

### 2.2.5 ดัชนีของการหักเห

ในเรื่องของแสงคำว่าดัชนีการหักเห  $n$  (Index of refraction) คือส่วนกลับของค่าความเร็วเฟสสัมพัทธ์  $p$  นั่นคือ

เอกสารนี้เป็นเอกสารที่สงวนไว้สำหรับการใช้งานเพื่อการศึกษาเท่านั้น ไม่อนุญาตให้นำไปใช้ประโยชน์ด้านการค้าไม่ว่ากรณีใดๆ ทั้งสิ้น อีกทั้งห้ามมิให้ดัดแปลงเนื้อหาและต้องอ้างอิงถึงเจ้าของเอกสารทุกครั้งที่มีการนำไปใช้

$$\eta = \frac{1}{p} = \frac{1}{v/c} = \frac{c}{v} = \sqrt{\mu_r \epsilon_r} \quad (2.64)$$

สำหรับตัวกลางที่ไม่มีคุณสมบัติเป็นแม่เหล็ก  $\mu_r$  จะมีค่าใกล้เคียง 1 ดังนั้น

$$\eta = \sqrt{\epsilon_r} \quad (2.65)$$

ค่าไดอิเล็กทริก  $\epsilon$  ไม่ได้เป็นค่าคงที่แต่จะเป็นฟังก์ชันของความถี่ ที่ความถี่เท่ากับศูนย์  $\epsilon_r = 81$  แต่ที่ความถี่ย่านแสง  $\epsilon_r = 1.33^2 = 1.77$  ค่าดัชนีการหักเหและค่าคงที่ไดอิเล็กทริกของสารอื่นๆ ก็เช่นเดียวกันจะเปลี่ยนแปลงเป็นฟังก์ชันของความถี่

### 2.2.6 ความเร็วกรุป

พิจารณาคคลื่นระนาบที่เดินทางในทิศทาง  $+x$  ดังแสดงในรูปที่ 2.2 สมมติให้สนามไฟฟ้าทั้งหมดมีค่าเป็น

$$E_y = E_0 \cos(\omega t - \beta x) \quad (2.66)$$

และสมมติว่าคลื่นมีสองความถี่ที่มีขนาดเท่ากันคือ

$$\omega_0 + \Delta\omega$$

และ

$$\omega_0 - \Delta\omega$$

เมื่อเป็นเช่นนี้ค่าของ  $\beta$  ที่สอดคล้องกับความถี่ทั้งสองจะมีค่าเป็น

$$\beta_0 + \Delta\beta \text{ สอดคล้องกับ } \omega_0 + \Delta\omega$$

และ

$$\beta_0 - \Delta\beta \text{ สอดคล้องกับ } \omega_0 - \Delta\omega$$

สำหรับความถี่ที่ 1

$$E'_y = E_0 \cos[(\omega_0 + \Delta\omega)t - (\beta_0 + \Delta\beta)x] \quad (2.67)$$

และความถี่ที่ 2

$$E''_y = E_0 \cos[(\omega_0 - \Delta\omega)t - (\beta_0 - \Delta\beta)x] \quad (2.68)$$

เอกสารนี้เป็นเอกสารที่สงวนไว้สำหรับการใช้งานเพื่อการศึกษาเท่านั้น ไม่อนุญาตให้นำไปใช้ประโยชน์ด้านการค้า ไม่ว่ากรณีใดๆ ทั้งสิ้น อีกทั้งห้ามมิให้ดัดแปลงเนื้อหาและต้องอ้างอิงถึงเจ้าของเอกสารทุกครั้งที่มีการนำไปใช้

รวมสนามไฟฟ้าทั้งสองจะได้คือ

$$E_y = E'_y + E''_y$$

หรือ

$$E_y = E_0 \cos[(\omega_0 + \Delta\omega)t - (\beta_0 + \Delta\beta)x] + E_0 \cos[(\omega_0 - \Delta\omega)t - (\beta_0 - \Delta\beta)x] \quad (2.69)$$

คุณสมบัติการที่ (2.69) ออกมาและใช้การแปลงทางตรีโกณมิติเข้าช่วย จะได้

$$E_y = 2E_0 \cos(\omega_0 t - \beta_0 x) \cos(\Delta\omega t - \Delta\beta x) \quad (2.70)$$

แฟกเตอร์ของโคไซน์ทั้งสองที่ปรากฏแสดงถึงว่าเกิดการผสมของสัญญาณเกิดขึ้น กล่าวคือสัญญาณที่มีการเปลี่ยนแปลงช้าจะเกาะอยู่บนสัญญาณที่มีการเปลี่ยนแปลงเร็วกว่าสำหรับจุดที่มีค่าเฟสคงที่

$$\omega_0 t + \beta_0 x = \text{ค่าคงที่}$$

และ

$$\frac{dx}{dt} = \frac{\omega_0}{\beta_0} = v = f_0 \lambda_0 \quad (2.71)$$

เมื่อ  $v$  เป็นความเร็วเฟส โคนการกำหนดให้ค่าของมุมแฟกเตอร์โคไซน์นี้พจน์ที่สองเท่ากับค่าคงที่ จะได้คือ

$$\Delta\omega_0 t + \Delta\beta_0 x = \text{ค่าคงที่}$$

และ

$$\frac{dx}{dt} = \frac{\Delta\omega}{\Delta\beta} = u = \Delta f \Delta \lambda \quad (2.72)$$

เมื่อ  $u$  เป็นความเร็วเฟสของคลื่นเรียกว่าเป็นความเร็วกรุป (Group velocity)

ในตัวกลางนอนดิสเพอซีฟ (Nondispersive media) ความเร็วกรุปจะมีค่าเท่ากับความเร็วเฟส ตัวกลางอิสระเป็นตัวอย่างหนึ่งของตัวกลางที่ไม่มีการสูญเสีย เป็นตัวกลางนอนดิสเพอซีฟ และในตัวกลางอิสระนี้  $u = v = c$  อย่างไรก็ตาม ในตัวกลางดิสเพอซีฟ (dispersive media) ความเร็วเฟสและความเร็วกรุปมีค่าแตกต่างกัน

ตัวกลางดิสเพอซีฟ หมายถึงตัวกลางที่มีความเร็วเฟสเป็นฟังก์ชันของความถี่ (และเป็นฟังก์ชันของความยาวคลื่นในตัวกลางอิสระด้วย)

สำหรับความถี่ที่เฉพาะเจาะจง (แบนด์วิดธ์น้อยมากเข้าใกล้ศูนย์)

เอกสารนี้เป็นเอกสารที่สงวนไว้สำหรับการใช้งานเพื่อการศึกษาเท่านั้น ไม่อนุญาตให้นำไปใช้ประโยชน์ด้านการค้าไม่ว่ากรณีใดๆ ทั้งสิ้น อีกทั้งห้ามมิให้ดัดแปลงเนื้อหาและต้องอ้างอิงถึงเจ้าของเอกสารทุกครั้งที่มีการนำไปใช้

$$u = \lim_{\Delta\omega \rightarrow 0} \frac{\Delta\omega}{\Delta\beta} = \frac{d\omega}{d\beta} \quad (2.73)$$

เนื่องจาก  $\omega = 2\pi f = 2\lambda f / \lambda = Bv$  ดังนั้น

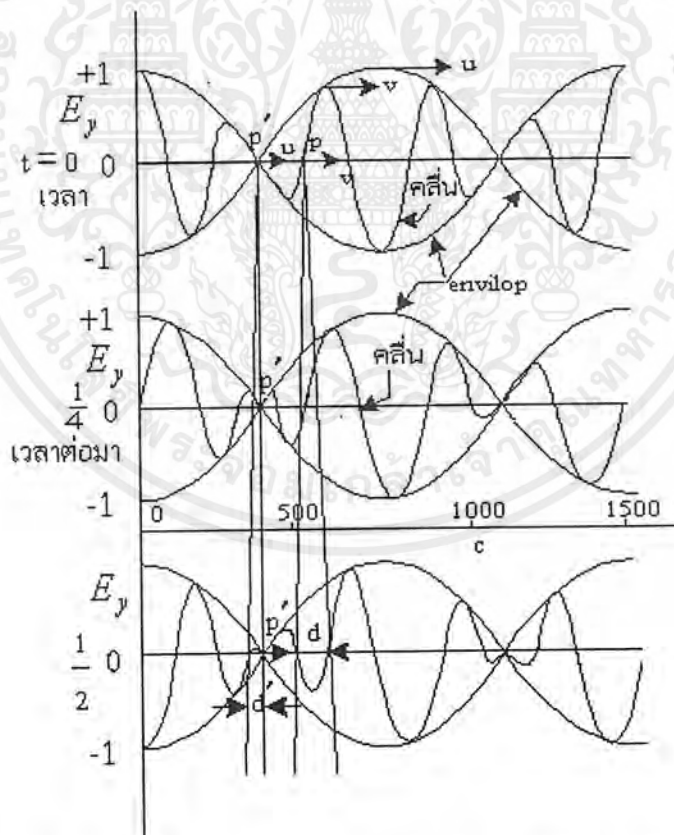
$$u = \frac{d\omega}{d\beta} = \frac{d(Bv)}{d\beta} = \beta \frac{dv}{d\beta} + v$$

หรือ

$$u = v + \lambda \frac{dv}{d\beta}$$

นอกจากนี้ยังแสดงให้เห็นได้เช่นเดียวกันอีกคือ

$$u = v - \lambda \frac{dv}{d\beta} \quad (2.74)$$



รูปที่ 2.6 จุดเฟสคงที่  $p$  ของคลื่นจะเคลื่อนที่ด้วยความเร็วเฟส  $v$  ในขณะที่จุด  $p'$  ของ envelop จะเคลื่อนที่ไปด้วยความเร็วกรุปจะเป็นครึ่งหนึ่งของความเร็วเฟส

เอกสารนี้เป็นเอกสารที่สงวนไว้สำหรับการใช้งานเพื่อการศึกษาเท่านั้น ไม่อนุญาตให้นำไปใช้ประโยชน์ด้านการค้า  
ไม่ว่ากรณีใดๆ ทั้งสิ้น อีกทั้งห้ามมิให้ดัดแปลงเนื้อหาและต้องอ้างอิงถึงเจ้าของเอกสารทุกครั้งที่มีการนำไปใช้

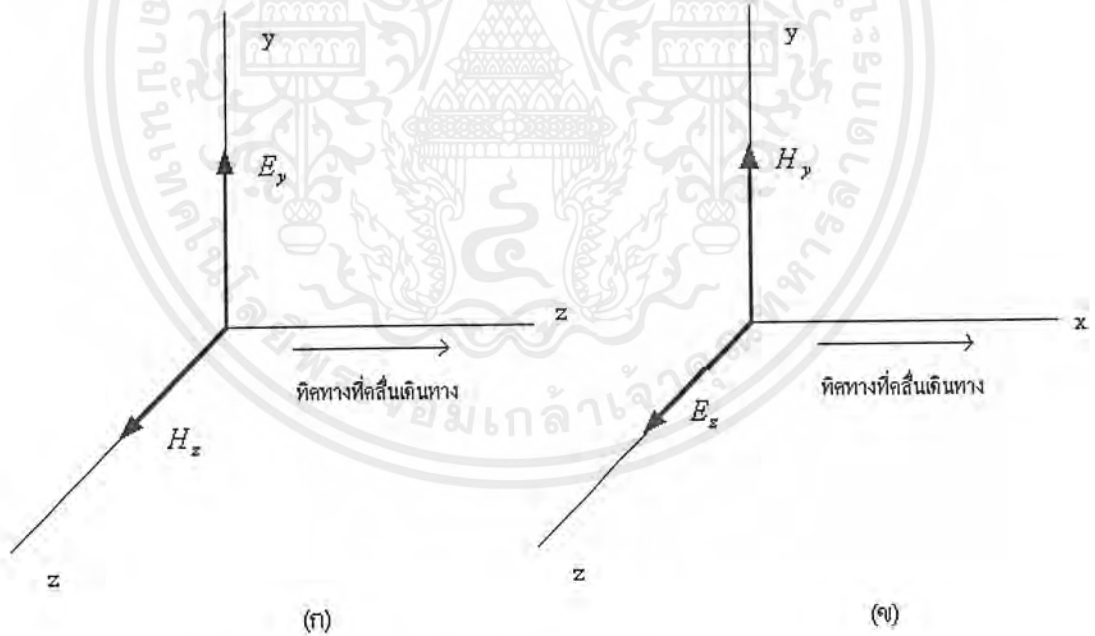
สมการที่ (2.74) และ (2.75) มีประโยชน์ในการหาค่าความเร็วกรู๊ป จากฟังก์ชันของความถี่เฟสที่กำหนด สำหรับคลื่นที่มีความถี่เดียวและมีขนาดคงที่จะไม่มีความเร็วกรู๊ป ใดๆ ก็ตามถ้าคลื่นประกอบด้วยสองความถี่หรือมากกว่า หรือเป็นกลุ่มของความถี่ดังเช่นในคลื่นที่ถูกมอดดูเลทแล้วจะพบว่ามีความเร็วกรู๊ปเนื่องจากขนาดของคลื่นจะไม่สม่ำเสมอ และคลื่นแต่ละคลื่นจะปรากฏเป็นกลุ่มซึ่งอาจถูกบีบอัดด้วยเอนวิโลพ

### 2.3 ท่อนำคลื่นวิเคราะห์โดยสมการแมกซ์เวลล์

ท่อนำคลื่นเป็นสายส่ง (Transmission line) ชนิดหนึ่งซึ่งเป็นอุปกรณ์สำหรับส่งหรือเป็นตัวพาพลังงาน ในรูปคลื่นจากจุดหนึ่งไปยังอีกจุดหนึ่งโดยที่ได้ประสิทธิภาพในการส่งสูงสุดมีค่าการสูญเสียจากความร้อนและการแผ่กระจายของคลื่น (Radiation) น้อยที่สุด

สายส่งมีหลายรูปร่างและหลายแบบ เราสามารถแยกชนิดของสายส่งได้ด้วยลักษณะการกระจายของสนามหรือโหมด (Mode) โดยแบ่งออกเป็นสองกลุ่มใหญ่ๆ ดังนี้

- 1) สายส่งที่สามารถนำได้เฉพาะคลื่นแม่เหล็กไฟฟ้าตามขวาง หรือ TEM โหมด (Transverse Electromagnetic modes)



รูปที่ 2.7 องค์ประกอบของสนามต่างๆ ของคลื่น TEM โหมดที่สัมพันธ์กับระบบพิกัด  
(ก) โพลาริซในทิศ y                      (ข) โพลาริซในทิศ z

เอกสารนี้เป็นเอกสารที่สงวนไว้สำหรับการใช้งานเพื่อการศึกษาเท่านั้น ไม่อนุญาตให้นำไปใช้ประโยชน์ด้านการค้าไม่ว่ากรณีใดๆ ทั้งสิ้น อีกทั้งห้ามมิให้ดัดแปลงเนื้อหาและต้องอ้างอิงถึงเจ้าของเอกสารทุกครั้งที่มีการนำไปใช้

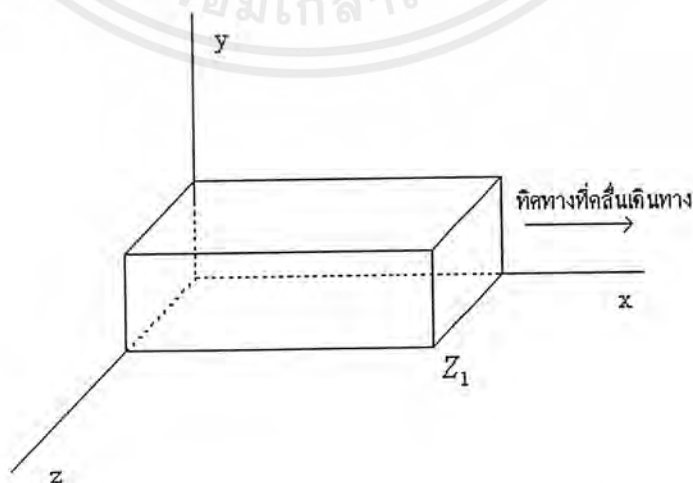
2) สายส่งที่สามารถนำได้เฉพาะคลื่นโหมคอันดับสูง (Higher-order mode) ในคลื่น TEM โหมด ทั้งสนามไฟฟ้าและสนามแม่เหล็กจะอยู่ในทิศทางที่คลื่นเดินทาง นั่นคือไม่มีองค์ประกอบของทั้ง  $\vec{E}$  และ  $\vec{H}$  ในทิศทางที่คลื่นเดินทาง สำหรับคลื่นโหมคอันดับสูงจะมีองค์ประกอบของสนาม  $\vec{E}$  หรือ  $\vec{H}$  หรือทั้ง  $\vec{E}$  และ  $\vec{H}$  ในทิศทางที่คลื่นเดินทางอย่างน้อยหนึ่งองค์ประกอบดังแสดงในรูปที่ 2.7 ตัวอย่างของสายส่งที่นำคลื่น TEM โหมด ได้แก่สายตัวนำสองเส้นทุกชนิดเช่น สายโคแอกเซียล (Coaxial line) และสายส่งคู่ขนาน เป็นต้น สำหรับตัวอย่างของสายส่งตัวนำคลื่นโหมคอันดับสูงได้แก่ ท่อนำคลื่นตัวนำเดี่ยวแบบกลวงและแท่งไดอิเล็กทริก เป็นต้น

ดังนั้นเพื่อให้ชี้เฉพาะเจาะจงได้แน่ชัดไปได้คำว่าสายหรือสายส่งจะหมายถึงอุปกรณ์ที่นำคลื่น TEM โหมด ในขณะที่คำว่าท่อนำคลื่น (waveguide) จะใช้กับอุปกรณ์ที่นำคลื่นโหมคอันดับสูงเท่านั้น ตัวอย่างของสายส่งและท่อนำคลื่นแบบต่างๆ แสดงในรูปที่ 2.9

### 2.3.1 ท่อนำคลื่นทรงสี่เหลี่ยมกลวง

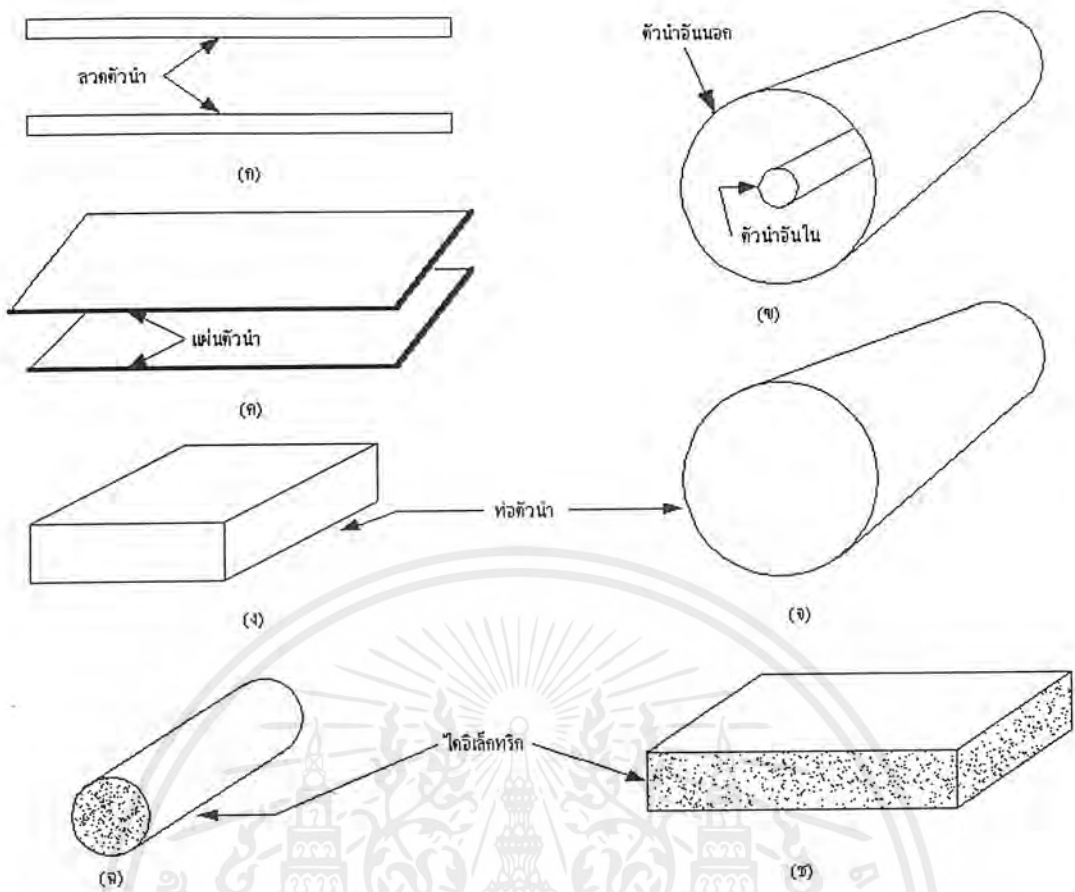
วิธีการหาคุณสมบัติของคลื่นในท่อนำคลื่นทรงสี่เหลี่ยมกลวงสามารถแบ่งออกเป็นขั้นตอนต่างๆ ได้ดังนี้คือ

- 1) เริ่มต้นจากสมการของแมกซ์เวลล์ จากนั้นหาสมการคลื่นในระบบพิกัดคาร์ทีเซียน
- 2) กำหนดลักษณะการเปลี่ยนแปลงของคลื่นต่อเวลาเป็นแบบฮาร์มอนิก
- 3) กำหนดลักษณะการเปลี่ยนแปลงและการลดทอนขนาด (attenuation) ของคลื่นต่อระยะทางในทิศที่คลื่นเดินทางคือ ทิศ  $x$  ในรูปที่ 2.8
- 4) เลือกชนิดหรือโหมดของคลื่นที่จะทำการวิเคราะห์ เช่นเป็นคลื่น TE โหมด ซึ่งมี  $E_x = 0$  และ  $H_x$  ไม่เป็น 0 หรือเป็นคลื่น TM โหมด ซึ่งมี  $H_x = 0$  และ  $E_x$  ไม่เท่ากับ 0 เป็นต้น



รูปที่ 2.8 ท่อนำคลื่นทรงสี่เหลี่ยมกลวงและระบบพิกัดที่สัมพันธ์กัน

เอกสารนี้เป็นเอกสารที่สงวนไว้สำหรับการใช้งานเพื่อการศึกษาเท่านั้น ไม่อนุญาตให้นำไปใช้ประโยชน์ด้านการค้า ไม่ว่ากรณีใดๆ ทั้งสิ้น อีกทั้งห้ามมิให้ดัดแปลงเนื้อหาและต้องอ้างอิงถึงเจ้าของเอกสารทุกครั้งที่มีการนำไปใช้



รูปที่ 2.9 ตัวอย่างของสายส่งและท่อนำคลื่นแบบต่างๆ

- |                                 |                                 |
|---------------------------------|---------------------------------|
| (ก) สายส่งคู่ขนาน               | (จ) สายโคแอกเซียล               |
| (ข) สายโคแอกเซียล               | (ฉ) สายส่งแบบแผ่นขนาน           |
| (ค) สายส่งแบบแผ่นขนาน           | (ช) ท่อนำคลื่นทรงสี่เหลี่ยมกลวง |
| (ง) ท่อนำคลื่นทรงสี่เหลี่ยมกลวง |                                 |

- 5) หาสมการสำหรับองค์ประกอบของสนามอื่นๆ คือ  $E_y, E_z, H_y$  และ  $H_z$  ในเทอมของ  $H_x$  ถ้าเป็นคลื่น TE โหมด หรือ  $E_x$  ถ้าเป็นคลื่น TM โหมด
- 6) หาสมการคลื่นแบบสเกลาร์สำหรับ  $H_x$  ถ้าเป็นคลื่น TE โหมด หรือ  $E_x$  ถ้าเป็นคลื่น TM โหมด
- 7) แก้สมการคลื่นเพื่อหาโซลูชันของ  $H_x$  ถ้าเป็นคลื่น TE โหมด หรือ  $E_x$  ถ้าเป็นคลื่น TM โหมด ที่สอดคล้องกับเงื่อนไขขอบเขตของท่อนำคลื่น
- 8) แทนค่า  $H_x$  ถ้าเป็นคลื่น TE โหมด หรือ  $E_x$  ถ้าเป็นคลื่น TM โหมด กลับไปในสมการของขั้นตอนที่ 5 จะได้สมการแสดงความสัมพันธ์ของแต่ละองค์ประกอบของสนามกับระยะทางและเวลา

เอกสารนี้เป็นเอกสารที่สงวนไว้สำหรับการใช้งานเพื่อการศึกษาเท่านั้น ไม่อนุญาตให้นำไปใช้ประโยชน์ด้านการค้าไม่ว่ากรณีใดๆ ทั้งสิ้น อีกทั้งห้ามมิให้ตัดแปลงเนื้อหาและต้องอ้างอิงถึงเจ้าของเอกสารทุกครั้งที่มีการนำไปใช้

วิธีการหาโซลูชันแบบนี้เป็นวิธีเป็นวิธีทั่วไป ในที่นี้จะเลือกพิจารณาเฉพาะคลื่น TE โหมดเท่านั้น เพื่อเป็นตัวอย่างในการหาคุณสมบัติต่างๆ ของคลื่นในท่อนำคลื่นทรงสี่เหลี่ยมกลวงโดยทำตามขั้นตอนที่กล่าวข้างบน ดังนี้

### ขั้นตอนที่ 1

จากสมการของแมกซ์เวลล์สำหรับตัวกลางอิสระ จะได้ว่า

$$\nabla \times \vec{E} = -\frac{\partial \vec{B}}{\partial t}$$

$$\nabla \times \vec{H} = \frac{\partial \vec{D}}{\partial t} + \vec{J}$$

$$\nabla \cdot \vec{D} = \rho$$

$$\nabla \cdot \vec{B} = 0$$

เมื่อ  $\vec{D} = \epsilon \vec{E}$ ,  $\vec{J} = \sigma \vec{E} = 0$  และ  $\vec{B} = \mu \vec{H}$

ในระบบพิกัดคาร์ทีเซียน

$$\nabla \times \vec{H} = \left( \frac{\partial H_z}{\partial y} - \frac{\partial H_y}{\partial z} \right) \vec{a}_x + \left( \frac{\partial H_x}{\partial z} - \frac{\partial H_z}{\partial x} \right) \vec{a}_y + \left( \frac{\partial H_y}{\partial x} - \frac{\partial H_x}{\partial y} \right) \vec{a}_z$$

และ

$$\frac{\partial \vec{D}}{\partial t} = \epsilon \frac{\partial}{\partial t} (E_x \vec{a}_x + E_y \vec{a}_y + E_z \vec{a}_z)$$

ดังนั้นจากสมการ (1) และ (2) ของแมกซ์เวลล์จะได้ว่า

$$\left( \frac{\partial H_z}{\partial y} - \frac{\partial H_y}{\partial z} \right) - \epsilon \frac{\partial E_x}{\partial t} = 0 \quad (2.75)$$

$$\left( \frac{\partial H_x}{\partial z} - \frac{\partial H_z}{\partial x} \right) - \epsilon \frac{\partial E_y}{\partial t} = 0 \quad (2.76)$$

$$\left( \frac{\partial H_y}{\partial x} - \frac{\partial H_x}{\partial y} \right) - \epsilon \frac{\partial E_z}{\partial t} = 0 \quad (2.77)$$

$$\left( \frac{\partial E_y}{\partial z} - \frac{\partial E_z}{\partial y} \right) - \mu \frac{\partial H_x}{\partial t} = 0 \quad (2.78)$$

เอกสารนี้เป็นเอกสารที่สงวนไว้สำหรับการใช้งานเพื่อการศึกษาเท่านั้น ไม่อนุญาตให้นำไปใช้ประโยชน์ด้านการค้าไม่ว่ากรณีใดๆ ทั้งสิ้น อีกทั้งห้ามมิให้ดัดแปลงเนื้อหาและต้องอ้างอิงถึงเจ้าของเอกสารทุกครั้งที่มีการนำไปใช้

$$\left( \frac{\partial E_x}{\partial z} - \frac{\partial E_z}{\partial x} \right) - \mu \frac{\partial H_y}{\partial t} = 0 \quad (2.79)$$

$$\left( \frac{\partial E_y}{\partial x} - \frac{\partial E_x}{\partial y} \right) - \mu \frac{\partial H_z}{\partial t} = 0 \quad (2.80)$$

เราสมมติว่าไม่มีประจุในตัวกลางอิสระ ( $\rho = 0$ ) ดังนั้นจากสมการที่สามและสี่ของแมกซ์เวลล์ จะได้ว่า

$$\left( \frac{\partial E_x}{\partial x} + \frac{\partial E_y}{\partial y} + \frac{\partial E_z}{\partial z} \right) = 0 \quad (2.81)$$

$$\left( \frac{\partial H_x}{\partial x} + \frac{\partial H_y}{\partial y} + \frac{\partial H_z}{\partial z} \right) = 0 \quad (2.82)$$

### ขั้นตอนที่ 2 และ 3

สมมติว่าทุกๆองค์ประกอบของสนามมีลักษณะการเปลี่ยนแปลงเป็นแบบฮาร์มอนิกกับเวลาด้วยแฟกเตอร์  $e^{j\omega t}$  เมื่อ  $\omega = 2\pi f$  เป็นความเร็วเชิงมุม (ขั้นตอนที่ 2) และมีการเปลี่ยนแปลงกับระยะทางในทิศที่คลื่นเดินทางด้วยแฟกเตอร์  $e^{\pm j\gamma x}$  เมื่อ  $\gamma$  เป็นค่าคงที่ของการแพร่ของคลื่น (ขั้นตอนที่ 3) ดังนั้นคลื่นที่เดินทางในทิศทาง  $+x$  สามารถเขียนองค์ประกอบของสนามต่างๆ เช่น  $E_y$  ได้คือ

$$E_y = E_{xyz} e^{j(\alpha x - \beta t)}$$

เมื่อ  $E_{xyz}$  = ฟังก์ชันของ  $x, y, z$

$\gamma$  = ค่าของการแพร่ของคลื่น

$\alpha$  = ค่าคงที่ของการลดทอน

$\beta$  = ค่าคงที่เฟส

$$\text{อนุพันธ์ของสนามต่อเวลา} \quad \frac{\partial E_y}{\partial t} = j\omega E_{xyz} e^{j(\alpha x - \beta t)} \quad (2.83)$$

$$\text{หรือ} \quad \frac{\partial}{\partial t} = j\omega$$

$$\text{อนุพันธ์ของสนามต่อระยะทาง} \quad \frac{\partial E_y}{\partial x} = -\beta E_{xyz} e^{j(\alpha x - \beta t)} \quad (2.84)$$

เอกสารนี้เป็นเอกสารที่สงวนไว้สำหรับการใช้งานเพื่อการศึกษาเท่านั้น ไม่อนุญาตให้นำไปใช้ประโยชน์ด้านการค้า ไม่ว่ากรณีใดๆ ทั้งสิ้น อีกทั้งห้ามมิให้ดัดแปลงเนื้อหาและต้องอ้างอิงถึงเจ้าของเอกสารทุกครั้งที่มีการนำไปใช้

หรือ 
$$\frac{\partial}{\partial t} = -j\beta$$

ขั้นตอนที่ 4

เลือกพิจารณาเฉพาะคลื่น TM โหมด นั่นคือ  $E_x = 0$  เมื่อแทน  $\frac{\partial}{\partial t} = j\omega$  และ  $\frac{\partial}{\partial t} = -j\beta$  ลงในสมการที่ (2.76)

$$\frac{\partial H_z}{\partial y} - \frac{\partial H_y}{\partial z} = 0 \quad (2.85)$$

$$\frac{\partial H_x}{\partial z} + j\beta H_z - j\omega\epsilon E_y = 0 \quad (2.86)$$

$$-j\beta H_y - \frac{\partial H_x}{\partial y} - j\omega\epsilon E_z = 0 \quad (2.87)$$

$$\left( \frac{\partial E_z}{\partial y} - \frac{\partial E_y}{\partial z} \right) + j\omega\mu H_x = 0 \quad (2.88)$$

$$j\beta E_z + j\omega\mu H_y = 0 \quad (2.89)$$

$$-j\beta E_y + j\omega\mu H_z = 0 \quad (2.90)$$

$$\frac{\partial E_y}{\partial y} + \frac{\partial E_z}{\partial z} = 0 \quad (2.91)$$

$$-j\beta H_x + \frac{\partial H_y}{\partial y} + \frac{\partial H_z}{\partial z} = 0 \quad (2.92)$$

ขั้นตอนที่ 5 เขียนองค์ประกอบของสนามต่างๆ ในเทอมของ  $H_x$  จากสมการที่ (2.89)

$$E_z = -\frac{\omega\mu H_y}{\beta} \quad (2.93)$$

จากสมการที่ (2.90)

$$E_y = \frac{\omega\mu H_z}{\beta} \quad (2.94)$$

เอกสารนี้เป็นเอกสารที่สงวนไว้สำหรับการใช้งานเพื่อการศึกษาเท่านั้น ไม่อนุญาตให้นำไปใช้ประโยชน์ด้านการค้า  
ไม่ว่ากรณีใดๆ ทั้งสิ้น อีกทั้งห้ามมิให้ดัดแปลงเนื้อหาและต้องอ้างอิงถึงเจ้าของเอกสารทุกครั้งที่มีการนำไปใช้

แทนสมการที่ (2.93) ในสมการ (2.87)

$$H_y = \frac{1}{j\left(\frac{\omega^2 \varepsilon \mu}{\beta} - \beta\right)} \cdot \frac{\partial H_x}{\partial y} \quad (2.95)$$

แทนสมการที่ (2.94) ในสมการ (2.86)

$$H_z = \frac{1}{j\left(\frac{\omega^2 \varepsilon \mu}{\beta} - \beta\right)} \cdot \frac{\partial H_x}{\partial z} \quad (2.96)$$

แทนสมการที่ (2.96) ในสมการ (2.94)

$$E_y = \frac{\frac{\omega \mu}{\beta}}{j\left(\frac{\omega^2 \varepsilon \mu}{\beta} - \beta\right)} \cdot \frac{\partial H_x}{\partial z} \quad (2.97)$$

แทนสมการที่ (2.95) ในสมการ (2.93)

$$E_z = \frac{-\frac{\omega \mu}{\beta}}{j\left(\frac{\omega^2 \varepsilon \mu}{\beta} - \beta\right)} \cdot \frac{\partial H_x}{\partial y} \quad (2.98)$$

ขั้นตอนที่ 6 เราสามารถหาสมการคลื่นในเทอมของ  $H_x$  ได้จากสมการที่ (2.92) โดยการแทนค่า  $H_y$  และ  $H_z$

จากสมการที่ (2.95) และสมการที่ (2.96) จะได้

$$-j\beta H_x + \frac{\partial}{\partial y} \left[ \frac{1}{j\left(\frac{\omega^2 \varepsilon \mu}{\beta} - \beta\right)} \cdot \frac{\partial H_x}{\partial y} \right] + \frac{\partial}{\partial z} \left[ \frac{1}{j\left(\frac{\omega^2 \varepsilon \mu}{\beta} - \beta\right)} \cdot \frac{\partial H_x}{\partial z} \right] = 0$$

เอกสารนี้เป็นเอกสารที่สงวนไว้สำหรับการใช้งานเพื่อการศึกษาเท่านั้น ไม่อนุญาตให้นำไปใช้ประโยชน์ด้านการค้าไม่ว่ากรณีใดๆ ทั้งสิ้น อีกทั้งห้ามมิให้ดัดแปลงเนื้อหาและต้องอ้างอิงถึงเจ้าของเอกสารทุกครั้งที่มีการนำไปใช้

$$-j\beta H_x + \frac{1}{j\left(\frac{\omega^2 \varepsilon \mu}{\beta} - \beta\right)} + \left(\frac{\partial^2 H_x}{\partial y^2} + \frac{\partial^2 H_x}{\partial z^2}\right) = 0 \quad (2.99)$$

$$H_x \beta \left(\frac{\omega^2 \varepsilon \mu}{\beta} - \beta\right) + \left(\frac{\partial^2 H_x}{\partial y^2} + \frac{\partial^2 H_x}{\partial z^2}\right) = 0 \quad (2.100)$$

ให้  $k^2 = \omega^2 \varepsilon \mu - \beta^2$  จะได้

$$\frac{\partial^2 H_x}{\partial y^2} + \frac{\partial^2 H_x}{\partial z^2} + k^2 H_x = 0 \quad (2.101)$$

สมการที่ (2.101) จะเป็นสมการคลื่นแบบสเกลาร์ในทอมของ  $H_x$  สำหรับคลื่น  $TE$  โหมดในท่อนำคลื่น และเป็นสมการเชิงอนุพันธ์ย่อยอันดับที่สอง (partial differential equation of the second order)

### ขั้นตอนที่ 7

โซลูชันของสมการคลื่น (2.101) ที่สอดคล้องกับเงื่อนไขขอบเขตสำหรับท่อนำคลื่นทรงสี่เหลี่ยมกลวง

คือองค์ประกอบในทิสัมผัสของสนามไฟฟ้าจะต้องเป็นศูนย์ที่ผิวของท่อนำคลื่น

จากสมการที่ (2.101)  $H_x$  เป็นฟังก์ชันของ  $y$  และ  $z$  ดังนั้นจะสมมติให้โซลูชันของสมการที่ (2.101) อยู่ในรูปของ

$$H_x = YZ \quad (2.102)$$

เมื่อ  $Y$  เป็นฟังก์ชันของสมการ  $y$  เท่านั้น [ $Y = f(y)$ ]

$Z$  เป็นฟังก์ชันของสมการ  $z$  เท่านั้น [ $Z = f(z)$ ]

แทนสมการ (2.102) ใน (2.101)

$$Z \frac{d^2 y}{dy^2} + Y \frac{\partial^2 z}{\partial z^2} + k^2 YZ = 0 \quad (2.103)$$

หารตลอดด้วย  $YZ$  จะได้

$$\frac{1}{Y} \frac{d^2 y}{dy^2} + \frac{1}{Z} \frac{\partial^2 z}{\partial z^2} = -k^2 \quad (2.104)$$

เอกสารนี้เป็นเอกสารที่สงวนไว้สำหรับการใช้งานเพื่อการศึกษาเท่านั้น ไม่อนุญาตให้นำไปใช้ประโยชน์ด้านการค้าไม่ว่ากรณีใดๆ ทั้งสิ้น อีกทั้งห้ามมิให้ตัดแปลงเนื้อหาและต้องอ้างอิงถึงเจ้าของเอกสารทุกครั้งที่มีการนำไปใช้

กำหนดให้ 
$$\frac{1}{Y} \frac{d^2 y}{dy^2} = -A_1 \quad (2.105)$$

$$\frac{1}{Z} \frac{d^2 z}{dz^2} = -A_2 \quad (2.106)$$

และ 
$$A_1 + A_2 = k^2 \quad (2.107)$$

โซลูชันของคลื่นมีลักษณะเป็นไซน์หรือโคไซน์เท่านั้น (Sinusoidal or Consinusoidal) สมมติว่าโซลูชันของสมการที่ (2.105) คือ

$$Y = c_1 \sin b_1 y \quad (2.108)$$

แทนค่าสมการที่ (2.108) ในสมการที่ (2.105) จะได้

$$b_1 = \sqrt{A_1} \quad (2.109)$$

ถ้าเลือก  $b_1 = \sqrt{A_1}$  โซลูชันของสมการ (2.105) อีกสมการคือ

$$Y = c_2 \cos b_1 y \quad (2.110)$$

สมการ (2.108) และ (2.110) ต่างเป็นโซลูชันสำหรับ  $Y$  ผลบวกของทั้งสองก็จะเป็นโซลูชันด้วย

$$Y = c_1 \cos \sqrt{A_1} y + c_2 \sin \sqrt{A_1} y \quad (2.111)$$

ในทำนองเดียวกัน โซลูชันสำหรับ  $Z$  ของสมการ (2.106) คือ

$$Z = c_3 \sin \sqrt{A_2} z + c_4 \cos \sqrt{A_2} z \quad (2.112)$$

จากสมการที่ (2.102) คือ  $H_x = YZ$  แทนค่าสมการ (2.111), (2.112) จะได้

$$\begin{aligned} H_x = & c_1 c_3 \sin \sqrt{A_1} y \cdot \sin \sqrt{A_2} z + c_2 c_3 \cos \sqrt{A_1} y \cdot \sin \sqrt{A_2} z \\ & + c_1 c_4 \sin \sqrt{A_1} y \cdot \cos \sqrt{A_2} z + c_2 c_4 \cos \sqrt{A_1} y \cdot \cos \sqrt{A_2} z \end{aligned} \quad (2.113)$$

เอกสารนี้เป็นเอกสารที่สงวนไว้สำหรับการใช้งานเพื่อการศึกษาเท่านั้น ไม่อนุญาตให้นำไปใช้ประโยชน์ด้านการค้าไม่ว่ากรณีใดๆ ทั้งสิ้น อีกทั้งห้ามมิให้ดัดแปลงเนื้อหาและต้องอ้างอิงถึงเจ้าของเอกสารทุกครั้งที่มีการนำไปใช้

สมการที่ (2.113) นิพจน์ใดเป็นโซลูชันที่แท้จริงต้องสอดคล้องกับเงื่อนไขของท่อนำคลื่น คือ

- 1)  $E_y = 0$  ที่  $z = 0$  และที่  $z = 1$  และที่  $z = z_1$
- 2)  $E_z = 0$  ที่  $y = 0$  และที่  $y = y_1$

แทนค่าของสมการ (2.113) ในสมการ (2.97) จะได้สมการสำหรับ  $E_y$  คือ

$$E_y = \frac{\omega\mu\sqrt{A_2}}{\beta} \frac{1}{j\left(\frac{\omega^2\varepsilon\mu}{\beta} - \beta\right)} (c_1c_3 \sin\sqrt{A_1}y \cdot \cos\sqrt{A_2}z + c_2c_3 \cos\sqrt{A_1}y \cdot \cos\sqrt{A_2}z - c_1c_4 \sin\sqrt{A_1}y \cdot \cos\sqrt{A_2}z - c_2c_4 \cos\sqrt{A_1}y \cdot \cos\sqrt{A_2}z)$$

แทนค่าเงื่อนไขขอบเขต  $E_y = 0$  ที่  $z = 0$  จะได้

$$E_y|_{z=0} = 0 = c_1c_3 \sin\sqrt{A_1}y + c_2c_3 \cos\sqrt{A_1}y$$

นั่นคือ  $c_1c_3 = c_2c_3 = 0$  จึงสอดคล้องกับเงื่อนไขขอบเขต

แทนสมการ (2.113) ใน สมการ (2.98) จะได้สมการของ  $E_z$  เป็น

$$E_z = \frac{-\frac{\omega\mu}{\beta}\sqrt{A_2}}{j\left(\frac{\omega^2\varepsilon\mu}{\beta} - \beta\right)} (c_1c_4 \cos\sqrt{A_1}y \cdot \cos\sqrt{A_2}z - c_2c_4 \sin\sqrt{A_1}y \cdot \cos\sqrt{A_2}z)$$

แทนค่าเงื่อนไขขอบเขต  $E_z = 0$  ที่  $y = 0$  จะได้

$$E_z|_{y=0} = 0 = c_1c_4 \cos\sqrt{A_2}z$$

นั่นคือ  $c_1c_4 = 0$  จึงสอดคล้องกับเงื่อนไขขอบเขต

นิพจน์สุดท้ายของสมการที่ (2.113) เพียงพจน์เดียวที่เป็นโซลูชันที่แท้จริง พิจารณาเงื่อนไขขอบเขตที่เหลือคือ

$$\text{จาก } E_z = 0 \text{ ที่ } y = y_1$$

$$E_z|_{y=y_1} = \frac{-\frac{\omega\mu}{\beta}\sqrt{A_2}}{j\left(\frac{\omega^2\varepsilon\mu}{\beta} - \beta\right)} (-c_2c_4 \sin\sqrt{A_1}y \cdot \cos\sqrt{A_2}z_1) = 0 \quad \text{เมื่อ } \sin\sqrt{A_1}y = 0$$

นั่นคือ  $\sqrt{A_1} = \frac{n\pi}{y_1}$  เมื่อ  $n = 0, 1, 2, \dots$  (2.114)

และจาก  $E_y = 0$  ที่  $z = z_1$

$$E_y|_{z=z_1} = \frac{\frac{\omega\mu\sqrt{A_2}}{\beta}}{j\left(\frac{\omega^2\varepsilon\mu}{\beta} - \beta\right)} (-c_2c_4 \cos\sqrt{A_1}y \cdot \sin\sqrt{A_2}z_1) = 0 \quad \text{เมื่อ } \sin\sqrt{A_2}z_1 = 0$$

นั่นคือ  $\sqrt{A_2} = \frac{m\pi}{z_1}$  เมื่อ  $m = 0, 1, 2, \dots$  (2.115)

ดังนั้น โขลู่ชั้นสำหรับ  $H_x$  จะเป็น

$$H_x(y, z) = H_0 \cos\frac{n\pi}{y_1}y \cdot \cos\frac{m\pi}{z_1}z \quad (2.116)$$

เมื่อ  $H_0 = c_2c_4 =$  ค่าคงที่ ถ้าคูณสมการที่ (2.116) ด้วยแฟกเตอร์เอ็กซ์โพเนนเชียลในสมการที่ (2.84) จะได้โซลูชันที่สมบูรณ์สำหรับ  $H_x$  เป็น

$$H_x(x, y, z, t) = H_0 \cos\frac{n\pi}{y_1}y \cdot \cos\frac{m\pi}{z_1}z \cdot e^{j(\alpha x - \beta t)} \quad (2.117)$$

### ขั้นตอนที่ 8

แทนค่าสมการที่ (2.117) ในสมการที่ (2.95) ถึงสมการที่ (2.98) จะได้โซลูชันสำหรับองค์ประกอบของสนามอื่นๆ คือ

$$H_y = -\frac{\beta H_0}{jk^2} \frac{n\pi}{y_1} \sin\frac{n\pi}{y_1}y \cdot \cos\frac{m\pi}{z_1}z \cdot e^{j(\alpha x - \beta t)} \quad (2.118)$$

$$H_z = -\frac{\beta H_0}{jk^2} \frac{m\pi}{z_1} \cos\frac{n\pi}{y_1}y \cdot \sin\frac{m\pi}{z_1}z \cdot e^{j(\alpha x - \beta t)} \quad (2.119)$$

เอกสารนี้เป็นเอกสารที่สงวนไว้สำหรับการใช้งานเพื่อการศึกษาเท่านั้น ไม่อนุญาตให้นำไปใช้ประโยชน์ด้านการค้าไม่ว่ากรณีใดๆ ทั้งสิ้น อีกทั้งห้ามมิให้ดัดแปลงเนื้อหาและต้องอ้างอิงถึงเจ้าของเอกสารทุกครั้งที่มีการนำไปใช้

$$E_y = -\frac{\omega\mu H_0}{jk^2} \frac{m\pi}{z_1} \cos \frac{n\pi}{y_1} y \cdot \sin \frac{m\pi}{z_1} z \cdot e^{j(\alpha x - \beta t)} \quad (2.120)$$

$$E_z = \frac{\omega\mu H_0}{jk^2} \frac{n\pi}{y_1} \sin \frac{n\pi}{y_1} y \cdot \cos \frac{m\pi}{z_1} z \cdot e^{j(\alpha x - \beta t)} \quad (2.121)$$

เลขจำนวนเต็ม  $m$  และ  $n$  เป็นตัวกำหนดลักษณะการกระจายของสนาม หรือโหมดของคลื่นที่เดินทางในท่อนำคลื่นสัญลักษณ์ตัวห้อย  $mn$  เป็นตัวกำหนดโหมดต่างๆ ของคลื่น TE โหมด เป็น  $TE_{mn}$  กรณีของคลื่น  $TE_{10}$  โหมด

สำหรับคลื่นโหมดนี้  $m=1$  และ  $n=0$  องค์ประกอบของสนามสำหรับคลื่นโหมดนี้จะ เป็น  $E_x = 0$

ดังนั้นจึงเป็นคลื่น TE โหมด

$$E_y = j \frac{\omega\mu H_0}{k^2} \frac{\pi}{z_1} \sin \frac{\pi}{z_1} z \cdot e^{j(\alpha x - \beta t)}$$

$$E_z = 0$$

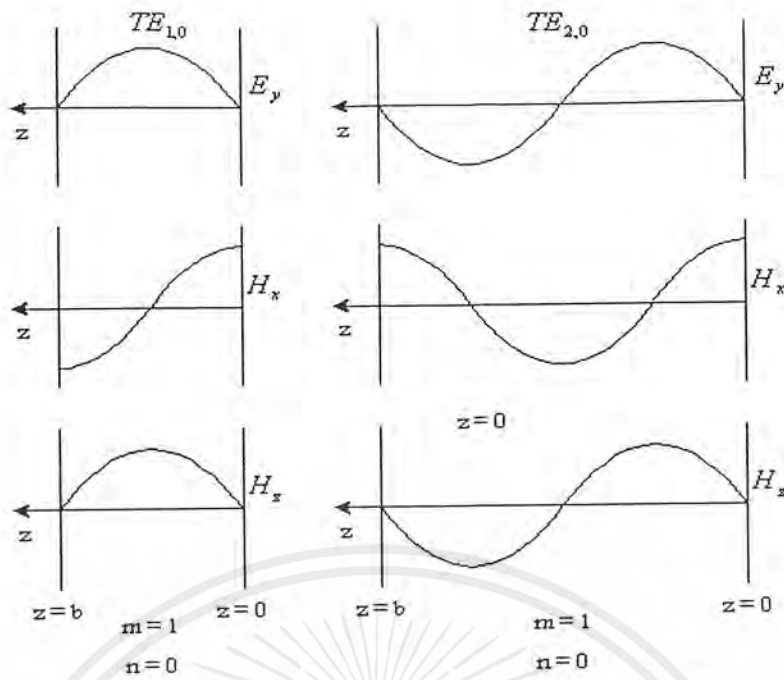
$$H_x = H_0 \cdot \cos \frac{\pi}{z_1} z \cdot e^{j(\alpha x - \beta t)}$$

$$H_y = 0$$

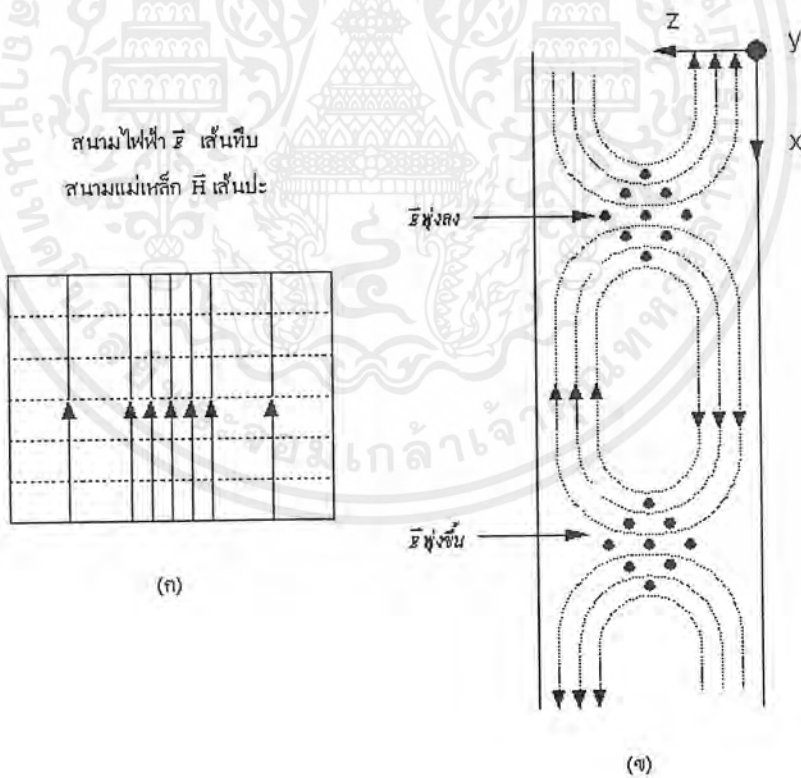
$$H_z = j \frac{\beta H_0}{k^2} \frac{\pi}{z_1} \sin \frac{\pi}{z_1} z \cdot e^{j(\alpha x - \beta t)}$$

คลื่นโหมดนี้ จะมีความยาวคลื่นคัทออฟ (Cutoff wavelength) ยาวที่สุดในคลื่นโหมดอันดับสูงด้วยกัน ดังนั้นคลื่น  $TE_{10}$  โหมด จะเป็นโหมดที่มีความถี่ในการส่งต่ำที่สุดในท่อนำคลื่นทรงสี่เหลี่ยมกลวง

ลักษณะการกระจายของสนามแสดงให้เห็นถึงว่ามีคลื่นโหมดใดบ้างที่สามารถเดินทางได้ในท่อนำคลื่นทรงสี่เหลี่ยมกลวง อย่างไรก็ตามโหมดของคลื่นที่มีคุณสมบัติเฉพาะ หรือโหมดของคลื่นที่เกิดเฉพาะในบางกรณีจะขึ้นอยู่กับขนาดของท่อนำคลื่น วิธีการกระตุ้นให้เกิดคลื่น (Exciting) ในท่อนำคลื่นหรือขึ้นอยู่กับความไม่สม่ำเสมอหรือไม่ต่อเนื่องในท่อนำคลื่น ผลลัพธ์ของสนามในท่อนำคลื่นจะมีค่าเท่ากับผลรวมของสนามของคลื่นทุกๆ โหมดที่เกิดขึ้น



รูปที่ 2.10 การเปลี่ยนแปลงขององค์ประกอบของสนามต่างๆ สำหรับคลื่น  $TE_{10}$  และ  $TE_{20}$  โหมดในท่อนำคลื่นทรงสี่เหลี่ยมกลวง (คลื่นเดินทางออกจากหน้ากระดาษ)



รูปที่ 2.11 ลักษณะการกระจายของสนามต่างๆ สำหรับคลื่น  $TE_{10}$  โหมด ในท่อนำคลื่นทรงสี่เหลี่ยมกลวง

เอกสารนี้เป็นเอกสารที่สงวนไว้สำหรับการใช้งานเพื่อการศึกษาเท่านั้น ไม่อนุญาตให้นำไปใช้ประโยชน์ด้านการค้าไม่ว่ากรณีใดๆ ทั้งสิ้น อีกทั้งห้ามมิให้ดัดแปลงเนื้อหาและต้องอ้างอิงถึงเจ้าของเอกสารทุกครั้งที่มีการนำไปใช้

พิจารณาโซลูชันกันใหม่เพื่อหาคุณสมบัติอื่นๆของท่อนำคลื่นต่อไป จากสมการที่ (2.107), (2.114) และ (2.115) จะได้ว่า

$$\left(\frac{n\pi}{y_1}\right)^2 + \left(\frac{m\pi}{z_1}\right)^2 = k^2 \quad (2.122)$$

จากสมการที่ (2.110)  $k^2$  มีค่าเป็น

$$k^2 = \gamma^2 - j\omega\mu(\sigma + j\omega\varepsilon) \quad (2.123)$$

สมมติว่าในท่อนำคลื่นบรรจุด้วยตัวกลางไดอิเล็กทริกที่ไม่มีการสูญเสีย เราสามารถให้  $\sigma = 0$  ดังนั้นจากสมการที่ (2.122) และ (2.123) สามารถแก้สมการหาค่า  $\gamma$  ได้เป็น

$$\gamma = \sqrt{\left(\frac{n\pi}{y_1}\right)^2 + \left(\frac{m\pi}{z_1}\right)^2 - \omega^2\mu\varepsilon} \quad (2.124)$$

จากสมการที่ (2.124) จะสรุปได้เป็นสามกรณีคือ

- 1) ที่ความถี่ต่ำ,  $\omega$  มีค่าน้อย,  $\gamma$  เป็นค่าจริง ในกรณีนี้คลื่นจะถูกลดทอนขนาดหรือไม่สามารถเดินทางในท่อนำคลื่นได้
- 2) ที่ความปานกลาง,  $\omega$  มีค่าปานกลาง,  $\gamma$  มีค่าเป็นศูนย์ ในกรณีนี้เรียกว่า คัทออฟ
- 3) ที่ความสูง,  $\omega$  มีค่ามาก,  $\gamma$  มีค่าจินตภาพ ในกรณีนี้คลื่นจะเดินทางในท่อนำคลื่นได้โดยไม่ถูกลดทอนขนาด

จากสมการที่ (2.124) เขียนใหม่ได้คือ

$$\gamma = \sqrt{k^2 - \omega^2\mu\varepsilon} \quad (2.125)$$

ที่ความถี่ต่ำกว่าคัทออฟ  $\omega\sqrt{\mu\varepsilon} < k$  และ

$$\gamma = \sqrt{k^2 - \omega^2\mu\varepsilon} = \alpha \quad (2.126)$$

เมื่อ  $\alpha$  เป็นค่าคงที่ของการลดทอนขนาด

ที่ความถี่คัทออฟ (cutoff frequency)  $\omega\sqrt{\mu\varepsilon} = k$  และ  $\gamma = 0$  จะได้ว่าที่คัทออฟ

เอกสารนี้เป็นเอกสารที่สงวนไว้สำหรับการใช้งานเพื่อการศึกษาเท่านั้น ไม่อนุญาตให้นำไปใช้ประโยชน์ด้านการค้า ไม่ว่ากรณีใดๆ ทั้งสิ้น อีกทั้งห้ามมิให้ตัดแปลงเนื้อหาและต้องอ้างอิงถึงเจ้าของเอกสารทุกครั้งที่มีการนำไปใช้

$$\omega^2 \mu \varepsilon = \left( \frac{n\pi}{y_1} \right)^2 + \left( \frac{m\pi}{z_1} \right)^2 \quad (2.127)$$

นั่นคือที่ความถี่คัทออฟจะเท่ากับ

$$f_c = \frac{1}{2\sqrt{\mu\varepsilon}} \sqrt{\left( \frac{n\pi}{y_1} \right)^2 + \left( \frac{m\pi}{z_1} \right)^2} \quad (H_z) \quad (2.128)$$

และความยาวคลื่นคัทออฟจะเท่ากับ

$$\lambda_{oc} = \frac{2}{\sqrt{\left( \frac{n}{y_1} \right)^2 + \left( \frac{m}{z_1} \right)^2}} \quad (m) \quad (2.129)$$

เมื่อ  $\lambda_{oc}$  เป็นความยาวคลื่นคัทออฟ สมการที่ (2.128) และ (2.129) จะให้ค่าความถี่คัทออฟและความยาวคลื่นคัทออฟสำหรับคลื่น  $TE_{nm}$  โหมดในท่อทรงสี่เหลี่ยมกลวงที่ความถี่สูงกว่าคัทออฟ  $\omega\sqrt{\mu\varepsilon} > k$  และ

$$\gamma = \sqrt{k^2 - \omega^2 \mu \varepsilon} = j\beta \quad (2.130)$$

เมื่อ  $\beta = 2\pi/\lambda_g =$  ค่าคงที่เฟสของคลื่นในท่อนำคลื่น,  $\text{rad } m^{-1}$

$\lambda_g =$  ค่าความยาวคลื่นในท่อนำคลื่น,  $m$

จากสมการที่ (2.130) จะได้

$$\beta = \sqrt{\omega^2 \mu \varepsilon - k^2} = \sqrt{\omega^2 \mu \varepsilon - \left( \frac{n\pi}{y_1} \right)^2 - \left( \frac{m\pi}{z_1} \right)^2} \quad (2.131)$$

และจะได้ความเร็วเฟสของ  $v_p$  ของคลื่นในท่อนำคลื่นจะเท่ากับ

$$v_p = \frac{\omega}{\beta} = \frac{v_o}{\sqrt{\omega^2 \mu \varepsilon - \left( \frac{n\pi}{y_1} \right)^2 - \left( \frac{m\pi}{z_1} \right)^2}} \quad (ms^{-1}) \quad (2.132)$$

เอกสารนี้เป็นเอกสารที่สงวนไว้สำหรับการใช้งานเพื่อการศึกษาเท่านั้น ไม่อนุญาตให้นำไปใช้ประโยชน์ด้านการค้าไม่ว่ากรณีใดๆ ทั้งสิ้น อีกทั้งห้ามมิให้ตัดแปลงเนื้อหาและต้องอ้างอิงถึงเจ้าของเอกสารทุกครั้งที่มีการนำไปใช้

หรือ

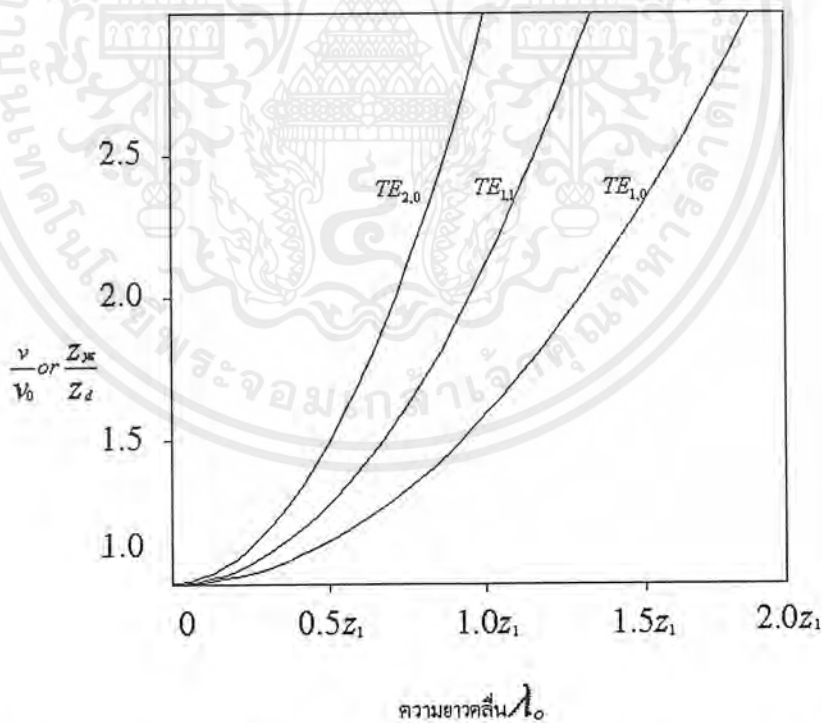
$$v_p = \frac{v_o}{\sqrt{1 - \left(\frac{\lambda_o}{\lambda_{oc}}\right)^2}} \quad (2.133)$$

เมื่อ  $v_o = \frac{1}{\sqrt{\mu\epsilon}}$  = ความเร็วของคลื่นในตัวกลางเนื้อเดียวกันที่มีค่าเพอร์มิบิลิตี  $\mu$  และค่าคงที่ไดอิเล็กทริก  $\epsilon$

$\lambda_o = \frac{v_o}{f}$  = ความเร็วของคลื่นในตัวกลางเนื้อเดียวกันที่มีค่าเพอร์มิบิลิตี  $\mu$  และค่าคงที่

ไดอิเล็กทริก  $\epsilon$  อัตราส่วนของ  $\frac{v}{v_o}$  ในรูปฟังก์ชันของความยาวคลื่นจะแสดงในรูปที่ 2.12 สำหรับคลื่น TE โหมดต่าง ๆ ในท่อนำคลื่นทรงสี่เหลี่ยมจัตุรัสกลวง ( $y_1 = z_1$ )

ในการวิเคราะห์ที่กล่าวข้างบนจะไม่มีกรณีลดทอนขนาดของคลื่นที่ความถี่สูงกว่าความถี่คัตออฟเลย เนื่องจากเราได้สมมติว่าตัวนำที่ใช้ท่อนำคลื่นเป็นตัวนำสมบูรณ์ และในท่อนำคลื่นบรรจุด้วยตัวกลางไดอิเล็กทริกที่ไม่มีการสูญเสีย อย่างไรก็ตาม ถ้าผนังของท่อนำคลื่นไม่เป็นตัวนำสมบูรณ์หรือตัวกลางไดอิเล็กทริกมีการสูญเสีย หรือทั้งสองอย่าง ก็จะทำให้เกิดการลดทอนขนาดขึ้น



รูปที่ 2.12 อัตราส่วนของความเร็วเฟส  $\frac{v}{v_o}$  หรืออัตราส่วนของอิมพีแดนซ์ตามขวาง  $\frac{Z_x}{Z_0}$  ในรูปของ

ฟังก์ชันของความยาวคลื่น  $\lambda_o$  สำหรับคลื่น TE โหมดต่าง ๆ ในท่อนำคลื่นทรงสี่เหลี่ยมจัตุรัสกลวง (ความสูง  $y_1$  เท่ากับความกว้าง  $z_1$ )

เอกสารนี้เป็นเอกสารที่สงวนไว้สำหรับการใช้งานเพื่อการศึกษาเท่านั้น ไม่อนุญาตให้นำไปใช้ประโยชน์ด้านการค้าไม่ว่ากรณีใดๆ ทั้งสิ้น อีกทั้งห้ามมิให้ดัดแปลงเนื้อหาและต้องอ้างอิงถึงเจ้าของเอกสารทุกครั้งที่มีการนำไปใช้

สุดท้ายจะพิจารณาค่าอิมพีแดนซ์ตามขวางของท่อนำคลื่น  $Z_{yz}$  สำหรับคลื่น TE โหมด ในท่อนำคลื่นทรงสี่เหลี่ยมกลวง ค่าอิมพีแดนซ์ตามขวางของคลื่นจะหาได้จากอัตราส่วนขององค์ประกอบของสนามไฟฟ้าต่อสนามแม่เหล็กตามขวาง ดังนี้

$$Z_{yz} = \frac{E_y}{H_z} = -\frac{E_z}{H_y} \quad (\Omega)$$

ดังนั้นจากสมการที่ (2.93) และ (2.94) จะได้

$$Z_{yz} = \frac{j\omega\mu}{\gamma} \quad (2.134)$$

ที่ความถี่สูงกว่าคัทออฟ  $\gamma = j\beta$  ดังนั้นจะได้

$$Z_{yz} = \frac{\omega\mu}{\beta} = \frac{Z_d}{\sqrt{1 - \left(\frac{\lambda_0}{\lambda_{oc}}\right)^2}} \quad (\Omega) \quad (2.135)$$

เมื่อ  $Z_d$  = อิมพีแดนซ์อินทริเนสิกของตัวกลางไดอิเล็กทริกที่บรรจุในท่อนำคลื่น

$$= \sqrt{\frac{\mu}{\epsilon}} = 376.7 \quad \Omega \quad \text{สำหรับอากาศ}$$

$\lambda_0$  = ความยาวคลื่นในตัวกลางเนื้อเดียวล้วน

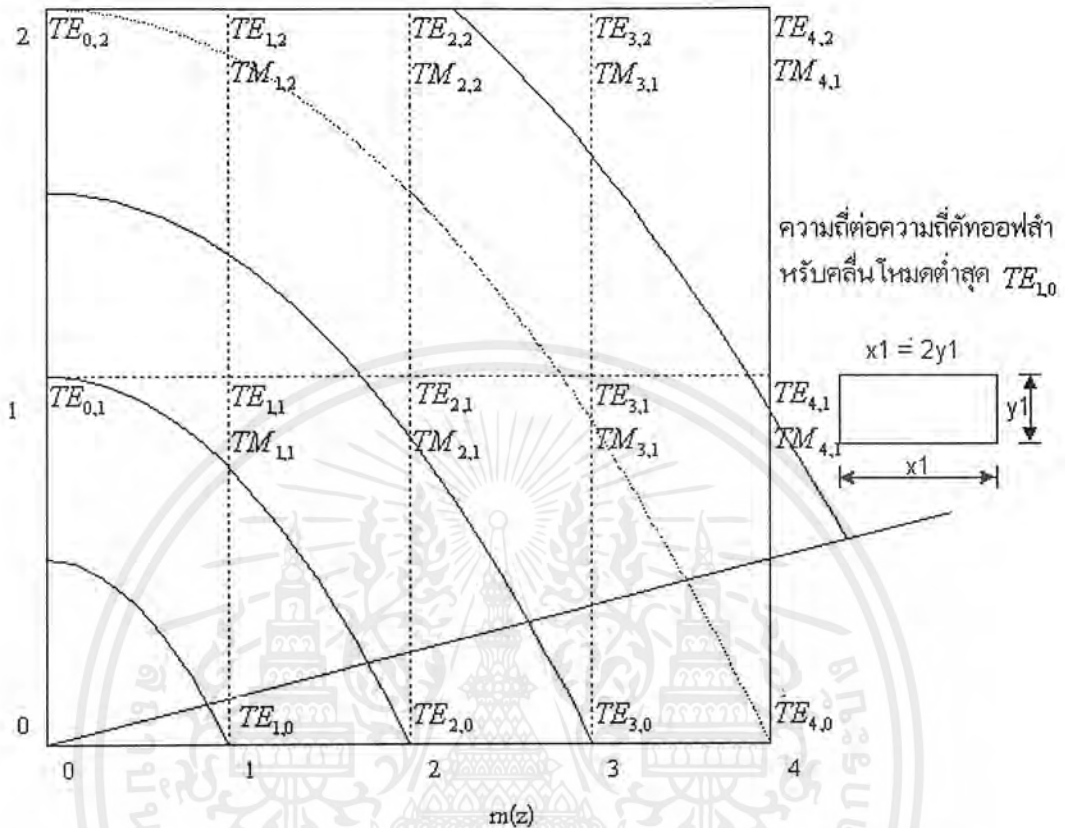
$\lambda_{oc}$  = ความยาวคลื่นคัทออฟ

อัตราส่วนของ  $Z_{yz}$  ต่อ  $Z_d$  ในรูปฟังก์ชันของความยาวคลื่น  $\lambda_0$  ได้แสดงไว้ในรูปที่ 2.12 สำหรับคลื่น TM โหมดต่างๆ ในท่อนำคลื่นทรงสี่เหลี่ยมจตุรัสกลวง ( $y_1 = z_1$ )

ที่กล่าวมาแล้วพิจารณาเพียงคลื่น TE โหมดเท่านั้น ในการหาความสัมพันธ์ของสนามต่างๆ สำหรับคลื่น TM โหมด ก็สามารทำได้เช่นเดียวกัน โดยทำตามขั้นตอนที่ 1 ถึงขั้นตอนที่ 8 ในคลื่น TM โหมด  $H_x = 0$  และองค์ประกอบของสนามในทิศตามแนวความยาวของท่อนำคลื่นจะเป็น  $E_x$  ซึ่งการวิเคราะห์จะไม่แสดงในที่นี้ สำหรับคลื่น TM โหมด จะเขียนแทนด้วย  $TM_{mn}$  เมื่อ  $m$  และ  $n$  เป็นเลขจำนวนเต็ม (1,2,3,...) คลื่นโหมดต่ำสุดของคลื่น TM ที่สามารถเดินทางไปในท่อนำคลื่นทรงสี่เหลี่ยมจะเป็นคลื่น  $TM_{11}$  โหมด

เราได้เห็นแล้วว่าคลื่นแต่ละโหมดที่เดินทางในท่อนำคลื่นจะมีค่าความยาวคลื่นคัทออฟ ค่าความเร็ว และค่าอิมพีแดนซ์เฉพาะเจาะจง เมื่อความถี่มีค่าสูงมากเพียงพอที่ทำให้คลื่นเดินทาง

มากกว่าหนึ่งโหมด สนามผลลัพธ์จะเป็นผลรวมของสนามต่างๆ ของคลื่นแต่ละโหมดในท่อนำคลื่นนั้น



รูปที่ 2.13 คลื่น TE และ TM โหมดต่างๆ ที่มีได้ในท่อนำคลื่นทรงสี่เหลี่ยมกลวงในรูปฟังก์ชันของความถี่ ที่ความถี่

มีค่าเป็นสามเท่าของความถี่คัทออฟของคลื่น  $TE_{10}$  โหมด จะมีคลื่นโหมดต่างๆ 7 โหมดที่สามารถเดินทางในท่อนำคลื่นนี้ได้ และคลื่นอีกโหมดหนึ่ง ( $TE_{30}$  โหมด) จะอยู่ที่คัทออฟเพื่อหลีกเลี่ยงปัญหาการเกิดคลื่นที่เดินทางหลายๆ โหมด (Multiple-mode transmission) ท่อนำคลื่นโดยทั่วไปจะใช้งานในลักษณะที่จะมีเพียงคลื่นโหมดเดียวเท่านั้นที่สามารถเดินทางไปได้ ตัวอย่างเช่น เพื่อให้เกิดการนำคลื่นเฉพาะคลื่น  $TE_{10}$  โหมด  $z_1$  และ  $y_1$  จะต้องมีค่าน้อยกว่า  $\frac{\lambda}{2}$  แต่เพื่อให้สามารถนำคลื่น  $TE_{10}$  โหมด ได้  $z_1$  จะต้องมีความยาวระหว่าง  $\frac{\lambda}{2}$  และ  $1\lambda$  และค่า  $0.7\lambda$  เป็นค่าที่ใช้กันมาก ทำให้ค่าความเร็วและอิมพีแดนซ์ตามขวางจะไม่เปลี่ยนแปลงกับความถี่อย่างรวดเร็ว รูปที่ 2.13 แสดงค่าความถี่ที่เปรียบเทียบกับความถี่ คัทออฟของคลื่นโหมดต่ำสุด ( $TE_{10}$ ) นั่นคือถ้าความถี่มีค่าเป็น 3 เท่า ของค่านี้ เราจะได้จากรูปที่ 2.13

เอกสารนี้เป็นเอกสารที่สงวนไว้สำหรับการใช้งานเพื่อการศึกษาเท่านั้น ไม่อนุญาตให้นำไปใช้ประโยชน์ด้านการค้าไม่ว่ากรณีใดๆ ทั้งสิ้น อีกทั้งห้ามมิให้ดัดแปลงเนื้อหาและต้องอ้างอิงถึงเจ้าของเอกสารทุกครั้งที่มีการนำไปใช้

ว่าคลื่นโหมดต่างๆ เหล่านี้คือ  $TE_{10}$  ,  $TE_{01}$  ,  $TE_{20}$  ,  $TE_{11}$  ,  $TM_{11}$  ,  $TE_{21}$  และ  $TM_{21}$  จะสามารถเดินทางไปได้ คลื่นอีกโหมดหนึ่งคือ  $TE_{30}$  จะอยู่ที่ความถี่ที่ออฟพอดี



เอกสารนี้เป็นเอกสารที่สงวนไว้สำหรับการใช้งานเพื่อการศึกษาเท่านั้น ไม่อนุญาตให้นำไปใช้ประโยชน์ด้านการค้า  
ไม่ว่ากรณีใดๆ ทั้งสิ้น อีกทั้งห้ามมิให้ดัดแปลงเนื้อหาและต้องอ้างอิงถึงเจ้าของเอกสารทุกครั้งที่มีการนำไปใช้

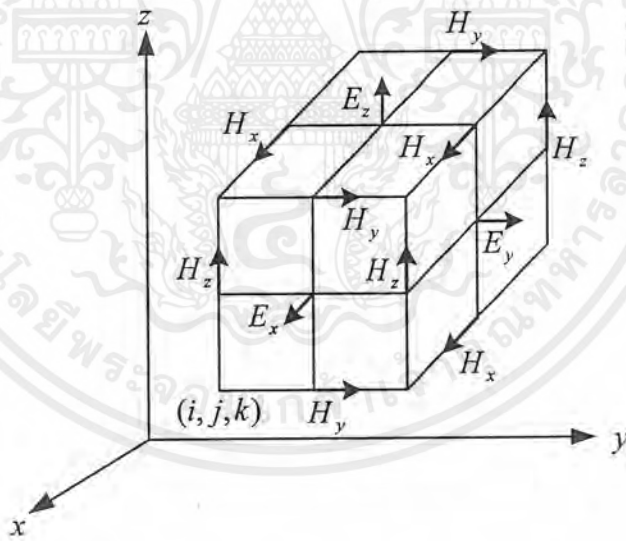
## ทฤษฎีของ FD-TD

### 3.1 ทฤษฎีของ ยี (Yee)

ยี เป็นผู้ใช้ความสัมพันธ์ของสมการของแมกซ์เวลล์สองสมการคือ  $\mu \frac{\partial H}{\partial t} = -\nabla \times E$  และ  $\epsilon \frac{\partial E}{\partial t} = -\nabla \times H$  สำหรับการสูญเสียของวัสดุในกรณีนี้คือ

1. ทฤษฎีของ ยี จะใช้ทั้งสนามไฟฟ้าและสนามแม่เหล็กควบคู่กัน ในเวลาและสเปซ (Space) เมื่อเทียบกับสมการของแมกซ์เวลล์ ซึ่งใช้เพียงสนามไฟฟ้าหรือสนามแม่เหล็กเพียงลำพัง กับการเคลื่อนที่ของคลื่น

2. จากรูปที่ 3.1 เป็นหัวใจที่สำคัญของทฤษฎีของยี คือทิศทางของ  $\vec{E}$  และ  $\vec{H}$  สามมิติในสเปซทุกๆทิศทางของ  $\vec{E}$  จะถูกล้อมรอบด้วยสนาม  $\vec{H}$  และทุกๆสนาม  $\vec{H}$  จะประกอบด้วยสนาม  $\vec{E}$  ที่สนามอยู่รอบๆ

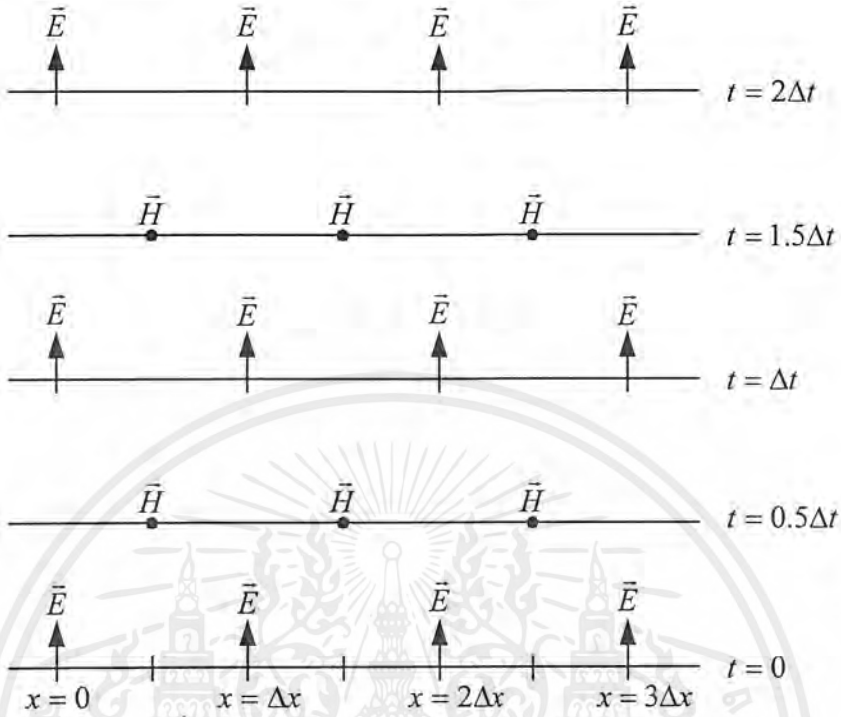


รูปที่ 3.1 รูปแสดงสนามไฟฟ้าและสนามแม่เหล็กตามทฤษฎีของ ยี

3. รูปที่ 3.2 เป็นแนวความคิดของยี เน้นไปที่ส่วนประกอบของ  $\vec{E}$  และ  $\vec{H}$  ในเวลา แต่อยู่ในเทอมของการจัดแบบ Leapfrog คือ จำนวน  $\vec{E}$  ทั้งหมดในสเปซสามมิติที่สนใจ แล้วเก็บไปในหน่วยความจำของคอมพิวเตอร์ จำนวน  $\vec{H}$  โดยใช้ข้อมูลของ  $\vec{E}$  ที่คำนวณไปแล้วโดยคิดทีละครั้งของเวลา

เอกสารนี้เป็นเอกสารที่สงวนไว้สำหรับการใช้งานเพื่อการศึกษาเท่านั้น ไม่อนุญาตให้นำไปใช้ประโยชน์ด้านการค้าไม่ว่ากรณีใดๆ ทั้งสิ้น อีกทั้งห้ามมิให้ดัดแปลงเนื้อหาและต้องอ้างอิงถึงเจ้าของเอกสารทุกครั้งที่มีการนำไปใช้

คำนวณ  $\vec{E}$  ใหม่ โดยใช้ข้อมูล  $\vec{H}$  ที่คำนวณมาแล้ว ขบวนการนี้จะต่อเนื่องไปจนถึงขั้นเวลาสุดท้าย



รูปที่ 3.2 รูปแสดงการเปลี่ยนแปลงของสนามแม่เหล็กและสนามไฟฟ้าตามเวลา

### 3.2 สมการไฟไนท์-ดิฟเฟอเรนซ์ (Finite-Difference Equation)

จากสมการในบทที่ 2 คือ สมการที่ (2.75) ถึง (2.80) ทำการย้ายข้างสมการหาค่าของสนาม  $H_x, H_y, H_z, E_x, E_y$  และ  $E_z$  เทียบกับเวลาเราจะได้สมการของสนามคือ

$$\frac{\partial E_x}{\partial t} = \frac{1}{\epsilon} \left( \frac{\partial H_z}{\partial y} - \frac{\partial H_y}{\partial z} \right)$$

$$\frac{\partial E_y}{\partial t} = \frac{1}{\epsilon} \left( \frac{\partial H_x}{\partial z} - \frac{\partial H_z}{\partial x} \right)$$

$$\frac{\partial E_z}{\partial t} = \frac{1}{\epsilon} \left( \frac{\partial H_y}{\partial x} - \frac{\partial H_x}{\partial y} \right)$$

$$\frac{\partial H_x}{\partial t} = \frac{1}{\mu} \left( \frac{\partial E_y}{\partial z} - \frac{\partial E_z}{\partial y} \right)$$

เอกสารนี้เป็นเอกสารที่สงวนไว้สำหรับการใช้งานเพื่อการศึกษาเท่านั้น ไม่อนุญาตให้นำไปใช้ประโยชน์ด้านการค้า  
ไม่ว่ากรณีใดๆ ทั้งสิ้น อีกทั้งห้ามมิให้ดัดแปลงเนื้อหาและต้องอ้างอิงถึงเจ้าของเอกสารทุกครั้งที่มีการนำไปใช้

$$\frac{\partial H_y}{\partial t} = \frac{1}{\mu} - \left( \frac{\partial E_x}{\partial z} - \frac{\partial E_z}{\partial x} \right)$$

$$\frac{\partial H_z}{\partial t} = \frac{1}{\mu} - \left( \frac{\partial E_y}{\partial x} - \frac{\partial E_x}{\partial y} \right)$$

จากคลื่น TM โหมด จะประกอบด้วย  $E_z$ ,  $H_x$  และ  $H_y$  ดังนั้น คลื่น TM โหมดจะมีสมการคือ

$$\frac{\partial H_x}{\partial t} = \frac{1}{\mu} - \left( \frac{\partial E_z}{\partial y} - \frac{\partial E_y}{\partial z} \right) \quad (3.1)$$

$$\frac{\partial H_y}{\partial t} = \frac{1}{\mu} - \left( \frac{\partial E_x}{\partial z} - \frac{\partial E_z}{\partial x} \right) \quad (3.2)$$

$$\frac{\partial E_z}{\partial t} = \frac{1}{\varepsilon} - \left( \frac{\partial H_y}{\partial x} - \frac{\partial H_x}{\partial y} \right) \quad (3.3)$$

สำหรับสมการที่ (3.1) สามารถเขียนในรูปของผลต่างสี่เหลี่ยมแบบตรงกลาง สำหรับ Space และ ที่ชั้นเวลาที่  $n$  ที่จุด  $(i, j)$  ดังนั้นจะได้สมการของ  $H_x$  คือ

$$\frac{H_x|_{i,j}^{n+\frac{1}{2}} - H_x|_{i,j}^{n-\frac{1}{2}}}{\Delta t} = \frac{1}{\mu} \left[ \frac{E_z|_{i,j+\frac{1}{2}}^n - E_z|_{i,j-\frac{1}{2}}^n}{\Delta y} \right] \quad (3.4)$$

$\Delta z \rightarrow \infty$  ทำให้  $E_y = 0$  ชั้นเวลาที่  $n - \frac{1}{2}$  คือชั้นเวลาที่เกิดขึ้นก่อนชั้นเวลา  $n$  ซึ่งจะมีเก็บไว้ในหน่วยความจำของคอมพิวเตอร์ ส่วนชั้นเวลาที่  $n + \frac{1}{2}$  คือชั้นเวลาที่เรากำลังจะหา ดังนั้น จากสมการที่ (3.4) หากค่าของ  $H_x$  ที่ชั้นเวลา  $n + \frac{1}{2}$  ที่ตำแหน่ง  $(i, j)$  จะได้อธิบาย

$$\begin{aligned} H_x|_{i,j}^{n+\frac{1}{2}} - H_x|_{i,j}^{n-\frac{1}{2}} &= -\frac{\Delta t}{\mu \Delta y} \left[ E_z|_{i,j+\frac{1}{2}}^n - E_z|_{i,j-\frac{1}{2}}^n \right] \\ H_x|_{i,j}^{n+\frac{1}{2}} &= H_x|_{i,j}^{n-\frac{1}{2}} - \frac{\Delta t}{\mu \Delta y} \left[ E_z|_{i,j+\frac{1}{2}}^n - E_z|_{i,j-\frac{1}{2}}^n \right] \end{aligned} \quad (3.5)$$

ในทำนองเดียวกันเราสามารถหาค่าของสมการ  $H_y$  และ  $E_z$  ได้คือ

เอกสารนี้เป็นเอกสารที่สงวนไว้สำหรับการใช้งานเพื่อการศึกษาเท่านั้น ไม่อนุญาตให้นำไปใช้ประโยชน์ด้านการค้า ไม่ว่ากรณีใดๆ ทั้งสิ้น อีกทั้งห้ามมิให้ดัดแปลงเนื้อหาและต้องอ้างอิงถึงเจ้าของเอกสารทุกครั้งที่มีการนำไปใช้

$$H_y|_{i,j}^{n+\frac{1}{2}} = H_y|_{i,j}^{n-\frac{1}{2}} + \frac{\Delta t}{\mu\Delta y} \left[ E_z|_{i+\frac{1}{2},j}^n - E_z|_{i-\frac{1}{2},j}^n \right] \quad (3.6)$$

$$E_z|_{i,j}^{n+1} = E_z|_{i,j}^n + \frac{\Delta t}{\varepsilon\Delta x} \left[ H_y|_{i+\frac{1}{2},j}^{n+\frac{1}{2}} - H_y|_{i-\frac{1}{2},j}^{n+\frac{1}{2}} \right] - \frac{\Delta t}{\varepsilon\Delta y} \left[ H_x|_{i,j+\frac{1}{2}}^{n+\frac{1}{2}} - H_x|_{i,j-\frac{1}{2}}^{n+\frac{1}{2}} \right] \quad (3.7)$$

จากคลื่น TE โหมด จะประกอบด้วย สนาม  $E_x$ ,  $E_y$  และ  $H_z$  ดังนั้นคลื่น TE โหมด จะมีสมการคือ

$$\frac{\partial E_x}{\partial t} = \frac{1}{\varepsilon} \left( \frac{\partial H_z}{\partial y} - \frac{\partial H_y}{\partial z} \right) \quad (3.8)$$

$$\frac{\partial E_y}{\partial t} = \frac{1}{\varepsilon} \left( \frac{\partial H_x}{\partial z} - \frac{\partial H_z}{\partial x} \right) \quad (3.9)$$

$$\frac{\partial H_z}{\partial t} = \frac{1}{\mu} \left( \frac{\partial E_y}{\partial x} - \frac{\partial E_x}{\partial y} \right) \quad (3.10)$$

ทำเช่นเดียวกับการหาสมการที่ (3.5) จะได้สมการของคลื่น TE โหมด คือ

$$E_x|_{i,j}^{n+1} = E_x|_{i,j}^n - \frac{\Delta t}{\varepsilon\Delta y} \left[ H_y|_{i,j+\frac{1}{2}}^{n+\frac{1}{2}} - H_y|_{i,j-\frac{1}{2}}^{n+\frac{1}{2}} \right] \quad (3.11)$$

$$E_y|_{i,j}^{n+1} = E_y|_{i,j}^n - \frac{\Delta t}{\varepsilon\Delta x} \left[ H_z|_{i+\frac{1}{2},j}^{n+\frac{1}{2}} - H_z|_{i-\frac{1}{2},j}^{n+\frac{1}{2}} \right] \quad (3.12)$$

$$H_z|_{i,j}^{n+1} = H_z|_{i,j}^n + \frac{\Delta t}{\mu\Delta y} \left[ E_x|_{i,j+\frac{1}{2}}^n - E_x|_{i,j-\frac{1}{2}}^n \right] - \frac{\Delta t}{\mu\Delta x} \left[ E_y|_{i+\frac{1}{2},j}^n - E_y|_{i-\frac{1}{2},j}^n \right] \quad (3.13)$$

สรุปได้ว่าสมการที่ (3.5) ถึง (3.7) และสมการ (3.11) ถึง (3.13) คือสมการไฟไนต์ดิฟเฟอเรนซ์ของคลื่น TM โหมด และ TE โหมด ตามลำดับ

### 3.3 ความเสถียรภาพเชิงตัวเลข

#### 3.3.1 การวิเคราะห์ความเสถียรภาพเชิงตัวเลขพื้นฐานของคลื่นโหมด TM

สมการของสนามในสองมิติของคลื่นโหมด TM สมมติว่าไม่มีการสูญเสียของสนามแม่เหล็กไฟฟ้า

$$\frac{\partial H_x}{\partial t} = -\frac{1}{\mu} \frac{\partial E_z}{\partial y} \quad (3.14)$$

$$\frac{\partial H_y}{\partial t} = \frac{1}{\mu} \frac{\partial E_z}{\partial x} \quad (3.15)$$

$$\frac{\partial E_z}{\partial t} = \frac{1}{\varepsilon} \left( \frac{\partial H_y}{\partial x} - \frac{\partial H_x}{\partial y} \right) \quad (3.16)$$

สามารถแก้ปัญหาโดยใช้วิธีของ FD-TD แทนในสมการแต่ละสมการแต่ไม่เปลี่ยนค่าของ  $\mu$  และ  $\varepsilon$  กับตำแหน่งใน grid จะสามารถเขียนสมการของคลื่นโหมด TM ได้คือ

$$\frac{H_x|_{i,j}^{n+\frac{1}{2}} - H_x|_{i,j}^{n-\frac{1}{2}}}{\Delta t} = -\frac{1}{\mu} \left[ \frac{E_z|_{i,j+\frac{1}{2}}^n - E_z|_{i,j-\frac{1}{2}}^n}{\Delta y} \right] \quad (3.17)$$

$$\frac{H_y|_{i,j}^{n+\frac{1}{2}} - H_y|_{i,j}^{n-\frac{1}{2}}}{\Delta t} = \frac{1}{\mu} \left[ \frac{E_z|_{i+\frac{1}{2},j}^n - E_z|_{i-\frac{1}{2},j}^n}{\Delta x} \right] \quad (3.18)$$

$$\frac{E_z|_{i,j}^{n+1} - E_z|_{i,j}^n}{\Delta t} = \frac{1}{\varepsilon} \left[ \frac{H_y|_{i+\frac{1}{2},j}^{n+\frac{1}{2}} - H_y|_{i-\frac{1}{2},j}^{n+\frac{1}{2}}}{\Delta x} - \frac{H_x|_{i,j+\frac{1}{2}}^{n+\frac{1}{2}} - H_x|_{i,j-\frac{1}{2}}^{n+\frac{1}{2}}}{\Delta y} \right] \quad (3.19)$$

ระนาบของคลื่น ไอเกนโหมด (Eigenmode) จะสมมุติให้มีการแพร่กระจายใน Space แบบตัวเลขสเปกตรัม (Spectrum) ของค่าเจาะจงสำหรับโหมดนี้จะเกี่ยวเนื่องกับการ Differentiation ของ Space เชิงตัวเลข จะคำนวณเทียบกับ Spectrum ที่เสถียรภาพของไอเกนวาลู (Eigenvalues) จำนวนโยวิธีการดิฟเฟอเรนเชียล (Differentiation) ของเวลาเชิงตัวเลข โดยจะได้สเปกตรัมที่

เอกสารนี้เป็นเอกสารที่สงวนไว้สำหรับการใช้งานเพื่อการศึกษาเท่านั้น ไม่อนุญาตให้นำไปใช้ประโยชน์ด้านการค้าไม่ว่ากรณีใดๆ ทั้งสิ้น อีกทั้งห้ามมิให้ดัดแปลงเนื้อหาและต้องอ้างอิงถึงเจ้าของเอกสารทุกครั้งที่มีการนำไปใช้

เสถียรภาพของไอเกนเวกเตอร์ คำนวณโดยวิธีการดิฟเฟอเรนเชียลอันดับสูงเชิงตัวเลข โดยจะได้สเปกตรัมที่สมบูรณ์ของค่าเฉพาะในอวกาศที่อยู่ในขอบเขตที่เสถียรภาพ เราจะสมมุติได้ว่าคลื่นโหมคนั้นในกริดเสถียรภาพ (ไม่สามารถมากเกินไปจนขอบเขตที่จำกัดไว้) โดยให้ขั้นเวลาที่คงที่

### 3.3.2 ค่าเฉพาะของเวลา

คำนวณหาขอบเขตของความเสถียรภาพของค่าเฉพาะ โดยทำการแยกสมการอนุพันธ์ของเวลาไว้ทางซ้ายมือของสมการ (3.14) ถึง (3.16) จะได้

$$\frac{H_x|_{i,j}^{n+\frac{1}{2}} - H_x|_{i,j}^{n-\frac{1}{2}}}{\Delta t} = -\Lambda H_x|_{i,j}^n \quad (3.20)$$

$$\frac{H_y|_{i,j}^{n+\frac{1}{2}} - H_y|_{i,j}^{n-\frac{1}{2}}}{\Delta t} = \Lambda H_y|_{i,j}^n \quad (3.21)$$

$$\frac{E_z|_{i,j}^{n+1} - E_z|_{i,j}^n}{\Delta t} = \Lambda E_z|_{i,j}^{n+\frac{1}{2}} \quad (3.22)$$

สมการทั้งหมดนี้จะใช้  $\pm \frac{1}{2}$  ของขั้นเวลา สามารถเขียนสมการในรูปของ  $V$  คือทิศทางของสนามเวกเตอร์รูปทั่วไป

$$\frac{V|_{i,j}^{n+\frac{1}{2}} - V|_{i,j}^{n-\frac{1}{2}}}{\Delta t} = -\Lambda V|_{i,j}^n \quad (3.23)$$

จาก  $q_{i,j} = \frac{U|_{i,j}^{n+\frac{1}{2}}}{U|_{i,j}^n} = \frac{U|_{i,j}^n}{U|_{i,j}^{n-\frac{1}{2}}}$  เราสามารถเขียนได้เป็น

$$q_{i,j} = \frac{V|_{i,j}^{n+\frac{1}{2}}}{V|_{i,j}^n} = \frac{V|_{i,j}^n}{V|_{i,j}^{n-\frac{1}{2}}} \quad (3.24)$$

สำหรับทุกๆ  $n$  เราต้องการ  $|q_{i,j}| \leq 1$  ใน FD-TD grid และทั้งหมดของกริดที่จุด  $(i, j)$  โดยเสียงโหมคที่ออกนอกขีดจำกัดระหว่างขั้นของเวลาทั่วไป นี่คือนิยามที่สำคัญที่ต้องการในเรื่องความเสถียรภาพ เราแทนแทน  $q_{i,j}$  ในสมการ (3.23) จะได้  $q_{i,j}$  ในสมการ(3.23)ของอี

เอกสารนี้เป็นเอกสารที่สงวนไว้สำหรับการใช้งานเพื่อการศึกษาเท่านั้น ไม่อนุญาตให้นำไปใช้ประโยชน์ด้านการค้าไม่ว่ากรณีใดๆ ทั้งสิ้น อีกทั้งห้ามมิให้ดัดแปลงเนื้อหาและต้องอ้างอิงถึงเจ้าของเอกสารทุกครั้งที่มีการนำไปใช้

$$\frac{q_{i,j}V_{i,j}^n - (V_{i,j}^n/q_{i,j})}{\Delta t} = -\Lambda V_{i,j}^n \quad (3.25)$$

$$(q_{i,j})^2 - \Lambda \Delta t q_{i,j} - 1 = 0 \quad (3.26)$$

ใช้สูตรการแยกตัวประกอบจะได้

$$q_{i,j} = \frac{\Lambda \Delta t \pm \sqrt{(\Lambda \Delta t)^2 + 4}}{2} = \underbrace{\frac{\Lambda \Delta t}{2}}_{ma} \pm \underbrace{\sqrt{(\Lambda \Delta t)^2 + 4}}_{m\sqrt{a^2+1}} \quad (3.27)$$

จะได้  $|q_{i,j}| = 1$  เสมอ (เป็นไปตามเงื่อนไขของความเสถียรภาพ ซึ่งคือ  $|q_{i,j}| \leq 1$ ) ถ้า  $a$  เป็นจำนวนจินตภาพและอยู่ในช่วง  $\pm j$  สิ่งที่ได้ตามมาคือ

$$\operatorname{Re}(a) = 0 \rightarrow a = j \operatorname{Im}(a) \quad (3.28)$$

ซึ่ง  $-1 \leq \operatorname{Im}(a) \leq 1$  ภายใต้รากที่สองจะได้

$$\sqrt{a^2 + 1} = \sqrt{[j \operatorname{Im}(a)]^2 + 1} = \sqrt{1 - [j \operatorname{Im}(a)]^2} = \text{จำนวนจริง} \quad (3.29)$$

เราสามารถเขียนได้เป็น

$$q_{i,j} = \underbrace{j \operatorname{Im}(a)}_{\text{imaginary}} \pm \underbrace{\sqrt{a^2 + 1}}_{\text{real}} \quad (3.30)$$

$$|q_{i,j}| = \sqrt{1 - [\operatorname{Im}(a)]^2 + [\operatorname{Im}(a)]^2} = 1 \quad (3.31)$$

จากสมการ (3.27)  $a = \Lambda \frac{\Delta t}{2}$  และ  $a$  คือจำนวนจินตภาพ จาก (3.28) ถ้าไม่คิด  $\Lambda$  จะได้แต่จำนวนจินตภาพ ( $\Lambda = j \operatorname{Im}(\Lambda)$ ) และอยู่ในเงื่อนไข

$$-1 \leq \frac{\Delta t}{2} \operatorname{Im}(a) \leq 1 \rightarrow -\frac{1}{\Delta t} \leq \operatorname{Im}(a) \leq \frac{1}{\Delta t} \quad (3.32)$$

นี่คือโหมดในอวกาศว่างที่เป็นได้ ที่มีค่าเจาะจงในช่วงที่เสถียรภาพบนแกนของจำนวนจินตภาพ

เอกสารนี้เป็นเอกสารที่สงวนไว้สำหรับการใช้งานเพื่อการศึกษาเท่านั้น ไม่อนุญาตให้นำไปใช้ประโยชน์ด้านการค้าไม่ว่ากรณีใดๆ ทั้งสิ้น อีกทั้งห้ามมิให้ตัดแปลงเนื้อหาและต้องอ้างอิงถึงเจ้าของเอกสารทุกครั้งที่มีการนำไปใช้

### 3.3.3 การแก้ปัญหาค่าเจาะจงในอวกาศ

ทำการแยกสมการ (3.14) ถึง (3.16) เพื่อแก้ปัญหาค่าเจาะจงคือ

$$-\frac{1}{\mu} \left[ \frac{E_z|_{i,j+\frac{1}{2}} - E_z|_{i,j-\frac{1}{2}}}{\Delta y} \right] = \Lambda H_x|_{i,j} \quad (3.33)$$

$$\frac{1}{\mu} \left[ \frac{E_z|_{i+\frac{1}{2},j} - E_z|_{i-\frac{1}{2},j}}{\Delta x} \right] = H_y|_{i,j} \quad (3.34)$$

$$\frac{1}{\varepsilon} \left[ \frac{H_y|_{i+\frac{1}{2},j} - H_y|_{i-\frac{1}{2},j}}{\Delta x} - \frac{H_x|_{i,j+\frac{1}{2}} - H_x|_{i,j-\frac{1}{2}}}{\Delta y} \right] = \Lambda E_z|_{i,j} \quad (3.35)$$

ที่ช่วงเวลา  $n$  ปริมาณของสนามไฟฟ้าและสนามแม่เหล็ก ที่แพร่กระจายในอวกาศผ่านกริด สามารถใช้อนุกรมของฟูเรียร์ กับส่วนของพิกัดกริด  $i$  และ  $j$  เป็นเงื่อนไขสเปกตรัมของความถี่ในอวกาศ ใน 2 มิติ หรือคลื่นระนาบไอเกนโหมดของกริด ซึ่งจะบอกชนิดของโหมดของสเปกตรัมความถี่ของคลื่น มี  $\bar{k}_x$  และ  $\bar{k}_y$  ทิศทางตามแนวแกน  $x$  และ  $y$  คือคลื่นเวกเตอร์เชิงตัวเลข

$$E_z|_{I,J} = E_{z_0} e^{j(\bar{k}_x I \Delta x + \bar{k}_y J \Delta y)} \quad (3.36)$$

$$H_x|_{I,J} = H_{x_0} e^{j(\bar{k}_x I \Delta x + \bar{k}_y J \Delta y)} \quad (3.37)$$

$$H_y|_{I,J} = H_{y_0} e^{j(\bar{k}_x I \Delta x + \bar{k}_y J \Delta y)} \quad (3.38)$$

แทนลงในสมการไอเกนโหมด ที่แสดงโดยสมการ (3.36) ถึง (3.38) จะได้

$$-\frac{1}{\mu} \left\{ \frac{E_{z_0} e^{j(\bar{k}_x I \Delta x + (\bar{k}_y + \gamma) J \Delta y)} - E_{z_0} e^{j(\bar{k}_x I \Delta x + (\bar{k}_y - \gamma) J \Delta y)}}{\Delta y} \right\} = \Lambda H_{z_0} e^{j(\bar{k}_x I \Delta x + \bar{k}_y J \Delta y)} \quad (3.39)$$

หารทั้งสองข้างของสมการทั้งสองด้วย  $e^{j(\bar{k}_x I \Delta x + \bar{k}_y J \Delta y)}$  จะได้

เอกสารนี้เป็นเอกสารที่สงวนไว้สำหรับการใช้งานเพื่อการศึกษาเท่านั้น ไม่อนุญาตให้นำไปใช้ประโยชน์ด้านการค้าไม่ว่ากรณีใดๆ ทั้งสิ้น อีกทั้งห้ามมิให้ตัดแปลงเนื้อหาและต้องอ้างอิงถึงเจ้าของเอกสารทุกครั้งที่มีการนำไปใช้

$$-\frac{E_{z_0}}{\mu\Delta y} \left\{ e^{j\bar{k}_y(\Delta y/2)} - e^{-j\bar{k}_y(\Delta y/2)} \right\} = \Lambda H_x \quad (3.40)$$

ประยุกต์ใช้ทฤษฎีของอูลเลอร์ (Euler) ใช้ทฤษฎีของอี ในเรื่องของ  $\sin$  อธิบายจะได้

$$-\frac{2jE_{z_0}}{\Delta y\mu} \sin\left[\frac{\bar{k}_y}{2}\right] = \Lambda H_x \Rightarrow H_x = -\frac{2jE_{z_0}}{\Lambda\mu\Delta y} \sin\frac{\bar{k}_y\Delta y}{2}$$

ในทำนองเดียวกัน แทนลงในอินทิเกรตของสมการ(3.36) ถึง(3.38) ใน (3.34) และ (3.35) ของอี จากนั้นก็จะได้สมการเหมือนกัน

$$H_{y_0} = \frac{2j\bar{E}_{z_0}}{\Lambda\mu\Delta x} \sin\left(\frac{\bar{k}_x\Delta x}{2}\right) \quad (3.41)$$

$$E_{z_0} = \frac{2j}{\Lambda\epsilon} \left[ \frac{H_{y_0}}{\Delta x} \sin\left(\frac{\bar{k}_x\Delta x}{2}\right) - \frac{H_{x_0}}{\Delta y} \sin\left(\frac{\bar{k}_y\Delta y}{2}\right) \right] \quad (3.42)$$

แทน  $H_{x_0}$  ของสมการ (4.12a) และ  $H_{y_0}$  ของสมการ (4.1b) ใน (4.12c) ของอี จะได้

$$E_{z_0} = \frac{2j}{\Lambda\epsilon} \left[ \frac{1}{\Delta x} \cdot \frac{2jE_{z_0}}{\Lambda\mu\Delta x} \sin\left(\frac{\bar{k}_x\Delta x}{2}\right) \cdot \sin\left(\frac{\bar{k}_x\Delta x}{2}\right) - \frac{1}{\Delta y} \cdot \frac{-2jE_{z_0}}{\Lambda\mu\Delta y} \sin\left(\frac{\bar{k}_x\Delta y}{2}\right) \cdot \sin\left(\frac{\bar{k}_x\Delta y}{2}\right) \right] \quad (3.43)$$

หารทั้งสองข้างของสมการด้วย  $E_{z_0}$  จะได้  $\Lambda^2$  คือ

$$E_{z_0} = \frac{4}{\mu\epsilon} \left[ \frac{1}{(\Delta x)^2} \sin^2\left(\frac{\bar{k}_x\Delta x}{2}\right) + \frac{1}{(\Delta y)^2} \sin^2\left(\frac{\bar{k}_y\Delta y}{2}\right) \right] \quad (3.44)$$

จากพื้นฐานของฟังก์ชัน  $\sin$  จะได้

$$-1 \leq \sin\left[\frac{\bar{k}_x\Delta x}{2}\right] \leq 1, \quad -1 \leq \sin\left[\frac{\bar{k}_y\Delta y}{2}\right] \leq 1 \quad (3.45)$$

เอกสารนี้เป็นเอกสารที่สงวนไว้สำหรับการใช้งานเพื่อการศึกษาเท่านั้น ไม่อนุญาตให้นำไปใช้ประโยชน์ด้านการค้า ไม่ว่ากรณีใดๆ ทั้งสิ้น อีกทั้งห้ามมิให้ตัดแปลงเนื้อหาและต้องอ้างอิงถึงเจ้าของเอกสารทุกครั้งที่มีการนำไปใช้

สำหรับ  $\bar{k}_x$  และ  $\bar{k}_y$  รู้ค่าส่วน  $\sin^2$  ในสมการ (3.44) เป็นบวก และมีค่าระหว่าง 0 และ 1 ค่า  $\Lambda^2$  มีค่าเป็นลบ ดังนั้น  $\Lambda$  เป็นจำนวนจินตภาพ จากเงื่อนไขของ  $\sin^2$  จะได้เงื่อนไขของ  $\Lambda$  ของเวกเตอร์  $\bar{k}$  นั่นคือ

$$R_e(\Lambda) = 0 \quad (3.46)$$

$$-2c \sqrt{\frac{1}{(\Delta x)^2} + \frac{1}{(\Delta y)^2}} \leq I_m(\Lambda) \leq 2c \sqrt{\frac{1}{(\Delta x)^2} + \frac{1}{(\Delta y)^2}} \quad (3.47)$$

ซึ่ง  $c = \frac{1}{\sqrt{\mu\epsilon}}$  เป็นความเร็วของแสงในวัสดุที่ทรงแบน

### 3.3.4 กฎของความเป็นเสถียรภาพ

ตัวเลขเชิงเสถียรภาพสำหรับสเปซเซิลโหมด (Spatial mode) จะอยู่ในขอบเขตของไอเกนวาลู แสดงโดยใช้สมการ (4.15) ซึ่งจำเป็นต้องขึ้นกับขอบเขตช่วงเสถียรภาพของชั้นเวลา ไอเกนวาลูโดยใช้สมการ (4.8) ข้อสังเกตจากเวลาและสเปซไอเกนวาลู จะอยู่ในแกนจินตภาพ มีขนาดที่เท่ากัน มันเป็นตัวกำหนดขอบเขตบนในสมการ (4.15)

$$2c \left( \sqrt{\frac{1}{(\Delta x)^2} + \frac{1}{(\Delta y)^2}} \right) \leq \frac{2}{\Delta t} \rightarrow \Delta t \leq \frac{1}{c \left( \sqrt{\frac{1}{(\Delta x)^2} + \frac{1}{(\Delta y)^2}} \right)} \quad (3.48)$$

ถ้า  $\Delta x = \Delta y = \Delta$  จะได้สมการคือ

$$\Delta t \leq \frac{1}{c \left( \sqrt{\frac{1}{\Delta^2} + \frac{1}{\Delta^2}} \right)} = \frac{1}{c \left( \sqrt{\frac{2}{\Delta^2}} \right)} = \frac{\Delta}{c\sqrt{2}} \quad (3.49)$$

เมื่อเราให้  $\Delta y$  เพิ่มขึ้นมากๆ เทียบกับ  $\Delta x$  จะได้สมการของความเสถียรภาพคือ

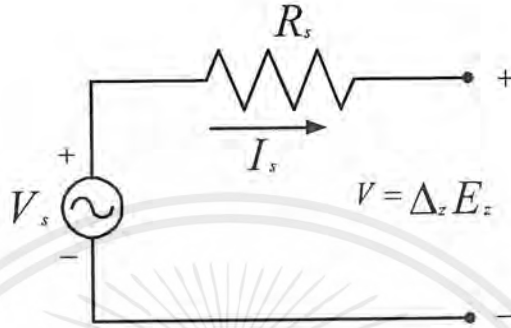
$$\Delta t \leq \frac{1}{c \sqrt{\frac{1}{(\Delta x)^2} + \frac{1}{(\Delta y)^2}}} = \frac{1}{c \sqrt{\frac{1}{(\Delta x)^2}}} = \frac{\Delta x}{c} \quad (3.50)$$

นี่คือข้อสรุปของรูปแบบทั่วไปของการแพร่กระจายคลื่น TM โหมด แบบ 2 มิติ

เอกสารนี้เป็นเอกสารที่สงวนไว้สำหรับการใช้งานเพื่อการศึกษาเท่านั้น ไม่อนุญาตให้นำไปใช้ประโยชน์ด้านการค้า ไม่ว่ากรณีใดๆ ทั้งสิ้น อีกทั้งห้ามมิให้ดัดแปลงเนื้อหาและต้องอ้างอิงถึงเจ้าของเอกสารทุกครั้งที่มีการนำไปใช้

### 3.4 แบบจำลองของแหล่งกำเนิดที่มีความต้านทาน

แหล่งกำเนิดของสัญญาณในเรื่องของ FD-TD จะให้กำเนิดสนามไฟฟ้า  $E$  ในทิศทางของ  $z$  โดยจะมีความสัมพันธ์กับตำแหน่งคือ  $i_s \Delta x$ ,  $j_s \Delta y$  และ  $k_s \Delta z$  โดยการเขียนวงจรเทียบเคียง จะได้เป็นแหล่งกำเนิดแรงดัน (voltage source) และมีความต้านทานภายใน  $R_s$  ดังแสดงในรูปที่ 3.3



รูปที่ 3.3 แหล่งกำเนิดของ FD-TD กับแหล่งกำเนิดที่มีความต้านทาน  $R_s$

ถ้าแหล่งกำเนิดมีความต้านทานภายในเป็นศูนย์ ( $R_s = 0$ ) จะได้สนามไฟฟ้าของ FD-TD ที่แหล่งกำเนิดดังสมการคือ

$$E_s^n(i_s, j_s, k_s) = \frac{V_s(n\Delta t)}{\Delta z} \quad (3.51)$$

โดย  $V_s$  คือแรงดันที่ฟังก์ชันของเวลาต่างๆ (เป็นไปตามหลักการของ Gaussian pulse คือ แหล่งกำเนิดที่มีความต้านทานภายในเป็นศูนย์โอห์ม) ค่าของ  $\Delta x = \Delta y = \Delta z$  และ  $E_s^n(i_s, j_s, k_s)$  ก็คือแหล่งกำเนิดสนามไฟฟ้าของ FD-TD ซึ่งจะมีกระแสไหลจากแหล่งกำเนิด สามารถทำการคำนวณโดยใช้กฎของแอมแปร์ (Ampere's circuit law) คือใช้การอินทิเกรตเชิงเส้นของสนามแม่เหล็กกรอบที่ตั้งของแหล่งกำเนิดสนามไฟฟ้า ดังนั้นจะได้สมการของกระแสคือ

$$\begin{aligned} i_s^{n-\frac{1}{2}} = & \left[ H_x^{n-\frac{1}{2}}(i_s \cdot j_s - 1 \cdot k_s) - H_x^{n-\frac{1}{2}}(i_s \cdot j_s \cdot k_s) \right] \Delta x \\ & + \left[ H_y^{n-\frac{1}{2}}(i_s \cdot j_s \cdot k_s) - H_y^{n-\frac{1}{2}}(i_s - 1 \cdot j_s \cdot k_s) \right] \Delta y \end{aligned} \quad (3.52)$$

เอกสารนี้เป็นเอกสารที่สงวนไว้สำหรับการใช้งานเพื่อการศึกษาเท่านั้น ไม่อนุญาตให้นำไปใช้ประโยชน์ด้านการค้าไม่ว่ากรณีใดๆ ทั้งสิ้น อีกทั้งห้ามมิให้ดัดแปลงเนื้อหาและต้องอ้างอิงถึงเจ้าของเอกสารทุกครั้งที่มีการนำไปใช้

ดังนั้นเราสามารถที่จะประยุกต์ใช้กฎของโอห์ม (Ohm's law) จากวงจรในรูปที่ 3.3 นั้นแหล่งกำเนิดของสนามไฟฟ้ามีสมการคือ

$$E_s^n(i_s, j_s, k_s) = \frac{V_s(n\Delta t)}{\Delta z} + \frac{I_s^{n-\frac{1}{2}} R_s}{\Delta z} \quad (3.53)$$

ในสมการถ้า  $R_s = 0$  ผลที่ได้ก็คือ hard-voltage source

### 3.5 การวิเคราะห์สนามด้วยวิธี PML ABC

วิธีการของ PML ABC เป็นการวิเคราะห์สนามไฟฟ้าและสนามแม่เหล็ก ที่ใช้ใน FD-TD โดยการประยุกต์ใช้สมการของแมกซ์เวลล์ แต่จะแยกสนามที่คิดออกเป็นสองทิศทางประกอบกัน วิธีการวิเคราะห์แบบนี้จะใช้ประโยชน์ตอนที่สนามของคลื่นแม่เหล็กไฟฟ้าผ่านในส่วนของผนังของท่อนำคลื่น

#### 3.5.1 การวิเคราะห์กรณีของคลื่นโหมด TM ใน 2 มิติ

คลื่นโหมด TM จะมีสนามที่ต้องพิจารณา 3 สนามคือ  $E_z, H_x$  และ  $H_y$  ในวิธีการของ PML ABC สนาม  $E_z$  จะเคลื่อนที่ในสองทิศทางคือ  $E_{zx}$  และ  $E_{zy}$  และจะต้องมีการแก้ไขสมการของแมกซ์เวลล์ ให้เป็นตามสมการของ PML ABC ในกรณีของคลื่นโหมด TM จะได้ สมการของสนามคือ

$$\epsilon_o \frac{\partial E_{zx}}{\partial t} + \sigma_x E_{zx} = \frac{\partial H_y}{\partial x} \quad (3.54)$$

$$\epsilon_o \frac{\partial E_{zy}}{\partial t} + \sigma_y E_{zy} = -\frac{\partial H_x}{\partial y} \quad (3.55)$$

$$\mu_o \frac{\partial H_x}{\partial t} + \sigma_y^* H_x = -\frac{\partial E_z}{\partial y} \quad (3.56)$$

$$\mu_o \frac{\partial H_y}{\partial t} + \sigma_x^* H_y = \frac{\partial E_z}{\partial x} \quad (3.57)$$

เมื่อ  $E_z = E_{zx} + E_{zy}$

เอกสารนี้เป็นเอกสารที่สงวนไว้สำหรับการใช้งานเพื่อการศึกษาเท่านั้น ไม่อนุญาตให้นำไปใช้ประโยชน์ด้านการค้าไม่ว่ากรณีใดๆ ทั้งสิ้น อีกทั้งห้ามมิให้ตัดแปลงเนื้อหาและต้องอ้างอิงถึงเจ้าของเอกสารทุกครั้งที่มีการนำไปใช้

จากสมการที่ (3.54) ซึ่งเป็นสมการแบบ PML สามารถเขียนในรูปของสมการของแมกซ์เวลล์คือ

$$\varepsilon_o \left[ \frac{E_{zx}|_{i,j}^{n+1} - E_{zx}|_{i,j}^n}{\Delta t} \right] + \sigma_x \left[ \frac{E_{zx}|_{i,j}^{n+1} - E_{zx}|_{i,j}^n}{2} \right] = \frac{H_y|_{i+\frac{1}{2},j}^{n+\frac{1}{2}} - H_y|_{i-\frac{1}{2},j}^{n+\frac{1}{2}}}{\Delta x} \quad (3.58)$$

นำ  $2\Delta t$  คูณตลอดสมการ

$$\begin{aligned} 2\varepsilon_o [E_{zx}|_{i,j}^{n+1} - E_{zx}|_{i,j}^n] + \Delta t \sigma_x [E_{zx}|_{i,j}^{n+1} - E_{zx}|_{i,j}^n] &= \frac{2\Delta t}{\Delta x} [H_y|_{i+\frac{1}{2},j}^{n+\frac{1}{2}} - H_y|_{i-\frac{1}{2},j}^{n+\frac{1}{2}}] \\ [2\varepsilon_o + \Delta t \sigma_x] E_{zx}|_{i,j}^{n+1} - [2\varepsilon_o - \Delta t \sigma_x] E_{zx}|_{i,j}^n &= \frac{2\Delta t}{\Delta x} [H_y|_{i+\frac{1}{2},j}^{n+\frac{1}{2}} - H_y|_{i-\frac{1}{2},j}^{n+\frac{1}{2}}] \\ E_{zx}|_{i,j}^{n+1} &= \frac{[2\varepsilon_o - \Delta t \sigma_x]}{[2\varepsilon_o + \Delta t \sigma_x]} E_{zx}|_{i,j}^n + \frac{2\Delta t}{\Delta x [2\varepsilon_o + \Delta t \sigma_x]} [H_y|_{i+\frac{1}{2},j}^{n+\frac{1}{2}} - H_y|_{i-\frac{1}{2},j}^{n+\frac{1}{2}}] \end{aligned} \quad (3.59)$$

ในทำนองเดียวกันเราสามารถหาสมการของ  $E_{zy}$  จากสมการที่ (3.55) คือ

$$E_{zy}|_{i,j}^{n+1} = \frac{[2\varepsilon_o - \Delta t \sigma_y]}{[2\varepsilon_o + \Delta t \sigma_y]} E_{zy}|_{i,j}^n - \frac{2\Delta t}{\Delta y [2\varepsilon_o + \Delta t \sigma_y]} [H_x|_{i,j+\frac{1}{2}}^{n+\frac{1}{2}} - H_x|_{i,j-\frac{1}{2}}^{n+\frac{1}{2}}] \quad (3.60)$$

จากสมการที่ (3.56) ซึ่งเป็นสมการแบบ PML สามารถเขียนในรูปของสมการของแมกซ์เวลล์คือ

$$\begin{aligned} \mu_o \left[ \frac{H_x|_{i,j}^{n+\frac{1}{2}} - H_x|_{i,j}^{n-\frac{1}{2}}}{\Delta t} \right] + \sigma_y^* \left[ \frac{H_x|_{i,j}^{n+\frac{1}{2}} + H_x|_{i,j}^{n-\frac{1}{2}}}{2} \right] &= -\frac{1}{\Delta y} [E_z|_{i,j+\frac{1}{2}}^n - E_z|_{i,j-\frac{1}{2}}^n] \\ [2\mu_o + \sigma_y^* \Delta t] H_x|_{i,j}^{n+\frac{1}{2}} - [2\mu_o + \sigma_y^* \Delta t] H_x|_{i,j}^{n-\frac{1}{2}} &= -\frac{2\Delta t}{\Delta y} [E_z|_{i,j+\frac{1}{2}}^n - E_z|_{i,j-\frac{1}{2}}^n] \\ H_x|_{i,j}^{n+\frac{1}{2}} &= \frac{[2\mu_o + \sigma_y^* \Delta t]}{[2\mu_o + \sigma_y^* \Delta t]} H_x|_{i,j}^{n-\frac{1}{2}} - \frac{2\Delta t}{\Delta y [2\mu_o + \sigma_y^* \Delta t]} [E_z|_{i,j+\frac{1}{2}}^n - E_z|_{i,j-\frac{1}{2}}^n] \end{aligned} \quad (3.61)$$

เอกสารนี้เป็นเอกสารที่สงวนไว้สำหรับการใช้งานเพื่อการศึกษาเท่านั้น ไม่อนุญาตให้นำไปใช้ประโยชน์ด้านการค้า  
ไม่ว่ากรณีใดๆ ทั้งสิ้น อีกทั้งห้ามมิให้ตัดแปลงเนื้อหาและต้องอ้างอิงถึงเจ้าของเอกสารทุกครั้งที่มีการนำไปใช้

ในทำนองเดียวกันเราสามารถหาสมการของ  $H_y$  ได้คือ

$$H_y \Big|_{i,j}^{n+\frac{1}{2}} = \left[ \frac{2\mu_o + \sigma_x^* \Delta t}{2\mu_o + \sigma_x^* \Delta t} \right] H_y \Big|_{i,j}^{n-\frac{1}{2}} + \frac{2\Delta t}{\Delta x [2\mu_o + \sigma_x^* \Delta t]} \left[ E_z \Big|_{i,j+\frac{1}{2}}^n - E_z \Big|_{i,j-\frac{1}{2}}^n \right] \quad (3.62)$$

เมื่อ  $\sigma_x$  และ  $\sigma_y$  คือสภาพนำทางไฟฟ้า (Electric conductivity) ส่วน  $\sigma_x^*$  และ  $\sigma_y^*$  คือค่าความสูญเสียทางแม่เหล็ก ซึ่งจะมีความสัมพันธ์ตามสมการคือ

$$\frac{\sigma}{\epsilon_o} = \frac{\sigma^*}{\mu_o} \quad (3.63)$$

สำหรับคลื่นโหมด TE สามารถแก้ไขสมการของแมกซ์เวลล์ให้เป็นแบบ PML ABC โดยจะมีสมการคือ

$$\epsilon_o \frac{\partial E_x}{\partial t} + \sigma_y E_x = \frac{\partial (H_{zx} + H_{zy})}{\partial y} \quad (3.64)$$

$$\epsilon_o \frac{\partial E_y}{\partial t} + \sigma_x E_y = -\frac{\partial (H_{zx} + H_{zy})}{\partial x} \quad (3.65)$$

$$\mu_o \frac{\partial H_{zx}}{\partial t} + \sigma_x^* H_{zx} = -\frac{\partial E_y}{\partial x} \quad (3.66)$$

$$\mu_o \frac{\partial H_{zy}}{\partial t} + \sigma_y^* H_{zy} = -\frac{\partial E_x}{\partial y} \quad (3.67)$$

### 3.5.2 เงื่อนไขของการสะท้อนและการแมทซิง (Matching)

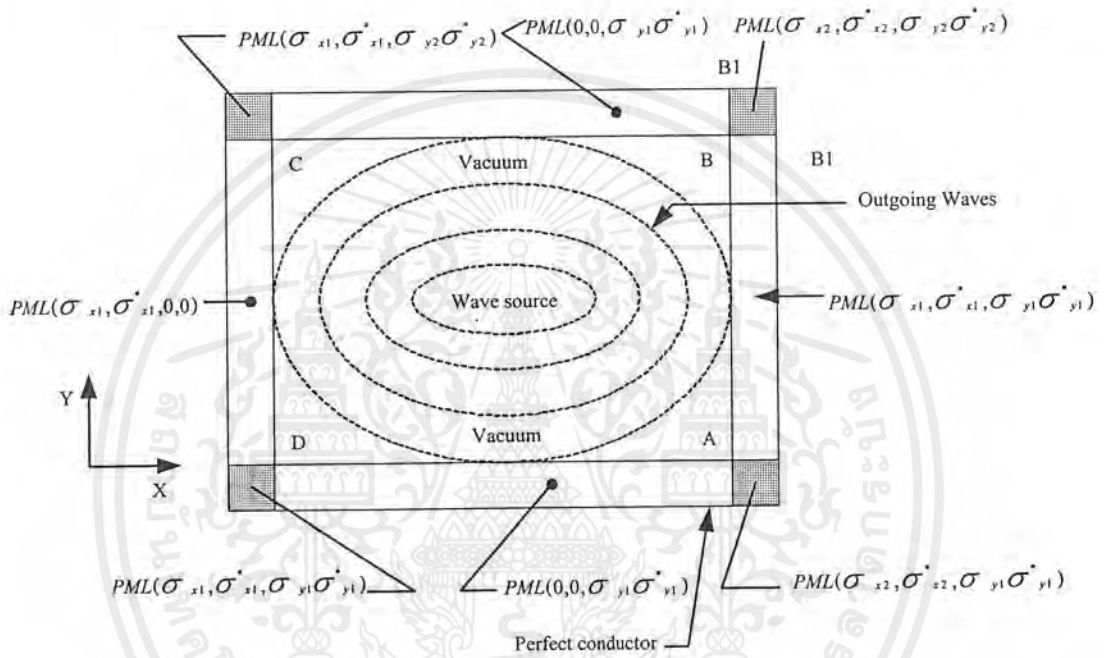
สัญญาณที่ไปกระทบกับผนังของท่อนำคลื่น ของค่าอิมพีแดนซ์จะต้องเป็นค่าที่แมทซิงกันเพราะทำให้ไม่เกิดการสะท้อนของสัญญาณค่าของอิมพีแดนซ์หาได้จากสมการคือ

$$Z = \sqrt{\frac{\mu_o}{\epsilon_o}} \quad (3.68)$$

จากสมการค่าของ  $Z$  คือค่าของอิมพีแดนซ์ที่แมทซิงกันของ FD-TD ที่ใช้การวิเคราะห์แบบ PML ABC

เอกสารนี้เป็นเอกสารที่สงวนไว้สำหรับการใช้งานเพื่อการศึกษาเท่านั้น ไม่อนุญาตให้นำไปใช้ประโยชน์ด้านการค้าไม่ว่ากรณีใดๆ ทั้งสิ้น อีกทั้งห้ามมิให้ตัดแปลงเนื้อหาและต้องอ้างอิงถึงเจ้าของเอกสารทุกครั้งที่มีการนำไปใช้

พิจารณาจากรูปที่ 3.4 เป็นรูป 2 มิติของ TE FD-TD กริด (แกน x และแกน y) โดยมีส่วนที่เป็นอวกาศว่างและส่วนที่ผนังทั้งสี่ด้าน ผนังทางด้านซ้ายและทางด้านขวา ( $x_{\max}$  และ  $x_{\min}$ ) ของกริด PML จะมี  $\sigma_x$  และ  $\sigma_x^*$  ที่เป็นไปตามเงื่อนไขของสมการ (3.63) แต่จะมี  $\sigma_y = \sigma_y^* = 0$  ที่ผนังด้านบนและด้านล่าง ( $y_{\max}$  และ  $y_{\min}$ ) ของกริด PML จะมี  $\sigma_y$  และ  $\sigma_y^*$  เป็นไปตามเงื่อนไขของสมการ (3.63) เช่นเดียวกัน แต่ตามความยาวจะมีค่า  $\sigma_x = \sigma_x^* = 0$  และที่มุมทั้งสี่ จะมีการชนกันของ 2 PML หรือมีความสูญเสีย 4 ค่าคือ  $\sigma_x$ ,  $\sigma_x^*$ ,  $\sigma_y$  และ  $\sigma_y^*$  ซึ่งจะไม่มีความสำคัญ



รูปที่ 3.4 รูปโครงสร้างของ FD-TD กริด ใน 2 มิติ ที่มีค่าความสูญเสียของ PML ABC

ค่าความสูญเสียต่างๆเหล่านี้จะมีค่าเพิ่มขึ้นตามจำนวนชั้น สัมพันธ์กับสมการ คือ

$$\sigma(\rho) = \sigma_{\max} \left( \frac{\rho}{\delta} \right)^n \quad (3.69)$$

ซึ่ง  $\delta$  ก็คือความหนาของ PML และ  $\sigma$  คือ  $\sigma_x$  หรือ  $\sigma_y$  สามารถเขียนในรูปของสมการสะท้อนได้คือ

$$R(\theta) = e^{-2\sigma_{\max} (\delta \cos \theta / (n+1) \epsilon_0 c)} \quad (3.70)$$

เอกสารนี้เป็นเอกสารที่สงวนไว้สำหรับการใช้งานเพื่อการศึกษาเท่านั้น ไม่อนุญาตให้นำไปใช้ประโยชน์ด้านการค้าไม่ว่ากรณีใดๆ ทั้งสิ้น อีกทั้งห้ามมิให้ดัดแปลงเนื้อหาและต้องอ้างอิงถึงเจ้าของเอกสารทุกครั้งที่มีการนำไปใช้

โดยทั่วไปจะใช้มุมที่  $R(0) = e^{-2\sigma_{\max}(\delta/(n+1)\epsilon_0 c)}$  เพราะเป็นมุมที่เกิดการสะท้อนน้อยที่สุด เราจะได้  $R \approx 1$

### 3.5.3 ชั้นเวลาเอ็กซ์ โพนเนนเชียล

เป็นชั้นเวลาที่ใช้ในการวิเคราะห์สนามแม่เหล็กไฟฟ้าแบบ PML ABC โดยประยุกต์มาจากสมการของแมกซ์เวลล์ คือ

$$\frac{\partial E_y}{\partial t} + \frac{\sigma}{\epsilon_0} E_y = -\frac{1}{\epsilon_0} \frac{\partial H_z}{\partial x} \quad (3.71)$$

เรากำหนดให้ โซลูชันของสมการ  $E_y(t)$  มีค่าคือ

$$E_{y_{\text{homog}}} = Ce^{-\alpha t/\epsilon_0} \quad (3.72)$$

ที่ชั้นเวลาต่อมาให้มีสมการคือ

$$E_{y_{\text{homog}}}^{n+1} = Ce^{-\alpha t/\epsilon_0} E_{y_{\text{homog}}}^n \quad (3.73)$$

แทนสมการ (3.72) และ (3.73) ในสมการอนุพันธ์ของ  $E_y(t)$  จะได้คือ

$$E_{y_{\text{par}}}(t') = -\frac{1}{\sigma} \frac{\partial H_z}{\partial x} + Ke^{-\alpha t'/\epsilon_0} \quad (3.74)$$

จากสมการที่ (3.74) แทนค่า  $t' = 0$  เราจะได้ค่าคือ  $K = \frac{1}{\sigma} \frac{\partial H_z}{\partial x}$  และแทนค่า  $K$  ในสมการที่ (3.74) จะได้สมการคือ

$$E_{y_{\text{par}}}(t') = -\frac{1}{\sigma} \frac{\partial H_z}{\partial x} + (e^{-\alpha t'/\epsilon_0} - 1) \quad (3.75)$$

โดยให้ชั้นเวลาสุดท้ายคือ  $t' = \Delta t$  ทนในสมการที่ (3.75) จะได้คือ

$$E_{y_{\text{par}}}(t' = \Delta t) = -\frac{1}{\sigma} \frac{\partial H_z}{\partial x} + (e^{-\sigma \Delta t/\epsilon_0} - 1) \quad (3.76)$$

เอกสารนี้เป็นเอกสารที่สงวนไว้สำหรับการใช้งานเพื่อการศึกษาเท่านั้น ไม่อนุญาตให้นำไปใช้ประโยชน์ด้านการค้าไม่ว่ากรณีใดๆ ทั้งสิ้น อีกทั้งห้ามมิให้ตัดแปลงเนื้อหาและต้องอ้างอิงถึงเจ้าของเอกสารทุกครั้งที่มีการนำไปใช้

ทำการรวมผลที่ได้ทั้งหมดโดยให้ขั้นเวลาสุดท้ายคือ  $(n+1)$  และรวมสมการที่ (3.73) และ (3.74) ค่าเฉลี่ยของ  $\frac{\partial H_z}{\partial x}$  อยู่ที่ขั้นเวลาที่  $\left(n + \frac{1}{2}\right)$  จะได้สมการคือ

$$E_y|_{i,j+\frac{1}{2}}^{n+1} = e^{-\sigma\Delta t/\epsilon_0} E_y|_{i,j+\frac{1}{2}}^n + \frac{1}{\sigma\Delta x} (e^{-\sigma\Delta t/\epsilon_0} - 1) \left( H_z|_{i+\frac{1}{2},j}^{n+1} - H_z|_{i-\frac{1}{2},j}^{n+1} \right) \quad (3.77)$$

สมการที่ (3.77) ใช้กับการวิเคราะห์สนามแม่เหล็กไฟฟ้าแบบ PML ABC การทำขั้นเวลาของเอ็กซ์โพเนนเชียลของคลื่นโหมด TM จะได้สมการคือ

$$H_x|_{i,j}^{n+\frac{1}{2}} = e^{\sigma^* \Delta t/\mu_0} H_x|_{i,j}^{n-\frac{1}{2}} - \frac{1}{\sigma\Delta y} (1 - e^{-\sigma^* \Delta t/\mu_0}) \left[ E_z|_{i,j+\frac{1}{2}}^n - E_z|_{i,j-\frac{1}{2}}^n \right] \quad (3.78)$$

$$H_y|_{i,j}^{n+\frac{1}{2}} = e^{\sigma^* \Delta t/\mu_0} H_y|_{i,j}^{n-\frac{1}{2}} + \frac{1}{\sigma\Delta x} (1 - e^{-\sigma^* \Delta t/\mu_0}) \left[ E_z|_{i+\frac{1}{2},j}^n - E_z|_{i-\frac{1}{2},j}^n \right] \quad (3.79)$$

$$E_x|_{i,j}^{n+1} = e^{-\sigma^* \Delta t/\epsilon_0} E_x|_{i,j}^n - \frac{1}{\sigma\Delta x} (1 - e^{-\sigma^* \Delta t/\epsilon_0}) \left[ H_y|_{i+\frac{1}{2},j}^{n+\frac{1}{2}} - H_y|_{i-\frac{1}{2},j}^{n+\frac{1}{2}} \right] \quad (3.80)$$

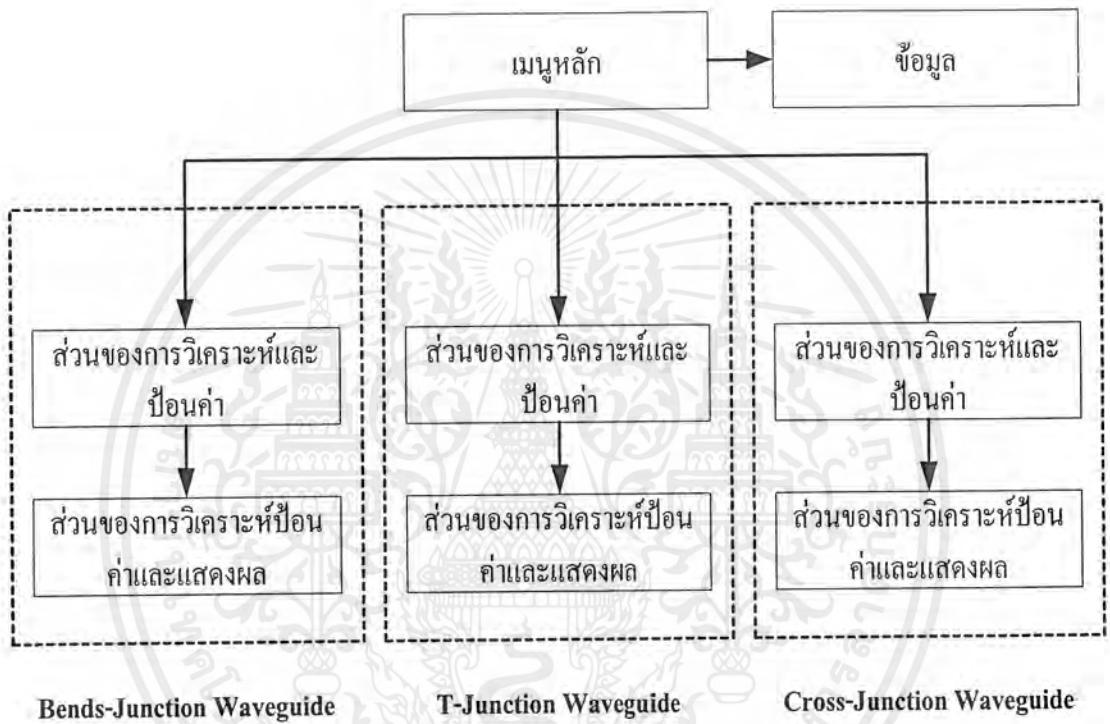
$$E_y|_{i,j}^{n+1} = e^{-\sigma^* \Delta t/\epsilon_0} E_y|_{i,j}^n + \frac{1}{\sigma\Delta y} (1 - e^{-\sigma^* \Delta t/\epsilon_0}) \left[ H_x|_{i,j+\frac{1}{2}}^{n+\frac{1}{2}} - H_x|_{i,j-\frac{1}{2}}^{n+\frac{1}{2}} \right] \quad (3.81)$$

เอกสารนี้เป็นเอกสารที่สงวนไว้สำหรับการใช้งานเพื่อการศึกษาเท่านั้น ไม่อนุญาตให้นำไปใช้ประโยชน์ด้านการค้า  
ไม่ว่ากรณีใดๆ ทั้งสิ้น อีกทั้งห้ามมิให้ดัดแปลงเนื้อหาและต้องอ้างอิงถึงเจ้าของเอกสารทุกครั้งที่มีการนำไปใช้

## บทที่ 4

### การออกแบบและการวิเคราะห์

ในการออกแบบและการวิเคราะห์ท่อนำคลื่นแบบไม่ต่อเนื่องด้วยวิธี FD-TD จะใช้โปรแกรม Matlab ช่วยในการออกแบบและวิเคราะห์โดยจะมีโครงสร้างของโปรแกรมดังแสดงในรูปที่ 4.1



รูปที่ 4.1 แสดง โครงสร้างของโปรแกรมที่ใช้ในการสร้างและออกแบบ

#### 4.1 เมนูหลัก

ส่วนของเมนูหลักจะทำหน้าที่ในการอ่านรายละเอียดโดยอ่านจาก 2 ส่วนใหญ่ๆคือ

##### 4.1.1 การอ่านข้อมูลในส่วนรายชื่อของการวิเคราะห์

ข้อมูลในส่วนรายชื่อของการวิเคราะห์ จะแสดงรายชื่อของท่อนำคลื่น 3 ชนิดคือ

1. ท่อนำคลื่นแบบทำมุมตั้งฉาก (Bends Waveguide)
2. ท่อนำคลื่นแบบข้อต่อ T (T-Junction Waveguide)
3. ท่อนำคลื่นแบบข้อต่อตัดขวาง (Cross - Junction Waveguide)

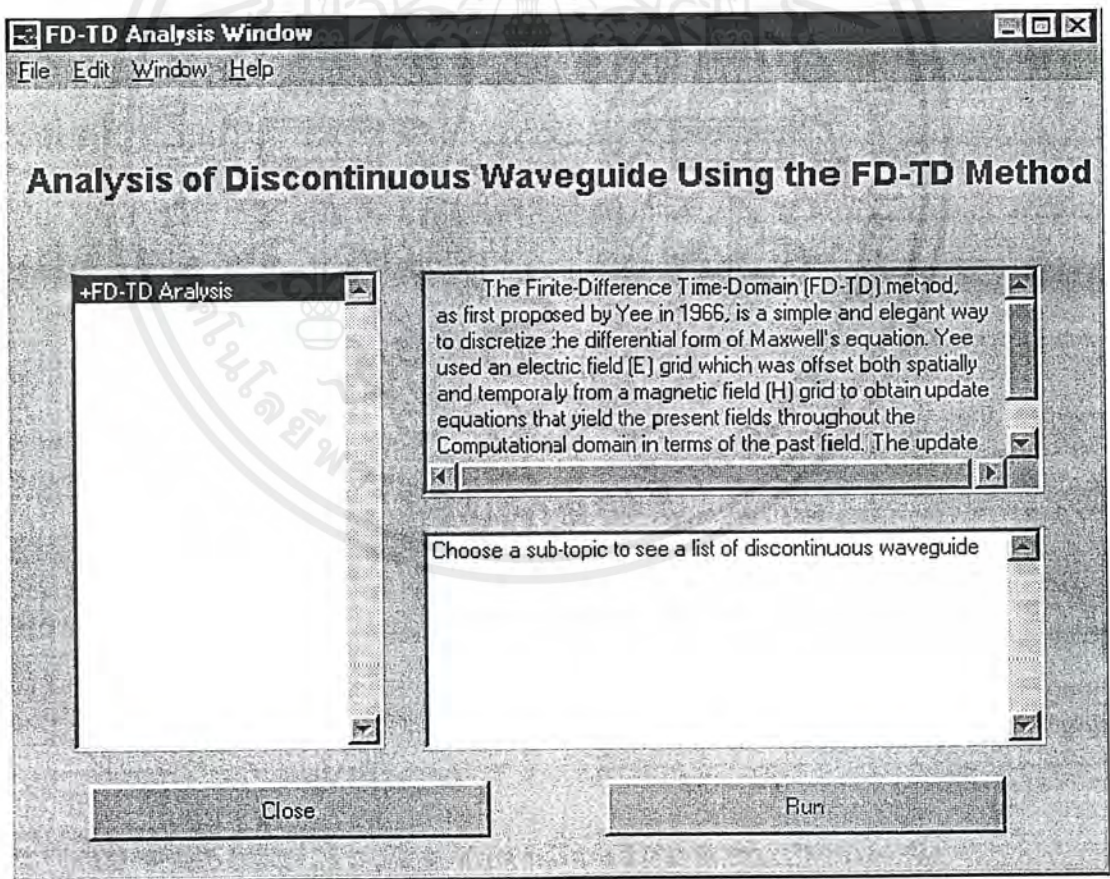
เอกสารนี้เป็นเอกสารที่สงวนไว้สำหรับการใช้งานเพื่อการศึกษาเท่านั้น ไม่อนุญาตให้นำไปใช้ประโยชน์ด้านการค้า ไม่ว่ากรณีใดๆ ทั้งสิ้น อีกทั้งห้ามมิให้ดัดแปลงเนื้อหาและต้องอ้างอิงถึงเจ้าของเอกสารทุกครั้งที่มีการนำไปใช้

โดยการอ่านข้อมูลจากส่วนนี้ก็คือ การเลือกไปที่ท่อนำคลื่นที่ต้องการ จะมีแถบสีขึ้นในส่วนของท่อนำคลื่นที่ได้เลือกไว้ หลังจากนั้นให้เลือกไปที่หน้าต่างที่มีคำว่า Run เช่นถ้าเลือกท่อนำคลื่นแบบ Bends Waveguide และจะมีแถบสีที่ชื่อที่ได้เลือกไว้ หลังจากนั้นให้เลือกไปที่หน้าต่าง Run Bends Waveguide ผลที่ได้คือจะไปยังส่วนของการวิเคราะห์และป้อนค่าของ Bends Waveguide

หากต้องการจะเลิกใช้งาน ให้เลือกไปที่หน้าต่าง Close หน้าจอของส่วนเมนูหลักจะปิดไป

#### 4.1.2 การอ่านในส่วนของข้อมูล

เป็นการอ่านข้อมูลสองส่วนคือส่วนแรกเป็นการกล่าวถึงรายละเอียดของของทฤษฎีของ FD-TD โดยย่อ ส่วนที่สองเป็นการกล่าวถึงรายละเอียดของท่อนำคลื่นแบบไม่ต่อเนื่องทั้ง 3 แบบ โดยย่อ การจะอ่านข้อมูลของทั้งสองส่วนนี้ ทำได้โดยเลือกที่ FD-TD Analysis จะแสดงรายละเอียดของทฤษฎี FD-TD โดยย่อ หากเลือกไปที่ Discontinuous Waveguide จะแสดงรายละเอียดของท่อนำคลื่นทั้ง 3 แบบ พร้อมกับแสดงในส่วนของรายชื่อของการวิเคราะห์



รูปที่ 4.2 แสดงหน้าต่างของส่วนเมนูหลัก

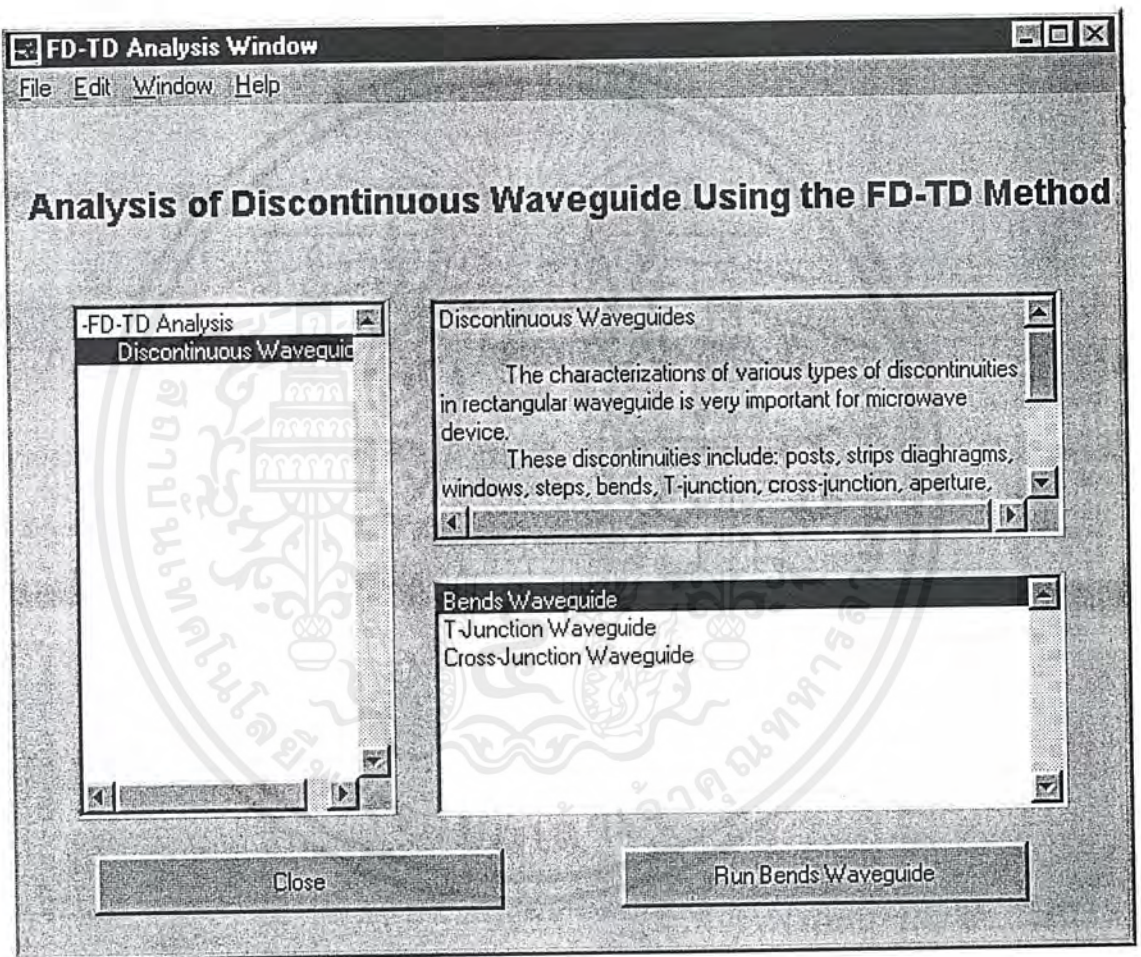
เอกสารนี้เป็นเอกสารที่สงวนไว้สำหรับการใช้งานเพื่อการศึกษาเท่านั้น ไม่อนุญาตให้นำไปใช้ประโยชน์ด้านการค้าไม่ว่ากรณีใดๆ ทั้งสิ้น อีกทั้งห้ามมิให้ดัดแปลงเนื้อหาและต้องอ้างอิงถึงเจ้าของเอกสารทุกครั้งที่มีการนำไปใช้

โปรแกรมในส่วนของเมนูหลักคือ โปรแกรมชื่อ fdtds.m ซึ่งจะอยู่ภาคผนวกของปฏิญานิพนธ์

#### 4.1.3 ส่วนของข้อมูล

คือส่วนที่แสดงรายละเอียดของข้อมูล โดยย่อคือละเอียดของของทฤษฎี FD-TD และรายละเอียดของข้อมูลก่อนาคลื่นทั้ง 3 แบบ ดังที่ได้กล่าวไว้แล้ว ในหัวข้อที่ (4.1.2)

โปรแกรมในส่วนของข้อมูลคือ โปรแกรมจะอยู่ในชื่อ guideinfo.m ซึ่งจะอยู่ภาคผนวกของปฏิญานิพนธ์



รูปที่ 4.3 แสดงหน้าต่างส่วนของข้อมูล

#### 4.2 ส่วนของการวิเคราะห์และป้อนค่า

ในส่วนนี้จะเป็นส่วนที่สามารถป้อนข้อมูลเพื่อที่จะทำการวิเคราะห์ให้ได้ตามค่าของข้อมูลที่ทำการป้อน โดยส่วนของการวิเคราะห์และป้อนค่าจะมี 3 แบบตามรายชื่อของก่อนาคลื่นคือ

เอกสารนี้เป็นเอกสารที่สงวนไว้สำหรับการใช้งานเพื่อการศึกษาเท่านั้น ไม่อนุญาตให้นำไปใช้ประโยชน์ด้านการค้าไม่ว่ากรณีใดๆ ทั้งสิ้น อีกทั้งห้ามมิให้ตัดแปลงเนื้อหาและต้องอ้างอิงถึงเจ้าของเอกสารทุกครั้งที่มีการนำไปใช้

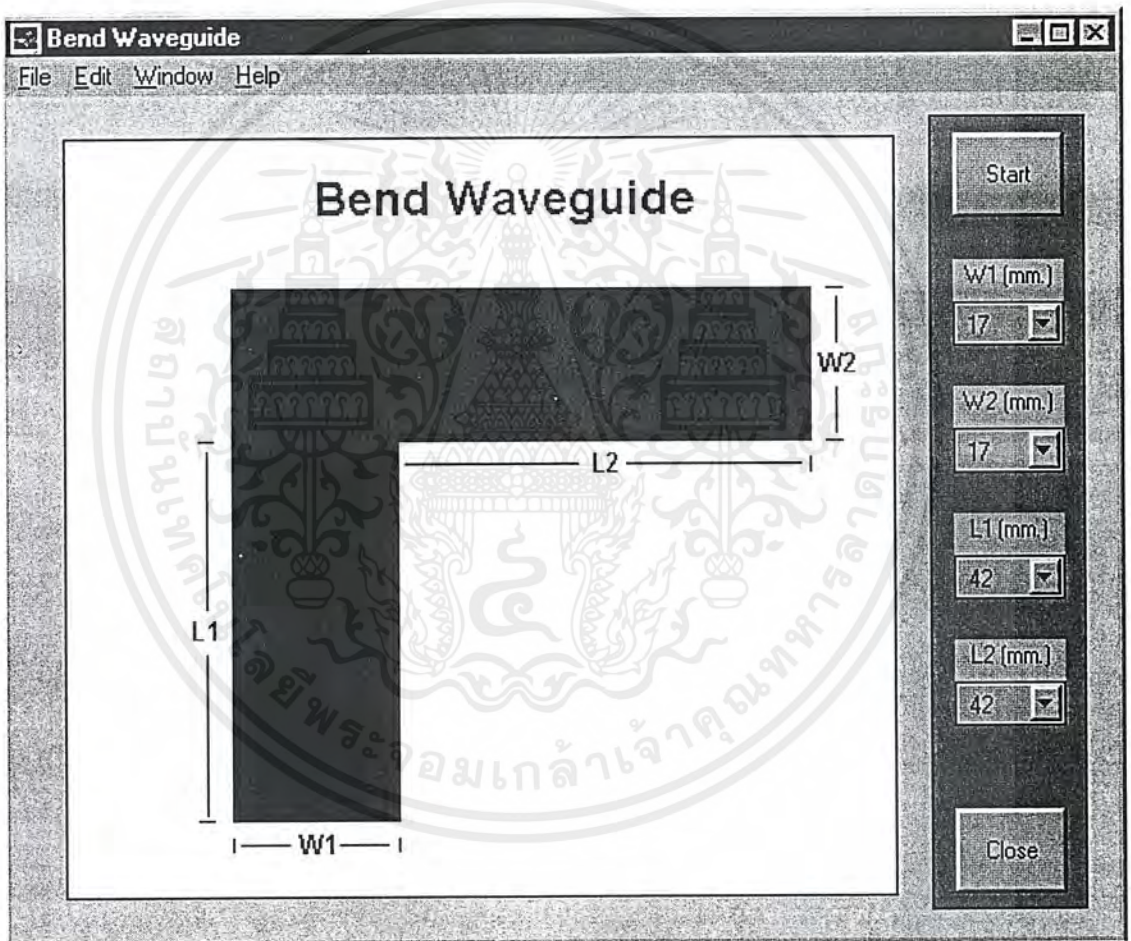
#### 4.2.1 แบบ Bends Waveguide

ส่วนแรกเป็นรูปของท่อนำคลื่น ที่มีตัวแปร  $W1$ ,  $W2$ ,  $L1$  และ  $L2$  เป็นตัวบอกตำแหน่งว่าอยู่ตรงส่วนใดของท่อนำคลื่นส่วนที่สอง จะเป็นส่วนที่ให้เลือกป้อนค่าต่างๆคือ

$W1$  และ  $W2$  ป้อนค่าได้ตั้งแต่ 17 mm. ถึง 25 mm.

$L1$  และ  $L2$  ป้อนค่าได้ตั้งแต่ 42 mm. ถึง 50 mm.

และจะมีหน้าต่าง Start คือเมื่อป้อนค่าเสร็จแล้วเลือกไปที่ Start จะไปยังส่วนของการวิเคราะห์ป้อนค่าและแสดงผลของ Bends Waveguide ส่วนหน้าต่าง Close ใช้สำหรับปิดหน้าต่างของส่วนของการวิเคราะห์และป้อนค่า



รูปที่ 4.4 แสดงหน้าต่างในส่วนของการวิเคราะห์และป้อนค่าของ Bends Waveguide

โปรแกรมในส่วนของการวิเคราะห์และป้อนค่าของ Bends Waveguide คือ โปรแกรมชื่อ bend.m ซึ่งจะอยู่ภาคผนวกของปริญญาโท

เอกสารนี้เป็นเอกสารที่สงวนไว้สำหรับการใช้งานเพื่อการศึกษาเท่านั้น ไม่อนุญาตให้นำไปใช้ประโยชน์ด้านการค้าไม่ว่ากรณีใดๆ ทั้งสิ้น อีกทั้งห้ามมิให้ดัดแปลงเนื้อหาและต้องอ้างอิงถึงเจ้าของเอกสารทุกครั้งที่มีการนำไปใช้

#### 4.2.2 แบบ T-Junction Waveguide

ส่วนแรกเป็นรูปของท่อนำคลื่น ที่มีตัวแปร  $W1$ ,  $W2$ ,  $L1$ ,  $L2$  และ  $L3$  เป็นตัวบอกตำแหน่งว่าอยู่ตรงส่วนใดของท่อนำคลื่น

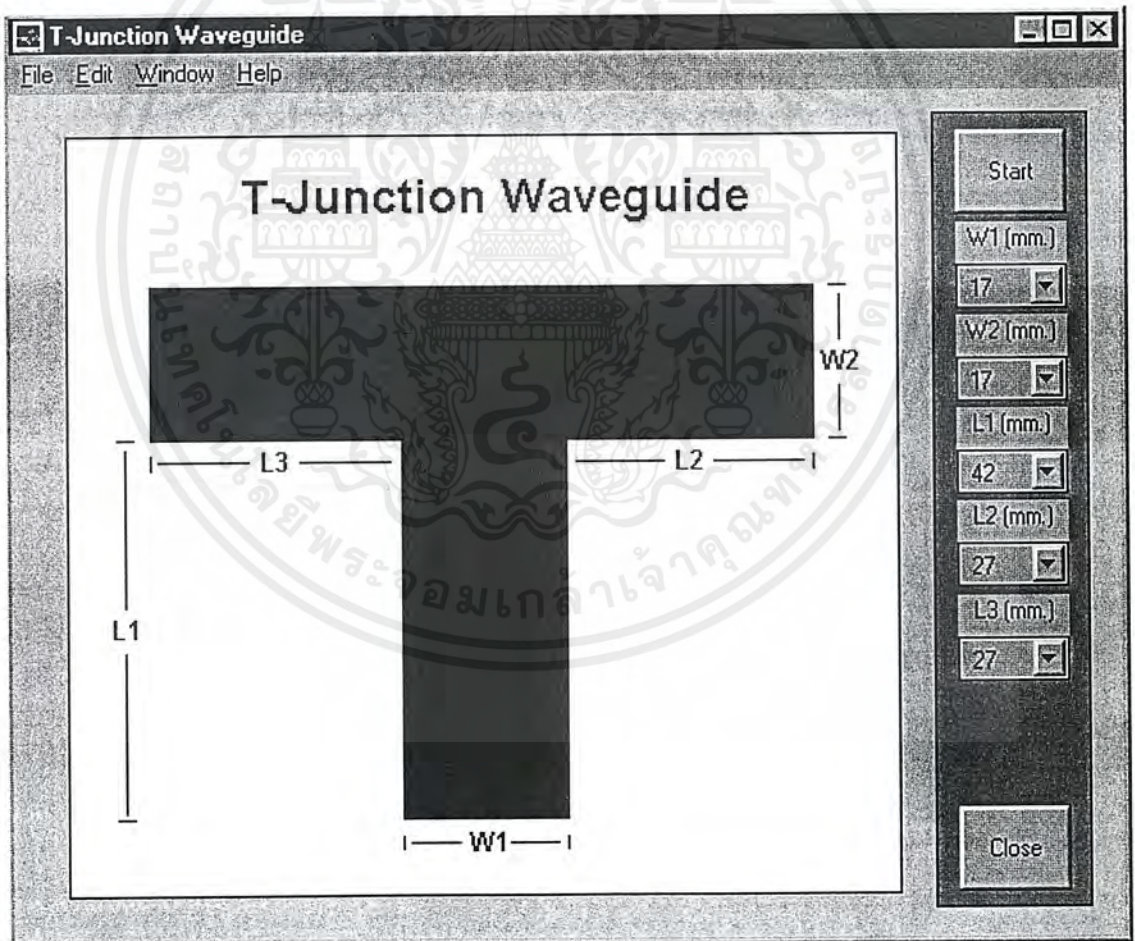
ส่วนที่สอง จะเป็นส่วนที่ให้เลือกป้อนค่าต่างๆคือ

$W1$  และ  $W2$  ป้อนค่าได้ตั้งแต่ 17 mm. ถึง 25 mm.

$L1$  ป้อนค่าได้ตั้งแต่ 42 mm. ถึง 50 mm

$L2$  และ  $L3$  ป้อนค่าได้ตั้งแต่ 27 mm. ถึง 35 mm.

และจะมีหน้าต่าง Start คือเมื่อป้อนค่าเสร็จแล้วเลือกไปที่ Start จะไปยังส่วนของการวิเคราะห์ป้อนค่าและแสดงผลของ T-Junction Waveguide ส่วนหน้าต่าง Close ใช้สำหรับปิดหน้าต่างของส่วนของการวิเคราะห์และป้อนค่า



รูปที่ 4.5 แสดงหน้าต่างในส่วนของการวิเคราะห์และป้อนค่าของ T-Junction Waveguide

เอกสารนี้เป็นเอกสารที่สงวนไว้สำหรับการใช้งานเพื่อการศึกษาเท่านั้น ไม่อนุญาตให้นำไปใช้ประโยชน์ด้านการค้าไม่ว่ากรณีใดๆ ทั้งสิ้น อีกทั้งห้ามมิให้ดัดแปลงเนื้อหาและต้องอ้างอิงถึงเจ้าของเอกสารทุกครั้งที่มีการนำไปใช้

โปรแกรมในส่วนของการวิเคราะห์และป้อนค่าของ T-Junction Waveguide คือ โปรแกรมชื่อ tjunc.m ซึ่งจะอยู่ภาคผนวกของปริญญาบัตร

#### 4.2.3 แบบ Cross-Junction Waveguide

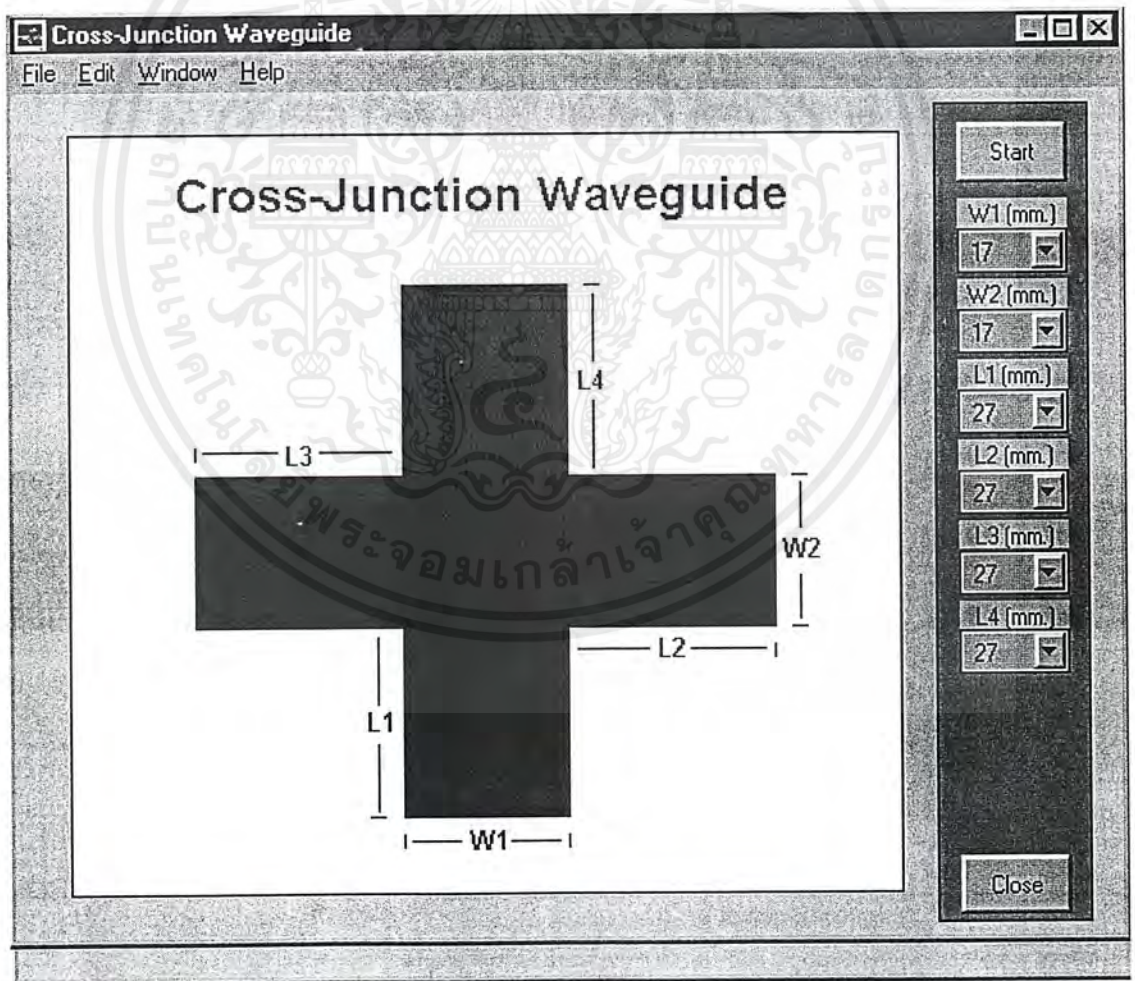
ส่วนแรกเป็นรูปของท่อนำคลื่น ที่มีตัวแปร  $W1$ ,  $W2$ ,  $L1$ ,  $L2$ ,  $L3$  และ  $L4$  เป็นตัวบอกตำแหน่งว่าอยู่ตรงส่วนใดของท่อนำคลื่น

ส่วนที่สอง จะเป็นส่วนที่ให้เลือกป้อนค่าต่างๆคือ

$W1$  และ  $W2$  ป้อนค่าได้ตั้งแต่ 17 mm. ถึง 25 mm.

$L1$  ถึง  $L4$  ป้อนค่าได้ตั้งแต่ 27 mm. ถึง 35 mm.

และจะมีหน้าต่าง Start คือเมื่อป้อนค่าเสร็จแล้วเลือกไปที่ Start จะไปยังส่วนของการวิเคราะห์ป้อนค่าและแสดงผลของ Cross-Junction Waveguide ส่วนหน้าต่าง Close ใช้สำหรับปิดหน้าต่างของส่วนของการวิเคราะห์และป้อนค่า



รูปที่ 4.6 แสดงหน้าต่างในส่วนของการวิเคราะห์และป้อนค่าของ Cross-Junction Waveguide

เอกสารนี้เป็นเอกสารที่สงวนไว้สำหรับการใช้งานเพื่อการศึกษาเท่านั้น ไม่อนุญาตให้นำไปใช้ประโยชน์ด้านการค้าไม่ว่ากรณีใดๆ ทั้งสิ้น อีกทั้งห้ามมิให้ดัดแปลงเนื้อหาและต้องอ้างอิงถึงเจ้าของเอกสารทุกครั้งที่มีการนำไปใช้

โปรแกรมในส่วนของการวิเคราะห์และป้อนค่าของ Cross-Junction Waveguide คือ โปรแกรมชื่อ cross.m ซึ่งจะอยู่ภาคผนวกของปริญญาานิพนธ์

### 4.3 ส่วนของการวิเคราะห์ ป้อนค่าและแสดงผล

ในส่วนนี้จะเป็นส่วนที่สามารถป้อนข้อมูลเพื่อที่จะทำการวิเคราะห์ให้ได้ตามค่าของข้อมูลที่ทำการป้อน โดยส่วนของการวิเคราะห์ป้อนค่า และประมวลผลจะมี 3 แบบ ตามรายชื่อของท่อนำคลื่น และทำการแสดงผลเป็นภาพเคลื่อนไหวแบบ 3 มิติ

#### 4.3.1 แบบ Bends Waveguide

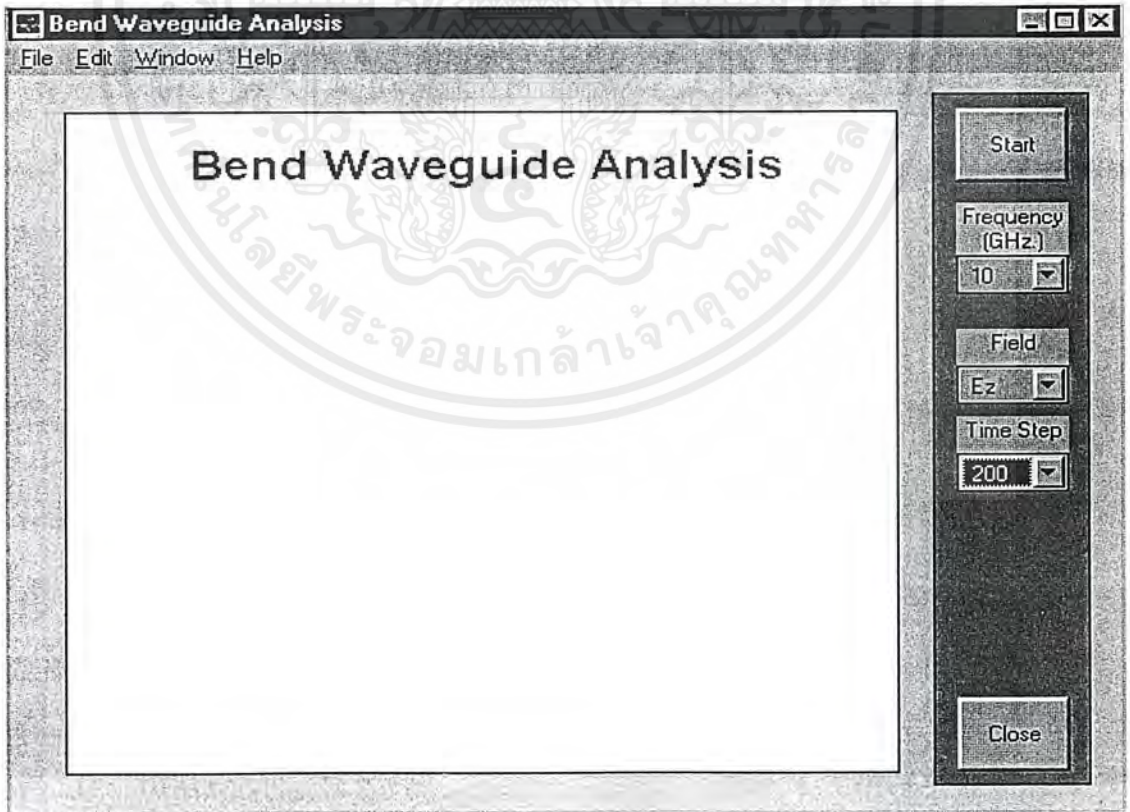
ในตอนแรกทางซ้ายมือ จะเป็นส่วนที่ให้เลือกป้อนค่าต่างๆ ดังนี้คือ

Frequency ป้อนค่าได้ตั้งแต่ 1 ถึง 15  $GH_z$

Field เลือกได้คือ  $E_z$ ,  $H_x$  หรือ  $H_y$

Time Step ป้อนค่าได้ตั้งแต่ 100 ถึง 500 ขึ้นเวลา

เมื่อป้อนค่าต่างๆเสร็จ ให้เลือกที่ หน้าต่าง Start โปรแกรมจะแสดงภาพเคลื่อนไหวเป็นแบบ 3 มิติ ตามค่าต่างๆที่ได้ป้อนไว้



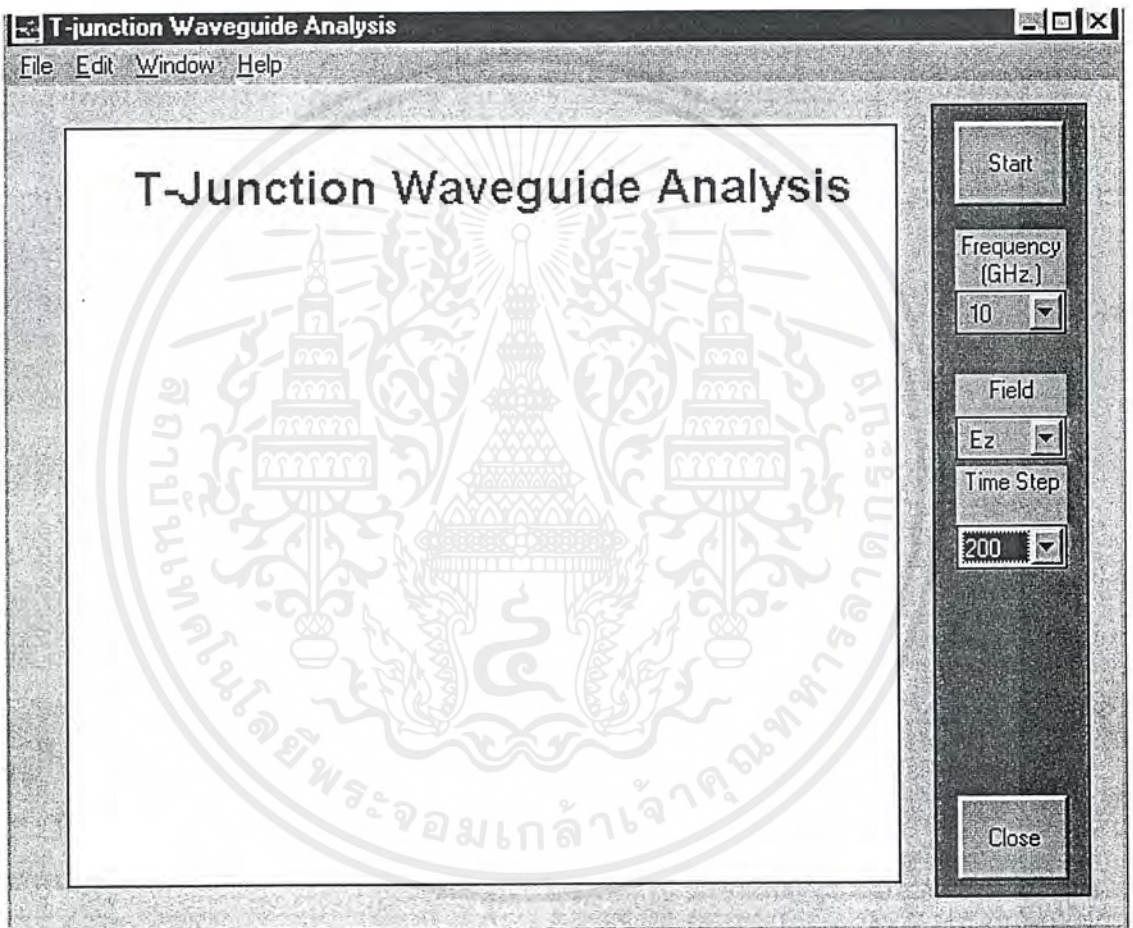
รูปที่ 4.7 แสดงหน้าต่างในส่วนของการวิเคราะห์ ป้อนค่าและแสดงผลของ Bends Waveguide

เอกสารนี้เป็นเอกสารที่สงวนไว้สำหรับการใช้งานเพื่อการศึกษาเท่านั้น ไม่อนุญาตให้นำไปใช้ประโยชน์ด้านการค้า ไม่ว่ากรณีใดๆ ทั้งสิ้น อีกทั้งห้ามมิให้ตัดแปลงเนื้อหาและต้องอ้างอิงถึงเจ้าของเอกสารทุกครั้งที่มีการนำไปใช้

โปรแกรมในส่วนของการวิเคราะห์ ป้อนค่าและแสดงผลของ Bends Waveguide คือ โปรแกรมชื่อ bend2.m ซึ่งจะอยู่ภาคผนวกของปริญญาานิพนธ์

#### 4.3.2 แบบ T-Junction Waveguide

การป้อนค่าจะเหมือนกันกับ แบบ Bends Waveguide จะต่างตรงที่เวลาเลือกที่ Start จะแสดงคลื่นไหวเป็นแบบ 3 มิติตามค่าต่างๆที่ได้ป้อนไว้แต่ต่างกันตรงที่ ภาพที่แสดงเป็นภาพของ T-Junction Waveguide เท่านั้น



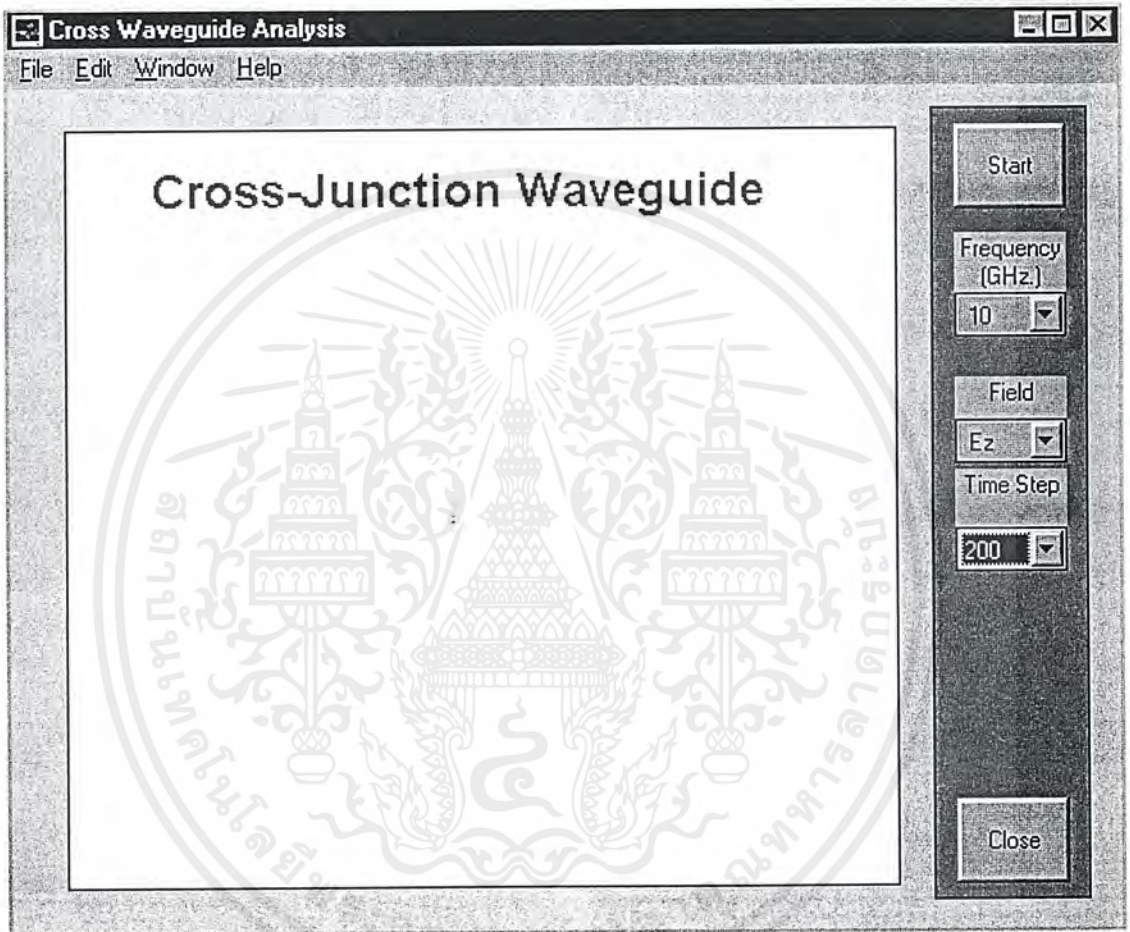
รูปที่ 4.8 แสดงหน้าต่างในส่วนของการวิเคราะห์ ป้อนค่าและแสดงผลของ T-Junction aveguide

โปรแกรมในส่วนของการวิเคราะห์ ป้อนค่าและแสดงผลของ T-Junction Waveguide คือ โปรแกรมชื่อ tjunc2.m ซึ่งจะอยู่ภาคผนวกของปริญญาานิพนธ์

เอกสารนี้เป็นเอกสารที่สงวนไว้สำหรับการใช้งานเพื่อการศึกษาเท่านั้น ไม่อนุญาตให้นำไปใช้ประโยชน์ด้านการค้าไม่ว่ากรณีใดๆ ทั้งสิ้น อีกทั้งห้ามมิให้ดัดแปลงเนื้อหาและต้องอ้างอิงถึงเจ้าของเอกสารทุกครั้งที่มีการนำไปใช้

### 4.3.3 แบบ Cross-Junction Waveguide

การป้อนค่าจะเหมือนกันกับ แบบ Bends Waveguide จะต่างตรงที่เวลาที่เลือกที่ Start จะแสดงเคลื่อนไหวเป็นแบบ 3 มิติตามค่าต่างๆที่ได้ป้อนไว้แต่ต่างกันตรงที่ ภาพที่แสดงเป็นภาพของ Cross-Junction Waveguide เท่านั้น



รูปที่ 4.9 แสดงหน้าต่างในส่วนของการวิเคราะห์ ป้อนค่าและแสดงผลของ Cross-Junction Waveguide

โปรแกรมในส่วนของการวิเคราะห์ ป้อนค่าและแสดงผลของ Cross-Junction Waveguide คือ โปรแกรมชื่อ cross2.m ซึ่งจะอยู่ภาคผนวกของปริญญาานิพนธ์

เอกสารนี้เป็นเอกสารที่สงวนไว้สำหรับการใช้งานเพื่อการศึกษาเท่านั้น ไม่อนุญาตให้นำไปใช้ประโยชน์ด้านการค้าไม่ว่ากรณีใดๆ ทั้งสิ้น อีกทั้งห้ามมิให้ดัดแปลงเนื้อหาและต้องอ้างอิงถึงเจ้าของเอกสารทุกครั้งที่มีการนำไปใช้

## บทที่ 5

# ผลที่ได้จากการออกแบบและการวิเคราะห์

### 5.1 ผลที่ได้จากการป้อนค่าของ Bends Waveguide

การทดลองที่ 1 เมื่อทำการป้อนค่าต่างๆดังต่อไปนี้คือ

$W1=17$  mm.

$W2=17$  mm.

$L1=42$  mm.

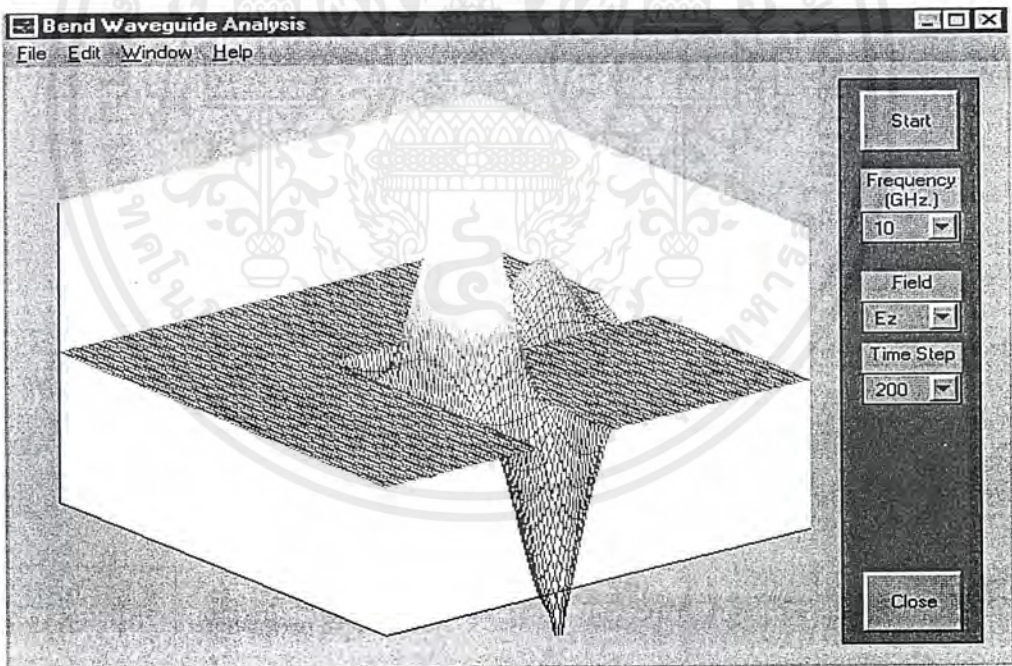
$L2=42$  mm.

Time Step=200

ผลการทดลองของสนาม  $E_z$  แสดงดังรูปที่ 5.1

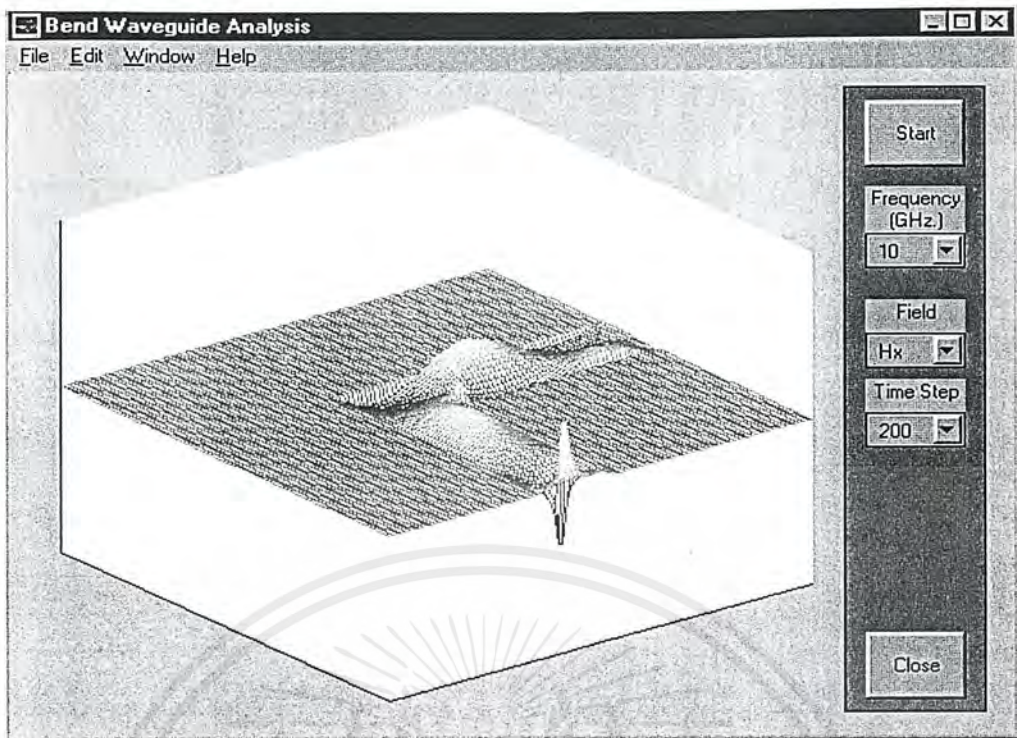
ผลการทดลองของสนาม  $H_x$  แสดงดังรูปที่ 5.2

ผลการทดลองของสนาม  $H_y$  แสดงดังรูปที่ 5.3

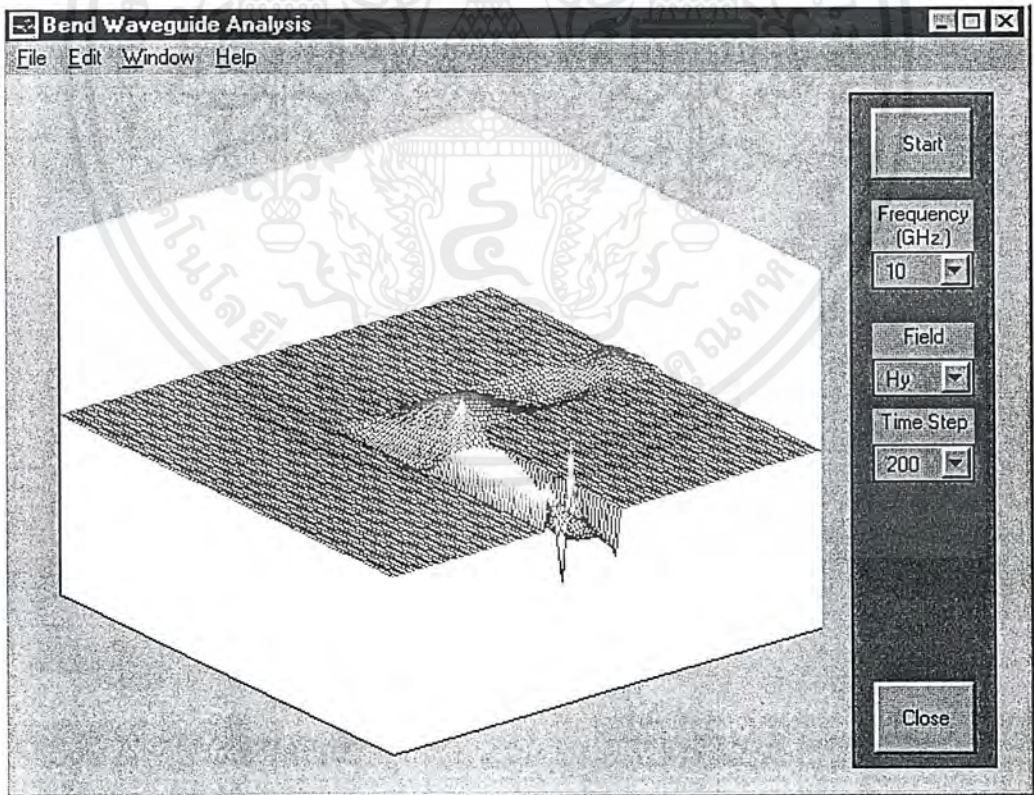


รูปที่ 5.1 แสดงสนาม  $E_z$  ที่ความถี่ 10 GHz

เอกสารนี้เป็นเอกสารที่สงวนไว้สำหรับการใช้งานเพื่อการศึกษาเท่านั้น ไม่อนุญาตให้นำไปใช้ประโยชน์ด้านการค้า  
ไม่ว่ากรณีใดๆ ทั้งสิ้น อีกทั้งห้ามมิให้ตัดแปลงเนื้อหาและต้องอ้างอิงถึงเจ้าของเอกสารทุกครั้งที่มีการนำไปใช้



รูปที่ 5.2 แสดงสนาม  $H_x$  ที่ความถี่ 10 GHz



รูปที่ 5.3 แสดงสนาม  $H_y$  ที่ความถี่ 10 GHz

เอกสารนี้เป็นเอกสารที่สงวนไว้สำหรับการใช้งานเพื่อการศึกษาเท่านั้น ไม่อนุญาตให้นำไปใช้ประโยชน์ด้านการค้า  
ไม่ว่ากรณีใดๆ ทั้งสิ้น อีกทั้งห้ามมิให้ดัดแปลงเนื้อหาและต้องอ้างอิงถึงเจ้าของเอกสารทุกครั้งที่มีการนำไปใช้

## 5.2 ผลที่ได้จากการป้อนค่าของ T-Junction Waveguide

การทดลองที่ 2 เมื่อทำการป้อนค่าต่างๆดังต่อไปนี้คือ

W1=17 mm.

W2=17 mm.

L1=42 mm.

L2=27 mm.

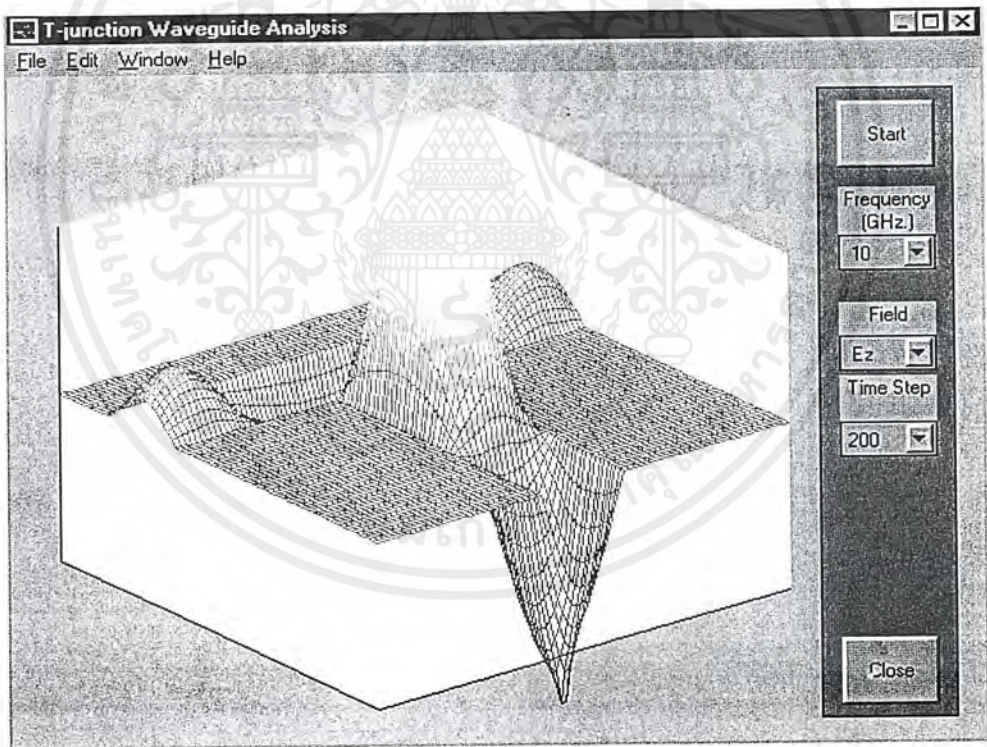
L3=27 mm.

Time Step=200

ผลการทดลองของสนาม  $E_z$  แสดงดังรูปที่ 5.4

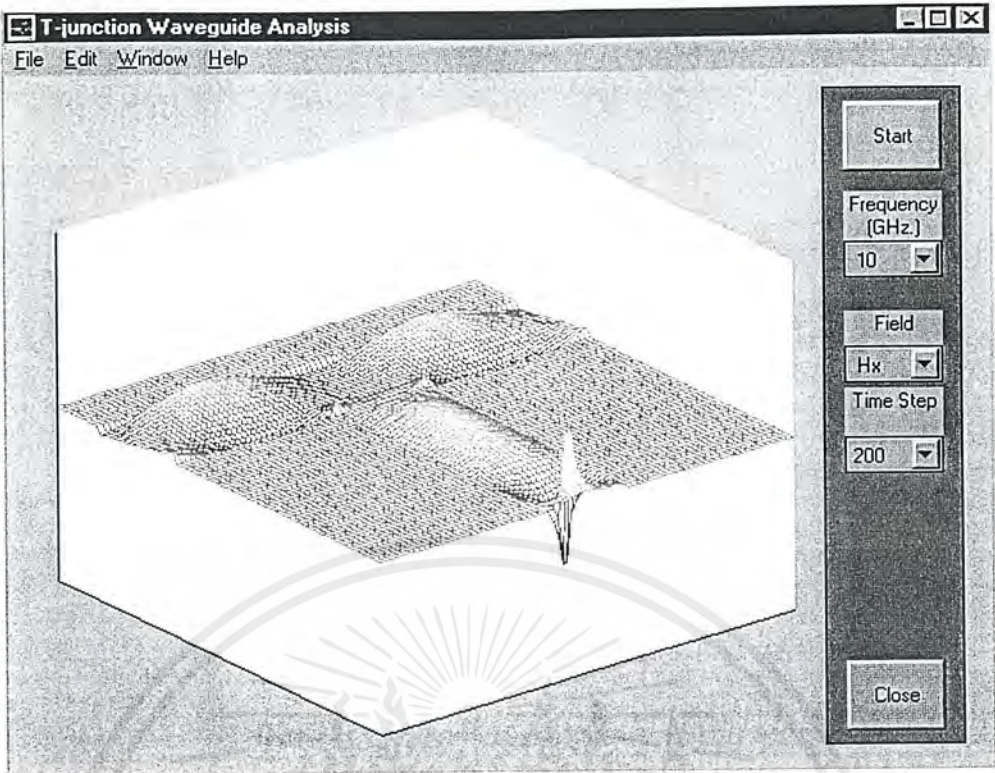
ผลการทดลองของสนาม  $H_x$  แสดงดังรูปที่ 5.5

ผลการทดลองของสนาม  $H_y$  แสดงดังรูปที่ 5.6

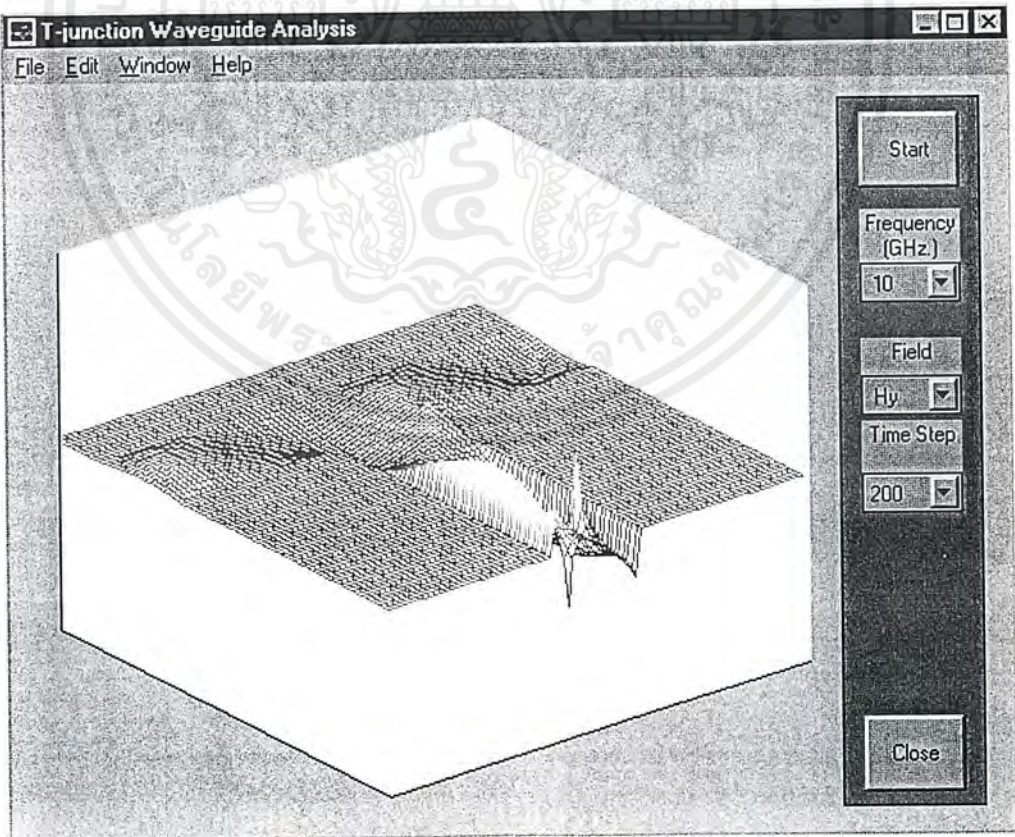


รูปที่ 5.4 แสดงสนาม  $E_z$  ที่ความถี่ 10 GHz

เอกสารนี้เป็นเอกสารที่สงวนไว้สำหรับการใช้งานเพื่อการศึกษาเท่านั้น ไม่อนุญาตให้นำไปใช้ประโยชน์ด้านการค้า  
ไม่ว่ากรณีใดๆ ทั้งสิ้น อีกทั้งห้ามมิให้ตัดแปลงเนื้อหาและต้องอ้างอิงถึงเจ้าของเอกสารทุกครั้งที่มีการนำไปใช้



รูปที่ 5.5 แสดงสนาม  $H_x$  ที่ความถี่ 10 GHz



รูปที่ 5.6 แสดงสนาม  $H_y$  ที่ความถี่ 10 GHz

เอกสารนี้เป็นเอกสารที่สงวนไว้สำหรับการใช้งานเพื่อการศึกษาเท่านั้น ไม่อนุญาตให้นำไปใช้ประโยชน์ด้านการค้า  
ไม่ว่ากรณีใดๆ ทั้งสิ้น อีกทั้งห้ามมิให้ดัดแปลงเนื้อหาและต้องอ้างอิงถึงเจ้าของเอกสารทุกครั้งที่มีการนำไปใช้

### 5.3 ผลที่ได้จากการป้อนค่าของ Cross-Junction Waveguide

การทดลองที่ 3 เมื่อทำการป้อนค่าต่างๆดังต่อไปนี้คือ

$W1=17$  mm.

$W2=17$  mm.

$L1=42$  mm.

$L2=27$  mm.

$L3=27$  mm.

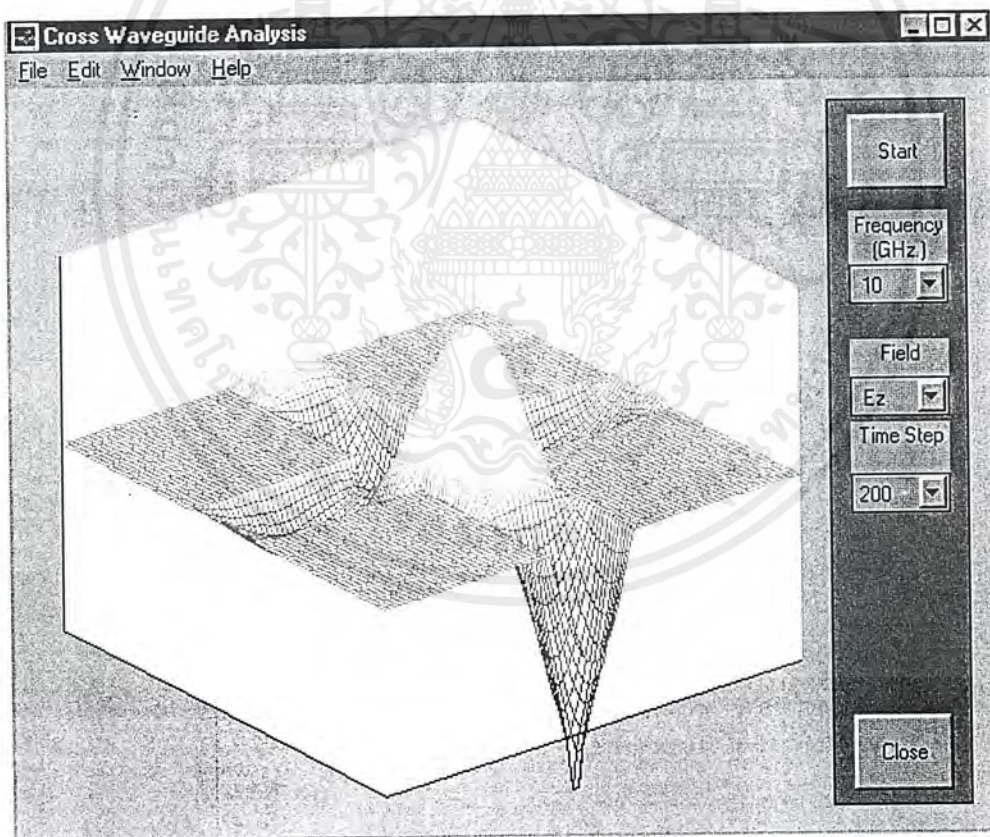
$L4=27$  mm.

Time Step=200

ผลการทดลองของสนาม  $E_z$  แสดงดังรูปที่ 5.7

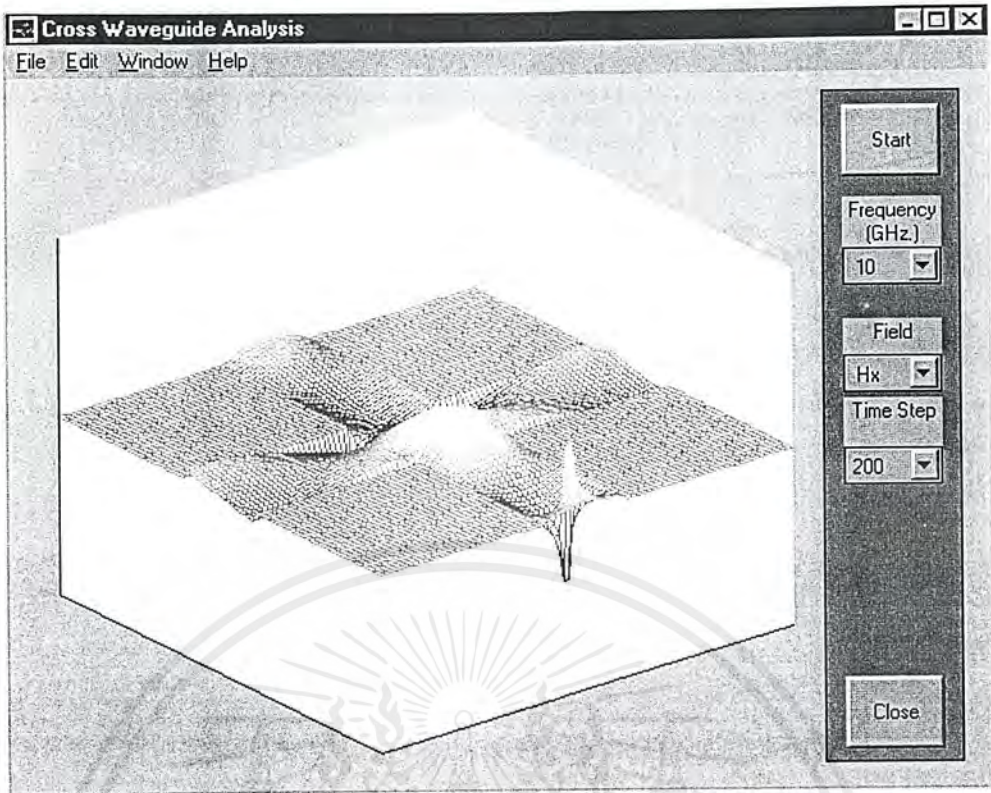
ผลการทดลองของสนาม  $H_x$  แสดงดังรูปที่ 5.8

ผลการทดลองของสนาม  $H_y$  แสดงดังรูปที่ 5.9

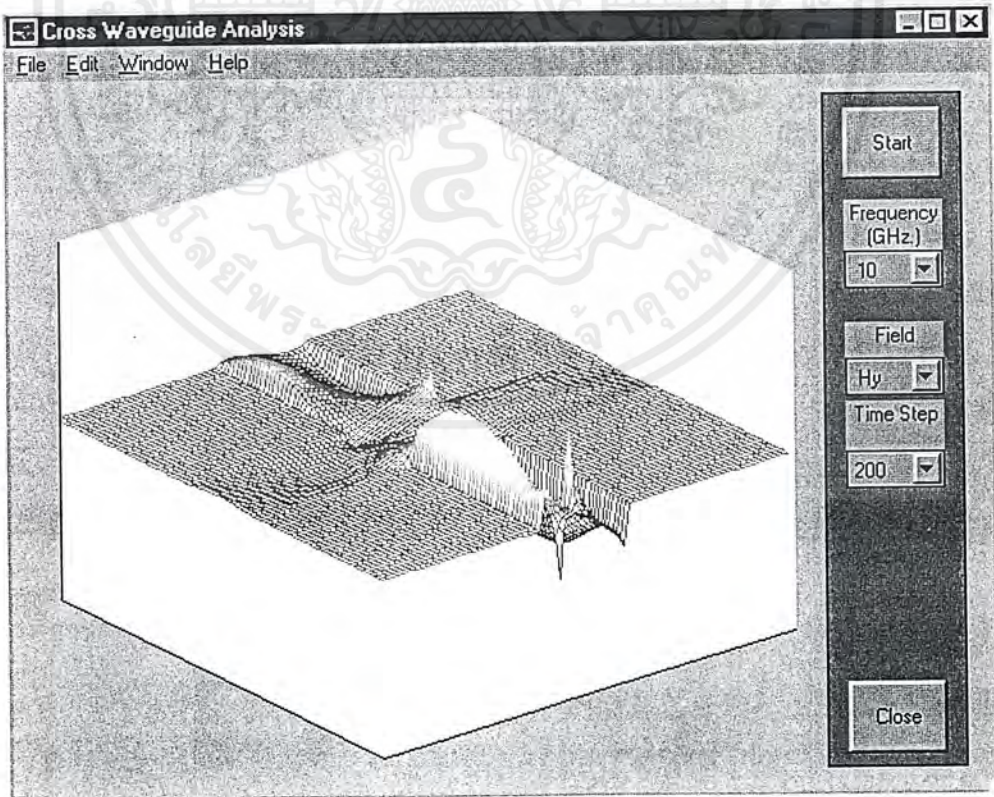


รูปที่ 5.7 แสดงสนาม  $E_z$  ที่ความถี่ 10 GHz

เอกสารนี้เป็นเอกสารที่สงวนไว้สำหรับการใช้งานเพื่อการศึกษาเท่านั้น ไม่อนุญาตให้นำไปใช้ประโยชน์ด้านการค้า  
ไม่ว่ากรณีใดๆ ทั้งสิ้น อีกทั้งห้ามมิให้ดัดแปลงเนื้อหาและต้องอ้างอิงถึงเจ้าของเอกสารทุกครั้งที่มีการนำไปใช้



รูปที่ 5.8 แสดงสนาม  $H_x$  ที่ความถี่ 10 GHz



รูปที่ 5.9 แสดงสนาม  $H_y$  ที่ความถี่ 10 GHz

เอกสารนี้เป็นเอกสารที่สงวนไว้สำหรับการใช้งานเพื่อการศึกษาเท่านั้น ไม่อนุญาตให้นำไปใช้ประโยชน์ด้านการค้า  
ไม่ว่ากรณีใดๆ ทั้งสิ้น อีกทั้งห้ามมิให้ดัดแปลงเนื้อหาและต้องอ้างอิงถึงเจ้าของเอกสารทุกครั้งที่มีการนำไปใช้

## สรุปผลที่ได้จากการออกแบบและการวิเคราะห์

### 6.1 สรุปผลที่ได้จากการทดลองที่นำคลื่นทั้ง 3 แบบ

1. สามารถเห็นลักษณะการเคลื่อนที่ของสนามไฟฟ้า  $E_z$  และสนามแม่เหล็ก  $H_x$  และ  $H_y$  ในที่นำคลื่นทำให้เข้าใจเรื่องคลื่นแม่เหล็กไฟฟ้าง่ายขึ้น
2. สามารถเลือกขนาดของที่นำคลื่นที่เหมาะสมมาใช้กับความถี่ได้ง่าย
3. สามารถเห็นความถี่คutoffของที่นำคลื่นได้
4. การลดทอนเกิดจากการสะท้อนของคลื่นที่กระทบผนังของที่นำคลื่นแล้วทำให้เกิดการหักล้างกันขึ้น โดยดูจากแอมพลิจูดคือ แอมพลิจูดของสัญญาณที่ออกจากที่นำคลื่นมีแอมพลิจูดที่ต่ำกว่าตอนเริ่มต้นแสดงว่าเกิดการลดทอนขึ้น
5. การกำหนดขนาดของที่นำคลื่นที่แตกต่างกันย่อมทำให้สัญญาณมีความแตกต่าง กันด้วย

### 6.2 สรุปผลการวิเคราะห์ที่นำคลื่นแบบไม่ต่อเนื่องด้วยวิธี FD-TD

วิธีของ FD-TD เป็นการวิเคราะห์การแพร่กระจายของคลื่นแม่เหล็กไฟฟ้าในโดเมนของเวลา ลักษณะของสมการจะไม่ยุ่งยากซับซ้อนและมีการคำนวณที่เป็นแบบแผนต่อเนื่องกันไป ใช้คอมพิวเตอร์ช่วยในการวิเคราะห์จึงมีความเที่ยงตรงสูงมาก เมื่อเทียบกับการใช้สมการของแมกซ์เวลล์โดยตรง ซึ่งขั้นตอนการหาสมการจะยุ่งยากมีโอกาสผิดพลาดสูง การใช้คอมพิวเตอร์ช่วยวิเคราะห์สามารถแสดงผลการแพร่กระจายของสนามแม่เหล็กไฟฟ้าเป็นภาพเคลื่อนไหวแบบ 3 มิติได้ ซึ่งสามารถมองเห็นได้เป็นนามธรรมมีประโยชน์อย่างมากในการศึกษาเรื่องของคลื่นแม่เหล็กไฟฟ้าช่วยให้เข้าใจได้ง่ายขึ้น

การวิเคราะห์ด้วยวิธีของ FD-TD นั้นในปริภูมิ 2 มิติเป็นการวิเคราะห์แบบ 2 มิติ คือ ในระนาบของแกน x และ y ส่วนของแกน z ไม่ได้มีการกำหนดค่าของความสูงไว้ ซึ่งในการแสดงผลแบบ 3 มิติ อาจทำให้มีค่าที่ผิดพลาดบ้างแต่ก็สามารใช้ในการศึกษาการแพร่กระจายของคลื่นแม่เหล็กไฟฟ้าได้

ในอนาคตหากได้รับการพัฒนาให้สามารถวิเคราะห์เป็นแบบ 3 มิติได้ ก็จะสามารถช่วยในการออกแบบสร้างที่นำคลื่นเพื่อใช้ในงานจริง ใช้เป็นแบบจำลองก่อนจะลงมือสร้างจริงซึ่งเป็นการประหยัดวัสดุที่อาจผิดพลาดจากการสร้างได้

## ภาคผนวก

### 1. โปรแกรม fdttds.m

```
function fdttds(action)

if nargin<1,
    action='showwaveguide';
else
    action = lower(action);
end;

indent = '    ';

categoryNames = {'waveguide'};

if (nargin == 1)
    if isempty(action)
        action = 'showwaveguide';
    else
        catMatch = strmatch(action, categoryNames);
        if ~isempty(catMatch)
            action = ['show' categoryNames{catMatch(1)}];
        end
    end
end

end

helpMsg = 'Choose a sub-topic to see a list of discontinuous waveguide';

set(0, 'ShowHiddenHandles', 'on');

figHandles = findobj('Type', 'figure');

figH=findobj(figHandles, 'flat', 'Name', 'FD-TD Analysis Window', ...
```

เอกสารนี้เป็นเอกสารที่สงวนไว้สำหรับการใช้งานเพื่อการศึกษาเท่านั้น ไม่อนุญาตให้นำไปใช้ประโยชน์ด้านการค้า  
ไม่ว่ากรณีใดๆ ทั้งสิ้น อีกทั้งห้ามมิให้ดัดแปลงเนื้อหาและต้องอ้างอิงถึงเจ้าของเอกสารทุกครั้งที่มีการนำไปใช้

```

    'Tag', 'fdtds');
set(0, 'ShowHiddenHandles', 'off');

if (length(action)>=4)

    if strcmp(action(1:4),'show')
        watchon;

        if isempty(figH),
            watchon;
            fdtlds('initialize');
            figHandles = findobj('Type', 'figure');
            figH=findobj(figHandles, 'flat', 'Name', 'FD-TD Analysis Window', ...
                'Tag', 'fdtds');
            set(figH, 'Visible','on');
            set(figH, 'HandleVisibility', 'callback');
        end;

        param=get(figH,'UserData');

        categoryListH = findobj(figH, ...
            'Type', 'uicontrol', 'Tag', 'CategoryListbox');
        index = get(categoryListH, 'UserData');
        fdtldsListH = findobj(figH, 'Type','uicontrol','Tag','FdtldsListbox');
        aboutListH = findobj(figH,'Type','uicontrol','Tag','AboutListbox');
        aboutTopics = get(aboutListH, 'UserData');

        runBtn=findobj(figH, 'Type', 'uicontrol', 'Tag', 'RunFdtlds');
        closeBtn=findobj(figH, 'Type', 'uicontrol', 'Tag','return');

        catValue = get(categoryListH, 'Value');
        theTopic = index.topic(catValue);

```

เอกสารนี้เป็นเอกสารที่สงวนไว้สำหรับการใช้งานเพื่อการศึกษาเท่านั้น ไม่อนุญาตให้นำไปใช้ประโยชน์ด้านการค้า  
ไม่ว่ากรณีใดๆ ทั้งสิ้น อีกทั้งห้ามมิให้ดัดแปลงเนื้อหาและต้องอ้างอิงถึงเจ้าของเอกสารทุกครั้งที่มีการนำไปใช้

```

theCategory = index.category(catValue);

topicList = param.topicList;

if (strcmp(action, 'showwaveguide'),
    theTopic = 1;

    set(categoryListH, 'Value', theTopic);
    index.expanded = [0 0 0 0];
    incremListUpdate = 0;
    action = 'showlist';
    theCategory = 0;
else
    incremListUpdate = 1;
end

if (strcmp(action, 'showlist'),
    if (theCategory == 0),
        index.expanded(theTopic) = not(index.expanded(theTopic));

        if incremListUpdate
            theCategoryList = get(categoryListH, 'String');
            currentLength = length(theCategoryList);
            insertPt = 1;
            while index.topic(insertPt) ~= theTopic
                insertPt = insertPt + 1;
            end
            if (index.expanded(theTopic))
                prefix = '-';
            else
                prefix = '+';
            end
        end
    end

```

เอกสารนี้เป็นเอกสารที่สงวนไว้สำหรับการใช้งานเพื่อการศึกษาเท่านั้น ไม่อนุญาตให้นำไปใช้ประโยชน์ด้านการค้า  
ไม่ว่ากรณีใดๆ ทั้งสิ้น อีกทั้งห้ามมิให้ดัดแปลงเนื้อหาและต้องอ้างอิงถึงเจ้าของเอกสารทุกครั้งที่มีการนำไปใช้

```

theCategoryList(insertPt) = ...
    {[prefix param.topicList{theTopic}]};
if index.expanded(theTopic)
    nCategories =length({param.pageList{theTopic}.Name});
    index.topic = LocalSplice(insertPt,...
        theTopic*ones(1,nCategories), index.topic);
    index.category = LocalSplice(insertPt,...
        [1:nCategories], index.category);

for iCategory = 1:nCategories
    theCategoryList = LocalSplice(insertPt,...
        {param.pageList{theTopic}(iCategory).Name},...
        theCategoryList);
    insertPt = insertPt+1;
end
set(categoryListH, 'String', theCategoryList);
else
    insertPt = insertPt + 1;
    while (index.topic(insertPt) == theTopic)
        index.topic(insertPt) = [];
        index.category(insertPt) = [];
        theCategoryList(insertPt) = [];

        if (insertPt > length(index.topic))
            break;
        end
    end
    set(categoryListH, 'String', theCategoryList);
end

else
    theCategoryList = {};

```

เอกสารนี้เป็นเอกสารที่สงวนไว้สำหรับการใช้งานเพื่อการศึกษาเท่านั้น ไม่อนุญาตให้นำไปใช้ประโยชน์ด้านการค้า  
ไม่ว่ากรณีใดๆ ทั้งสิ้น อีกทั้งห้ามมิให้ตัดแปลงเนื้อหาและต้องอ้างอิงถึงเจ้าของเอกสารทุกครั้งที่มีการนำไปใช้

```

nTopics = length(param.topicList);
index.topic = [];
index.category = [];

for iTopic = 1:nTopics,

    if (index.expanded(iTopic))
        prefix = '-';
    else
        prefix = '+';
    end
    theCategoryList = cat(2, theCategoryList, ...
        {[prefix param.topicList{iTopic}]});
    index.topic = cat(2, index.topic, [iTopic]);
    index.category = cat(2, index.category, [0]);
    if (index.expanded(iTopic)),
        nCategories = length({param.pageList{iTopic}.Name});
        theCategoryList = cat(2, theCategoryList, ...
            {param.pageList{iTopic}.Name});
        index.topic = cat(2, index.topic, iTopic*ones(1,nCategories));
        index.category = cat(2, index.category, [1:nCategories]);
    end
end
set(categoryListH, 'String', theCategoryList);
fdtdsList=char(param.pageList{theTopic}(1).FdtdsList);
end

set(categoryListH, 'UserData', index);

set(runBtn, 'String', 'Run', 'Enable', 'off');
set(fdtdsListH, 'String', helpMsg, ...
    'Max', 2, ...

```

เอกสารนี้เป็นเอกสารที่สงวนไว้สำหรับการใช้งานเพื่อการศึกษาเท่านั้น ไม่อนุญาตให้นำไปใช้ประโยชน์ด้านการค้า  
ไม่ว่ากรณีใดๆ ทั้งสิ้น อีกทั้งห้ามมิให้ดัดแปลงเนื้อหาและต้องอ้างอิงถึงเจ้าของเอกสารทุกครั้งที่มีการนำไปใช้

```

    'Value', [], ...
    'Enable', 'inactive');
set(aboutListH, 'String', aboutTopics{theTopic});
set(aboutListH, 'Value', []);

else
    theCategoryName = param.pageList{theTopic}(theCategory).Name;
    fdtDsLabel=[theCategoryName ' FdtDs'];

    fdtDsList=char(param.pageList{theTopic}(theCategory).FdtDsList);

    fcnList=char(param.pageList{theTopic}(theCategory).FcnList);
    theFdtDs = 1;
    fdtDsFcn = fcnList(theFdtDs,:);
    set(fdtDsListH, 'Enable', 'on', 'Max', 1, 'Value', 1);
    set(fdtDsListH, 'String', fdtDsList);
    LocalSetRunBtn(runBtn, fdtDsList(1,:), fdtDsFcn);

    hlpStr=param.pageList{theTopic}(theCategory).Help;
    nameStr=param.pageList{theTopic}(theCategory).Name;
    nameStr(1:length(indent)) = [];

    if (theTopic == 1) %
        spaceStr = ' ';
    else
        spaceStr = [];
    end
    set(aboutListH, 'String', [{nameStr}; {spaceStr}; hlpStr; ...
        {' '}; {' '});
    set(aboutListH, 'Value', []);
end

```

เอกสารนี้เป็นเอกสารที่สงวนไว้สำหรับการใช้งานเพื่อการศึกษาเท่านั้น ไม่อนุญาตให้นำไปใช้ประโยชน์ด้านการค้า  
ไม่ว่ากรณีใดๆ ทั้งสิ้น อีกทั้งห้ามมิให้ดัดแปลงเนื้อหาและต้องอ้างอิงถึงเจ้าของเอกสารทุกครั้งที่มีการนำไปใช้

```

elseif strcmp(action, 'showfdtds')

theFdtDs = get(fdtdsListH, 'Value');
fdtdsList=char(param.pageList{theTopic}(theCategory).FdtDsList);

fcnList=char(param.pageList{theTopic}(theCategory).FcnList);
fdtdsFcn = fcnList(theFdtDs,:);

LocalSetRunBtn(runBtn, fdtdsList(theFdtDs,:), fdtdsFcn);

else
if (theCategory ==0)
set(aboutListH, 'String', aboutTopics{theTopic});
set(aboutListH, 'Value', []);
end
end

watchoff(figH);

elseif strcmp(action,'initialize'),

oldRootUnits = get(0,'Units');
set(0, 'Units', 'points');

figurePos=get(0,'DefaultFigurePosition');
figurePos(3:4)=[420 315];
figurePos(1:2) = figurePos(1:2)*72/96;

rootScreenSize = get(0,'ScreenSize');

if ((figurePos(1) < 1) ...
| (figurePos(1)+figurePos(3) > rootScreenSize(3)))

```

เอกสารนี้เป็นเอกสารที่สงวนไว้สำหรับการใช้งานเพื่อการศึกษาเท่านั้น ไม่อนุญาตให้นำไปใช้ประโยชน์ด้านการค้า  
ไม่ว่ากรณีใดๆ ทั้งสิ้น อีกทั้งห้ามมิให้ดัดแปลงเนื้อหาและต้องอ้างอิงถึงเจ้าของเอกสารทุกครั้งที่มีการนำไปใช้

```

figurePos(1) = 30;
end

set(0, 'Units', oldRootUnits);

if ((figurePos(2)+figurePos(4)+60 > rootScreenSize(4)) ...
    | (figurePos(2) < 1))
    figurePos(2) = rootScreenSize(4) - figurePos(4) - 60;
end

figH=figure( ...
    'Name','FD-TD Analysis Window', ...
    'Units','points', ...
    'NumberTitle','off', ...
    'Visible','off', ...
    'Resize','on', ...
    'Position',figurePos, ...
    'Pointer','watch', ...
    'Tag','fddts');

watchon;

titleStr = 'Analysis of Discontinuous Waveguide Using the FD-TD Method';

titleH = text(.49, .95, titleStr);
set(titleH, ...
    'HorizontalAlignment','center', ...
    'Color',[0 0 .5], ...
    'FontSize', 14, ...
    'FontWeight','bold', ...
    'Tag','titletext');
axis off

```

เอกสารนี้เป็นเอกสารที่สงวนไว้สำหรับการใช้งานเพื่อการศึกษาเท่านั้น ไม่อนุญาตให้นำไปใช้ประโยชน์ด้านการค้า  
ไม่ว่ากรณีใดๆ ทั้งสิ้น อีกทั้งห้ามมิให้ดัดแปลงเนื้อหาและต้องอ้างอิงถึงเจ้าของเอกสารทุกครั้งที่มีการนำไปใช้

```
boxesNButtons = Localbuildpage(figH, helpMsg);
```

```
set(figH, 'Visible', 'on');
```

```
drawnow;
```

```
watchon;
```

```
guideList = guideinfo;
```

```
nTopics=1;
```

```
topicList{1}='FD-TD Analysis';
```

```
pageList{1} = guideList;
```

```
param.pageList = pageList;
```

```
param.topicList = topicList;
```

```
for iTopic = 1:nTopics
```

```
    nCategories = length({param.pageList{iTopic}.Name});
```

```
    topicList{iTopic} = ['+' topicList{iTopic}];
```

```
    for iCategory = 1:nCategories
```

```
        param.pageList{iTopic}(iCategory).Name ...
```

```
        = [indent param.pageList{iTopic}(iCategory).Name];
```

```
    end
```

```
end
```

```
set(figH,'UserData',param);
```

```
categoryListH = findobj(figH, ...
```

```
    'Type', 'uicontrol', 'Tag', 'CategoryListbox');
```

```
index.topic = [1:nTopics];
```

เอกสารนี้เป็นเอกสารที่สงวนไว้สำหรับการใช้งานเพื่อการศึกษาเท่านั้น ไม่อนุญาตให้นำไปใช้ประโยชน์ด้านการค้า  
ไม่ว่ากรณีใดๆ ทั้งสิ้น อีกทั้งห้ามมิให้ดัดแปลงเนื้อหาและต้องอ้างอิงถึงเจ้าของเอกสารทุกครั้งที่มีการนำไปใช้

```
index.category = zeros(1,nTopics);
index.expanded = zeros(1,nTopics);
```

```
set(categoryListH, ...
    'UserData', index, ...
    'String', topicList, ...
    'Value', 1);
```

```
aboutTopics = loadTopics;
```

```
set(boxesNButtons, 'Units', 'normalized');
```

```
set(boxesNButtons, 'Visible', 'on');
```

```
drawnow;
```

```
refresh;
```

```
watchoff;
```

```
end;
```

```
end;
```

```
function handleArray = Localbuildpage(figH, helpMsg)
```

```
figureColor = get(figH, 'Color');
```

```
labelHt=16.8;
```

```
aboutListPos = [157.5 149.25 240 92.25];
```

```
fdtdslstPos= [157.5 47.75 240 88.5];
```

```
catlistPos=[22.5 48.75 120 192.75];
```

เอกสารนี้เป็นเอกสารที่สงวนไว้สำหรับการใช้งานเพื่อการศึกษาเท่านั้น ไม่อนุญาตให้นำไปใช้ประโยชน์ด้านการค้า  
ไม่ว่ากรณีใดๆ ทั้งสิ้น อีกทั้งห้ามมิให้ดัดแปลงเนื้อหาและต้องอ้างอิงถึงเจ้าของเอกสารทุกครั้งที่มีการนำไปใช้

```

btnHt = 22.5;
closeBtnPos = [28.5 13.5 154.5 btnHt];
runBtnPos = [227.25 13.5 154.5 btnHt];

fdtdsList=helpMsg;
fdtdsListH= ...
    LocalBuildUi(fdtdsListPos, 'List', ...
        'fdtds("showfdtds")', fdtdsList, 'FdtDsListbox');
set(fdtdsListH, 'Max', 2, 'Value', [], 'Enable', 'inactive');

tbxList='';
tbxListH=LocalBuildUi(catlistPos, 'List', ...
    'fdtds("showlist")', tbxList, 'CategoryListbox');
set(tbxListH, 'Max', 1, 'Value', 1);

aboutList = '';
aboutListH=LocalBuildUi(aboutListPos, 'List', "", aboutList, 'AboutListbox');
set(aboutListH, 'Min', 0, 'Max', 2, 'Value', []);
set(aboutListH, 'BackgroundColor', figureColor);
set(aboutListH, 'UserData', loadTopics);

labelStr='Close';
callbackStr='eval("close")';
backH=LocalBuildBtn(2, closeBtnPos, labelStr, callbackStr, 'return');

callbackStr='fdtds("run")';
runH=LocalBuildBtn(2, runBtnPos, 'Run FdtDs', callbackStr, 'RunFdtDs');

handleArray = [runH backH aboutListH tbxListH fdtdsListH];

```

```
function uiHandle=LocalBuildUi(uiPos, uiStyle, uiCallback, promptStr, uitag)
```

เอกสารนี้เป็นเอกสารที่สงวนไว้สำหรับการใช้งานเพื่อการศึกษาเท่านั้น ไม่อนุญาตให้นำไปใช้ประโยชน์ด้านการค้า  
ไม่ว่ากรณีใดๆ ทั้งสิ้น อีกทั้งห้ามมิให้ดัดแปลงเนื้อหาและต้องอ้างอิงถึงเจ้าของเอกสารทุกครั้งที่มีการนำไปใช้

```

uiHandle=icontrol( ...
    'Style',uiStyle, ...
    'HorizontalAlignment','left', ...
    'Units','points', ...
    'Visible','off',...
    'Max',10, ...
    'BackgroundColor',[1 1 1], ...
    'Position',uiPos, ...
    'Callback',uiCallback, ...
    'Tag', uitag, ...
    'String',promptStr);

function btHandle=LocalBuildBtn(btnNumber, btnPos, labelStr, callbackStr, uitag)

labelColor=[0.8 0.8 0.8];

btHandle=icontrol( ...
    'Style','pushbutton', ...
    'Units','points', ...
    'Position',btnPos, ...
    'String',labelStr, ...
    'Visible','off', ...
    'Tag', uitag, ...
    'Callback',callbackStr);

```

```
function aboutTopicArray = loadTopics
```

```

about1 ={' The Finite-Difference Time-Domain (FD-TD) method, '
    ' as first proposed by Yee in 1966, is a simple and elegant way '
    ' to discretize the differential form of Maxwell"s equation. Yee '

```

เอกสารนี้เป็นเอกสารที่สงวนไว้สำหรับการใช้งานเพื่อการศึกษาเท่านั้น ไม่อนุญาตให้นำไปใช้ประโยชน์ด้านการค้า  
ไม่ว่ากรณีใดๆ ทั้งสิ้น อีกทั้งห้ามมิให้ดัดแปลงเนื้อหาและต้องอ้างอิงถึงเจ้าของเอกสารทุกครั้งที่มีการนำไปใช้

```
' used an electric field (E) grid which was offset both spatially '
' and temporally from a magnetic field (H) grid to obtain update '
' equations that yield the present fields throughout the '
' Computational domain in terms of the past field. The update '
' equations are used in a leap-frog scheme to incrementally '
' march the E and H fields forward in time. '};
```

```
aboutTopicArray = {about1};
```

```
function together = LocalSplice(insertPt, piece, target)
```

```
[sizeOne sizeTwo] = size(target);
```

```
if sizeOne > 1
```

```
    dim = 1;
```

```
    nItems = sizeOne;
```

```
    if sizeTwo > 1
```

```
        end
```

```
    else
```

```
        dim = 2;
```

```
        nItems = sizeTwo;
```

```
    end
```

```
if (insertPt<1)
```

```
    together = cat(dim, piece, target);
```

```
elseif (insertPt>nItems)
```

```
    together = cat(dim, target, piece);
```

```
else
```

```
    together = cat(dim, target(1:insertPt), ...
```

```
        piece,...
```

```
        target(insertPt+1:nItems));
```

```
end
```

เอกสารนี้เป็นเอกสารที่สงวนไว้สำหรับการใช้งานเพื่อการศึกษาเท่านั้น ไม่อนุญาตให้นำไปใช้ประโยชน์ด้านการค้า  
ไม่ว่ากรณีใดๆ ทั้งสิ้น อีกทั้งห้ามมิให้ดัดแปลงเนื้อหาและต้องอ้างอิงถึงเจ้าของเอกสารทุกครั้งที่มีการนำไปใช้

```
function theTopic = LocalGetTopic(topicList, targetString)
```

```
nTopics = length(topicList);
```

```
theTopic = 1;
```

```
if nTopics > 0
```

```
    for (iTopic = 1:nTopics)
```

```
        if (strcmp(topicList{iTopic}, targetString))
```

```
            theTopic = iTopic;
```

```
            return;
```

```
        end
```

```
    end
```

```
else
```

```
end
```

```
function LocalSetRunBtn(runBtn, labelStr, fdtDsFcn)
```

```
nMax = 20;
```

```
labelStr = deblank(labelStr);
```

```
if (length(labelStr)>nMax)
```

```
    labelStr = labelStr(1:nMax);
```

```
    spaces = findstr(' ', labelStr);
```

```
    if (isempty(spaces))
```

```
        labelStr = [labelStr '...'];
```

```
    else
```

```
        lastSpace = spaces(length(spaces));
```

```
        labelStr = [labelStr(1:lastSpace) '...'];
```

```
    end
```

```
end
```

เอกสารนี้เป็นเอกสารที่สงวนไว้สำหรับการใช้งานเพื่อการศึกษาเท่านั้น ไม่อนุญาตให้นำไปใช้ประโยชน์ด้านการค้า  
ไม่ว่ากรณีใดๆ ทั้งสิ้น อีกทั้งห้ามมิให้ตัดแปลงเนื้อหาและต้องอ้างอิงถึงเจ้าของเอกสารทุกครั้งที่มีการนำไปใช้

```
cbstring = ['watchon;' fdttsFen '; watchoff(gcbf);'];  
set(runBtn, ...  
    'String', ['Run ' labelStr], ...  
    'Enable','on', ...  
    'Callback', cbstring);
```



เอกสารนี้เป็นเอกสารที่สงวนไว้สำหรับการใช้งานเพื่อการศึกษาเท่านั้น ไม่อนุญาตให้นำไปใช้ประโยชน์ด้านการค้า  
ไม่ว่ากรณีใดๆ ทั้งสิ้น อีกทั้งห้ามมิให้ดัดแปลงเนื้อหาและต้องอ้างอิงถึงเจ้าของเอกสารทุกครั้งที่มีการนำไปใช้

## 2. โปรแกรม bend.m

```
function bend(action)
```

```
play= 1;
```

```
stop=-1;
```

```
if nargin<1,
```

```
    action='initialize';
```

```
end;
```

```
if strcmp(action,'initialize'),
```

```
    oldFigNumber=watchon;
```

```
    figNumber=figure( ...
```

```
        'Name','Bend Waveguide', ...
```

```
        'NumberTitle','off', ...
```

```
        'Visible','off', ...
```

```
        'BackingStore','off', ...
```

```
        'Colormap',[]);
```

```
    axes( ...
```

```
        'Units','normalized', ...
```

```
        'Position',[0.05 0.05 0.75 0.90], ...
```

```
        'Visible','off', ...
```

```
        'NextPlot','add');
```

```
    labelColor=[0.8 0.8 0.8];
```

```
    yInitPos=0.90;
```

```
    xPos=0.85;
```

```
    btnWid=0.10;
```

```
    btnHt=0.10;
```

```
    spacing=0.05;
```

เอกสารนี้เป็นเอกสารที่สงวนไว้สำหรับการใช้งานเพื่อการศึกษาเท่านั้น ไม่อนุญาตให้นำไปใช้ประโยชน์ด้านการค้า  
ไม่ว่ากรณีใดๆ ทั้งสิ้น อีกทั้งห้ามมิให้ดัดแปลงเนื้อหาและต้องอ้างอิงถึงเจ้าของเอกสารทุกครั้งที่มีการนำไปใช้

```

%=====
% The CONSOLE frame
frmBorder=0.02;
yPos=0.05-frmBorder;
frmPos=[xPos-frmBorder yPos btnWid+2*frmBorder 0.9+2*frmBorder];
h=uicontrol( ...
    'Style','frame', ...
    'Units','normalized', ...
    'Position',frmPos, ...
    'BackgroundColor',[0.5 0.5 0.5]);

%=====
% The START button
btnNumber=1;
yPos=0.90-(btnNumber-1)*(btnHt+spacing);
labelStr='Start';
cmdStr='start';
callbackStr='bend("start")';

% Generic button information
btnPos=[xPos yPos-spacing btnWid btnHt];
startHndl=uicontrol( ...
    'Style','pushbutton', ...
    'Units','normalized', ...
    'Position',btnPos, ...
    'String',labelStr, ...
    'Interruptible','on', ...
    'Callback',callbackStr);

%=====
% The W1 popup button
btnNumber=2;

```

เอกสารนี้เป็นเอกสารที่สงวนไว้สำหรับการใช้งานเพื่อการศึกษาเท่านั้น ไม่อนุญาตให้นำไปใช้ประโยชน์ด้านการค้า  
ไม่ว่ากรณีใดๆ ทั้งสิ้น อีกทั้งห้ามมิให้ดัดแปลงเนื้อหาและต้องอ้างอิงถึงเจ้าของเอกสารทุกครั้งที่มีการนำไปใช้

```

yPos=0.90-(btnNumber-1)*(btnHt+spacing);
textStr1='W1 (mm.)';
popupStr1=reshape(' 17 18 19 20 21 22 23 24 25',4,9);

% Generic button information
btnPos1=[xPos yPos-spacing+btnHt/2 btnWid btnHt/2];
btnPos2=[xPos yPos-spacing btnWid btnHt/2];
popupHnd1=icontrol( ...
    'Style','text', ...
    'Units','normalized', ...
    'Position',btnPos1, ...
    'String',textStr1);
btnPos=[xPos yPos-spacing btnWid btnHt/2];
popupHnd1=icontrol( ...
    'Style','popup', ...
    'Units','normalized', ...
    'Position',btnPos2, ...
    'String',popupStr1);

%=====
% The W2 popup button
btnNumber=3;
yPos=0.90-(btnNumber-1)*(btnHt+spacing);
textStr2='W2 (mm.)';
popupStr2=reshape(' 17 18 19 20 21 22 23 24 25',4,9);

% Generic button information
btnPos1=[xPos yPos-spacing+btnHt/2 btnWid btnHt/2];
btnPos2=[xPos yPos-spacing btnWid btnHt/2];
popupHnd2=icontrol( ...
    'Style','text', ...
    'Units','normalized', ...

```

เอกสารนี้เป็นเอกสารที่สงวนไว้สำหรับการใช้งานเพื่อการศึกษาเท่านั้น ไม่อนุญาตให้นำไปใช้ประโยชน์ด้านการค้า  
ไม่ว่ากรณีใดๆ ทั้งสิ้น อีกทั้งห้ามมิให้ดัดแปลงเนื้อหาและต้องอ้างอิงถึงเจ้าของเอกสารทุกครั้งที่มีการนำไปใช้

```

'Position',btnPos1, ...
'String',textStr2);
btnPos=[xPos yPos-spacing btnWid btnHt/2];
popupHnd2=uicontrol( ...
'Style','popup', ...
'Units','normalized', ...
'Position',btnPos2, ...
'String',popupStr2);

%=====
% The L1 popup button
btnNumber=4;
yPos=0.90-(btnNumber-1)*(btnHt+spacing);
textStr3='L1 (mm.)';
popupStr3=reshape(' 42 43 44 45 46 47 48 49 50',4,9);

% Generic button information
btnPos1=[xPos yPos-spacing+btnHt/2 btnWid btnHt/2];
btnPos2=[xPos yPos-spacing btnWid btnHt/2];
popupHnd3=uicontrol( ...
'Style','text', ...
'Units','normalized', ...
'Position',btnPos1, ...
'String',textStr3);
btnPos=[xPos yPos-spacing btnWid btnHt/2];
popupHnd3=uicontrol( ...
'Style','popup', ...
'Units','normalized', ...
'Position',btnPos2, ...
'String',popupStr3);

%=====

```

เอกสารนี้เป็นเอกสารที่สงวนไว้สำหรับการใช้งานเพื่อการศึกษาเท่านั้น ไม่อนุญาตให้นำไปใช้ประโยชน์ด้านการค้า  
ไม่ว่ากรณีใดๆ ทั้งสิ้น อีกทั้งห้ามมิให้ดัดแปลงเนื้อหาและต้องอ้างอิงถึงเจ้าของเอกสารทุกครั้งที่มีการนำไปใช้

```

% The L2 popup button
btnNumber=5;
yPos=0.90-(btnNumber-1)*(btnHt+spacing);
textStr4='L2 (mm.)';
popupStr4=reshape(' 42 43 44 45 46 47 48 49 50',4,9);

% Generic button information
btnPos1=[xPos yPos-spacing+btnHt/2 btnWid btnHt/2];
btnPos2=[xPos yPos-spacing btnWid btnHt/2];
popupHnd4=icontrol( ...
    'Style','text', ...
    'Units','normalized', ...
    'Position',btnPos1, ...
    'String',textStr4);
btnPos=[xPos yPos-spacing btnWid btnHt/2];
popupHnd4=icontrol( ...
    'Style','popup', ...
    'Units','normalized', ...
    'Position',btnPos2, ...
    'String',popupStr4);

%=====
% The CLOSE button
labelStr='Close';
callbackStr='close(gcf)';
closeHnd1=icontrol( ...
    'Style','push', ...
    'Units','normalized', ...
    'Position',[xPos 0.05 btnWid 0.10], ...
    'String',labelStr, ...
    'Callback',callbackStr);
axHnd1=gca;

```

เอกสารนี้เป็นเอกสารที่สงวนไว้สำหรับการใช้งานเพื่อการศึกษาเท่านั้น ไม่อนุญาตให้นำไปใช้ประโยชน์ด้านการค้า  
ไม่ว่ากรณีใดๆ ทั้งสิ้น อีกทั้งห้ามมิให้ดัดแปลงเนื้อหาและต้องอ้างอิงถึงเจ้าของเอกสารทุกครั้งที่มีการนำไปใช้

```

axis([0 100 0 100])
set(axHndl, ...
    'Box', 'on', ...
    'Color', [1 1 1], ...
    'XTick', [], ...
    'YTick', [], ...
    'Visible', 'on');
patch([20 40 40 90 90 20], [10 10 60 60 80 80], [0 0.2 0.5]);
h=text(30, 92, 'Bend Waveguide');
set(h, ...
    'FontSize',18, ...
    'FontWeight', 'bold', ...
    'Color', [.7 0 0]);
h=text(28, 7, 'W1');
set(h, ...
    'FontSize',10, ...
    'FontWeight', 'bold', ...
    'Color', [0 .7 0]);
h=text(91, 70, 'W2');
set(h, ...
    'FontSize',10, ...
    'FontWeight', 'bold', ...
    'Color', [0 .7 0]);

h=text(15, 35, 'L1');
set(h, ...
    'FontSize',10, ...
    'FontWeight', 'bold', ...
    'Color', [0 .7 0]);
h=text(63.5, 57, 'L2');

```

เอกสารนี้เป็นเอกสารที่สงวนไว้สำหรับการใช้งานเพื่อการศึกษาเท่านั้น ไม่อนุญาตให้นำไปใช้ประโยชน์ด้านการค้า  
ไม่ว่ากรณีใดๆ ทั้งสิ้น อีกทั้งห้ามมิให้ดัดแปลงเนื้อหาและต้องอ้างอิงถึงเจ้าของเอกสารทุกครั้งที่มีการนำไปใช้

```

set(h, ...
    'FontSize',10, ...
    'FontWeight','bold', ...
    'Color',[0 .7 0]);

line([21 27], [7 7], 'Color', [0 0 0]);
line([33 39], [7 7], 'Color', [0 0 0]);
line([20 20], [6 8], 'Color', [0 0 0]);
line([40 40], [6 8], 'Color', [0 0 0]);

line([93 93], [61 67], 'Color', [0 0 0]);
line([93 93], [73 79], 'Color', [0 0 0]);
line([92 94], [60 60], 'Color', [0 0 0]);
line([92 94], [80 80], 'Color', [0 0 0]);

line([17 17], [11 32], 'Color', [0 0 0]);
line([17 17], [38 59], 'Color', [0 0 0]);
line([16 18], [10 10], 'Color', [0 0 0]);
line([16 18], [60 60], 'Color', [0 0 0]);

line([41 62], [57 57], 'Color', [0 0 0]);
line([68 89], [57 57], 'Color', [0 0 0]);
line([90 90], [56 58], 'Color', [0 0 0]);

hndlList=[startHndl popupHndl popupHnd2 popupHnd3 popupHnd4 closeHndl];
set(figNumber,'Visible','on', ...
    'UserData',hndlList);

watchoff(oldFigNumber);
figure(figNumber);

elseif strcmp(action,'start')

```

เอกสารนี้เป็นเอกสารที่สงวนไว้สำหรับการใช้งานเพื่อการศึกษาเท่านั้น ไม่อนุญาตให้นำไปใช้ประโยชน์ด้านการค้า  
ไม่ว่ากรณีใดๆ ทั้งสิ้น อีกทั้งห้ามมิให้ดัดแปลงเนื้อหาและต้องอ้างอิงถึงเจ้าของเอกสารทุกครั้งที่มีการนำไปใช้

```

figNumber=gcf;
hndList=get(figNumber, 'UserData');

popupHnd1=hndList(2);
popupHnd2=hndList(3);
popupHnd3=hndList(4);
popupHnd4=hndList(5);
W1=get(popupHnd1, 'Value')+16;
W2=get(popupHnd2, 'Value')+16;
L1=get(popupHnd3, 'Value')+41;
L2=get(popupHnd4, 'Value')+41;

bend2(0,W1,W2,L1,L2);

end;

```



เอกสารนี้เป็นเอกสารที่สงวนไว้สำหรับการใช้งานเพื่อการศึกษาเท่านั้น ไม่อนุญาตให้นำไปใช้ประโยชน์ด้านการค้า  
ไม่ว่ากรณีใดๆ ทั้งสิ้น อีกทั้งห้ามมิให้ดัดแปลงเนื้อหาและต้องอ้างอิงถึงเจ้าของเอกสารทุกครั้งที่มีการนำไปใช้

### 3. โปรแกรม bend2.m

```
function bend2(C,W1,W2,L1,L2)

if C==0
    oldFigNumber=watchon;

    figNumber=figure( ...
        'Name','Bend Waveguide Analysis', ...
        'NextPlot','add', ...
        'NumberTitle','off', ...
        'Visible','off');

    axes( ...
        'XLim',[1 101], ...
        'YLim',[1 101], ...
        'ZLim',[-500 500], ...
        'Position',[0.05 0.05 0.75 0.90]);

    labelColor=[0.8 0.8 0.8];
    yInitPos=0.90;
    xPos=0.85;
    btnWid=0.10;
    btnHt=0.10;
    spacing=0.05;

    %=====
    % The CONSOLE frame
    frmBorder=0.02;
    yPos=0.05-frmBorder;
    frmPos=[xPos-frmBorder yPos btnWid+2*frmBorder 0.9+2*frmBorder];
    h=uicontrol( ...
```

เอกสารนี้เป็นเอกสารที่สงวนไว้สำหรับการใช้งานเพื่อการศึกษาเท่านั้น ไม่อนุญาตให้นำไปใช้ประโยชน์ด้านการค้า  
ไม่ว่ากรณีใดๆ ทั้งสิ้น อีกทั้งห้ามมิให้ดัดแปลงเนื้อหาและต้องอ้างอิงถึงเจ้าของเอกสารทุกครั้งที่มีการนำไปใช้

```

'Style','frame', ...
'Units','normalized', ...
'Position',frmPos, ...
'BackgroundColor',[0.5 0.5 0.5]);

%=====

% The START button
btnNumber=1;
yPos=0.90-(btnNumber-1)*(btnHt+spacing);
labelStr='Start';
cmdStr='start';
callbackStr='bend2(1);';

% Generic button information
btnPos=[xPos yPos-spacing btnWid btnHt];
startHndl=uicontrol( ...
'Style','pushbutton', ...
'Units','normalized', ...
'Position',btnPos, ...
'String',labelStr, ...
'Interruptible','on', ...
'Callback',callbackStr);

%=====

% The Frequency popup button
btnNumber=2;
yPos=0.90-(btnNumber-1)*(btnHt+spacing);
textStr1='Frequency (GHz.);';
popupStr1=reshape(' 1 2 3 4 5 6 7 8 9 10 11 12 13 14 15',4,15);

% Generic button information
btnPos1=[xPos yPos-spacing+btnHt/2 btnWid btnHt/2+0.02];

```

เอกสารนี้เป็นเอกสารที่สงวนไว้สำหรับการใช้งานเพื่อการศึกษาเท่านั้น ไม่อนุญาตให้นำไปใช้ประโยชน์ด้านการค้า  
ไม่ว่ากรณีใดๆ ทั้งสิ้น อีกทั้งห้ามมิให้ดัดแปลงเนื้อหาและต้องอ้างอิงถึงเจ้าของเอกสารทุกครั้งที่มีการนำไปใช้

```

btnPos2=[xPos yPos-spacing btnWid btnHt/2];
popupHndl=icontrol( ...
    'Style','text', ...
    'Units','normalized', ...
    'Position',btnPos1, ...
    'String',textStr1);
btnPos=[xPos yPos-spacing btnWid btnHt/2];
popupHndl=icontrol( ...
    'Style','popup', ...
    'Units','normalized', ...
    'Position',btnPos2, ...
    'String',popupStr1);

%=====
% The Field popup button
btnNumber=3;
yPos=0.90-(btnNumber-1)*(btnHt+spacing);
textStr2='Field';
popupStr2=reshape(' Ez Hx Hy ',4,3);

% Generic button information
btnPos1=[xPos yPos-spacing+btnHt/2 btnWid btnHt/2];
btnPos2=[xPos yPos-spacing btnWid btnHt/2];
popupHnd2=icontrol( ...
    'Style','text', ...
    'Units','normalized', ...
    'Position',btnPos1, ...
    'String',textStr2);
btnPos=[xPos yPos-spacing btnWid btnHt/2];
popupHnd2=icontrol( ...
    'Style','popup', ...
    'Units','normalized', ...

```

เอกสารนี้เป็นเอกสารที่สงวนไว้สำหรับการใช้งานเพื่อการศึกษาเท่านั้น ไม่อนุญาตให้นำไปใช้ประโยชน์ด้านการค้า  
ไม่ว่ากรณีใดๆ ทั้งสิ้น อีกทั้งห้ามมิให้ดัดแปลงเนื้อหาและต้องอ้างอิงถึงเจ้าของเอกสารทุกครั้งที่มีการนำไปใช้

```

'Position',btnPos2, ...
'String',popupStr2);

%=====

% The Time Step popup button
btnNumber=4;
yPos=0.93-(btnNumber-1)*(btnHt+spacing);
textStr3='Time Step';
popupStr3=reshape(' 100 200 300 400 500',4,5);

% Generic button information
btnPos1=[xPos yPos-spacing+btnHt/2 btnWid btnHt/2];
btnPos2=[xPos yPos-spacing btnWid btnHt/2];
popupHnd3=uicontrol( ...
'Style','text', ...
'Units','normalized', ...
'Position',btnPos1, ...
'String',textStr3);
btnPos=[xPos yPos-spacing btnWid btnHt/2];
popupHnd3=uicontrol( ...
'Style','popup', ...
'Units','normalized', ...
'Position',btnPos2, ...
'String',popupStr3);

% The CLOSE button
labelStr='Close';
callbackStr='close(gcf)';
closeHndl=uicontrol( ...
'Style','push', ...
'Units','normalized', ...

```

เอกสารนี้เป็นเอกสารที่สงวนไว้สำหรับการใช้งานเพื่อการศึกษาเท่านั้น ไม่อนุญาตให้นำไปใช้ประโยชน์ด้านการค้า  
ไม่ว่ากรณีใดๆ ทั้งสิ้น อีกทั้งห้ามมิให้ดัดแปลงเนื้อหาและต้องอ้างอิงถึงเจ้าของเอกสารทุกครั้งที่มีการนำไปใช้

```

'Position',[xPos 0.05 btnWid 0.10], ...
'String',labelStr, ...
'Callback',callbackStr);

axHndl=gca;
axis([0 100 0 100])
set(axHndl, ...
    'Box','on', ...
    'Color',[1 1 1], ...
    'XTick',[], ...
    'YTick',[], ...
    'Visible','on');
h=text(15, 92, 'Bend Waveguide Analysis');
set(h, ...
    'FontSize',18, ...
    'FontWeight','bold', ...
    'Color',[.7 0 0]);
%hndlList=[startHndl popupHndl popupHndl2 closeHndl W1 W2 L1 L2];

hndlList=[startHndl popupHndl popupHndl2 popupHndl3 closeHndl W1 W2 L1 L2];
set(figNumber,'Visible','on', ...
    'UserData',hndlList);

watchoff(oldFigNumber);
figure(figNumber);

else
wnumber=watchon;
axHndl=gca;
figNumber=gcf;
hndlList=get(figNumber,'UserData');
startHndl=hndlList(1);

```

เอกสารนี้เป็นเอกสารที่สงวนไว้สำหรับการใช้งานเพื่อการศึกษาเท่านั้น ไม่อนุญาตให้นำไปใช้ประโยชน์ด้านการค้า  
ไม่ว่ากรณีใดๆ ทั้งสิ้น อีกทั้งห้ามมิให้ดัดแปลงเนื้อหาและต้องอ้างอิงถึงเจ้าของเอกสารทุกครั้งที่มีการนำไปใช้

```

popupHnd1=hndlList(2);
popupHnd2=hndlList(3);
popupHnd3=hndlList(4);
closeHnd1=hndlList(5);

W1=hndlList(6);
W2=hndlList(7);
L1=hndlList(8);
L2=hndlList(9);

set([startHnd1 popupHnd1 popupHnd2 popupHnd3 closeHnd1], 'Enable', 'off');

num = 7;
pml = 8;
ref = 1*10(-7);

it=100;
jt=100;

rs=50;

pi=4.0*atan(1.0);
muo=4.0*pi*1.0e-7;
epso=8.854e-12;
co=1.0/sqrt(muo*epso);
freq=get(popupHnd1,'Value')*1e9
field=get(popupHnd2,'Value');
nmax=get(popupHnd3,'Value')*100;
dx = 1.0e-3;
dt = dx/co/sqrt(2);

caezx=ones(jt+1+2*pml,it+1+2*pml);

```

เอกสารนี้เป็นเอกสารที่สงวนไว้สำหรับการใช้งานเพื่อการศึกษาเท่านั้น ไม่อนุญาตให้นำไปใช้ประโยชน์ด้านการค้า  
ไม่ว่ากรณีใดๆ ทั้งสิ้น อีกทั้งห้ามมิให้ดัดแปลงเนื้อหาและต้องอ้างอิงถึงเจ้าของเอกสารทุกครั้งที่มีการนำไปใช้

```

caezx=ones(jt+1+2*pml,it+1+2*pml);
cbezx=ones(jt+1+2*pml,it+1+2*pml)*dt/epso/dx;
cbezy=ones(jt+1+2*pml,it+1+2*pml)*dt/epso/dx;
dahx=ones(jt+2*pml,it+1+2*pml);
dahy=ones(jt+1+2*pml,it+2*pml);
dbhx=ones(jt+2*pml,it+1+2*pml)*dt/muo/dx;
dbhy=ones(jt+1+2*pml,it+2*pml)*dt/muo/dx;
ezx=zeros(jt+1+2*pml,it+1+2*pml);
ezy=zeros(jt+1+2*pml,it+1+2*pml);
ez=zeros(jt+1+2*pml,it+1+2*pml);
hx=zeros(jt+2*pml,it+1+2*pml);
hy=zeros(jt+1+2*pml,it+2*pml);

%*****
% Bondary Condition *
%*****
for i=1+pml:it-4-W1-L2+pml
    for j=1+pml:jt+1+pml
        caezx(j,i)=-1;
        caezy(j,i)=1;
        cbezx(j,i)=0;
        cbezy(j,i)=0;
    end
end

for i=it-4-L2+pml:it+1+pml
    for j=1+pml:6+L1+pml
        caezx(j,i)=-1;
        caezy(j,i)=-1;
        cbezx(j,i)=0;
        cbezy(j,i)=0;
    end
end

```

เอกสารนี้เป็นเอกสารที่สงวนไว้สำหรับการใช้งานเพื่อการศึกษาเท่านั้น ไม่อนุญาตให้นำไปใช้ประโยชน์ด้านการค้า  
ไม่ว่ากรณีใดๆ ทั้งสิ้น อีกทั้งห้ามมิให้ตัดแปลงเนื้อหาและต้องอ้างอิงถึงเจ้าของเอกสารทุกครั้งที่มีการนำไปใช้

```

end

for i=1+pml:it+1+pml
    for j=6+L1+W2+pml:jt+1+pml
        caezx(j,i)=-1;
        caezy(j,i)=-1;
        cbezx(j,i)=0;
        cbezy(j,i)=0;
    end
end

end

maxsigma = -(num+1)*epso*co*log(ref)/(2*pml*dx);

for i=1:pml
    sigma1(i)=maxsigma*((i-0.5)/pml)^num;
    sigma2(i)=maxsigma*(i/pml)^num;
    sigmas1(i)=sigma1(i)*muo/epso;
    ca2(i)=exp(-sigma2(i)*dt/epso);
    cb2(i)=-((ca2(i)-1)/sigma2(i)/dx);
    da1(i)=exp(-sigmas1(i)*dt/muo);
    db1(i)=-((da1(i)-1)/sigmas1(i)/dx);
end

for i=1:pml
    for j=1:jt+1+2*pml
        caezx(j,pml-i+1)=ca2(i);
        cbezx(j,pml-i+1)=cb2(i);
        caezx(j,it+1+i+pml)=ca2(i);
        cbezx(j,it+1+i+pml)=cb2(i);

        dahy(j,pml-i+1)=da1(i);
        dbhy(j,pml-i+1)=db1(i);
    end
end

```

เอกสารนี้เป็นเอกสารที่สงวนไว้สำหรับการใช้งานเพื่อการศึกษาเท่านั้น ไม่อนุญาตให้นำไปใช้ประโยชน์ด้านการค้า  
ไม่ว่ากรณีใดๆ ทั้งสิ้น อีกทั้งห้ามมิให้ดัดแปลงเนื้อหาและต้องอ้างอิงถึงเจ้าของเอกสารทุกครั้งที่มีการนำไปใช้

```

    dahy(j,it+i+pml)=da1(i);
    dbhy(j,it+i+pml)=db1(i);
end;
end;

for j=1:pml
    for i=1:it+1+2*pml
        caezy(pml-j+1,i)=ca2(j);
        cbezy(pml-j+1,i)=cb2(j);
        caezy(jt+1+j+pml,i)=ca2(j);
        cbezy(jt+1+j+pml,i)=cb2(j);

        dahx(pml-j+1,i)=da1(j);
        dbhx(pml-j+1,i)=db1(j);
        dahx(jt+j+pml,i)=da1(j);
        dbhx(jt+j+pml,i)=db1(j);
    end
end

for n=1:nmax;
    hx(1:jt+2*pml,1:it+2*pml+1)=dahx(1:jt+2*pml,1:it+2*pml+1).*...
        hx(1:jt+2*pml,1:it+2*pml+1)+dbhx(1:jt+2*pml,1:it+2*pml+1).*...
        (ez(1:jt+2*pml,1:it+2*pml+1)-ez(2:jt+2*pml+1,1:it+2*pml+1));

    hy(1:jt+2*pml+1,1:it+2*pml)=dahy(1:jt+2*pml+1,1:it+2*pml).*...
        hy(1:jt+2*pml+1,1:it+2*pml)+dbhy(1:jt+2*pml+1,1:it+2*pml).*...
        (ez(1:jt+2*pml+1,2:it+1+2*pml)-ez(1:jt+2*pml+1,1:it+2*pml));

    ezx(2:jt+2*pml,2:it+2*pml)=caezx(2:jt+2*pml,2:it+2*pml).*...
        ezx(2:jt+2*pml,2:it+2*pml)+cbez(2:jt+2*pml,2:it+2*pml).*...
        (hy(2:jt+2*pml,2:it+2*pml)-hy(2:jt+2*pml,1:it+2*pml-1));

```

เอกสารนี้เป็นเอกสารที่สงวนไว้สำหรับการใช้งานเพื่อการศึกษาเท่านั้น ไม่อนุญาตให้นำไปใช้ประโยชน์ด้านการค้า  
ไม่ว่ากรณีใดๆ ทั้งสิ้น อีกทั้งห้ามมิให้ดัดแปลงเนื้อหาและต้องอ้างอิงถึงเจ้าของเอกสารทุกครั้งที่มีการนำไปใช้

```

ezy(2:jt+2*pml,2:it+2*pml)=caez(2:jt+2*pml,2:it+2*pml).*...
    ezy(2:jt+2*pml,2:it+2*pml)+cbezy(2:jt+2*pml,2:it+2*pml).*...
    (hx(1:jt-1+2*pml,2:it+2*pml)-hx(2:jt+2*pml,2:it+2*pml));

ez=ezx+ezy;

vs=sin(2*pi*freq*n*dt);

if rem(W1,2)==0
    is=(hy(6+pml,it-4-W1/2-L2+pml)-hy(6+pml,it-5-W1/2-L2+pml)+...
        hx(5+pml,it-4-W1/2-L2+pml)-hx(6+pml,it-4-W1/2-L2+pml))*dx;
    ez(6+pml,it-4-W1/2-L2+pml)=vs/dx+is*rs/dx;
else
    is=(hy(6+pml,it-4.5-W1/2-L2+pml)-hy(6+pml,it-5.5-W1/2-L2+pml)+...
        hx(5+pml,it-4.5-W1/2-L2+pml)-hx(6+pml,it-4.5-W1/2-L2+pml))*dx;
    ez(6+pml,it-4.5-W1/2-L2+pml)=vs/dx+is*rs/dx;
    is=(hy(6+pml,it-3.5-W1/2-L2+pml)-hy(6+pml,it-4.5-W1/2-L2+pml)+...
        hx(5+pml,it-3.5-W1/2-L2+pml)-hx(6+pml,it-3.5-W1/2-L2+pml))*dx;
    ez(6+pml,it-3.5-W1/2-L2+pml)=vs/dx+is*rs/dx;
end

if rem(n,20)==0;
    n2=nmax/20;

if field == 1
    for i = 1:it+1
        for j = 1:jt+1
            out(j,i)=ez(j+pml,i+pml);
        end
    end
end

graph=mesh(out);

```

เอกสารนี้เป็นเอกสารที่สงวนไว้สำหรับการใช้งานเพื่อการศึกษาเท่านั้น ไม่อนุญาตให้นำไปใช้ประโยชน์ด้านการค้า  
ไม่ว่ากรณีใดๆ ทั้งสิ้น อีกทั้งห้ามมิให้ดัดแปลงเนื้อหาและต้องอ้างอิงถึงเจ้าของเอกสารทุกครั้งที่มีการนำไปใช้

```

set(axHndl, ...
    'XTick', [], ...
    'YTick', [], ...
    'ZTick', [], ...
    'XLim', [1 it+1], ...
    'YLim', [1 jt+1], ...
    'ZLim', [-500 500], ...
    'Xgrid', 'off', ...
    'Ygrid', 'off', ...
    'Zgrid', 'off', ...
    'Drawmode', 'fast', ...
    'NextPlot', 'add', ...
    'Position', [0.05 0.05 0.75 0.90]);

shading interp;
colormap(hot);

elseif field == 2
    for i = 1:it+1
        for j = 1:jt
            out(j,i) = hx(j+pml, i+pml);
        end
    end
end

graph = mesh(out);

set(axHndl, ...
    'XTick', [], ...
    'YTick', [], ...
    'ZTick', [], ...
    'XLim', [1 it+1], ...

```

เอกสารนี้เป็นเอกสารที่สงวนไว้สำหรับการใช้งานเพื่อการศึกษาเท่านั้น ไม่อนุญาตให้นำไปใช้ประโยชน์ด้านการค้า  
ไม่ว่ากรณีใดๆ ทั้งสิ้น อีกทั้งห้ามมิให้ดัดแปลงเนื้อหาและต้องอ้างอิงถึงเจ้าของเอกสารทุกครั้งที่มีการนำไปใช้

```

'YLim', [1 jt], ...
'ZLim', [-5 5], ...
'Xgrid', 'off', ...
'Ygrid', 'off', ...
'Zgrid', 'off', ...
'Drawmode', 'fast', ...
'NextPlot','add',...
'Position',[0.05 0.05 0.75 0.90]);

shading interp;
colormap(hot);
else
for i=1:it
for j = 1:jt+1
out(j,i)=hy(j+pml,i+pml);
end
end
graph=mesh(out);

set(axHndl, ...
'XTick', [], ...
'YTick', [], ...
'ZTick', [], ...
'XLim', [1 it], ...
'YLim', [1 jt+1], ...
'ZLim', [-5 5], ...
'Xgrid', 'off', ...
'Ygrid', 'off', ...
'Zgrid', 'off', ...
'Drawmode', 'fast', ...

```

เอกสารนี้เป็นเอกสารที่สงวนไว้สำหรับการใช้งานเพื่อการศึกษาเท่านั้น ไม่อนุญาตให้นำไปใช้ประโยชน์ด้านการค้า  
ไม่ว่ากรณีใดๆ ทั้งสิ้น อีกทั้งห้ามมิให้ดัดแปลงเนื้อหาและต้องอ้างอิงถึงเจ้าของเอกสารทุกครั้งที่มีการนำไปใช้

```

'NextPlot','add',...
'Position',[0.05 0.05 0.75 0.90]);

shading interp;
colormap(hot);

end

if n==20;
    M=moviein(nmax/20);
end;

hold;
M(:,n2)=getframe;
end;

end

set([startHndl popupHndl popupHnd2 popupHnd3 closeHndl], 'Enable', 'on');
watchoff;

end

```

เอกสารนี้เป็นเอกสารที่สงวนไว้สำหรับการใช้งานเพื่อการศึกษาเท่านั้น ไม่อนุญาตให้นำไปใช้ประโยชน์ด้านการค้า  
ไม่ว่ากรณีใดๆ ทั้งสิ้น อีกทั้งห้ามมิให้ดัดแปลงเนื้อหาและต้องอ้างอิงถึงเจ้าของเอกสารทุกครั้งที่มีการนำไปใช้

#### 4. โปรแกรม tjunc.m

```
function tjunc(action)
```

```
play= 1;
```

```
stop=-1;
```

```
if nargin<1,
```

```
    action='initialize';
```

```
end;
```

```
if strcmp(action,'initialize'),
```

```
    oldFigNumber=watchon;
```

```
    figNumber=figure( ...
```

```
        'Name','T-Junction Waveguide', ...
```

```
        'NumberTitle','off', ...
```

```
        'Visible','off', ...
```

```
        'BackingStore','off', ...
```

```
        'Colormap',[]);
```

```
    axes( ...
```

```
        'Units','normalized', ...
```

```
        'Position',[0.05 0.05 0.75 0.90], ...
```

```
        'Visible','off', ...
```

```
        'NextPlot','add');
```

```
    labelColor=[0.8 0.8 0.8];
```

```
    yInitPos=0.90;
```

```
    xPos=0.85;
```

```
    btnWid=0.10;
```

```
    btnHt=0.10;
```

```
    spacing=0.01;
```

เอกสารนี้เป็นเอกสารที่สงวนไว้สำหรับการใช้งานเพื่อการศึกษาเท่านั้น ไม่อนุญาตให้นำไปใช้ประโยชน์ด้านการค้า  
ไม่ว่ากรณีใดๆ ทั้งสิ้น อีกทั้งห้ามมิให้ดัดแปลงเนื้อหาและต้องอ้างอิงถึงเจ้าของเอกสารทุกครั้งที่มีการนำไปใช้

```

%=====
% The CONSOLE frame
frmBorder=0.02;
yPos=0.05-frmBorder;
frmPos=[xPos-frmBorder yPos btnWid+2*frmBorder 0.9+2*frmBorder];
h=uicontrol( ...
    'Style','frame', ...
    'Units','normalized', ...
    'Position',frmPos, ...
    'BackgroundColor',[0.5 0.5 0.5]);

%=====
% The START button
btnNumber=1;
yPos=0.86-(btnNumber-1)*(btnHt+spacing);
labelStr='Start';
cmdStr='start';
callbackStr='tjunc("start")';

% Generic button information
btnPos=[xPos yPos-spacing btnWid btnHt];
startHndl=uicontrol( ...
    'Style','pushbutton', ...
    'Units','normalized', ...
    'Position',btnPos, ...
    'String',labelStr, ...
    'Interruptible','on', ...
    'Callback',callbackStr);

%=====
% The W1 popup button
btnNumber=2;

```

เอกสารนี้เป็นเอกสารที่สงวนไว้สำหรับการใช้งานเพื่อการศึกษาเท่านั้น ไม่อนุญาตให้นำไปใช้ประโยชน์ด้านการค้า  
ไม่ว่ากรณีใดๆ ทั้งสิ้น อีกทั้งห้ามมิให้ดัดแปลงเนื้อหาและต้องอ้างอิงถึงเจ้าของเอกสารทุกครั้งที่มีการนำไปใช้

```

yPos=0.86-(btnNumber-1)*(btnHt+spacing);
textStr1='W1 (mm.)';
popupStr1=reshape(' 17 18 19 20 21 22 23 24 25',4,9);

% Generic button information
btnPos1=[xPos yPos-spacing+btnHt/2 btnWid btnHt/2];
btnPos2=[xPos yPos-spacing btnWid btnHt/2];
popupHnd1=icontrol( ...
    'Style','text', ...
    'Units','normalized', ...
    'Position',btnPos1, ...
    'String',textStr1);
btnPos=[xPos yPos-spacing btnWid btnHt/2];
popupHnd1=icontrol( ...
    'Style','popup', ...
    'Units','normalized', ...
    'Position',btnPos2, ...
    'String',popupStr1);

%-----
% The W2 popup button
btnNumber=3;
yPos=0.86-(btnNumber-1)*(btnHt+spacing);
textStr2='W2 (mm.)';
popupStr2=reshape(' 17 18 19 20 21 22 23 24 25',4,9);

% Generic button information
btnPos1=[xPos yPos-spacing+btnHt/2 btnWid btnHt/2];
btnPos2=[xPos yPos-spacing btnWid btnHt/2];
popupHnd2=icontrol( ...
    'Style','text', ...
    'Units','normalized', ...

```

เอกสารนี้เป็นเอกสารที่สงวนไว้สำหรับการใช้งานเพื่อการศึกษาเท่านั้น ไม่อนุญาตให้นำไปใช้ประโยชน์ด้านการค้า  
ไม่ว่ากรณีใดๆ ทั้งสิ้น อีกทั้งห้ามมิให้ดัดแปลงเนื้อหาและต้องอ้างอิงถึงเจ้าของเอกสารทุกครั้งที่มีการนำไปใช้

```

'Position',btnPos1, ...
'String',textStr2);
btnPos=[xPos yPos-spacing btnWid btnHt/2];
popupHnd2=icontrol( ...
'Style','popup', ...
'Units','normalized', ...
'Position',btnPos2, ...
'String',popupStr2);

%=====
% The W3 popup button
% btnNumber=4;
% yPos=0.86-(btnNumber-1)*(btnHt+spacing);
% textStr3='W3 (mm.)';
% popupStr3=reshape('17 18 19 20 21 22 23 24 25',4,9);

% Generic button information
% btnPos1=[xPos yPos-spacing+btnHt/2 btnWid btnHt/2];
% btnPos2=[xPos yPos-spacing btnWid btnHt/2];
% popupHnd3=icontrol( ...
% 'Style','text', ...
% 'Units','normalized', ...
% 'Position',btnPos1, ...
% 'String',textStr3);
% btnPos=[xPos yPos-spacing btnWid btnHt/2];
% popupHnd3=icontrol( ...
% 'Style','popup', ...
% 'Units','normalized', ...
% 'Position',btnPos2, ...
% 'String',popupStr3);

%=====

```

เอกสารนี้เป็นเอกสารที่สงวนไว้สำหรับการใช้งานเพื่อการศึกษาเท่านั้น ไม่อนุญาตให้นำไปใช้ประโยชน์ด้านการค้า  
ไม่ว่ากรณีใดๆ ทั้งสิ้น อีกทั้งห้ามมิให้ดัดแปลงเนื้อหาและต้องอ้างอิงถึงเจ้าของเอกสารทุกครั้งที่มีการนำไปใช้

```

% The L1 popup button
btnNumber=4;
yPos=0.86-(btnNumber-1)*(btnHt+spacing);
textStr4='L1 (mm.)';
popupStr4=reshape(' 42 43 44 45 46 47 48 49 50',4,9);

% Generic button information
btnPos1=[xPos yPos-spacing+btnHt/2 btnWid btnHt/2];
btnPos2=[xPos yPos-spacing btnWid btnHt/2];
popupHnd4=icontrol( ...
    'Style','text', ...
    'Units','normalized', ...
    'Position',btnPos1, ...
    'String',textStr4);
btnPos=[xPos yPos-spacing btnWid btnHt/2];
popupHnd4=icontrol( ...
    'Style','popup', ...
    'Units','normalized', ...
    'Position',btnPos2, ...
    'String',popupStr4);

%=====
% The L2 popup button
btnNumber=5;
yPos=0.86-(btnNumber-1)*(btnHt+spacing);
textStr5='L2 (mm.)';
popupStr5=reshape(' 27 28 29 30 31 32 33 34 35',4,9);

% Generic button information
btnPos1=[xPos yPos-spacing+btnHt/2 btnWid btnHt/2];
btnPos2=[xPos yPos-spacing btnWid btnHt/2];
popupHnd5=icontrol( ...

```

เอกสารนี้เป็นเอกสารที่สงวนไว้สำหรับการใช้งานเพื่อการศึกษาเท่านั้น ไม่อนุญาตให้นำไปใช้ประโยชน์ด้านการค้า  
ไม่ว่ากรณีใดๆ ทั้งสิ้น อีกทั้งห้ามมิให้ดัดแปลงเนื้อหาและต้องอ้างอิงถึงเจ้าของเอกสารทุกครั้งที่มีการนำไปใช้

```

'Style','text', ...
'Units','normalized', ...
'Position',btnPos1, ...
'String',textStr5);
btnPos=[xPos yPos-spacing btnWid btnHt/2];
popupHnd5=uicontrol( ...
'Style','popup', ...
'Units','normalized', ...
'Position',btnPos2, ...
'String',popupStr5);

%=====
% The L3 popup button
btnNumber=6;
yPos=0.86-(btnNumber-1)*(btnHt+spacing);
textStr6='L3 (mm.)';
popupStr6=reshape(' 27 28 29 30 31 32 33 34 35',4,9)';

% Generic button information
btnPos1=[xPos yPos-spacing+btnHt/2 btnWid btnHt/2];
btnPos2=[xPos yPos-spacing btnWid btnHt/2];
popupHnd6=uicontrol( ...
'Style','text', ...
'Units','normalized', ...
'Position',btnPos1, ...
'String',textStr6);
btnPos=[xPos yPos-spacing btnWid btnHt/2];
popupHnd6=uicontrol( ...
'Style','popup', ...
'Units','normalized', ...
'Position',btnPos2, ...
'String',popupStr6);

```

เอกสารนี้เป็นเอกสารที่สงวนไว้สำหรับการใช้งานเพื่อการศึกษาเท่านั้น ไม่อนุญาตให้นำไปใช้ประโยชน์ด้านการค้า  
ไม่ว่ากรณีใดๆ ทั้งสิ้น อีกทั้งห้ามมิให้ดัดแปลงเนื้อหาและต้องอ้างอิงถึงเจ้าของเอกสารทุกครั้งที่มีการนำไปใช้

```

%=====
% The CLOSE button
labelStr='Close';
callbackStr='close(gcf)';
closeHndl=uicontrol( ...
    'Style','push', ...
    'Units','normalized', ...
    'Position',[xPos 0.05 btnWid 0.10], ...
    'String',labelStr, ...
    'Callback',callbackStr);

axHndl=gca;
axis([0 100 0 100])
set(axHndl, ...
    'Box','on', ...
    'Color',[1 1 1], ...
    'XTick',[], ...
    'YTick',[], ...
    'Visible','on');
patch([40 60 60 90 90 10 10 40], [10 10 60 60 80 80 60 60], [0 0.2 0.5]);
h=text(21, 92, 'T-Junction Waveguide');
set(h, ...
    'FontSize',18, ...
    'FontWeight','bold', ...
    'Color',[.7 0 0]);

h=text(48, 7, 'W1');
set(h, ...
    'FontSize',10, ...
    'FontWeight','bold', ...
    'Color',[0 .7 0]);

```

เอกสารนี้เป็นเอกสารที่สงวนไว้สำหรับการใช้งานเพื่อการศึกษาเท่านั้น ไม่อนุญาตให้นำไปใช้ประโยชน์ด้านการค้า  
ไม่ว่ากรณีใดๆ ทั้งสิ้น อีกทั้งห้ามมิให้ดัดแปลงเนื้อหาและต้องอ้างอิงถึงเจ้าของเอกสารทุกครั้งที่มีการนำไปใช้

```
h=text(91, 70, 'W2');
```

```
set(h, ...
```

```
  'FontSize',10, ...
```

```
  'FontWeight', 'bold', ...
```

```
  'Color', [0 .7 0]);
```

```
% h=text(4.5, 70, 'W3');
```

```
% set(h, ...
```

```
%   'FontSize',10, ...
```

```
%   'FontWeight', 'bold', ...
```

```
%   'Color', [0 .7 0]);
```

```
h=text(5.2, 35, 'L1');
```

```
set(h, ...
```

```
  'FontSize',10, ...
```

```
  'FontWeight', 'bold', ...
```

```
  'Color', [0 .7 0]);
```

```
h=text(73.2, 57, 'L2');
```

```
set(h, ...
```

```
  'FontSize',10, ...
```

```
  'FontWeight', 'bold', ...
```

```
  'Color', [0 .7 0]);
```

```
h=text(23.2, 57, 'L3');
```

```
set(h, ...
```

```
  'FontSize',10, ...
```

```
  'FontWeight', 'bold', ...
```

```
  'Color', [0 .7 0]);
```

```
line([41 47], [7 7], 'Color', [0 0 0]);
```

```
line([53 59], [7 7], 'Color', [0 0 0]);
```

เอกสารนี้เป็นเอกสารที่สงวนไว้สำหรับการใช้งานเพื่อการศึกษาเท่านั้น ไม่อนุญาตให้นำไปใช้ประโยชน์ด้านการค้า  
ไม่ว่ากรณีใดๆ ทั้งสิ้น อีกทั้งห้ามมิให้ดัดแปลงเนื้อหาและต้องอ้างอิงถึงเจ้าของเอกสารทุกครั้งที่มีการนำไปใช้

```
line([40 40], [6 8], 'Color', [0 0 0]);
```

```
line([60 60], [6 8], 'Color', [0 0 0]);
```

```
line([93 93], [61 67], 'Color', [0 0 0]);
```

```
line([93 93], [73 79], 'Color', [0 0 0]);
```

```
line([92 94], [60 60], 'Color', [0 0 0]);
```

```
line([92 94], [80 80], 'Color', [0 0 0]);
```

```
% line([7 7], [61 67], 'Color', [0 0 0]);
```

```
% line([7 7], [73 79], 'Color', [0 0 0]);
```

```
line([6 8], [60 60], 'Color', [0 0 0]);
```

```
% line([6 8], [80 80], 'Color', [0 0 0]);
```

```
line([7 7], [11 32], 'Color', [0 0 0]);
```

```
line([7 7], [38 59], 'Color', [0 0 0]);
```

```
line([6 8], [10 10], 'Color', [0 0 0]);
```

```
line([61 72], [57 57], 'Color', [0 0 0]);
```

```
line([78 89], [57 57], 'Color', [0 0 0]);
```

```
line([90 90], [56 58], 'Color', [0 0 0]);
```

```
line([11 22], [57 57], 'Color', [0 0 0]);
```

```
line([28 39], [57 57], 'Color', [0 0 0]);
```

```
line([10 10], [56 58], 'Color', [0 0 0]);
```

```
hdlList=[startHndl popupHndl popupHnd2 popupHnd4 popupHnd5 popupHnd6 closeHndl];
```

```
set(figNumber,'Visible','on', ...
```

```
    'UserData',hdlList);
```

```
watchoff(oldFigNumber);
```

```
figure(figNumber);
```

เอกสารนี้เป็นเอกสารที่สงวนไว้สำหรับการใช้งานเพื่อการศึกษาเท่านั้น ไม่อนุญาตให้นำไปใช้ประโยชน์ด้านการค้า  
ไม่ว่ากรณีใดๆ ทั้งสิ้น อีกทั้งห้ามมิให้ดัดแปลงเนื้อหาและต้องอ้างอิงถึงเจ้าของเอกสารทุกครั้งที่มีการนำไปใช้

```

elseif strcmp(action,'start')
    figNumber=(gcf);
    hndList=get(figNumber, 'UserData');

    popupHnd1=hndList(2);
    popupHnd2=hndList(3);
    popupHnd4=hndList(4);
    popupHnd5=hndList(5);
    popupHnd6=hndList(6);

    W1=get(popupHnd1, 'Value')+16;
    W2=get(popupHnd2, 'Value')+16;
    L1=get(popupHnd4, 'Value')+41;
    L2=get(popupHnd5, 'Value')+26;
    L3=get(popupHnd6, 'Value')+26;
    C=0;
    tjunc2(C,W1,W2,L1,L2,L3);

end;

```

เอกสารนี้เป็นเอกสารที่สงวนไว้สำหรับการใช้งานเพื่อการศึกษาเท่านั้น ไม่อนุญาตให้นำไปใช้ประโยชน์ด้านการค้า  
ไม่ว่ากรณีใดๆ ทั้งสิ้น อีกทั้งห้ามมิให้ดัดแปลงเนื้อหาและต้องอ้างอิงถึงเจ้าของเอกสารทุกครั้งที่มีการนำไปใช้

## 5. โปรแกรม tjunc2.m

```
function tjunc2(C,W1,W2,L1,L2,L3)

if C==0
    oldFigNumber=watchon;

    figNumber=figure( ...
        'Name','T-junction Waveguide Analysis', ...
        'NextPlot','add', ...
        'NumberTitle','off', ...
        'Visible','off');

    axes( ...
        'XLim',[1 101], ...
        'YLim',[1 101], ...
        'ZLim',[-500 500], ...
        'Position',[0.05 0.05 0.75 0.90]);

    labelColor=[0.8 0.8 0.8];
    yInitPos=0.90;
    xPos=0.85;
    btnWid=0.10;
    btnHt=0.10;
    spacing=0.05;

    %=====
    % The CONSOLE frame
    frmBorder=0.02;
    yPos=0.05-frmBorder;
    frmPos=[xPos-frmBorder yPos btnWid+2*frmBorder 0.9+2*frmBorder];
    h=uicontrol( ...
```

เอกสารนี้เป็นเอกสารที่สงวนไว้สำหรับการใช้งานเพื่อการศึกษาเท่านั้น ไม่อนุญาตให้นำไปใช้ประโยชน์ด้านการค้า  
ไม่ว่ากรณีใดๆ ทั้งสิ้น อีกทั้งห้ามมิให้ดัดแปลงเนื้อหาและต้องอ้างอิงถึงเจ้าของเอกสารทุกครั้งที่มีการนำไปใช้

```

'Style','frame', ...
'Units','normalized', ...
'Position',frmPos, ...
'BackgroundColor',[0.5 0.5 0.5]);

%=====
% The START button
btnNumber=1;
yPos=0.90-(btnNumber-1)*(btnHt+spacing);
labelStr='Start';
cmdStr='start';
callbackStr='tjunc2(1)';

% Generic button information
btnPos=[xPos yPos-spacing btnWid btnHt];
startHndl=icontrol( ...
'Style','pushbutton', ...
'Units','normalized', ...
'Position',btnPos, ...
'String',labelStr, ...
'Interruptible','on', ...
'Callback',callbackStr);

%=====
% The Frequency popup button
btnNumber=2;
yPos=0.90-(btnNumber-1)*(btnHt+spacing);
textStr1='Frequency (GHz)';
popupStr1=reshape(' 1 2 3 4 5 6 7 8 9 10 11 12 13 14 15 ',4,15);

% Generic button information
btnPos1=[xPos yPos-spacing+btnHt/2 btnWid btnHt/2+0.02];

```

เอกสารนี้เป็นเอกสารที่สงวนไว้สำหรับการใช้งานเพื่อการศึกษาเท่านั้น ไม่อนุญาตให้นำไปใช้ประโยชน์ด้านการค้า  
ไม่ว่ากรณีใดๆ ทั้งสิ้น อีกทั้งห้ามมิให้ดัดแปลงเนื้อหาและต้องอ้างอิงถึงเจ้าของเอกสารทุกครั้งที่มีการนำไปใช้

```

btnPos2=[xPos yPos-spacing btnWid btnHt/2];
popupHnd1=icontrol( ...
    'Style','text', ...
    'Units','normalized', ...
    'Position',btnPos1, ...
    'String',textStr1);
btnPos=[xPos yPos-spacing btnWid btnHt/2];
popupHnd1=icontrol( ...
    'Style','popup', ...
    'Units','normalized', ...
    'Position',btnPos2, ...
    'String',popupStr1);

%=====
% The Field popup button
btnNumber=3;
yPos=0.90-(btnNumber-1)*(btnHt+spacing);
textStr2='Field';
popupStr2=reshape(' Ez Hx Hy ',4,3);

% Generic button information
btnPos1=[xPos yPos-spacing+btnHt/2 btnWid btnHt/2];
btnPos2=[xPos yPos-spacing btnWid btnHt/2];
popupHnd2=icontrol( ...
    'Style','text', ...
    'Units','normalized', ...
    'Position',btnPos1, ...
    'String',textStr2);
btnPos=[xPos yPos-spacing btnWid btnHt/2];
popupHnd2=icontrol( ...
    'Style','popup', ...
    'Units','normalized', ...

```

เอกสารนี้เป็นเอกสารที่สงวนไว้สำหรับการใช้งานเพื่อการศึกษาเท่านั้น ไม่อนุญาตให้นำไปใช้ประโยชน์ด้านการค้า  
ไม่ว่ากรณีใดๆ ทั้งสิ้น อีกทั้งห้ามมิให้ดัดแปลงเนื้อหาและต้องอ้างอิงถึงเจ้าของเอกสารทุกครั้งที่มีการนำไปใช้

```

'Position',btnPos2, ...
'String',popupStr2);

%=====
% Time Step popup button
btnNumber=4;
yPos=0.92-(btnNumber-1)*(btnHt+spacing);
textStr3='Time Step';
popupStr3=reshape('100 200 300 400 500 ',4,5);

% Generic button information
btnPos1=[xPos yPos-spacing+btnHt/2 btnWid btnHt/2+0.02];
btnPos2=[xPos yPos-spacing btnWid btnHt/2];
popupHnd3=uicontrol( ...
    'Style','text', ...
    'Units','normalized', ...
    'Position',btnPos1, ...
    'String',textStr3);
btnPos=[xPos yPos-spacing btnWid btnHt/2];
popupHnd3=uicontrol( ...
    'Style','popup', ...
    'Units','normalized', ...
    'Position',btnPos2, ...
    'String',popupStr3);

% The CLOSE button
labelStr='Close';
callbackStr='close(gcf)';
closeHnd1=uicontrol( ...
    'Style','push', ...
    'Units','normalized', ...
    'Position',[xPos 0.05 btnWid 0.10], ...

```

เอกสารนี้เป็นเอกสารที่สงวนไว้สำหรับการใช้งานเพื่อการศึกษาเท่านั้น ไม่อนุญาตให้นำไปใช้ประโยชน์ด้านการค้า  
ไม่ว่ากรณีใดๆ ทั้งสิ้น อีกทั้งห้ามมิให้ดัดแปลงเนื้อหาและต้องอ้างอิงถึงเจ้าของเอกสารทุกครั้งที่มีการนำไปใช้

```

'String',labelStr, ...
'Callback',callbackStr);

axHndl=gca;
axis([0 100 0 100])
set(axHndl, ...
    'Box','on', ...
    'Color',[1 1 1], ...
    'XTick',[], ...
    'YTick',[], ...
    'Visible','on');
h=text(8.0, 92, 'T-Junction Waveguide Analysis');
set(h, ...
    'FontSize',18, ...
    'FontWeight','bold', ...
    'Color',[.7 0 0]);
hdlList=[startHndl popupHndl popupHnd2 popupHnd3 closeHndl W1 W2 L1 L2 L3];

set(figNumber,'Visible','on', ...
    'UserData',hdlList);

watchoff(oldFigNumber);
figure(figNumber);

else
wnumber=watchon;
axHndl=gca;
figNumber=gcf;
hdlList=get(figNumber,'UserData');
startHndl=hdlList(1);
popupHndl=hdlList(2);
popupHnd2=hdlList(3);

```

เอกสารนี้เป็นเอกสารที่สงวนไว้สำหรับการใช้งานเพื่อการศึกษาเท่านั้น ไม่อนุญาตให้นำไปใช้ประโยชน์ด้านการค้า  
ไม่ว่ากรณีใดๆ ทั้งสิ้น อีกทั้งห้ามมิให้ดัดแปลงเนื้อหาและต้องอ้างอิงถึงเจ้าของเอกสารทุกครั้งที่มีการนำไปใช้

```
popupHnd3=hndlList(4);
closeHndl=hndlList(5);
```

```
W1=hndlList(6);
W2=hndlList(7);
L1=hndlList(8);
L2=hndlList(9);
L3=hndlList(10);
```

```
set([startHndl popupHndl popupHnd2 popupHnd3 closeHndl], 'Enable', 'off');
```

```
num = 7;
```

```
pml = 8;
```

```
ref = 1*10(-10);
```

```
it=10+W1+L2+L3;
```

```
jt=15+W2+L1;
```

```
rs=50;
```

```
pi=4.0*atan(1.0);
```

```
muo=4.0*pi*1.0e-7;
```

```
epso=8.854e-12;
```

```
co=1.0/sqrt(muo*epso);
```

```
freq=get(popupHndl,'Value')*1e9;
```

```
field=get(popupHnd2,'Value');
```

```
nmax=get(popupHnd3,'Value')*100;
```

```
dx=1.0e-3;
```

```
dt=dx/co/sqrt(2);
```

```
caezx=ones(jt+1+2*pml,it+1+2*pml);
```

```
caezy=ones(jt+1+2*pml,it+1+2*pml);
```

เอกสารนี้เป็นเอกสารที่สงวนไว้สำหรับการใช้งานเพื่อการศึกษาเท่านั้น ไม่อนุญาตให้นำไปใช้ประโยชน์ด้านการค้า  
ไม่ว่ากรณีใดๆ ทั้งสิ้น อีกทั้งห้ามมิให้ดัดแปลงเนื้อหาและต้องอ้างอิงถึงเจ้าของเอกสารทุกครั้งที่มีการนำไปใช้

```

cbezx=ones(jt+1+2*pml,it+1+2*pml)*dt/epso/dx;
cbezy=ones(jt+1+2*pml,it+1+2*pml)*dt/epso/dx;
dahx=ones(jt+2*pml,it+1+2*pml);
dahy=ones(jt+1+2*pml,it+2*pml);
dbhx=ones(jt+2*pml,it+1+2*pml)*dt/muo/dx;
dbhy=ones(jt+1+2*pml,it+2*pml)*dt/muo/dx;
ezx=zeros(jt+1+2*pml,it+1+2*pml);
ezy=zeros(jt+1+2*pml,it+1+2*pml);
ez=zeros(jt+1+2*pml,it+1+2*pml);
hx=zeros(jt+2*pml,it+1+2*pml);
hy=zeros(jt+1+2*pml,it+2*pml);
%*****
% Bondary Condition *
%*****
for i=1+pml:it-4-L2-W1+pml
    for j=1+pml:6+L1+pml
        caezy(j,i)=-1;
        caezx(j,i)=-1;
        cbezy(j,i)=0;
        cbezx(j,i)=0;
    end
end

for i=it-4-L2+pml:it+1+pml
    for j=1+pml:6+L1+pml
        caezy(j,i)=-1;
        caezx(j,i)=-1;
        cbezy(j,i)=0;
        cbezx(j,i)=0;
    end
end

```

เอกสารนี้เป็นเอกสารที่สงวนไว้สำหรับการใช้งานเพื่อการศึกษาเท่านั้น ไม่อนุญาตให้นำไปใช้ประโยชน์ด้านการค้า  
ไม่ว่ากรณีใดๆ ทั้งสิ้น อีกทั้งห้ามมิให้ตัดแปลงเนื้อหาและต้องอ้างอิงถึงเจ้าของเอกสารทุกครั้งที่มีการนำไปใช้

```

for i=1+pml:it+1+pml
    for j=6+L1+W2+pml:jt+1+pml
        caezy(j,i)=-1;
        caezx(j,i)=-1;
        cbezy(j,i)=0;
        cbezx(j,i)=0;
    end
end

```

```

maxsigma = -(num+1)*epso*co*log(ref)/(2*pml*dx);

```

```

for i=1:pml
    sigma1(i)=maxsigma*((i-0.5)/pml)^num;
    sigma2(i)=maxsigma*(i/pml)^num;
    sigmas1(i)=sigma1(i)*muo/epso;
    ca2(i)=exp(-sigma2(i)*dt/epso);
    cb2(i)=-(ca2(i)-1)/sigma2(i)/dx;
    da1(i)=exp(-sigmas1(i)*dt/muo);
    db1(i)=-(da1(i)-1)/sigmas1(i)/dx;
end

```

```

for i=1:pml
    for j=1:jt+1+2*pml
        caezx(j,pml-i+1)=ca2(i);
        cbezx(j,pml-i+1)=cb2(i);
        caezx(j,it+1+i+pml)=ca2(i);
        cbezx(j,it+1+i+pml)=cb2(i);

        dahy(j,pml-i+1)=da1(i);
        dbhy(j,pml-i+1)=db1(i);
        dahy(j,it+i+pml)=da1(i);
        dbhy(j,it+i+pml)=db1(i);
    end
end

```

เอกสารนี้เป็นเอกสารที่สงวนไว้สำหรับการใช้งานเพื่อการศึกษาเท่านั้น ไม่อนุญาตให้นำไปใช้ประโยชน์ด้านการค้า  
ไม่ว่ากรณีใดๆ ทั้งสิ้น อีกทั้งห้ามมิให้ดัดแปลงเนื้อหาและต้องอ้างอิงถึงเจ้าของเอกสารทุกครั้งที่มีการนำไปใช้

```

end;

end;

for j=1:pml
    for i=1:it+1+2*pml
        caezy(pml-j+1,i)=ca2(j);
        cbezy(pml-j+1,i)=cb2(j);
        caezy(jt+1+j+pml,i)=ca2(j);
        cbezy(jt+1+j+pml,i)=cb2(j);

        dahx(pml-j+1,i)=da1(j);
        dbhx(pml-j+1,i)=db1(j);
        dahx(jt+j+pml,i)=da1(j);
        dbhx(jt+j+pml,i)=db1(j);
    end
end

for n=1:nmax;
    hx(1:jt+2*pml,1:it+2*pml+1)=dahx(1:jt+2*pml,1:it+2*pml+1).*hx(1:jt+2*pml,1:it+2*pml+1)+...
        dbhx(1:jt+2*pml,1:it+2*pml+1).*(ez(1:jt+2*pml,1:it+2*pml+1)-
        ez(2:jt+2*pml+1,1:it+2*pml+1));

    hy(1:jt+2*pml+1,1:it+2*pml)=dahy(1:jt+2*pml+1,1:it+2*pml).*hy(1:jt+2*pml+1,1:it+2*pml)+...
        dbhy(1:jt+2*pml+1,1:it+2*pml).*(ez(1:jt+2*pml+1,2:it+1+2*pml)-
        ez(1:jt+2*pml+1,1:it+2*pml));

    ezx(2:jt+2*pml,2:it+2*pml)=caezx(2:jt+2*pml,2:it+2*pml).*ezx(2:jt+2*pml,2:it+2*pml)+...
        cbezx(2:jt+2*pml,2:it+2*pml).*(hy(2:jt+2*pml,2:it+2*pml)-hy(2:jt+2*pml,1:it+2*pml-1));
    ezy(2:jt+2*pml,2:it+2*pml)=caezy(2:jt+2*pml,2:it+2*pml).*ezy(2:jt+2*pml,2:it+2*pml)+...
        cbezy(2:jt+2*pml,2:it+2*pml).*(hx(1:jt-1+2*pml,2:it+2*pml)-
        hx(2:jt+2*pml,2:it+2*pml));

```

เอกสารนี้เป็นเอกสารที่สงวนไว้สำหรับการใช้งานเพื่อการศึกษาเท่านั้น ไม่อนุญาตให้นำไปใช้ประโยชน์ด้านการค้า  
ไม่ว่ากรณีใดๆ ทั้งสิ้น อีกทั้งห้ามมิให้ดัดแปลงเนื้อหาและต้องอ้างอิงถึงเจ้าของเอกสารทุกครั้งที่มีการนำไปใช้

```
ez=ezx+ezy;
```

```
vs=sin(2*pi*freq*n*dt);
```

```
if rem(W1,2)==0
```

```
    is=(hy(6+pml,it-4-W1/2-L2+pml)-hy(6+pml,it-5-W1/2-L2+pml)+...
```

```
        hx(5+pml,it-4-W1/2-L2+pml)-hx(6+pml,it-4-W1/2-L2+pml))*dx;
```

```
    ez(6+pml,it-4-W1/2-L2+pml)=vs/dx+is*rs/dx;
```

```
else
```

```
    is=(hy(6+pml,it-4.5-W1/2-L2+pml)-hy(6+pml,it-5.5-W1/2-L2+pml)+...
```

```
        hx(5+pml,it-4.5-W1/2-L2+pml)-hx(6+pml,it-4.5-W1/2-L2+pml))*dx;
```

```
    ez(6+pml,it-4.5-W1/2-L2+pml)=vs/dx+is*rs/dx;
```

```
    is=(hy(6+pml,it-3.5-W1/2-L2+pml)-hy(6+pml,it-4.5-W1/2-L2+pml)+...
```

```
        hx(5+pml,it-3.5-W1/2-L2+pml)-hx(6+pml,it-3.5-W1/2-L2+pml))*dx;
```

```
    ez(6+pml,it-3.5-W1/2-L2+pml)=vs/dx+is*rs/dx;
```

```
end
```

```
if rem(n,20)==0;
```

```
    n2=nmax/20;
```

```
    if field == 1
```

```
        for i = 1:it+1
```

```
            for j = 1:jt+1
```

```
                out(j,i)=ez(j+pml,i+pml);
```

```
            end
```

```
        end
```

```
graph=mesh(out);
```

```
set(axHndl, ...
```

```
    'XTick', [], ...
```

```
    'YTick', [], ...
```

```
    'ZTick', [], ...
```

เอกสารนี้เป็นเอกสารที่สงวนไว้สำหรับการใช้งานเพื่อการศึกษาเท่านั้น ไม่อนุญาตให้นำไปใช้ประโยชน์ด้านการค้า  
ไม่ว่ากรณีใดๆ ทั้งสิ้น อีกทั้งห้ามมิให้ดัดแปลงเนื้อหาและต้องอ้างอิงถึงเจ้าของเอกสารทุกครั้งที่มีการนำไปใช้

```

'XLim', [1 it+1], ...
'YLim', [1 jt+1]; ...
'ZLim', [-500 500], ...
'Xgrid', 'off', ...
'Ygrid', 'off', ...
'Zgrid', 'off', ...
'Drawmode', 'fast', ...
'NextPlot','add',...
'Position',[0.05 0.05 0.75 0.90]);

shading interp;
colormap(hot);

elseif field ==2
for i=1:it+1
for j=1:jt
out(j,i)=hx(j+pml,i+pml);
end
end

graph=mesh(out);

set(axHndl, ...
'XTick', [], ...
'YTick', [], ...
'ZTick', [], ...
'XLim', [1 it+1], ...
'YLim', [1 jt], ...
'ZLim', [-5 5], ...
'Xgrid', 'off', ...
'Ygrid', 'off', ...

```

เอกสารนี้เป็นเอกสารที่สงวนไว้สำหรับการใช้งานเพื่อการศึกษาเท่านั้น ไม่อนุญาตให้นำไปใช้ประโยชน์ด้านการค้า  
ไม่ว่ากรณีใดๆ ทั้งสิ้น อีกทั้งห้ามมิให้ดัดแปลงเนื้อหาและต้องอ้างอิงถึงเจ้าของเอกสารทุกครั้งที่มีการนำไปใช้

```

'Zgrid', 'off', ...
'Drawmode', 'fast', ...
'NextPlot','add',...
'Position',[0.05 0.05 0.75 0.90]);

shading interp;
colormap(hot);
else
for i =1:it
    for j = 1:jt+1
        out(j,i)=hy(j+pml,i+pml);
    end
end
graph=mesh(out);
set(axHndl, ...
'XTick', [], ...
'YTick', [], ...
'ZTick', [], ...
'XLim', [1 it+1], ...
'YLim', [1 jt], ...
'ZLim', [-5 5], ...
'Xgrid', 'off', ...
'Ygrid', 'off', ...
'Zgrid', 'off', ...
'Drawmode', 'fast', ...
'NextPlot','add',...
'Position',[0.05 0.05 0.75 0.90]);

shading interp;

```

เอกสารนี้เป็นเอกสารที่สงวนไว้สำหรับการใช้งานเพื่อการศึกษาเท่านั้น ไม่อนุญาตให้นำไปใช้ประโยชน์ด้านการค้า  
ไม่ว่ากรณีใดๆ ทั้งสิ้น อีกทั้งห้ามมิให้ดัดแปลงเนื้อหาและต้องอ้างอิงถึงเจ้าของเอกสารทุกครั้งที่มีการนำไปใช้

```

    colormap(hot);

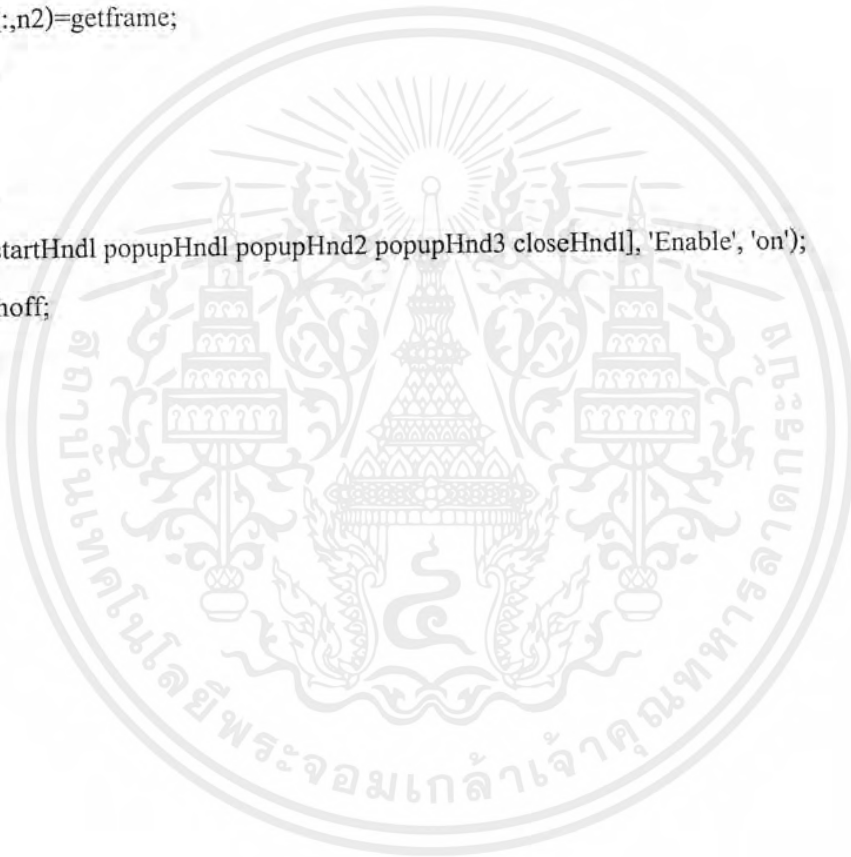
end

if n==20;
    M=moviein(nmax/20);
end;

hold;
M(:,n2)=getframe;
end;

end
set([startHndl popupHndl popupHnd2 popupHnd3 closeHndl], 'Enable', 'on');
watchoff;
end

```



เอกสารนี้เป็นเอกสารที่สงวนไว้สำหรับการใช้งานเพื่อการศึกษาเท่านั้น ไม่อนุญาตให้นำไปใช้ประโยชน์ด้านการค้า  
ไม่ว่ากรณีใดๆ ทั้งสิ้น อีกทั้งห้ามมิให้ดัดแปลงเนื้อหาและต้องอ้างอิงถึงเจ้าของเอกสารทุกครั้งที่มีการนำไปใช้

## 6. โปรแกรม cross.m

```
function cross(action)
```

```
play= 1;
```

```
stop=-1;
```

```
if nargin<1,
```

```
    action='initialize';
```

```
end;
```

```
if strcmp(action,'initialize'),
```

```
    oldFigNumber=watchon;
```

```
    figNumber=figure( ...
```

```
        'Name','Cross-Junction Waveguide', ...
```

```
        'NumberTitle','off', ...
```

```
        'Visible','off', ...
```

```
        'BackingStore','off', ...
```

```
        'Colormap',[]);
```

```
    axes( ...
```

```
        'Units','normalized', ...
```

```
        'Position',[0.05 0.05 0.75 0.90], ...
```

```
        'Visible','off', ...
```

```
        'NextPlot','add');
```

```
    labelColor=[0.8 0.8 0.8];
```

```
    yInitPos=0.90;
```

```
    xPos=0.85;
```

```
    btnWid=0.10;
```

```
    btnHt=0.07;
```

```
    spacing=0.025;
```

เอกสารนี้เป็นเอกสารที่สงวนไว้สำหรับการใช้งานเพื่อการศึกษาเท่านั้น ไม่อนุญาตให้นำไปใช้ประโยชน์ด้านการค้า  
ไม่ว่ากรณีใดๆ ทั้งสิ้น อีกทั้งห้ามมิให้ดัดแปลงเนื้อหาและต้องอ้างอิงถึงเจ้าของเอกสารทุกครั้งที่มีการนำไปใช้

```

%=====
% The CONSOLE frame
frmBorder=0.02;
yPos=0.05-frmBorder;
frmPos=[xPos-frmBorder yPos-0.02 btnWid+2*frmBorder 0.9+2*frmBorder+0.03];
h=uicontrol( ...
    'Style','frame', ...
    'Units','normalized', ...
    'Position',frmPos, ...
    'BackgroundColor',[0.5 0.5 0.5]);

%=====
% The START button
btnNumber=1;
yPos=0.91-(btnNumber-1)*(btnHt+spacing);
labelStr='Start';
cmdStr='start';
callbackStr='cross("start");';

% Generic button information
btnPos=[xPos yPos-spacing btnWid btnHt];
startHndl=uicontrol( ...
    'Style','pushbutton', ...
    'Units','normalized', ...
    'Position',btnPos, ...
    'String',labelStr, ...
    'Interruptible','on', ...
    'Callback',callbackStr);

%=====
% The W1 popup button
btnNumber=2;

```

เอกสารนี้เป็นเอกสารที่สงวนไว้สำหรับการใช้งานเพื่อการศึกษาเท่านั้น ไม่อนุญาตให้นำไปใช้ประโยชน์ด้านการค้า  
ไม่ว่ากรณีใดๆ ทั้งสิ้น อีกทั้งห้ามมิให้ดัดแปลงเนื้อหาและต้องอ้างอิงถึงเจ้าของเอกสารทุกครั้งที่มีการนำไปใช้

```

yPos=0.915-(btnNumber-1)*(btnHt+spacing);
textStr1='W1 (mm.)';
popupStr1=reshape(' 17 18 19 20 21 22 23 24 25',4,9);

% Generic button information
btnPos1=[xPos yPos-spacing+btnHt/2 btnWid btnHt/2];
btnPos2=[xPos yPos-spacing btnWid btnHt/2];
popupHnd1=icontrol( ...
    'Style','text', ...
    'Units','normalized', ...
    'Position',btnPos1, ...
    'String',textStr1);
btnPos=[xPos yPos-spacing btnWid btnHt/2];
popupHnd1=icontrol( ...
    'Style','popup', ...
    'Units','normalized', ...
    'Position',btnPos2, ...
    'String',popupStr1);

%=====
% The W2 popup button
btnNumber=3;
yPos=0.915-(btnNumber-1)*(btnHt+spacing);
textStr2='W2 (mm.)';
popupStr2=reshape(' 17 18 19 20 21 22 23 24 25',4,9);

% Generic button information
btnPos1=[xPos yPos-spacing+btnHt/2 btnWid btnHt/2];
btnPos2=[xPos yPos-spacing btnWid btnHt/2];
popupHnd2=icontrol( ...
    'Style','text', ...
    'Units','normalized', ...

```

เอกสารนี้เป็นเอกสารที่สงวนไว้สำหรับการใช้งานเพื่อการศึกษาเท่านั้น ไม่อนุญาตให้นำไปใช้ประโยชน์ด้านการค้า  
ไม่ว่ากรณีใดๆ ทั้งสิ้น อีกทั้งห้ามมิให้ดัดแปลงเนื้อหาและต้องอ้างอิงถึงเจ้าของเอกสารทุกครั้งที่มีการนำไปใช้

```

'Position',btnPos1, ...
'String',textStr2);
btnPos=[xPos yPos-spacing btnWid btnHt/2];
popupHnd2=icontrol( ...
'Style','popup', ...
'Units','normalized', ...
'Position',btnPos2, ...
'String',popupStr2);

%=====
% The W3 popup button
% btnNumber=4;
% yPos=0.915-(btnNumber-1)*(btnHt+spacing);
% textStr3='W3 (mm.)';
% popupStr3=reshape(' 17 18 19 20 21 22 23 24 25 ',4,9);

% Generic button information
% btnPos1=[xPos yPos-spacing+btnHt/2 btnWid btnHt/2];
% btnPos2=[xPos yPos-spacing btnWid btnHt/2];
% popupHnd3=icontrol( ...
% 'Style','text', ...
% 'Units','normalized', ...
% 'Position',btnPos1, ...
% 'String',textStr3);
% btnPos=[xPos yPos-spacing btnWid btnHt/2];
% popupHnd3=icontrol( ...
% 'Style','popup', ...
% 'Units','normalized', ...
% 'Position',btnPos2, ...
% 'String',popupStr3);

%=====

```

เอกสารนี้เป็นเอกสารที่สงวนไว้สำหรับการใช้งานเพื่อการศึกษาเท่านั้น ไม่อนุญาตให้นำไปใช้ประโยชน์ด้านการค้า  
ไม่ว่ากรณีใดๆ ทั้งสิ้น อีกทั้งห้ามมิให้ดัดแปลงเนื้อหาและต้องอ้างอิงถึงเจ้าของเอกสารทุกครั้งที่มีการนำไปใช้

```

% The W4 popup button
% btnNumber=5;
% yPos=0.915-(btnNumber-1)*(btnHt+spacing);
% textStr4='W4 (mm.)';
% popupStr4=reshape(' 17 18 19 20 21 22 23 24 25 ',4,9);

% Generic button information
% btnPos1=[xPos yPos-spacing+btnHt/2 btnWid btnHt/2];
% btnPos2=[xPos yPos-spacing btnWid btnHt/2];
% popupHnd4=icontrol( ...
% 'Style','text', ...
% 'Units','normalized', ...
% 'Position',btnPos1, ...
% 'String',textStr4);
% btnPos=[xPos yPos-spacing btnWid btnHt/2];
% popupHnd4=icontrol( ...
% 'Style','popup', ...
% 'Units','normalized', ...
% 'Position',btnPos2, ...
% 'String',popupStr4);

%=====

% The L1 popup button
btnNumber=4;
yPos=0.915-(btnNumber-1)*(btnHt+spacing);
textStr5='L1 (mm.)';
popupStr5=reshape(' 27 28 29 30 31 32 33 34 35 ',4,9);

% Generic button information
btnPos1=[xPos yPos-spacing+btnHt/2 btnWid btnHt/2];
btnPos2=[xPos yPos-spacing btnWid btnHt/2];
popupHnd5=icontrol( ...

```

เอกสารนี้เป็นเอกสารที่สงวนไว้สำหรับการใช้งานเพื่อการศึกษาเท่านั้น ไม่อนุญาตให้นำไปใช้ประโยชน์ด้านการค้า  
ไม่ว่ากรณีใดๆ ทั้งสิ้น อีกทั้งห้ามมิให้ดัดแปลงเนื้อหาและต้องอ้างอิงถึงเจ้าของเอกสารทุกครั้งที่มีการนำไปใช้

```

'Style','text', ...
'Units','normalized', ...
'Position',btnPos1, ...
'String',textStr5);
btnPos=[xPos yPos-spacing btnWid btnHt/2];
popupHnd5=uicontrol( ...
'Style','popup', ...
'Units','normalized', ...
'Position',btnPos2, ...
'String',popupStr5);

%=====
% The L2 popup button
btnNumber=5;
yPos=0.915-(btnNumber-1)*(btnHt+spacing);
textStr6='L2 (mm.)';
popupStr6=reshape(' 27 28 29 30 31 32 33 34 35',4,9);

% Generic button information
btnPos1=[xPos yPos-spacing+btnHt/2 btnWid btnHt/2];
btnPos2=[xPos yPos-spacing btnWid btnHt/2];
popupHnd6=uicontrol( ...
'Style','text', ...
'Units','normalized', ...
'Position',btnPos1, ...
'String',textStr6);
btnPos=[xPos yPos-spacing btnWid btnHt/2];
popupHnd6=uicontrol( ...
'Style','popup', ...
'Units','normalized', ...
'Position',btnPos2, ...
'String',popupStr6);

```

เอกสารนี้เป็นเอกสารที่สงวนไว้สำหรับการใช้งานเพื่อการศึกษาเท่านั้น ไม่อนุญาตให้นำไปใช้ประโยชน์ด้านการค้า  
ไม่ว่ากรณีใดๆ ทั้งสิ้น อีกทั้งห้ามมิให้ดัดแปลงเนื้อหาและต้องอ้างอิงถึงเจ้าของเอกสารทุกครั้งที่มีการนำไปใช้

```

%=====
% The L3 popup button
btnNumber=6;
yPos=0.915-(btnNumber-1)*(btnHt+spacing);
textStr7='L3 (mm.)';
popupStr7=reshape(' 27 28 29 30 31 32 33 34 35',4,9);

% Generic button information
btnPos1=[xPos yPos-spacing+btnHt/2 btnWid btnHt/2];
btnPos2=[xPos yPos-spacing btnWid btnHt/2];
popupHnd7=uicontrol( ...
    'Style','text', ...
    'Units','normalized', ...
    'Position',btnPos1, ...
    'String',textStr7);
btnPos=[xPos yPos-spacing btnWid btnHt/2];
popupHnd7=uicontrol( ...
    'Style','popup', ...
    'Units','normalized', ...
    'Position',btnPos2, ...
    'String',popupStr7);

%=====
% The L4 popup button
btnNumber=7;
yPos=0.915-(btnNumber-1)*(btnHt+spacing);
textStr8='L4 (mm.)';
popupStr8=reshape(' 27 28 29 30 31 32 33 34 35',4,9);

% Generic button information
btnPos1=[xPos yPos-spacing+btnHt/2 btnWid btnHt/2];
btnPos2=[xPos yPos-spacing btnWid btnHt/2];

```

เอกสารนี้เป็นเอกสารที่สงวนไว้สำหรับการใช้งานเพื่อการศึกษาเท่านั้น ไม่อนุญาตให้นำไปใช้ประโยชน์ด้านการค้า  
ไม่ว่ากรณีใดๆ ทั้งสิ้น อีกทั้งห้ามมิให้ดัดแปลงเนื้อหาและต้องอ้างอิงถึงเจ้าของเอกสารทุกครั้งที่มีการนำไปใช้

```

popupHnd8=icontrol( ...
    'Style','text', ...
    'Units','normalized', ...
    'Position',btnPos1, ...
    'String',textStr8);
btnPos=[xPos yPos-spacing btnWid btnHt/2];
popupHnd8=icontrol( ...
    'Style','popup', ...
    'Units','normalized', ...
    'Position',btnPos2, ...
    'String',popupStr8);

%=====
% The CLOSE button
labelStr='Close';
callbackStr='close(gcf)';
closeHnd1=icontrol( ...
    'Style','push', ...
    'Units','normalized', ...
    'Position',[xPos 0.02 btnWid 0.07], ...
    'String',labelStr, ...
    'Callback',callbackStr);

axHnd1=gca;
axis([0 100 0 100])
set(axHnd1, ...
    'Box','on', ...
    'Color',[1 1 1], ...
    'XTick',[], ...
    'YTick',[], ...
    'Visible','on');

```

เอกสารนี้เป็นเอกสารที่สงวนไว้สำหรับการใช้งานเพื่อการศึกษาเท่านั้น ไม่อนุญาตให้นำไปใช้ประโยชน์ด้านการค้า  
ไม่ว่ากรณีใดๆ ทั้งสิ้น อีกทั้งห้ามมิให้ดัดแปลงเนื้อหาและต้องอ้างอิงถึงเจ้าของเอกสารทุกครั้งที่มีการนำไปใช้

```
patch([40 60 60 85 85 60 60 40 40 15 15 40], [10 10 35 35 55 55 80 80 55 55 35 35],...
[0 0.2 0.5]);
```

```
h=text(13, 92, 'Cross-Junction Waveguide');
```

```
set(h, ...
'FontSize',18, ...
'FontWeight', 'bold', ...
'Color', [.7 0 0]);
```

```
h=text(48, 7, 'W1');
```

```
set(h, ...
'FontSize',10, ...
'FontWeight', 'bold', ...
'Color', [0 .7 0]);
```

```
h=text(86, 45, 'W2');
```

```
set(h, ...
'FontSize',10, ...
'FontWeight', 'bold', ...
'Color', [0 .7 0]);
```

```
% h=text(10, 45, 'W3');
```

```
% set(h, ...
% 'FontSize',10, ...
% 'FontWeight', 'bold', ...
% 'Color', [0 .7 0]);
```

```
% h=text(48, 83, 'W4');
```

```
% set(h, ...
% 'FontSize',10, ...
% 'FontWeight', 'bold', ...
% 'Color', [0 .7 0]);
```

เอกสารนี้เป็นเอกสารที่สงวนไว้สำหรับการใช้งานเพื่อการศึกษาเท่านั้น ไม่อนุญาตให้นำไปใช้ประโยชน์ด้านการค้า  
ไม่ว่ากรณีใดๆ ทั้งสิ้น อีกทั้งห้ามมิให้ดัดแปลงเนื้อหาและต้องอ้างอิงถึงเจ้าของเอกสารทุกครั้งที่มีการนำไปใช้

```
h=text(35.5, 22.5, 'L1');
```

```
set(h, ...
```

```
  'FontSize',10, ...
```

```
  'FontWeight', 'bold', ...
```

```
  'Color', [0 .7 0]);
```

```
h=text(71, 32, 'L2');
```

```
set(h, ...
```

```
  'FontSize',10, ...
```

```
  'FontWeight', 'bold', ...
```

```
  'Color', [0 .7 0]);
```

```
h=text(25.7, 57.5, 'L3');
```

```
set(h, ...
```

```
  'FontSize',10, ...
```

```
  'FontWeight', 'bold', ...
```

```
  'Color', [0 .7 0]);
```

```
h=text(61, 67.5, 'L4');
```

```
set(h, ...
```

```
  'FontSize',10, ...
```

```
  'FontWeight', 'bold', ...
```

```
  'Color', [0 .7 0]);
```

```
line([41 47], [7 7], 'Color', [0 0 0]);
```

```
line([53 59], [7 7], 'Color', [0 0 0]);
```

```
line([40 40], [6 8], 'Color', [0 0 0]);
```

```
line([60 60], [6 8], 'Color', [0 0 0]);
```

```
line([88 88], [36 42], 'Color', [0 0 0]);
```

```
line([88 88], [48 54], 'Color', [0 0 0]);
```

เอกสารนี้เป็นเอกสารที่สงวนไว้สำหรับการใช้งานเพื่อการศึกษาเท่านั้น ไม่อนุญาตให้นำไปใช้ประโยชน์ด้านการค้า  
ไม่ว่ากรณีใดๆ ทั้งสิ้น อีกทั้งห้ามมิให้ตัดแปลงเนื้อหาและต้องอ้างอิงถึงเจ้าของเอกสารทุกครั้งที่มีการนำไปใช้

```
line([87 89], [35 35], 'Color', [0 0 0]);
```

```
line([87 89], [55 55], 'Color', [0 0 0]);
```

```
% line([13 13], [36 42], 'Color', [0 0 0]);
```

```
% line([13 13], [48 54], 'Color', [0 0 0]);
```

```
% line([12 14], [35 35], 'Color', [0 0 0]);
```

```
% line([12 14], [55 55], 'Color', [0 0 0]);
```

```
% line([41 47], [83 83], 'Color', [0 0 0]);
```

```
% line([53 59], [83 83], 'Color', [0 0 0]);
```

```
% line([40 40], [82 84], 'Color', [0 0 0]);
```

```
% line([60 60], [82 84], 'Color', [0 0 0]);
```

```
line([37 37], [11 20], 'Color', [0 0 0]);
```

```
line([37 37], [25 34], 'Color', [0 0 0]);
```

```
line([36 38], [10 10], 'Color', [0 0 0]);
```

```
line([61 70], [32 32], 'Color', [0 0 0]);
```

```
line([75 84], [32 32], 'Color', [0 0 0]);
```

```
line([85 85], [31 33], 'Color', [0 0 0]);
```

```
line([16 25], [58 58], 'Color', [0 0 0]);
```

```
line([30 39], [58 58], 'Color', [0 0 0]);
```

```
line([15 15], [57 59], 'Color', [0 0 0]);
```

```
line([63 63], [56 65], 'Color', [0 0 0]);
```

```
line([63 63], [70 79], 'Color', [0 0 0]);
```

```
line([62 64], [80 80], 'Color', [0 0 0]);
```

```
hdlList=[startHndl popupHndl popupHnd2 popupHnd5 popupHnd6 ...
```

```
popupHnd7 popupHnd8 closeHndl];
```

```
set(figNumber,'Visible','on', ...
```

เอกสารนี้เป็นเอกสารที่สงวนไว้สำหรับการใช้งานเพื่อการศึกษาเท่านั้น ไม่อนุญาตให้นำไปใช้ประโยชน์ด้านการค้า  
ไม่ว่ากรณีใดๆ ทั้งสิ้น อีกทั้งห้ามมิให้ดัดแปลงเนื้อหาและต้องอ้างอิงถึงเจ้าของเอกสารทุกครั้งที่มีการนำไปใช้

```

'UserData',hndList);

watchoff(oldFigNumber);
figure(figNumber);

elseif strcmp(action,'start')
    figNumber=gcf;
    hndList=get(figNumber, 'UserData');

    popupHnd1=hndList(2);
    popupHnd2=hndList(3);
    popupHnd5=hndList(4);
    popupHnd6=hndList(5);
    popupHnd7=hndList(6);
    popupHnd8=hndList(7);

    W1=get(popupHnd1, 'Value')+16;
    W2=get(popupHnd2, 'Value')+16;
    L1=get(popupHnd5, 'Value')+26;
    L2=get(popupHnd6, 'Value')+26;
    L3=get(popupHnd7, 'Value')+26;
    L4=get(popupHnd8, 'Value')+26;

    C=0;
    cross2(C,W1,W2,L1,L2,L3,L4);

end;

```

เอกสารนี้เป็นเอกสารที่สงวนไว้สำหรับการใช้งานเพื่อการศึกษาเท่านั้น ไม่อนุญาตให้นำไปใช้ประโยชน์ด้านการค้า  
ไม่ว่ากรณีใดๆ ทั้งสิ้น อีกทั้งห้ามมิให้ดัดแปลงเนื้อหาและต้องอ้างอิงถึงเจ้าของเอกสารทุกครั้งที่มีการนำไปใช้

## 7. โปรแกรม cross2.m

```
function cross2(C,W1,W2,L1,L2,L3,L4)
```

```
if C==0
```

```
    oldFigNumber=watchon;
```

```
    figNumber=figure( ...
```

```
        'Name','Cross Waveguide Analysis', ...
```

```
        'NextPlot','add', ...
```

```
        'NumberTitle','off', ...
```

```
        'Visible','off');
```

```
    axes( ...
```

```
        'XLim',[1 101], ...
```

```
        'YLim',[1 101], ...
```

```
        'ZLim',[-500 500], ...
```

```
        'Position',[0.05 0.05 0.75 0.90]);
```

```
    labelColor=[0.8 0.8 0.8];
```

```
    yInitPos=0.90;
```

```
    xPos=0.85;
```

```
    btnWid=0.10;
```

```
    btnHt=0.10;
```

```
    spacing=0.05;
```

```
    %=====
```

```
    % The CONSOLE frame
```

```
    frmBorder=0.02;
```

```
    yPos=0.05-frmBorder;
```

```
    frmPos=[xPos-frmBorder yPos btnWid+2*frmBorder 0.9+2*frmBorder];
```

```
    h=uicontrol( ...
```

เอกสารนี้เป็นเอกสารที่สงวนไว้สำหรับการใช้งานเพื่อการศึกษาเท่านั้น ไม่อนุญาตให้นำไปใช้ประโยชน์ด้านการค้า  
ไม่ว่ากรณีใดๆ ทั้งสิ้น อีกทั้งห้ามมิให้ดัดแปลงเนื้อหาและต้องอ้างอิงถึงเจ้าของเอกสารทุกครั้งที่มีการนำไปใช้

```

'Style','frame', ...
'Units','normalized', ...
'Position',frmPos, ...
'BackgroundColor',[0.5 0.5 0.5]);

%=====

% The START button
btnNumber=1;
yPos=0.90-(btnNumber-1)*(btnHt+spacing);
labelStr='Start';
cmdStr='start';
callbackStr='cross2(1)';

% Generic button information
btnPos=[xPos yPos-spacing btnWid btnHt];
startHndl=uicontrol( ...
'Style','pushbutton', ...
'Units','normalized', ...
'Position',btnPos, ...
'String',labelStr, ...
'Interruptible','on', ...
'Callback',callbackStr);

%=====

% The Frequency popup button
btnNumber=2;
yPos=0.90-(btnNumber-1)*(btnHt+spacing);
textStr1='Frequency (GHz)';
popupStr1=reshape(' 1  2  3  4  5  6  7  8  9 10 11 12 13 14 15',4,15);

% Generic button information
btnPos1=[xPos yPos-spacing+btnHt/2 btnWid btnHt/2+0.02];

```

เอกสารนี้เป็นเอกสารที่สงวนไว้สำหรับการใช้งานเพื่อการศึกษาเท่านั้น ไม่อนุญาตให้นำไปใช้ประโยชน์ด้านการค้า  
ไม่ว่ากรณีใดๆ ทั้งสิ้น อีกทั้งห้ามมิให้ดัดแปลงเนื้อหาและต้องอ้างอิงถึงเจ้าของเอกสารทุกครั้งที่มีการนำไปใช้

```

btnPos2=[xPos yPos-spacing btnWid btnHt/2];
popupHndl=icontrol( ...
    'Style','text', ...
    'Units','normalized', ...
    'Position',btnPos1, ...
    'String',textStr1);
btnPos=[xPos yPos-spacing btnWid btnHt/2];
popupHndl=icontrol( ...
    'Style','popup', ...
    'Units','normalized', ...
    'Position',btnPos2, ...
    'String',popupStr1);

%=====
% The Field popup button
btnNumber=3;
yPos=0.90-(btnNumber-1)*(btnHt+spacing);
textStr2='Field';
popupStr2=reshape(' Ez Hx Hy ',4,3);

% Generic button information
btnPos1=[xPos yPos-spacing+btnHt/2 btnWid btnHt/2];
btnPos2=[xPos yPos-spacing btnWid btnHt/2];
popupHnd2=icontrol( ...
    'Style','text', ...
    'Units','normalized', ...
    'Position',btnPos1, ...
    'String',textStr2);
btnPos=[xPos yPos-spacing btnWid btnHt/2];
popupHnd2=icontrol( ...
    'Style','popup', ...
    'Units','normalized', ...

```

เอกสารนี้เป็นเอกสารที่สงวนไว้สำหรับการใช้งานเพื่อการศึกษาเท่านั้น ไม่อนุญาตให้นำไปใช้ประโยชน์ด้านการค้า  
ไม่ว่ากรณีใดๆ ทั้งสิ้น อีกทั้งห้ามมิให้ดัดแปลงเนื้อหาและต้องอ้างอิงถึงเจ้าของเอกสารทุกครั้งที่มีการนำไปใช้

```

'Position',btnPos2, ...
'String',popupStr2);

%=====
% Time Step popup button
btnNumber=4;
yPos=0.92-(btnNumber-1)*(btnHt+spacing);
textStr3='Time Step';
popupStr3=reshape('100 200 300 400 500 ',4,5);

% Generic button information
btnPos1=[xPos yPos-spacing+btnHt/2 btnWid btnHt/2+0.02];
btnPos2=[xPos yPos-spacing btnWid btnHt/2];
popupHnd3=uicontrol( ...
    'Style','text', ...
    'Units','normalized', ...
    'Position',btnPos1, ...
    'String',textStr3);
btnPos=[xPos yPos-spacing btnWid btnHt/2];
popupHnd3=uicontrol( ...
    'Style','popup', ...
    'Units','normalized', ...
    'Position',btnPos2, ...
    'String',popupStr3);

% The CLOSE button
labelStr='Close';
callbackStr='close(gcf)';
closeHnd1=uicontrol( ...
    'Style','push', ...

```

เอกสารนี้เป็นเอกสารที่สงวนไว้สำหรับการใช้งานเพื่อการศึกษาเท่านั้น ไม่อนุญาตให้นำไปใช้ประโยชน์ด้านการค้า  
ไม่ว่ากรณีใดๆ ทั้งสิ้น อีกทั้งห้ามมิให้ดัดแปลงเนื้อหาและต้องอ้างอิงถึงเจ้าของเอกสารทุกครั้งที่มีการนำไปใช้

```

'Units','normalized', ...
'Position',[xPos 0.05 btnWid 0.10], ...
'String',labelStr, ...
'Callback',callbackStr);

axHndl=gca;
axis([0 100 0 100])
set(axHndl, ...
'Box', 'on', ...
'Color', [1 1 1], ...
'XTick', [], ...
'YTick', [], ...
'Visible', 'on');
h=text(10.5, 92, 'Cross-Junction Waveguide');
set(h, ...
'FontSize',18, ...
'FontWeight', 'bold', ...
'Color', [.7 0 0]);
hdlList=[startHndl popupHndl popupHnd2 popupHnd3 closeHndl W1 W2 L1 L2 L3 L4];

set(figNumber,'Visible','on', ...
'UserData',hdlList);

watchoff(oldFigNumber);
figure(figNumber);

else
wnumber=watchon;
axHndl=gca;
figNumber=gcf;
hdlList=get(figNumber,'UserData');
startHndl=hdlList(1);

```

เอกสารนี้เป็นเอกสารที่สงวนไว้สำหรับการใช้งานเพื่อการศึกษาเท่านั้น ไม่อนุญาตให้นำไปใช้ประโยชน์ด้านการค้า  
ไม่ว่ากรณีใดๆ ทั้งสิ้น อีกทั้งห้ามมิให้ดัดแปลงเนื้อหาและต้องอ้างอิงถึงเจ้าของเอกสารทุกครั้งที่มีการนำไปใช้

```

popupHndl=hndlList(2);
popupHnd2=hndlList(3);
popupHnd3=hndlList(4);
closeHndl=hndlList(5);

W1=hndlList(6);
W2=hndlList(7);
L1=hndlList(8);
L2=hndlList(9);
L3=hndlList(10);
L4=hndlList(11);

set([startHndl popupHndl popupHnd2 popupHnd3 closeHndl], 'Enable', 'off');

num = 7;
pml = 8;

ref = 1*10(-10);

it=10+W1+L2+L3;
jt=10+W2+L1+L4;

rs=50;

pi=4.0*atan(1.0);
muo=4.0*pi*1.0e-7;
epso=8.854e-12;
co=1.0/sqrt(muo*epso);
freq=get(popupHndl,'Value')*1e9;
field=get(popupHnd2,'Value');
nmax=get(popupHnd3,'Value')*100;
dx=1.0e-3;

```

เอกสารนี้เป็นเอกสารที่สงวนไว้สำหรับการใช้งานเพื่อการศึกษาเท่านั้น ไม่อนุญาตให้นำไปใช้ประโยชน์ด้านการค้า  
ไม่ว่ากรณีใดๆ ทั้งสิ้น อีกทั้งห้ามมิให้ดัดแปลงเนื้อหาและต้องอ้างอิงถึงเจ้าของเอกสารทุกครั้งที่มีการนำไปใช้

```

dt=dx/co/sqrt(2);

caezx=ones(jt+1+2*pml,it+1+2*pml);
caezy=ones(jt+1+2*pml,it+1+2*pml);
cbezx=ones(jt+1+2*pml,it+1+2*pml)*dt/epso/dx;
cbezy=ones(jt+1+2*pml,it+1+2*pml)*dt/epso/dx;
dahx=ones(jt+2*pml,it+1+2*pml);
dahy=ones(jt+1+2*pml,it+2*pml);
dbhx=ones(jt+2*pml,it+1+2*pml)*dt/muo/dx;
dbhy=ones(jt+1+2*pml,it+2*pml)*dt/muo/dx;
ezx=zeros(jt+1+2*pml,it+1+2*pml);
ezy=zeros(jt+1+2*pml,it+1+2*pml);
ez=zeros(jt+1+2*pml,it+1+2*pml);
hx=zeros(jt+2*pml,it+1+2*pml);
hy=zeros(jt+1+2*pml,it+2*pml);

%*****
% Bondary Condition *
%*****

for i=1+pml:it-4-L2-W1+pml
    for j=1+pml:6+L1+pml
        caezy(j,i)=-1;
        caezx(j,i)=-1;
        cbezy(j,i)=0;
        cbezx(j,i)=0;
    end
end

for i=it-4-L2+pml:it+1+pml
    for j=1+pml:6+L1+pml
        caezy(j,i)=-1;

```

เอกสารนี้เป็นเอกสารที่สงวนไว้สำหรับการใช้งานเพื่อการศึกษาเท่านั้น ไม่อนุญาตให้นำไปใช้ประโยชน์ด้านการค้า  
ไม่ว่ากรณีใดๆ ทั้งสิ้น อีกทั้งห้ามมิให้ดัดแปลงเนื้อหาและต้องอ้างอิงถึงเจ้าของเอกสารทุกครั้งที่มีการนำไปใช้

```

    caezx(j,i)=-1;
    cbezy(j,i)=0;
    cbezx(j,i)=0;
end
end

for i=1+pml:it-4-L2-W1+pml
    for j=6+L1+W2+pml:jt+1+pml
        caezy(j,i)=-1;
        caezx(j,i)=-1;
        cbezy(j,i)=0;
        cbezx(j,i)=0;
    end
end

for i=it-4-L2+pml:it+1+pml
    for j=6+L1+W2+pml:jt+1+pml
        caezy(j,i)=-1;
        caezx(j,i)=-1;
        cbezy(j,i)=0;
        cbezx(j,i)=0;
    end
end

maxsigma = -(num+1)*epso*co*log(ref)/(2*pml*dx);

for i=1:pml
    sigma1(i)=maxsigma*((i-0.5)/pml)^num;
    sigma2(i)=maxsigma*(i/pml)^num;
    sigmas1(i)=sigma1(i)*muo/epso;
    ca2(i)=exp(-sigma2(i)*dt/epso);
    cb2(i)=-((ca2(i)-1)/sigma2(i))/dx;

```

เอกสารนี้เป็นเอกสารที่สงวนไว้สำหรับการใช้งานเพื่อการศึกษาเท่านั้น ไม่อนุญาตให้นำไปใช้ประโยชน์ด้านการค้า  
ไม่ว่ากรณีใดๆ ทั้งสิ้น อีกทั้งห้ามมิให้ดัดแปลงเนื้อหาและต้องอ้างอิงถึงเจ้าของเอกสารทุกครั้งที่มีการนำไปใช้

```

da1(i)=exp(-sigmas1(i)*dt/muo);
db1(i)=-((da1(i)-1)/sigmas1(i)/dx;
end

```

```

for i=1:pml
for j=1:jt+1+2*pml
caezx(j,pml-i+1)=ca2(i);
cbezx(j,pml-i+1)=cb2(i);
caezx(j,it+1+i+pml)=ca2(i);
cbezx(j,it+1+i+pml)=cb2(i);

```

```

dahy(j,pml-i+1)=da1(i);
dbhy(j,pml-i+1)=db1(i);
dahy(j,it+i+pml)=da1(i);
dbhy(j,it+i+pml)=db1(i);
end;
end;

```

```

for j=1:pml
for i=1:it+1+2*pml
caezy(pml-j+1,i)=ca2(j);
cbezy(pml-j+1,i)=cb2(j);
caezy(jt+1+j+pml,i)=ca2(j);
cbezy(jt+1+j+pml,i)=cb2(j);

```

```

dahx(pml-j+1,i)=da1(j);
dbhx(pml-j+1,i)=db1(j);
dahx(jt+j+pml,i)=da1(j);
dbhx(jt+j+pml,i)=db1(j);
end
end

```

เอกสารนี้เป็นเอกสารที่สงวนไว้สำหรับการใช้งานเพื่อการศึกษาเท่านั้น ไม่อนุญาตให้นำไปใช้ประโยชน์ด้านการค้า  
ไม่ว่ากรณีใดๆ ทั้งสิ้น อีกทั้งห้ามมิให้ดัดแปลงเนื้อหาและต้องอ้างอิงถึงเจ้าของเอกสารทุกครั้งที่มีการนำไปใช้

for n=1:nmax;

hx(1:jt+2\*pml,1:it+2\*pml+1)=dahx(1:jt+2\*pml,1:it+2\*pml+1).\*hx(1:jt+2\*pml,1:it+2\*pml+1)+...  
 dbhx(1:jt+2\*pml,1:it+2\*pml+1).\*(ez(1:jt+2\*pml,1:it+2\*pml+1)-  
 ez(2:jt+2\*pml+1,1:it+2\*pml+1));

hy(1:jt+2\*pml+1,1:it+2\*pml)=dahy(1:jt+2\*pml+1,1:it+2\*pml).\*hy(1:jt+2\*pml+1,1:it+2\*pml)+...  
 dbhy(1:jt+2\*pml+1,1:it+2\*pml).\*(ez(1:jt+2\*pml+1,2:it+1+2\*pml)-  
 ez(1:jt+2\*pml+1,1:it+2\*pml));

ezx(2:jt+2\*pml,2:it+2\*pml)=caezx(2:jt+2\*pml,2:it+2\*pml).\*ezx(2:jt+2\*pml,2:it+2\*pml)+...  
 cbezx(2:jt+2\*pml,2:it+2\*pml).\*(hy(2:jt+2\*pml,2:it+2\*pml)-hy(2:jt+2\*pml,1:it+2\*pml-1));  
 ezy(2:jt+2\*pml,2:it+2\*pml)=caezy(2:jt+2\*pml,2:it+2\*pml).\*ezy(2:jt+2\*pml,2:it+2\*pml)+...  
 cbezy(2:jt+2\*pml,2:it+2\*pml).\*(hx(1:jt-1+2\*pml,2:it+2\*pml)-  
 hx(2:jt+2\*pml,2:it+2\*pml));

ez=ezx+ezy;

vs=sin(2\*pi\*freq\*n\*dt);

if rem(W1,2)==0

is=(hy(6+pml,it-4-W1/2-L2+pml)-hy(6+pml,it-5-W1/2-L2+pml))+...  
 hx(5+pml,it-4-W1/2-L2+pml)-hx(6+pml,it-4-W1/2-L2+pml))\*dx;  
 ez(6+pml,it-4-W1/2-L2+pml)=vs/dx+is\*rs/dx;

else

is=(hy(6+pml,it-4.5-W1/2-L2+pml)-hy(6+pml,it-5.5-W1/2-L2+pml))+...  
 hx(5+pml,it-4.5-W1/2-L2+pml)-hx(6+pml,it-4.5-W1/2-L2+pml))\*dx;  
 ez(6+pml,it-4.5-W1/2-L2+pml)=vs/dx+is\*rs/dx;  
 is=(hy(6+pml,it-3.5-W1/2-L2+pml)-hy(6+pml,it-4.5-W1/2-L2+pml))+...  
 hx(5+pml,it-3.5-W1/2-L2+pml)-hx(6+pml,it-3.5-W1/2-L2+pml))\*dx;  
 ez(6+pml,it-3.5-W1/2-L2+pml)=vs/dx+is\*rs/dx;

end

เอกสารนี้เป็นเอกสารที่สงวนไว้สำหรับการใช้งานเพื่อการศึกษาเท่านั้น ไม่อนุญาตให้นำไปใช้ประโยชน์ด้านการค้า  
 ไม่ว่ากรณีใดๆ ทั้งสิ้น อีกทั้งห้ามมิให้ตัดแปลงเนื้อหาและต้องอ้างอิงถึงเจ้าของเอกสารทุกครั้งที่มีการนำไปใช้

```

if rem(n,20)==0;
    n2=nmax/20;
    if field == 1
        for i=1:it+1
            for j= 1:jt+1
                out(j,i)=ez(j+pml,i+pml);
            end
        end
    end
end

```

```
graph=mesh(out);
```

```

set(axHndl, ...
    'XTick', [], ...
    'YTick', [], ...
    'ZTick', [], ...
    'XLim', [1 it+1], ...
    'YLim', [1 jt+1], ...
    'ZLim', [-500 500], ...
    'Xgrid', 'off', ...
    'Ygrid', 'off', ...
    'Zgrid', 'off', ...
    'Drawmode', 'fast', ...
    'NextPlot','add',...
    'Position',[0.05 0.05 0.75 0.90]);

```

```
shading interp;
```

```
colormap(hot);
```

```
elseif field ==2
```

```
for i=1:it+1
```

```
for j=1:jt
```

เอกสารนี้เป็นเอกสารที่สงวนไว้สำหรับการใช้งานเพื่อการศึกษาเท่านั้น ไม่อนุญาตให้นำไปใช้ประโยชน์ด้านการค้า  
ไม่ว่ากรณีใดๆ ทั้งสิ้น อีกทั้งห้ามมิให้ดัดแปลงเนื้อหาและต้องอ้างอิงถึงเจ้าของเอกสารทุกครั้งที่มีการนำไปใช้

```

    out(j,i)=hx(j+pml,i+pml);
end
end

graph=mesh(out);

set(axHndl, ...
    'XTick', [], ...
    'YTick', [], ...
    'ZTick', [], ...
    'XLim', [1 it+1], ...
    'YLim', [1 jt], ...
    'ZLim', [-5 5], ...
    'Xgrid', 'off', ...
    'Ygrid', 'off', ...
    'Zgrid', 'off', ...
    'Drawmode', 'fast', ...
    'NextPlot','add',...
    'Position',[0.05 0.05 0.75 0.90]);

shading interp;
colormap(hot);
else

for i =1:it
    for j = 1:jt+1
        out(j,i)=hy(j+pml,i+pml);
    end
end

graph=mesh(out);

```

เอกสารนี้เป็นเอกสารที่สงวนไว้สำหรับการใช้งานเพื่อการศึกษาเท่านั้น ไม่อนุญาตให้นำไปใช้ประโยชน์ด้านการค้า  
ไม่ว่ากรณีใดๆ ทั้งสิ้น อีกทั้งห้ามมิให้ตัดแปลงเนื้อหาและต้องอ้างอิงถึงเจ้าของเอกสารทุกครั้งที่มีการนำไปใช้

```

set(axHndl, ...
    'XTick', [], ...
    'YTick', [], ...
    'ZTick', [], ...
    'XLim', [1 it+1], ...
    'YLim', [1 jt], ...
    'ZLim', [-5 5], ...
    'Xgrid', 'off', ...
    'Ygrid', 'off', ...
    'Zgrid', 'off', ...
    'Drawmode', 'fast', ...
    'NextPlot','add',...
    'Position',[0.05 0.05 0.75 0.90]);

shading interp;
colormap(hot);

end

if n==20;
    M=moviein(nmax/20);
end;

hold;
M(:,n2)=getframe;
end;

end

set([startHndl popupHndl popupHnd2 popupHnd3 closeHndl], 'Enable', 'on');
watchoff;
end

```

เอกสารนี้เป็นเอกสารที่สงวนไว้สำหรับการใช้งานเพื่อการศึกษาเท่านั้น ไม่อนุญาตให้นำไปใช้ประโยชน์ด้านการค้า  
ไม่ว่ากรณีใดๆ ทั้งสิ้น อีกทั้งห้ามมิให้ดัดแปลงเนื้อหาและต้องอ้างอิงถึงเจ้าของเอกสารทุกครั้งที่มีการนำไปใช้

## 8. โปรแกรม guideinfo.m

```
function outInfo=guideinfo
```

```
n=0;
```

```
n=n+1;
```

```
guideList(n).Name='Discontinuous Waveguides';
```

```
guideList(n).Type='FD-TD Analysis';
```

```
guideList(n).Help= {...
```

```
    '    The characterizations of various types of discontinuities'
```

```
    'in rectangular waveguide is very important for microwave'
```

```
    'device.
```

```
    '    These discontinuities include: posts, strips diaphragms,'
```

```
    'windows, steps, bends, T-junction, cross-junction, aperture,'
```

```
    'etc. '
```

```
    '    In this program, bends, T-junction and cross-junction are'
```

```
    'analyzed by using the FD-TD method. S-parameter, VSWR,'
```

```
    'Impedance of these discontinuous are presented.'};
```

```
guideList(n).FdtdsList={
```

```
    'Bends Waveguide',
```

```
    'T-Junction Waveguide',
```

```
    'Cross-Junction Waveguide'};
```

```
guideList(n).FcnList={
```

```
    'bend',
```

```
    'tjunc',
```

```
    'cross'};
```

```
outInfo=guideList;
```

เอกสารนี้เป็นเอกสารที่สงวนไว้สำหรับการใช้งานเพื่อการศึกษาเท่านั้น ไม่อนุญาตให้นำไปใช้ประโยชน์ด้านการค้า  
ไม่ว่ากรณีใดๆ ทั้งสิ้น อีกทั้งห้ามมิให้ดัดแปลงเนื้อหาและต้องอ้างอิงถึงเจ้าของเอกสารทุกครั้งที่มีการนำไปใช้

## หนังสืออ้างอิง

1. Naomi Goldmaan, User's Guide, "The student Education of MATLAB the Ultimate Computing Environment for Technical Education" USA, 1995
2. Allen Taflove., "Computational Electrodynamics, The Finite-Difference Time-Domain Method" Artech House Boston London. pp.1-200,1995
3. ผศ.ดร.จเร สุรวัฒน์ปัญญา, "วิศวกรรมแม่เหล็กไฟฟ้า", ตำราชุดวิศวกรรมศาสตร์, คณะวิศวกรรมศาสตร์ สถาบันเทคโนโลยีพระจอมเกล้าเจ้าคุณทหารลาดกระบัง, กทม., หน้า 1-36, 60-65, 153-180, 2532



เอกสารนี้เป็นเอกสารที่สงวนไว้สำหรับการใช้งานเพื่อการศึกษาเท่านั้น ไม่อนุญาตให้นำไปใช้ประโยชน์ด้านการค้า  
ไม่ว่ากรณีใดๆ ทั้งสิ้น อีกทั้งห้ามมิให้ดัดแปลงเนื้อหาและต้องอ้างอิงถึงเจ้าของเอกสารทุกครั้งที่มีการนำไปใช้